

# WYNIKI CIĄGŁYCH POMIARÓW HAŁASU W ŚRODOWISKU

## DLA LOTNISKA CHOPINA W WARSZAWIE

Nazwa obiektu: Punkt pomiarowy nr 8 „Ursus”

Data wykonania pomiaru:

początek: 01 - 11 - 2022  
koniec: 30 - 11 - 2022

Lokalizacja punktu pomiarowego: Warszawa, ul. Sosnkowskiego 16

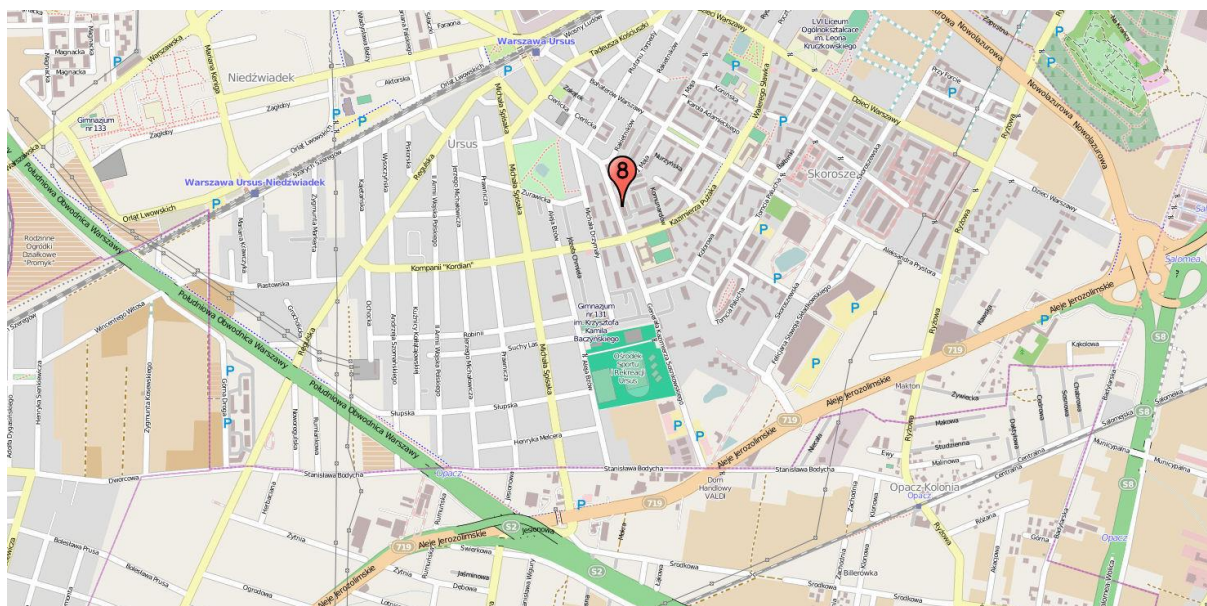
Układ współrzędnych: WGS 84

Szerokość geograficzna: N 52° 11' 27,9"

Długość geograficzna: E 20° 53' 19,9"

Względna wysokość punktu pomiarowego [m]: 20

### Lokalizacja na planie:



### Metoda badań:

Metoda ciągłych lub okresowych pomiarów monitoringowych: metodyka referencyjna, określona w załączniku nr 1 do rozporządzenia Ministra Środowiska z dnia 16.06.2011 w sprawie wymagań w zakresie prowadzenia pomiarów poziomów substancji lub energii w środowisku przez zarządzającego drogą, linią kolejową, linią tramwajową, lotniskiem, portem.

Metody obliczeniowe: jw.

### Aparatura pomiarowa:

Analizator poziomu dźwięku (producent; nr typu): Lochard, EMU-2

Mikrofon/sonda mikrofonowa (producent; nr typu): Lochard, 41DM-2

Świadectwo uwierzytelnienia nr 00027615/02/2021 z dnia 23.06.2021r. wydane przez Laboratorium Akredytowane Nr AP 146

Wzorzec akustyczny (producent; nr typu): Brüel & Kjær; 4228

**Równoważny poziom dźwięku w porze dnia i w porze nocy  
w odniesieniu do jednej doby, wg wskaźników  $L_{AeqD}$  i  $L_{AeqN}$   
powodowany przez starty, lądowania i przeloty statków  
powietrznych**

| Dzień miesiąca/<br>Listopad 2022 r. | Równoważny poziom dźwięku    |                              |
|-------------------------------------|------------------------------|------------------------------|
|                                     | Pora dnia<br>$L_{AeqD}$ w dB | Pora nocy<br>$L_{AeqN}$ w dB |
| 1                                   | 55,7                         | 49,9                         |
| 2                                   | 56,7                         | 50,8                         |
| 3                                   | 58,0                         | 51,1                         |
| 4                                   | 58,4                         | 51,9                         |
| 5                                   | 57,5                         | 47,9                         |
| 6                                   | 58,1                         | 51,9                         |
| 7                                   | 57,7                         | 48,2                         |
| 8                                   | 57,3                         | 51,1                         |
| 9                                   | 57,6                         | 50,8                         |
| 10                                  | 57,7                         | 51,4                         |
| 11                                  | 57,4                         | 50,9                         |
| 12                                  | 54,4                         | 46,7                         |
| 13                                  | 57,5                         | 52,1                         |
| 14                                  | 58,5                         | 52,3                         |
| 15                                  | 56,2                         | 50,8                         |
| 16                                  | 58,3                         | 51,2                         |
| 17                                  | 58,1                         | 51,9                         |
| 18                                  | 58,4                         | 51,6                         |
| 19                                  | 57,4                         | 49,3                         |
| 20                                  | 57,8                         | 51,0                         |
| 21                                  | 58,3                         | 52,3                         |
| 22                                  | 58,3                         | 50,0                         |
| 23                                  | 57,8                         | 51,0                         |
| 24                                  | 58,1                         | 51,4                         |
| 25                                  | 57,3                         | 51,4                         |
| 26                                  | 56,5                         | 46,2                         |
| 27                                  | 57,4                         | 50,8                         |
| 28                                  | 58,2                         | 52,2                         |
| 29                                  | 58,2                         | 50,7                         |
| 30                                  | 57,8                         | 50,5                         |

Zgodnie z art. 112a ustawy – Prawo ochrony środowiska oraz rozporządzeniem Ministra Środowiska z dnia 16 czerwca 2011 r. *w sprawie wymagań w zakresie prowadzenia pomiarów poziomów substancji lub energii w środowisku przez zarządzającego drogą, linią kolejową, linią tramwajową, lotniskiem lub portem*, do ustalania i kontroli warunków korzystania ze środowiska mają zastosowanie wskaźniki hałasu odnoszące się do jednej doby:

- $L_{AeqD}$  – równoważny poziom dźwięku A dla pory dnia (rozumianej jako przedział czasu od godz. 6.00 do godz. 22.00),
- $L_{AeqN}$  – równoważny poziom dźwięku A dla pory nocy (rozumianej jako przedział czasu od godz. 22.00 do godz. 6.00).

Wyznaczone wartości tych wskaźników dla poszczególnych dni i nocy w listopadzie 2022 podano w tabeli powyżej.

W tabelach poniżej podano zestawienia zdarzeń akustycznych zarejestrowanych w punkcie pomiarowym, na podstawie których wyznaczono wartości wskaźników  $L_{AeqD}$  i  $L_{AeqN}$  dla poszczególnych dni i nocy w miesiącu.

**Zestawienie zdarzeń akustycznych spowodowanych przelotami statków powietrznych w porze dnia ( przedział czasu pomiędzy godz. 06.00 – 22.00 )**

| Nr punktu pomiarowego | Data i godz. zdarzenia | Samolot | Operacja* | $L_{Aeq}$ | $L_{Amax}$ | $L_{AE}$ |
|-----------------------|------------------------|---------|-----------|-----------|------------|----------|
|                       |                        |         |           | [dB]      | [dB]       | [dB]     |
| 8                     | 01-11-2022 06:09:37    | A321    | D         | 68,5      | 69,6       | 81,8     |
| 8                     | 01-11-2022 06:11:53    | B38M    | D         | 68,4      | 68,8       | 79,2     |
| 8                     | 01-11-2022 06:14:24    | A319    | D         | 67,2      | 67,9       | 76,8     |
| 8                     | 01-11-2022 06:17:02    | B737    | D         | 71,3      | 73,2       | 83,1     |
| 8                     | 01-11-2022 06:19:20    | A321    | D         | 69,8      | 71,6       | 83,3     |
| 8                     | 01-11-2022 06:33:09    | A21N    | D         | 69,6      | 71,2       | 80,4     |
| 8                     | 01-11-2022 06:45:38    | A21N    | D         | 67,6      | 68,3       | 77,1     |
| 8                     | 01-11-2022 06:54:29    | A321    | D         | 69,0      | 70,2       | 81,1     |
| 8                     | 01-11-2022 06:57:09    | A321    | D         | 70,1      | 72,1       | 83,3     |
| 8                     | 01-11-2022 06:59:15    | E195    | D         | 68,2      | 69,6       | 78,2     |
| 8                     | 01-11-2022 07:00:46    | CL35    | D         | 67,6      | 68,7       | 78,0     |
| 8                     | 01-11-2022 07:04:57    | A321    | D         | 67,3      | 67,9       | 76,3     |
| 8                     | 01-11-2022 07:09:14    | E75S    | D         | 69,1      | 69,9       | 80,8     |
| 8                     | 01-11-2022 07:12:19    | B38M    | D         | 68,9      | 70,1       | 80,0     |
| 8                     | 01-11-2022 07:14:01    | A20N    | D         | 67,3      | 68,4       | 78,1     |
| 8                     | 01-11-2022 07:19:59    | E170    | D         | 69,7      | 71,2       | 80,8     |
| 8                     | 01-11-2022 07:21:58    | A318    | D         | 67,8      | 68,6       | 78,2     |
| 8                     | 01-11-2022 07:28:30    | E75S    | D         | 70,0      | 71,4       | 81,1     |
| 8                     | 01-11-2022 07:30:30    | B738    | D         | 67,9      | 68,6       | 79,4     |
| 8                     | 01-11-2022 07:36:39    | E190    | D         | 70,3      | 72,7       | 82,4     |
| 8                     | 01-11-2022 07:38:30    | E195    | D         | 71,0      | 73,0       | 82,5     |
| 8                     | 01-11-2022 07:40:28    | E190    | D         | 69,0      | 71,0       | 79,4     |
| 8                     | 01-11-2022 07:43:47    | E75S    | D         | 69,5      | 71,5       | 80,9     |
| 8                     | 01-11-2022 07:45:52    | E195    | D         | 68,9      | 70,3       | 80,3     |
| 8                     | 01-11-2022 07:48:29    | E190    | D         | 69,5      | 72,3       | 81,5     |
| 8                     | 01-11-2022 07:51:14    | E75S    | D         | 69,7      | 71,2       | 81,5     |
| 8                     | 01-11-2022 07:52:53    | B38M    | D         | 69,2      | 70,7       | 80,9     |
| 8                     | 01-11-2022 07:54:57    | E195    | D         | 70,5      | 72,6       | 82,3     |
| 8                     | 01-11-2022 07:56:34    | E170    | D         | 67,9      | 68,8       | 79,6     |
| 8                     | 01-11-2022 07:58:36    | B738    | D         | 69,0      | 70,9       | 81,1     |
| 8                     | 01-11-2022 08:00:22    | E190    | D         | 69,5      | 72,0       | 81,2     |
| 8                     | 01-11-2022 08:05:21    | E170    | D         | 69,7      | 72,0       | 81,2     |
| 8                     | 01-11-2022 08:08:48    | E190    | D         | 71,2      | 73,6       | 82,0     |
| 8                     | 01-11-2022 08:14:51    | E195    | D         | 73,4      | 75,9       | 84,8     |
| 8                     | 01-11-2022 08:18:07    | E75S    | D         | 73,9      | 76,3       | 84,7     |
| 8                     | 01-11-2022 08:55:52    | B738    | D         | 71,0      | 73,3       | 84,3     |
| 8                     | 01-11-2022 09:09:16    | E190    | D         | 71,6      | 74,4       | 85,2     |
| 8                     | 01-11-2022 09:27:40    | E170    | D         | 68,7      | 70,4       | 80,2     |
| 8                     | 01-11-2022 09:36:05    | E195    | D         | 68,7      | 69,8       | 79,5     |
| 8                     | 01-11-2022 09:55:41    | E190    | D         | 70,1      | 71,7       | 80,5     |
| 8                     | 01-11-2022 10:12:50    | E195    | D         | 68,3      | 69,9       | 79,8     |
| 8                     | 01-11-2022 10:36:19    | E75S    | D         | 67,6      | 69,3       | 78,0     |
| 8                     | 01-11-2022 10:38:02    | E170    | D         | 67,5      | 68,6       | 77,9     |
| 8                     | 01-11-2022 10:43:39    | E190    | D         | 69,6      | 72,2       | 80,0     |
| 8                     | 01-11-2022 10:47:54    | E75S    | D         | 67,2      | 68,1       | 77,2     |
| 8                     | 01-11-2022 10:50:28    | B738    | D         | 68,2      | 70,3       | 78,2     |
| 8                     | 01-11-2022 10:55:46    | E190    | D         | 73,3      | 76,7       | 84,4     |
| 8                     | 01-11-2022 11:06:14    | E75S    | D         | 67,0      | 68,2       | 78,5     |
| 8                     | 01-11-2022 11:07:54    | E75S    | D         | 71,6      | 74,0       | 83,0     |
| 8                     | 01-11-2022 11:16:59    | E195    | D         | 68,3      | 69,6       | 77,8     |
| 8                     | 01-11-2022 11:21:28    | LJ75    | D         | 78,8      | 84,9       | 91,1     |
| 8                     | 01-11-2022 11:43:01    | E75S    | D         | 69,6      | 70,6       | 81,0     |
| 8                     | 01-11-2022 12:26:21    | A321    | D         | 69,7      | 71,5       | 82,5     |
| 8                     | 01-11-2022 12:34:31    | B789    | D         | 72,5      | 74,4       | 83,6     |

| Nr punktu pomiarowego | Data i godz. zdarzenia | Samolot | Operacja* | $L_{Aeq}$ | $L_{Amax}$ | $L_{AE}$ |
|-----------------------|------------------------|---------|-----------|-----------|------------|----------|
|                       |                        |         |           | [dB]      | [dB]       | [dB]     |
| 8                     | 01-11-2022 13:04:15    | A321    | D         | 69,7      | 70,8       | 83,1     |
| 8                     | 01-11-2022 13:06:45    | E190    | D         | 72,5      | 75,3       | 85,3     |
| 8                     | 01-11-2022 13:12:52    | E195    | D         | 71,9      | 74,3       | 83,1     |
| 8                     | 01-11-2022 13:15:41    | E195    | D         | 70,4      | 73,3       | 80,8     |
| 8                     | 01-11-2022 13:18:25    | B77W    | D         | 71,3      | 74,0       | 84,1     |
| 8                     | 01-11-2022 13:34:33    | A321    | D         | 69,1      | 70,6       | 82,1     |
| 8                     | 01-11-2022 13:36:35    | E195    | D         | 72,1      | 74,6       | 83,2     |
| 8                     | 01-11-2022 13:42:51    | E195    | D         | 69,7      | 71,5       | 79,7     |
| 8                     | 01-11-2022 13:45:10    | E190    | D         | 68,7      | 70,3       | 78,3     |
| 8                     | 01-11-2022 13:55:48    | E170    | D         | 67,7      | 68,8       | 76,8     |
| 8                     | 01-11-2022 14:38:12    | E190    | D         | 71,6      | 73,8       | 82,0     |
| 8                     | 01-11-2022 14:50:11    | B738    | D         | 70,2      | 72,0       | 81,3     |
| 8                     | 01-11-2022 15:02:18    | E75S    | D         | 70,3      | 72,2       | 82,3     |
| 8                     | 01-11-2022 15:11:57    | E190    | D         | 70,2      | 71,8       | 79,3     |
| 8                     | 01-11-2022 15:22:32    | E75S    | D         | 67,5      | 69,0       | 77,5     |
| 8                     | 01-11-2022 15:34:45    | A21N    | D         | 67,5      | 68,6       | 76,6     |
| 8                     | 01-11-2022 15:42:00    | E170    | D         | 70,5      | 72,8       | 81,3     |
| 8                     | 01-11-2022 15:47:30    | E75S    | D         | 72,7      | 75,3       | 83,8     |
| 8                     | 01-11-2022 16:39:00    | E190    | D         | 70,4      | 72,1       | 79,9     |
| 8                     | 01-11-2022 17:21:39    | E75S    | D         | 71,2      | 73,4       | 82,0     |
| 8                     | 01-11-2022 17:46:06    | A321    | D         | 69,5      | 70,4       | 81,3     |
| 8                     | 01-11-2022 17:50:23    | E190    | D         | 69,8      | 71,5       | 81,2     |
| 8                     | 01-11-2022 17:53:01    | E195    | D         | 70,2      | 72,4       | 81,6     |
| 8                     | 01-11-2022 17:56:27    | A320    | D         | 67,4      | 68,8       | 80,5     |
| 8                     | 01-11-2022 18:18:15    | B738    | D         | 70,6      | 73,0       | 82,6     |
| 8                     | 01-11-2022 18:21:14    | E195    | D         | 69,6      | 71,2       | 80,7     |
| 8                     | 01-11-2022 18:23:58    | B738    | D         | 66,9      | 68,3       | 79,0     |
| 8                     | 01-11-2022 18:49:18    | A321    | D         | 68,0      | 69,6       | 81,8     |
| 8                     | 01-11-2022 18:51:40    | E75S    | D         | 66,2      | 66,8       | 75,7     |
| 8                     | 01-11-2022 19:22:37    | E195    | D         | 68,4      | 70,0       | 79,2     |
| 8                     | 01-11-2022 19:30:21    | E170    | D         | 68,1      | 69,4       | 78,9     |
| 8                     | 01-11-2022 19:46:53    | E190    | D         | 69,5      | 71,0       | 78,6     |
| 8                     | 01-11-2022 20:09:04    | E75S    | D         | 66,7      | 68,2       | 77,1     |
| 8                     | 01-11-2022 20:27:38    | E75S    | D         | 67,8      | 68,7       | 77,4     |
| 8                     | 01-11-2022 20:32:13    | E75S    | D         | 67,1      | 68,5       | 77,9     |
| 8                     | 01-11-2022 20:44:53    | E75S    | D         | 70,9      | 73,1       | 82,0     |
| 8                     | 01-11-2022 20:48:31    | E75S    | D         | 66,4      | 66,9       | 76,4     |
| 8                     | 01-11-2022 20:54:33    | E170    | D         | 70,1      | 73,7       | 81,3     |
| 8                     | 01-11-2022 21:22:22    | AT75    | D         | 68,6      | 70,4       | 77,7     |
| 8                     | 02-11-2022 07:01:22    | A321    | D         | 68,1      | 69,6       | 81,5     |
| 8                     | 02-11-2022 07:04:45    | E195    | D         | 66,5      | 67,6       | 75,6     |
| 8                     | 02-11-2022 07:20:30    | E75S    | D         | 67,2      | 68,4       | 78,0     |
| 8                     | 02-11-2022 07:27:11    | E195    | D         | 67,0      | 69,4       | 78,5     |
| 8                     | 02-11-2022 07:33:29    | E190    | D         | 69,0      | 70,5       | 79,4     |
| 8                     | 02-11-2022 07:41:15    | E190    | D         | 67,2      | 68,3       | 76,8     |
| 8                     | 02-11-2022 07:43:17    | E195    | D         | 66,4      | 67,4       | 76,8     |
| 8                     | 02-11-2022 07:47:00    | E195    | D         | 67,0      | 67,5       | 76,5     |
| 8                     | 02-11-2022 07:53:17    | E195    | D         | 68,8      | 70,6       | 80,3     |
| 8                     | 02-11-2022 07:58:07    | E190    | D         | 69,8      | 71,2       | 79,3     |
| 8                     | 02-11-2022 07:59:45    | E195    | D         | 67,7      | 69,5       | 78,5     |
| 8                     | 02-11-2022 08:03:14    | E195    | D         | 69,0      | 69,8       | 78,1     |
| 8                     | 02-11-2022 08:06:05    | E190    | D         | 68,5      | 70,4       | 78,9     |
| 8                     | 02-11-2022 08:08:30    | E75S    | D         | 67,6      | 69,0       | 78,0     |
| 8                     | 02-11-2022 08:14:41    | E75S    | D         | 71,0      | 73,6       | 83,3     |
| 8                     | 02-11-2022 08:17:39    | E195    | D         | 70,0      | 72,9       | 82,0     |
| 8                     | 02-11-2022 09:03:53    | E190    | D         | 72,9      | 75,5       | 87,4     |
| 8                     | 02-11-2022 09:22:30    | E170    | D         | 70,3      | 73,6       | 82,4     |

| Nr punktu pomiarowego | Data i godz. zdarzenia | Samolot | Operacja* | $L_{Aeq}$ | $L_{Amax}$ | $L_{AE}$ |
|-----------------------|------------------------|---------|-----------|-----------|------------|----------|
|                       |                        |         |           | [dB]      | [dB]       | [dB]     |
| 8                     | 02-11-2022 09:26:58    | E170    | D         | 69,4      | 71,5       | 80,9     |
| 8                     | 02-11-2022 09:35:08    | B38M    | D         | 68,1      | 69,9       | 78,9     |
| 8                     | 02-11-2022 09:40:48    | A321    | D         | 69,7      | 72,1       | 82,7     |
| 8                     | 02-11-2022 09:53:56    | B738    | D         | 69,7      | 71,6       | 82,2     |
| 8                     | 02-11-2022 09:57:08    | B738    | D         | 69,3      | 71,2       | 81,4     |
| 8                     | 02-11-2022 09:58:49    | E75S    | D         | 69,5      | 71,5       | 81,8     |
| 8                     | 02-11-2022 10:02:18    | B738    | D         | 68,5      | 70,1       | 81,5     |
| 8                     | 02-11-2022 10:17:22    | E75S    | D         | 69,2      | 71,2       | 79,6     |
| 8                     | 02-11-2022 10:19:35    | E195    | D         | 69,3      | 71,4       | 81,6     |
| 8                     | 02-11-2022 10:52:42    | E75S    | D         | 72,2      | 74,9       | 83,4     |
| 8                     | 02-11-2022 11:02:42    | E75S    | D         | 68,7      | 69,9       | 79,8     |
| 8                     | 02-11-2022 11:26:32    | A21N    | D         | 68,0      | 69,4       | 78,0     |
| 8                     | 02-11-2022 11:31:04    | E195    | D         | 67,2      | 68,6       | 79,2     |
| 8                     | 02-11-2022 11:32:26    | E195    | D         | 67,9      | 72,3       | 81,9     |
| 8                     | 02-11-2022 11:48:15    | E75S    | D         | 68,2      | 70,4       | 77,2     |
| 8                     | 02-11-2022 12:03:35    | E195    | D         | 70,3      | 73,4       | 82,3     |
| 8                     | 02-11-2022 12:20:24    | E195    | D         | 75,3      | 80,2       | 88,1     |
| 8                     | 02-11-2022 12:27:27    | A21N    | D         | 67,3      | 68,8       | 77,3     |
| 8                     | 02-11-2022 12:45:12    | A321    | D         | 69,1      | 71,6       | 84,0     |
| 8                     | 02-11-2022 12:58:33    | E190    | D         | 71,1      | 74,4       | 84,3     |
| 8                     | 02-11-2022 13:04:55    | E195    | D         | 71,4      | 74,5       | 84,0     |
| 8                     | 02-11-2022 13:08:19    | BCS3    | D         | 67,0      | 69,5       | 77,0     |
| 8                     | 02-11-2022 13:09:47    | A321    | D         | 70,6      | 74,3       | 85,7     |
| 8                     | 02-11-2022 13:20:37    | A320    | D         | 68,9      | 70,5       | 80,3     |
| 8                     | 02-11-2022 13:26:23    | E75S    | D         | 69,7      | 71,6       | 82,9     |
| 8                     | 02-11-2022 13:27:57    | E75S    | D         | 68,0      | 70,5       | 80,5     |
| 8                     | 02-11-2022 13:31:36    | E190    | D         | 69,8      | 72,5       | 81,9     |
| 8                     | 02-11-2022 13:33:08    | E170    | D         | 69,3      | 71,8       | 81,7     |
| 8                     | 02-11-2022 13:34:40    | E190    | D         | 69,2      | 73,0       | 83,4     |
| 8                     | 02-11-2022 13:37:26    | A319    | D         | 69,9      | 72,1       | 83,5     |
| 8                     | 02-11-2022 13:45:59    | B77W    | D         | 72,3      | 74,8       | 86,5     |
| 8                     | 02-11-2022 13:58:19    | GLEX    | D         | 68,1      | 70,6       | 83,0     |
| 8                     | 02-11-2022 14:14:54    | E190    | D         | 73,8      | 76,9       | 86,8     |
| 8                     | 02-11-2022 14:39:43    | E190    | D         | 69,9      | 73,2       | 84,7     |
| 8                     | 02-11-2022 14:41:10    | B38M    | D         | 69,0      | 71,2       | 80,5     |
| 8                     | 02-11-2022 14:55:54    | E190    | D         | 70,1      | 71,4       | 82,1     |
| 8                     | 02-11-2022 15:01:57    | E75S    | D         | 69,9      | 72,3       | 83,1     |
| 8                     | 02-11-2022 15:04:05    | E195    | D         | 71,3      | 73,9       | 83,8     |
| 8                     | 02-11-2022 15:07:22    | E75S    | D         | 70,3      | 73,4       | 83,6     |
| 8                     | 02-11-2022 15:08:40    | E75S    | D         | 72,9      | 75,8       | 86,5     |
| 8                     | 02-11-2022 15:17:12    | E195    | D         | 71,2      | 73,8       | 83,7     |
| 8                     | 02-11-2022 15:28:30    | E170    | D         | 70,5      | 73,5       | 83,6     |
| 8                     | 02-11-2022 15:35:26    | E170    | D         | 70,5      | 72,6       | 83,3     |
| 8                     | 02-11-2022 15:44:58    | PRM1    | D         | 67,7      | 68,8       | 79,5     |
| 8                     | 02-11-2022 15:48:19    | E170    | D         | 70,2      | 71,9       | 83,2     |
| 8                     | 02-11-2022 15:51:21    | E190    | D         | 71,0      | 73,7       | 84,2     |
| 8                     | 02-11-2022 15:53:21    | E75S    | D         | 73,1      | 76,1       | 86,3     |
| 8                     | 02-11-2022 15:54:49    | B38M    | D         | 67,8      | 69,5       | 80,4     |
| 8                     | 02-11-2022 15:56:32    | A319    | D         | 68,8      | 70,4       | 82,0     |
| 8                     | 02-11-2022 16:02:11    | B788    | D         | 69,4      | 71,4       | 83,4     |
| 8                     | 02-11-2022 16:05:21    | B738    | D         | 69,4      | 72,4       | 84,0     |
| 8                     | 02-11-2022 16:09:12    | E75S    | D         | 71,3      | 73,8       | 84,7     |
| 8                     | 02-11-2022 16:12:22    | A21N    | D         | 68,6      | 70,2       | 80,7     |
| 8                     | 02-11-2022 16:35:35    | E195    | D         | 74,1      | 76,9       | 86,9     |
| 8                     | 02-11-2022 16:37:23    | E190    | D         | 69,6      | 71,4       | 82,8     |
| 8                     | 02-11-2022 16:48:12    | E75S    | D         | 69,6      | 70,6       | 82,2     |
| 8                     | 02-11-2022 16:51:12    | B738    | D         | 70,5      | 72,5       | 83,5     |

| Nr punktu pomiarowego | Data i godz. zdarzenia | Samolot | Operacja* | $L_{Aeq}$ | $L_{Amax}$ | $L_{AE}$ |
|-----------------------|------------------------|---------|-----------|-----------|------------|----------|
|                       |                        |         |           | [dB]      | [dB]       | [dB]     |
| 8                     | 02-11-2022 16:54:55    | E170    | D         | 69,6      | 71,2       | 82,2     |
| 8                     | 02-11-2022 16:56:46    | E195    | D         | 70,3      | 72,8       | 83,3     |
| 8                     | 02-11-2022 16:58:46    | E190    | D         | 71,1      | 73,7       | 83,4     |
| 8                     | 02-11-2022 17:00:58    | E190    | D         | 70,7      | 73,2       | 83,5     |
| 8                     | 02-11-2022 17:03:42    | E75S    | D         | 70,2      | 72,3       | 83,0     |
| 8                     | 02-11-2022 17:05:28    | A319    | D         | 68,1      | 70,3       | 82,6     |
| 8                     | 02-11-2022 17:07:15    | E75S    | D         | 70,2      | 71,9       | 83,8     |
| 8                     | 02-11-2022 17:14:53    | E75S    | D         | 72,5      | 75,1       | 85,6     |
| 8                     | 02-11-2022 17:16:12    | E190    | D         | 71,0      | 73,1       | 83,5     |
| 8                     | 02-11-2022 17:17:34    | E195    | D         | 70,2      | 72,2       | 82,8     |
| 8                     | 02-11-2022 17:26:45    | E195    | D         | 70,2      | 72,2       | 83,0     |
| 8                     | 02-11-2022 17:28:40    | E75S    | D         | 70,6      | 72,4       | 83,6     |
| 8                     | 02-11-2022 17:32:36    | E195    | D         | 69,8      | 71,8       | 83,2     |
| 8                     | 02-11-2022 17:37:25    | E190    | D         | 70,4      | 72,6       | 83,4     |
| 8                     | 02-11-2022 17:41:26    | A321    | D         | 69,9      | 71,6       | 85,1     |
| 8                     | 02-11-2022 17:43:55    | E195    | D         | 69,8      | 71,6       | 82,6     |
| 8                     | 02-11-2022 17:46:54    | A21N    | D         | 69,2      | 71,4       | 82,9     |
| 8                     | 02-11-2022 17:58:25    | A320    | D         | 68,0      | 69,5       | 81,4     |
| 8                     | 02-11-2022 18:06:51    | A321    | D         | 69,5      | 71,5       | 84,7     |
| 8                     | 02-11-2022 18:16:20    | E170    | D         | 69,4      | 70,7       | 82,6     |
| 8                     | 02-11-2022 18:53:47    | CRJ9    | D         | 66,2      | 67,4       | 79,2     |
| 8                     | 02-11-2022 18:55:47    | B38M    | D         | 67,0      | 69,2       | 77,0     |
| 8                     | 02-11-2022 19:11:05    | A321    | D         | 69,3      | 70,9       | 85,1     |
| 8                     | 02-11-2022 19:35:45    | E195    | D         | 67,4      | 68,6       | 80,4     |
| 8                     | 02-11-2022 19:37:30    | E195    | D         | 69,6      | 71,8       | 83,0     |
| 8                     | 02-11-2022 19:39:22    | A319    | D         | 72,2      | 75,7       | 86,8     |
| 8                     | 02-11-2022 19:46:52    | E190    | D         | 69,9      | 74,0       | 83,8     |
| 8                     | 02-11-2022 20:03:27    | A319    | D         | 67,8      | 71,1       | 82,1     |
| 8                     | 02-11-2022 20:08:41    | E170    | D         | 68,6      | 71,6       | 80,9     |
| 8                     | 02-11-2022 20:10:25    | E75S    | D         | 69,7      | 71,5       | 82,7     |
| 8                     | 02-11-2022 20:13:08    | E195    | D         | 70,0      | 73,7       | 83,0     |
| 8                     | 02-11-2022 20:14:34    | E170    | D         | 70,7      | 73,9       | 83,7     |
| 8                     | 02-11-2022 20:19:47    | E75S    | D         | 69,3      | 72,9       | 84,1     |
| 8                     | 02-11-2022 20:21:15    | E75S    | D         | 66,9      | 68,1       | 79,7     |
| 8                     | 02-11-2022 20:26:42    | E190    | D         | 69,0      | 70,7       | 82,4     |
| 8                     | 02-11-2022 20:28:03    | E75S    | D         | 68,6      | 70,0       | 81,2     |
| 8                     | 02-11-2022 20:29:22    | E170    | D         | 68,8      | 70,8       | 82,6     |
| 8                     | 02-11-2022 20:36:31    | B38M    | D         | 68,4      | 71,0       | 80,7     |
| 8                     | 02-11-2022 20:44:18    | E170    | D         | 68,7      | 70,4       | 82,1     |
| 8                     | 02-11-2022 20:48:40    | E75S    | D         | 66,5      | 68,2       | 80,5     |
| 8                     | 02-11-2022 20:50:37    | E75S    | D         | 71,5      | 74,9       | 86,0     |
| 8                     | 02-11-2022 20:53:38    | E190    | D         | 69,8      | 73,3       | 83,3     |
| 8                     | 02-11-2022 20:55:55    | E195    | D         | 69,0      | 71,4       | 82,6     |
| 8                     | 02-11-2022 21:15:43    | B38M    | D         | 68,2      | 70,7       | 81,2     |
| 8                     | 02-11-2022 21:18:05    | B763    | D         | 68,6      | 72,0       | 83,2     |
| 8                     | 02-11-2022 21:54:01    | B738    | D         | 68,2      | 69,6       | 82,5     |
| 8                     | 03-11-2022 06:09:46    | A21N    | D         | 69,5      | 71,1       | 82,2     |
| 8                     | 03-11-2022 06:19:54    | B737    | D         | 71,3      | 73,0       | 84,7     |
| 8                     | 03-11-2022 06:25:17    | A21N    | D         | 69,5      | 70,5       | 82,2     |
| 8                     | 03-11-2022 06:42:33    | A321    | D         | 70,0      | 71,1       | 85,0     |
| 8                     | 03-11-2022 06:46:14    | B38M    | D         | 68,6      | 70,9       | 81,1     |
| 8                     | 03-11-2022 06:49:36    | A320    | D         | 68,8      | 69,9       | 83,0     |
| 8                     | 03-11-2022 06:52:17    | A321    | D         | 70,0      | 71,3       | 84,9     |
| 8                     | 03-11-2022 07:00:24    | B738    | D         | 68,8      | 70,7       | 83,1     |
| 8                     | 03-11-2022 07:01:59    | E195    | D         | 69,1      | 71,2       | 82,7     |
| 8                     | 03-11-2022 07:17:47    | E170    | D         | 73,3      | 76,6       | 86,3     |
| 8                     | 03-11-2022 07:19:06    | E170    | D         | 69,7      | 70,9       | 82,2     |

| Nr punktu pomiarowego | Data i godz. zdarzenia | Samolot | Operacja* | $L_{Aeq}$ | $L_{Amax}$ | $L_{AE}$ |
|-----------------------|------------------------|---------|-----------|-----------|------------|----------|
|                       |                        |         |           | [dB]      | [dB]       | [dB]     |
| 8                     | 03-11-2022 07:21:52    | A320    | D         | 69,3      | 71,8       | 82,9     |
| 8                     | 03-11-2022 07:23:42    | A321    | D         | 70,4      | 72,3       | 85,2     |
| 8                     | 03-11-2022 07:26:19    | B38M    | D         | 67,8      | 69,9       | 80,8     |
| 8                     | 03-11-2022 07:35:20    | E75S    | D         | 69,3      | 70,5       | 82,5     |
| 8                     | 03-11-2022 07:36:51    | E75S    | D         | 71,6      | 73,9       | 84,4     |
| 8                     | 03-11-2022 07:39:52    | E170    | D         | 69,4      | 71,3       | 82,8     |
| 8                     | 03-11-2022 07:43:45    | E195    | D         | 70,8      | 72,3       | 83,1     |
| 8                     | 03-11-2022 07:45:23    | E190    | D         | 72,6      | 75,3       | 84,6     |
| 8                     | 03-11-2022 07:49:29    | E195    | D         | 71,8      | 74,4       | 84,8     |
| 8                     | 03-11-2022 07:53:35    | E195    | D         | 70,0      | 72,2       | 82,8     |
| 8                     | 03-11-2022 07:55:06    | A319    | D         | 68,6      | 70,4       | 82,0     |
| 8                     | 03-11-2022 07:56:26    | E195    | D         | 71,4      | 74,9       | 83,7     |
| 8                     | 03-11-2022 07:57:56    | E75S    | D         | 70,1      | 71,7       | 82,6     |
| 8                     | 03-11-2022 08:00:35    | E195    | D         | 70,9      | 72,6       | 83,5     |
| 8                     | 03-11-2022 08:02:24    | E75S    | D         | 70,3      | 71,8       | 83,0     |
| 8                     | 03-11-2022 08:03:50    | E195    | D         | 71,4      | 73,5       | 83,7     |
| 8                     | 03-11-2022 08:05:50    | E75S    | D         | 70,1      | 71,8       | 82,8     |
| 8                     | 03-11-2022 08:12:17    | GLF5    | D         | 68,6      | 71,0       | 80,7     |
| 8                     | 03-11-2022 08:13:43    | E75S    | D         | 69,6      | 70,9       | 82,2     |
| 8                     | 03-11-2022 08:15:09    | B738    | D         | 73,5      | 77,5       | 86,9     |
| 8                     | 03-11-2022 08:20:55    | E190    | D         | 72,1      | 74,8       | 85,1     |
| 8                     | 03-11-2022 08:22:25    | E195    | D         | 70,8      | 73,5       | 83,6     |
| 8                     | 03-11-2022 08:24:15    | B38M    | D         | 68,5      | 70,2       | 80,8     |
| 8                     | 03-11-2022 08:58:23    | E190    | D         | 72,7      | 75,9       | 86,7     |
| 8                     | 03-11-2022 08:59:40    | B738    | D         | 69,6      | 71,9       | 84,1     |
| 8                     | 03-11-2022 09:17:58    | B738    | D         | 72,4      | 74,7       | 87,0     |
| 8                     | 03-11-2022 09:20:09    | E195    | D         | 71,3      | 74,3       | 84,3     |
| 8                     | 03-11-2022 09:29:33    | E190    | D         | 70,3      | 71,9       | 82,8     |
| 8                     | 03-11-2022 09:32:05    | B738    | D         | 72,6      | 76,2       | 85,4     |
| 8                     | 03-11-2022 09:48:43    | E190    | D         | 70,7      | 73,6       | 83,5     |
| 8                     | 03-11-2022 09:53:27    | A320    | D         | 68,6      | 71,8       | 82,0     |
| 8                     | 03-11-2022 10:00:53    | CL35    | D         | 68,3      | 69,9       | 81,4     |
| 8                     | 03-11-2022 10:05:33    | CRJ9    | D         | 68,1      | 69,6       | 81,5     |
| 8                     | 03-11-2022 10:08:26    | A21N    | D         | 68,5      | 69,7       | 81,2     |
| 8                     | 03-11-2022 10:13:05    | E195    | D         | 69,2      | 71,2       | 82,8     |
| 8                     | 03-11-2022 10:16:57    | B737    | D         | 70,6      | 73,6       | 84,4     |
| 8                     | 03-11-2022 10:21:16    | E170    | D         | 70,3      | 72,7       | 82,8     |
| 8                     | 03-11-2022 10:36:40    | C525    | D         | 67,6      | 69,3       | 80,1     |
| 8                     | 03-11-2022 10:38:56    | E75S    | D         | 71,1      | 73,4       | 83,4     |
| 8                     | 03-11-2022 10:40:20    | E170    | D         | 69,5      | 71,1       | 82,3     |
| 8                     | 03-11-2022 10:41:41    | E190    | D         | 70,9      | 72,8       | 82,4     |
| 8                     | 03-11-2022 10:46:28    | E190    | D         | 71,8      | 75,5       | 84,4     |
| 8                     | 03-11-2022 10:47:40    | E75S    | D         | 71,4      | 74,5       | 84,5     |
| 8                     | 03-11-2022 10:51:50    | E170    | D         | 69,6      | 72,0       | 82,4     |
| 8                     | 03-11-2022 10:55:43    | E170    | D         | 71,0      | 74,5       | 84,0     |
| 8                     | 03-11-2022 10:59:54    | B38M    | D         | 69,7      | 71,9       | 82,0     |
| 8                     | 03-11-2022 11:05:10    | E75S    | D         | 71,3      | 74,6       | 83,8     |
| 8                     | 03-11-2022 11:17:53    | E75S    | D         | 71,3      | 74,1       | 84,0     |
| 8                     | 03-11-2022 11:21:38    | B38M    | D         | 68,6      | 70,1       | 80,4     |
| 8                     | 03-11-2022 11:27:20    | A21N    | D         | 70,3      | 73,2       | 83,3     |
| 8                     | 03-11-2022 11:43:23    | B738    | D         | 72,0      | 76,8       | 87,5     |
| 8                     | 03-11-2022 12:06:12    | E195    | D         | 76,5      | 80,7       | 89,0     |
| 8                     | 03-11-2022 12:09:49    | C56X    | D         | 67,9      | 68,8       | 77,5     |
| 8                     | 03-11-2022 12:20:45    | B738    | D         | 71,1      | 74,2       | 84,3     |
| 8                     | 03-11-2022 12:47:16    | A321    | D         | 70,3      | 72,9       | 85,2     |
| 8                     | 03-11-2022 12:59:02    | E190    | D         | 74,7      | 78,1       | 87,9     |
| 8                     | 03-11-2022 13:01:37    | A320    | D         | 68,8      | 70,8       | 80,8     |

| Nr punktu pomiarowego | Data i godz. zdarzenia | Samolot | Operacja* | $L_{Aeq}$ | $L_{Amax}$ | $L_{AE}$ |
|-----------------------|------------------------|---------|-----------|-----------|------------|----------|
|                       |                        |         |           | [dB]      | [dB]       | [dB]     |
| 8                     | 03-11-2022 13:05:25    | A321    | D         | 71,6      | 74,6       | 86,4     |
| 8                     | 03-11-2022 13:07:13    | BCS3    | D         | 68,5      | 71,3       | 80,8     |
| 8                     | 03-11-2022 13:09:19    | E195    | D         | 71,3      | 73,3       | 83,6     |
| 8                     | 03-11-2022 13:13:59    | CRJX    | D         | 69,0      | 71,3       | 83,0     |
| 8                     | 03-11-2022 13:21:14    | E190    | D         | 71,3      | 73,9       | 83,8     |
| 8                     | 03-11-2022 13:22:34    | E75S    | D         | 69,9      | 72,6       | 82,7     |
| 8                     | 03-11-2022 13:29:44    | B77W    | D         | 73,2      | 75,7       | 87,2     |
| 8                     | 03-11-2022 13:32:46    | E195    | D         | 69,6      | 72,4       | 82,4     |
| 8                     | 03-11-2022 13:34:05    | E75S    | D         | 73,3      | 75,5       | 85,6     |
| 8                     | 03-11-2022 13:38:39    | A319    | D         | 68,8      | 71,8       | 82,7     |
| 8                     | 03-11-2022 13:40:00    | E75S    | D         | 71,6      | 74,0       | 83,6     |
| 8                     | 03-11-2022 13:43:35    | E195    | D         | 70,8      | 74,1       | 83,8     |
| 8                     | 03-11-2022 13:51:35    | E75S    | D         | 70,9      | 72,6       | 82,6     |
| 8                     | 03-11-2022 14:09:54    | A321    | D         | 67,8      | 70,2       | 81,0     |
| 8                     | 03-11-2022 14:22:36    | E190    | D         | 72,9      | 76,0       | 85,7     |
| 8                     | 03-11-2022 14:24:44    | B38M    | D         | 67,5      | 69,2       | 78,3     |
| 8                     | 03-11-2022 14:35:18    | A21N    | D         | 70,2      | 72,5       | 81,7     |
| 8                     | 03-11-2022 14:36:56    | C295    | D         | 70,1      | 71,1       | 80,9     |
| 8                     | 03-11-2022 14:55:30    | A319    | D         | 67,8      | 68,5       | 77,8     |
| 8                     | 03-11-2022 15:00:23    | E170    | D         | 70,3      | 72,2       | 82,8     |
| 8                     | 03-11-2022 15:03:06    | E195    | D         | 69,6      | 73,0       | 83,0     |
| 8                     | 03-11-2022 15:04:48    | B738    | D         | 70,8      | 73,4       | 83,1     |
| 8                     | 03-11-2022 15:07:33    | E75S    | D         | 73,0      | 75,3       | 85,5     |
| 8                     | 03-11-2022 15:08:52    | E195    | D         | 71,9      | 74,3       | 84,0     |
| 8                     | 03-11-2022 15:11:05    | E195    | D         | 71,6      | 74,4       | 84,0     |
| 8                     | 03-11-2022 15:12:41    | E75S    | D         | 70,4      | 71,6       | 82,4     |
| 8                     | 03-11-2022 15:19:50    | E195    | D         | 70,9      | 73,0       | 83,2     |
| 8                     | 03-11-2022 15:27:43    | E170    | D         | 72,2      | 75,0       | 84,5     |
| 8                     | 03-11-2022 15:31:27    | E190    | D         | 70,8      | 73,4       | 82,8     |
| 8                     | 03-11-2022 15:40:17    | CL35    | D         | 69,0      | 71,0       | 80,7     |
| 8                     | 03-11-2022 15:45:39    | A321    | D         | 71,7      | 73,3       | 84,7     |
| 8                     | 03-11-2022 15:53:03    | E170    | D         | 70,1      | 71,8       | 82,4     |
| 8                     | 03-11-2022 16:02:09    | E190    | D         | 73,9      | 77,0       | 86,2     |
| 8                     | 03-11-2022 16:04:14    | E195    | D         | 71,9      | 74,0       | 84,5     |
| 8                     | 03-11-2022 16:05:57    | E75S    | D         | 70,9      | 73,0       | 83,2     |
| 8                     | 03-11-2022 16:12:48    | B788    | D         | 70,6      | 72,4       | 83,6     |
| 8                     | 03-11-2022 16:17:42    | E190    | D         | 71,5      | 73,7       | 83,3     |
| 8                     | 03-11-2022 16:40:34    | B38M    | A         | 71,0      | 73,2       | 81,4     |
| 8                     | 03-11-2022 16:52:28    | A321    | A         | 70,8      | 73,1       | 81,2     |
| 8                     | 03-11-2022 17:01:19    | A320    | A         | 71,1      | 73,2       | 81,1     |
| 8                     | 03-11-2022 17:07:35    | E195    | A         | 71,8      | 74,5       | 83,3     |
| 8                     | 03-11-2022 17:13:11    | A320    | A         | 72,1      | 75,1       | 84,1     |
| 8                     | 03-11-2022 17:18:17    | DH8D    | A         | 69,0      | 70,3       | 78,1     |
| 8                     | 03-11-2022 17:22:55    | B789    | A         | 70,4      | 72,6       | 82,4     |
| 8                     | 03-11-2022 17:30:16    | B789    | A         | 71,8      | 75,5       | 84,8     |
| 8                     | 03-11-2022 17:34:02    | CRJ9    | A         | 69,9      | 71,4       | 79,5     |
| 8                     | 03-11-2022 17:40:18    | E170    | A         | 71,0      | 73,4       | 82,1     |
| 8                     | 03-11-2022 17:49:30    | CRJ9    | A         | 69,5      | 71,2       | 79,9     |
| 8                     | 03-11-2022 17:52:02    | E190    | A         | 71,4      | 73,8       | 83,2     |
| 8                     | 03-11-2022 17:53:46    | E170    | A         | 70,8      | 73,1       | 81,9     |
| 8                     | 03-11-2022 18:04:49    | B788    | A         | 71,2      | 74,7       | 84,4     |
| 8                     | 03-11-2022 18:15:50    | E190    | A         | 71,7      | 75,1       | 84,3     |
| 8                     | 03-11-2022 18:19:57    | E170    | A         | 69,5      | 71,4       | 80,3     |
| 8                     | 03-11-2022 18:24:13    | E195    | A         | 71,9      | 74,2       | 83,7     |
| 8                     | 03-11-2022 18:31:20    | B38M    | A         | 71,0      | 74,4       | 83,0     |
| 8                     | 03-11-2022 18:35:25    | E75S    | A         | 70,6      | 73,1       | 82,0     |
| 8                     | 03-11-2022 18:38:11    | E190    | A         | 71,4      | 74,3       | 83,9     |

| Nr punktu pomiarowego | Data i godz. zdarzenia | Samolot | Operacja* | $L_{Aeq}$ | $L_{Amax}$ | $L_{AE}$ |
|-----------------------|------------------------|---------|-----------|-----------|------------|----------|
|                       |                        |         |           | [dB]      | [dB]       | [dB]     |
| 8                     | 03-11-2022 18:40:14    | B38M    | A         | 70,9      | 74,8       | 83,2     |
| 8                     | 03-11-2022 18:42:26    | E75S    | A         | 71,1      | 73,8       | 83,1     |
| 8                     | 03-11-2022 18:44:22    | E190    | A         | 71,9      | 75,4       | 84,7     |
| 8                     | 03-11-2022 18:46:16    | E75S    | A         | 70,2      | 72,4       | 81,6     |
| 8                     | 03-11-2022 18:48:08    | E195    | A         | 72,3      | 75,3       | 84,6     |
| 8                     | 03-11-2022 18:52:44    | E195    | A         | 71,0      | 74,9       | 84,0     |
| 8                     | 03-11-2022 18:54:33    | GLF4    | A         | 70,9      | 73,9       | 83,5     |
| 8                     | 03-11-2022 18:56:38    | CL35    | A         | 66,9      | 68,0       | 76,0     |
| 8                     | 03-11-2022 18:58:26    | A20N    | A         | 69,9      | 73,1       | 83,3     |
| 8                     | 03-11-2022 19:00:02    | E195    | A         | 72,8      | 75,7       | 85,3     |
| 8                     | 03-11-2022 19:01:58    | E190    | A         | 70,2      | 74,9       | 84,0     |
| 8                     | 03-11-2022 19:03:46    | E75S    | A         | 69,8      | 73,0       | 82,1     |
| 8                     | 03-11-2022 19:05:37    | B738    | A         | 72,2      | 76,2       | 84,9     |
| 8                     | 03-11-2022 19:07:48    | E170    | A         | 70,2      | 72,7       | 82,0     |
| 8                     | 03-11-2022 19:13:52    | E195    | A         | 71,4      | 74,2       | 83,7     |
| 8                     | 03-11-2022 19:22:04    | A319    | A         | 70,0      | 72,6       | 82,1     |
| 8                     | 03-11-2022 19:23:59    | E75S    | A         | 70,4      | 73,7       | 82,4     |
| 8                     | 03-11-2022 19:38:28    | E295    | A         | 69,2      | 72,3       | 82,0     |
| 8                     | 03-11-2022 19:47:36    | E75S    | A         | 70,6      | 73,2       | 82,9     |
| 8                     | 03-11-2022 19:54:12    | DH8D    | A         | 68,7      | 70,7       | 79,5     |
| 8                     | 03-11-2022 20:18:14    | B738    | A         | 72,8      | 76,3       | 85,6     |
| 8                     | 03-11-2022 20:25:50    | B38M    | A         | 71,4      | 74,9       | 83,7     |
| 8                     | 03-11-2022 20:51:29    | E190    | A         | 71,9      | 75,8       | 84,7     |
| 8                     | 03-11-2022 20:53:38    | E195    | A         | 72,1      | 75,1       | 84,2     |
| 8                     | 03-11-2022 20:55:50    | E190    | A         | 71,0      | 74,6       | 84,2     |
| 8                     | 03-11-2022 20:58:54    | B789    | A         | 69,6      | 73,7       | 83,9     |
| 8                     | 03-11-2022 21:01:29    | B738    | A         | 72,9      | 76,4       | 85,9     |
| 8                     | 03-11-2022 21:07:00    | E195    | A         | 71,4      | 75,7       | 84,6     |
| 8                     | 03-11-2022 21:15:44    | E195    | A         | 72,5      | 76,0       | 85,7     |
| 8                     | 03-11-2022 21:26:14    | E75S    | A         | 70,6      | 74,6       | 83,4     |
| 8                     | 03-11-2022 21:28:06    | E195    | A         | 72,0      | 74,8       | 84,3     |
| 8                     | 03-11-2022 21:29:50    | E195    | A         | 71,5      | 75,1       | 84,9     |
| 8                     | 03-11-2022 21:31:42    | A321    | A         | 69,8      | 72,6       | 82,1     |
| 8                     | 03-11-2022 21:33:33    | A319    | A         | 70,5      | 74,5       | 84,1     |
| 8                     | 03-11-2022 21:35:10    | E75S    | A         | 71,0      | 73,4       | 82,4     |
| 8                     | 03-11-2022 21:37:18    | E75S    | A         | 70,4      | 73,1       | 82,1     |
| 8                     | 03-11-2022 21:38:57    | E195    | A         | 71,1      | 75,4       | 84,7     |
| 8                     | 03-11-2022 21:42:31    | DH8D    | A         | 69,1      | 70,8       | 78,1     |
| 8                     | 03-11-2022 21:46:35    | E75S    | A         | 71,5      | 75,0       | 84,3     |
| 8                     | 03-11-2022 21:50:53    | E195    | A         | 71,8      | 75,6       | 84,6     |
| 8                     | 03-11-2022 21:53:07    | E195    | A         | 71,9      | 75,4       | 84,7     |
| 8                     | 03-11-2022 21:55:13    | A320    | A         | 72,6      | 76,9       | 85,4     |
| 8                     | 03-11-2022 21:57:39    | B38M    | A         | 71,0      | 73,9       | 83,6     |
| 8                     | 04-11-2022 06:03:18    | A306    | A         | 74,6      | 80,2       | 89,5     |
| 8                     | 04-11-2022 06:05:29    | E75S    | A         | 71,6      | 74,0       | 83,3     |
| 8                     | 04-11-2022 06:08:50    | E190    | A         | 72,4      | 75,4       | 83,9     |
| 8                     | 04-11-2022 06:10:56    | E75S    | A         | 71,0      | 73,0       | 82,8     |
| 8                     | 04-11-2022 06:12:56    | E195    | A         | 71,1      | 75,5       | 84,9     |
| 8                     | 04-11-2022 06:15:43    | E195    | A         | 72,4      | 75,6       | 84,7     |
| 8                     | 04-11-2022 06:17:55    | DH8D    | A         | 70,2      | 72,5       | 81,4     |
| 8                     | 04-11-2022 06:19:35    | E75S    | A         | 71,5      | 75,2       | 84,5     |
| 8                     | 04-11-2022 06:22:00    | E195    | A         | 73,3      | 75,9       | 85,0     |
| 8                     | 04-11-2022 06:24:04    | E75S    | A         | 71,5      | 75,7       | 84,9     |
| 8                     | 04-11-2022 06:26:18    | DH8D    | A         | 69,2      | 71,3       | 79,2     |
| 8                     | 04-11-2022 06:28:57    | B738    | A         | 71,8      | 75,9       | 84,6     |
| 8                     | 04-11-2022 06:32:43    | A21N    | A         | 71,9      | 75,9       | 84,7     |
| 8                     | 04-11-2022 07:30:04    | B738    | A         | 74,6      | 79,0       | 87,1     |

| Nr punktu pomiarowego | Data i godz. zdarzenia | Samolot | Operacja* | $L_{Aeq}$ | $L_{Amax}$ | $L_{AE}$ |
|-----------------------|------------------------|---------|-----------|-----------|------------|----------|
|                       |                        |         |           | [dB]      | [dB]       | [dB]     |
| 8                     | 04-11-2022 07:32:03    | B38M    | A         | 72,5      | 75,9       | 85,3     |
| 8                     | 04-11-2022 07:37:03    | B789    | A         | 70,4      | 73,9       | 84,7     |
| 8                     | 04-11-2022 07:59:03    | E190    | A         | 71,6      | 74,4       | 83,9     |
| 8                     | 04-11-2022 08:11:34    | E75S    | A         | 71,7      | 75,5       | 84,7     |
| 8                     | 04-11-2022 08:16:05    | E195    | A         | 71,6      | 75,1       | 84,4     |
| 8                     | 04-11-2022 08:21:41    | B738    | A         | 72,0      | 76,2       | 85,6     |
| 8                     | 04-11-2022 08:24:40    | E170    | A         | 69,6      | 73,0       | 82,2     |
| 8                     | 04-11-2022 08:27:31    | E195    | A         | 73,1      | 77,3       | 85,4     |
| 8                     | 04-11-2022 08:38:55    | E75S    | A         | 69,7      | 73,3       | 82,7     |
| 8                     | 04-11-2022 08:44:50    | E170    | A         | 69,7      | 72,6       | 82,5     |
| 8                     | 04-11-2022 08:47:15    | A321    | A         | 71,5      | 74,9       | 83,8     |
| 8                     | 04-11-2022 08:49:23    | E190    | A         | 71,6      | 75,7       | 84,8     |
| 8                     | 04-11-2022 08:53:51    | E170    | A         | 71,0      | 74,6       | 83,3     |
| 8                     | 04-11-2022 09:02:38    | E75S    | A         | 70,2      | 73,9       | 83,5     |
| 8                     | 04-11-2022 09:05:14    | E75S    | A         | 71,9      | 74,1       | 82,7     |
| 8                     | 04-11-2022 09:07:34    | B38M    | A         | 70,9      | 74,7       | 83,2     |
| 8                     | 04-11-2022 09:10:26    | E190    | A         | 72,1      | 75,4       | 84,1     |
| 8                     | 04-11-2022 09:17:04    | E195    | A         | 71,5      | 75,3       | 84,9     |
| 8                     | 04-11-2022 09:19:01    | E195    | A         | 72,9      | 75,8       | 85,2     |
| 8                     | 04-11-2022 09:20:57    | CRJ9    | A         | 69,9      | 73,6       | 82,2     |
| 8                     | 04-11-2022 09:23:02    | E75S    | A         | 70,8      | 73,1       | 82,8     |
| 8                     | 04-11-2022 09:24:49    | DH8D    | A         | 70,3      | 72,3       | 80,3     |
| 8                     | 04-11-2022 09:27:01    | DH8D    | A         | 69,9      | 71,2       | 78,9     |
| 8                     | 04-11-2022 09:30:07    | E190    | A         | 71,5      | 75,8       | 83,6     |
| 8                     | 04-11-2022 09:32:16    | E75S    | A         | 72,9      | 76,1       | 83,7     |
| 8                     | 04-11-2022 09:34:29    | E195    | A         | 72,7      | 77,2       | 85,7     |
| 8                     | 04-11-2022 09:39:29    | A21N    | A         | 71,3      | 74,8       | 83,1     |
| 8                     | 04-11-2022 09:42:23    | E195    | A         | 72,5      | 77,7       | 85,9     |
| 8                     | 04-11-2022 09:45:36    | B38M    | A         | 71,4      | 74,5       | 83,5     |
| 8                     | 04-11-2022 09:52:10    | E195    | A         | 72,4      | 75,8       | 84,7     |
| 8                     | 04-11-2022 10:10:21    | G280    | A         | 67,2      | 69,0       | 77,2     |
| 8                     | 04-11-2022 10:44:13    | A320    | A         | 72,1      | 74,6       | 83,5     |
| 8                     | 04-11-2022 10:49:29    | A321    | A         | 71,1      | 73,7       | 82,8     |
| 8                     | 04-11-2022 10:52:13    | DH8D    | A         | 68,2      | 69,3       | 79,0     |
| 8                     | 04-11-2022 10:56:09    | E75S    | A         | 71,5      | 74,9       | 83,5     |
| 8                     | 04-11-2022 11:01:16    | B789    | A         | 72,4      | 76,6       | 86,6     |
| 8                     | 04-11-2022 11:04:00    | B738    | A         | 73,0      | 76,1       | 85,3     |
| 8                     | 04-11-2022 11:11:52    | E170    | A         | 69,7      | 74,4       | 83,3     |
| 8                     | 04-11-2022 11:18:47    | B77W    | A         | 73,9      | 79,5       | 88,5     |
| 8                     | 04-11-2022 11:26:54    | A321    | A         | 72,0      | 76,1       | 84,0     |
| 8                     | 04-11-2022 11:35:16    | E75S    | A         | 71,7      | 74,5       | 83,5     |
| 8                     | 04-11-2022 11:41:39    | A321    | A         | 71,9      | 75,9       | 84,5     |
| 8                     | 04-11-2022 11:46:58    | E190    | A         | 71,5      | 76,4       | 83,8     |
| 8                     | 04-11-2022 11:49:32    | A21N    | A         | 71,5      | 75,0       | 83,3     |
| 8                     | 04-11-2022 11:51:36    | A318    | A         | 71,8      | 75,8       | 85,0     |
| 8                     | 04-11-2022 11:54:52    | E75S    | A         | 70,5      | 73,4       | 82,3     |
| 8                     | 04-11-2022 11:59:05    | E190    | A         | 72,4      | 75,1       | 84,1     |
| 8                     | 04-11-2022 12:02:02    | A21N    | A         | 71,6      | 74,3       | 82,7     |
| 8                     | 04-11-2022 12:04:22    | B788    | A         | 72,2      | 75,3       | 84,8     |
| 8                     | 04-11-2022 12:08:26    | E195    | A         | 71,7      | 75,3       | 84,0     |
| 8                     | 04-11-2022 12:13:24    | E195    | A         | 72,7      | 76,2       | 84,1     |
| 8                     | 04-11-2022 12:15:27    | E170    | A         | 71,5      | 73,9       | 82,6     |
| 8                     | 04-11-2022 12:17:22    | E190    | A         | 71,6      | 76,3       | 84,2     |
| 8                     | 04-11-2022 12:19:34    | E75S    | A         | 71,7      | 75,3       | 83,8     |
| 8                     | 04-11-2022 12:21:50    | E195    | A         | 70,8      | 73,6       | 82,5     |
| 8                     | 04-11-2022 12:24:07    | E195    | A         | 73,6      | 76,7       | 84,8     |
| 8                     | 04-11-2022 12:26:26    | A21N    | A         | 70,9      | 74,4       | 83,2     |

| Nr punktu pomiarowego | Data i godz. zdarzenia | Samolot | Operacja* | $L_{Aeq}$ | $L_{Amax}$ | $L_{AE}$ |
|-----------------------|------------------------|---------|-----------|-----------|------------|----------|
|                       |                        |         |           | [dB]      | [dB]       | [dB]     |
| 8                     | 04-11-2022 12:28:36    | E75S    | A         | 70,3      | 73,2       | 82,9     |
| 8                     | 04-11-2022 12:31:05    | A321    | A         | 71,1      | 75,8       | 83,6     |
| 8                     | 04-11-2022 12:35:34    | E195    | A         | 71,4      | 74,7       | 83,9     |
| 8                     | 04-11-2022 12:38:49    | B788    | A         | 72,1      | 76,4       | 84,8     |
| 8                     | 04-11-2022 12:41:46    | E190    | A         | 71,9      | 77,5       | 85,8     |
| 8                     | 04-11-2022 12:50:42    | E195    | A         | 71,5      | 75,1       | 84,7     |
| 8                     | 04-11-2022 12:53:06    | A319    | A         | 70,8      | 73,8       | 83,4     |
| 8                     | 04-11-2022 12:55:21    | E170    | A         | 71,2      | 74,0       | 83,3     |
| 8                     | 04-11-2022 12:57:47    | DH8D    | A         | 69,5      | 71,2       | 79,5     |
| 8                     | 04-11-2022 13:08:51    | E75S    | A         | 70,9      | 73,5       | 82,6     |
| 8                     | 04-11-2022 13:11:11    | E75S    | A         | 71,9      | 73,9       | 81,9     |
| 8                     | 04-11-2022 13:13:50    | B789    | A         | 71,4      | 76,2       | 85,8     |
| 8                     | 04-11-2022 13:31:40    | B789    | A         | 72,3      | 75,7       | 85,8     |
| 8                     | 04-11-2022 13:38:08    | E75S    | A         | 69,8      | 72,7       | 82,1     |
| 8                     | 04-11-2022 13:46:07    | E290    | A         | 71,3      | 73,6       | 81,7     |
| 8                     | 04-11-2022 13:49:45    | E195    | A         | 72,4      | 76,4       | 84,4     |
| 8                     | 04-11-2022 13:51:52    | B38M    | A         | 70,8      | 73,0       | 81,9     |
| 8                     | 04-11-2022 13:54:22    | E195    | A         | 72,9      | 76,4       | 84,4     |
| 8                     | 04-11-2022 14:00:02    | A21N    | A         | 70,7      | 74,4       | 82,4     |
| 8                     | 04-11-2022 14:02:22    | E195    | A         | 70,9      | 75,5       | 84,2     |
| 8                     | 04-11-2022 14:04:48    | E195    | A         | 71,9      | 74,1       | 83,0     |
| 8                     | 04-11-2022 14:07:03    | DH8D    | A         | 69,3      | 70,6       | 79,3     |
| 8                     | 04-11-2022 14:10:15    | A319    | A         | 71,9      | 75,1       | 83,7     |
| 8                     | 04-11-2022 14:22:05    | B788    | A         | 70,4      | 74,9       | 84,6     |
| 8                     | 04-11-2022 14:25:37    | E75S    | A         | 71,1      | 73,6       | 81,9     |
| 8                     | 04-11-2022 14:28:32    | B38M    | A         | 71,3      | 74,3       | 83,6     |
| 8                     | 04-11-2022 14:36:55    | E75S    | A         | 72,0      | 76,0       | 83,2     |
| 8                     | 04-11-2022 14:42:20    | A21N    | A         | 71,0      | 73,9       | 82,8     |
| 8                     | 04-11-2022 14:50:19    | E75S    | A         | 70,4      | 73,1       | 81,2     |
| 8                     | 04-11-2022 14:52:50    | E190    | A         | 71,9      | 73,5       | 83,4     |
| 8                     | 04-11-2022 15:02:06    | E170    | A         | 70,1      | 71,6       | 81,2     |
| 8                     | 04-11-2022 15:08:49    | B738    | A         | 74,2      | 78,3       | 87,0     |
| 8                     | 04-11-2022 15:12:19    | E195    | A         | 72,8      | 74,8       | 84,2     |
| 8                     | 04-11-2022 15:14:22    | B738    | A         | 71,0      | 73,8       | 83,0     |
| 8                     | 04-11-2022 15:16:32    | E195    | A         | 72,9      | 76,9       | 84,9     |
| 8                     | 04-11-2022 15:19:21    | E170    | A         | 71,1      | 74,6       | 83,2     |
| 8                     | 04-11-2022 15:21:41    | DH8D    | A         | 69,8      | 71,9       | 79,8     |
| 8                     | 04-11-2022 15:29:28    | E75S    | A         | 72,2      | 75,2       | 83,7     |
| 8                     | 04-11-2022 15:31:44    | E190    | A         | 71,4      | 74,6       | 83,7     |
| 8                     | 04-11-2022 15:34:11    | E195    | A         | 73,4      | 77,2       | 85,1     |
| 8                     | 04-11-2022 15:36:05    | C295    | A         | 71,3      | 74,0       | 80,8     |
| 8                     | 04-11-2022 15:38:24    | E195    | A         | 72,0      | 75,4       | 84,5     |
| 8                     | 04-11-2022 15:41:07    | E170    | A         | 71,4      | 73,9       | 82,5     |
| 8                     | 04-11-2022 15:43:01    | E195    | A         | 72,0      | 75,2       | 84,7     |
| 8                     | 04-11-2022 15:45:14    | DH8D    | A         | 68,4      | 71,2       | 80,5     |
| 8                     | 04-11-2022 15:47:39    | E190    | A         | 71,5      | 74,5       | 84,2     |
| 8                     | 04-11-2022 15:50:37    | E75S    | A         | 70,4      | 74,6       | 83,2     |
| 8                     | 04-11-2022 15:56:42    | E195    | A         | 72,0      | 75,6       | 85,0     |
| 8                     | 04-11-2022 15:58:31    | E75S    | A         | 78,9      | 90,7       | 96,4     |
| 8                     | 04-11-2022 16:01:28    | A319    | A         | 71,4      | 75,3       | 82,9     |
| 8                     | 04-11-2022 16:06:36    | E190    | A         | 71,1      | 74,9       | 83,8     |
| 8                     | 04-11-2022 16:17:07    | A320    | A         | 73,4      | 76,7       | 85,7     |
| 8                     | 04-11-2022 16:20:05    | B738    | A         | 71,2      | 74,0       | 83,8     |
| 8                     | 04-11-2022 16:27:40    | B38M    | A         | 70,9      | 75,4       | 83,9     |
| 8                     | 04-11-2022 16:45:14    | A321    | A         | 72,2      | 76,3       | 85,0     |
| 8                     | 04-11-2022 16:47:13    | A321    | A         | 71,3      | 74,5       | 83,4     |
| 8                     | 04-11-2022 16:59:31    | A21N    | A         | 71,6      | 75,7       | 83,9     |

| Nr punktu pomiarowego | Data i godz. zdarzenia | Samolot | Operacja* | $L_{Aeq}$ | $L_{Amax}$ | $L_{AE}$ |
|-----------------------|------------------------|---------|-----------|-----------|------------|----------|
|                       |                        |         |           | [dB]      | [dB]       | [dB]     |
| 8                     | 04-11-2022 17:22:07    | E75S    | A         | 71,4      | 74,3       | 84,0     |
| 8                     | 04-11-2022 17:27:21    | C560    | A         | 68,4      | 70,1       | 79,2     |
| 8                     | 04-11-2022 17:37:05    | CRJ9    | A         | 69,8      | 72,1       | 80,6     |
| 8                     | 04-11-2022 17:39:28    | A333    | A         | 75,2      | 79,4       | 88,8     |
| 8                     | 04-11-2022 17:41:58    | A320    | A         | 71,0      | 74,9       | 84,6     |
| 8                     | 04-11-2022 17:48:50    | A321    | A         | 72,1      | 75,0       | 83,5     |
| 8                     | 04-11-2022 17:51:28    | C295    | A         | 70,2      | 73,2       | 81,0     |
| 8                     | 04-11-2022 17:53:58    | E170    | A         | 71,9      | 75,9       | 83,9     |
| 8                     | 04-11-2022 17:57:30    | E195    | A         | 70,6      | 74,1       | 83,8     |
| 8                     | 04-11-2022 18:03:08    | A20N    | A         | 70,2      | 73,8       | 83,0     |
| 8                     | 04-11-2022 18:10:52    | E190    | A         | 71,8      | 74,6       | 84,1     |
| 8                     | 04-11-2022 18:15:45    | E75S    | A         | 72,2      | 77,0       | 84,7     |
| 8                     | 04-11-2022 18:19:51    | CRJ9    | A         | 70,5      | 73,2       | 82,6     |
| 8                     | 04-11-2022 18:29:45    | E195    | A         | 71,5      | 76,1       | 84,9     |
| 8                     | 04-11-2022 18:40:10    | E190    | A         | 71,6      | 75,2       | 84,6     |
| 8                     | 04-11-2022 18:43:44    | E195    | A         | 72,5      | 75,5       | 85,1     |
| 8                     | 04-11-2022 18:47:30    | B738    | A         | 72,8      | 77,5       | 86,2     |
| 8                     | 04-11-2022 18:53:15    | DH8D    | A         | 69,1      | 71,8       | 81,2     |
| 8                     | 04-11-2022 18:55:54    | DH8D    | A         | 69,0      | 71,4       | 80,2     |
| 8                     | 04-11-2022 18:57:56    | E190    | A         | 71,2      | 75,9       | 84,6     |
| 8                     | 04-11-2022 18:59:57    | B738    | A         | 71,4      | 77,5       | 85,3     |
| 8                     | 04-11-2022 19:01:48    | E195    | A         | 72,8      | 77,1       | 85,8     |
| 8                     | 04-11-2022 19:03:41    | A319    | A         | 70,5      | 75,3       | 84,8     |
| 8                     | 04-11-2022 19:06:00    | B738    | A         | 74,6      | 79,7       | 87,6     |
| 8                     | 04-11-2022 19:08:34    | E290    | A         | 69,0      | 72,6       | 82,0     |
| 8                     | 04-11-2022 19:10:30    | E75S    | A         | 71,6      | 75,7       | 84,2     |
| 8                     | 04-11-2022 19:12:25    | E75S    | A         | 71,3      | 74,5       | 83,4     |
| 8                     | 04-11-2022 19:14:55    | E75S    | A         | 71,1      | 74,3       | 83,9     |
| 8                     | 04-11-2022 19:23:45    | B38M    | A         | 71,5      | 75,9       | 84,0     |
| 8                     | 04-11-2022 19:36:29    | E195    | A         | 72,1      | 75,4       | 85,1     |
| 8                     | 04-11-2022 19:51:36    | E190    | A         | 71,9      | 74,8       | 83,7     |
| 8                     | 04-11-2022 20:13:07    | B38M    | A         | 71,8      | 75,8       | 84,9     |
| 8                     | 04-11-2022 20:32:49    | B789    | A         | 71,9      | 75,4       | 85,5     |
| 8                     | 04-11-2022 20:39:56    | E75S    | A         | 71,2      | 74,8       | 83,9     |
| 8                     | 04-11-2022 20:48:54    | E190    | A         | 71,4      | 74,6       | 84,0     |
| 8                     | 04-11-2022 20:51:09    | B738    | A         | 74,2      | 79,4       | 87,8     |
| 8                     | 04-11-2022 21:00:55    | E190    | A         | 71,2      | 75,0       | 84,2     |
| 8                     | 04-11-2022 21:05:16    | E75S    | A         | 70,6      | 73,8       | 82,9     |
| 8                     | 04-11-2022 21:08:34    | E195    | A         | 72,1      | 75,5       | 84,4     |
| 8                     | 04-11-2022 21:12:36    | B738    | A         | 71,2      | 76,3       | 84,6     |
| 8                     | 04-11-2022 21:16:37    | E195    | A         | 73,0      | 76,5       | 85,0     |
| 8                     | 04-11-2022 21:18:24    | B738    | A         | 71,9      | 75,9       | 84,7     |
| 8                     | 04-11-2022 21:20:24    | E75S    | A         | 70,6      | 74,1       | 83,1     |
| 8                     | 04-11-2022 21:22:21    | E75S    | A         | 71,6      | 74,3       | 83,4     |
| 8                     | 04-11-2022 21:23:59    | E195    | A         | 72,5      | 75,8       | 84,8     |
| 8                     | 04-11-2022 21:26:13    | B38M    | A         | 70,6      | 74,3       | 82,9     |
| 8                     | 04-11-2022 21:30:16    | E75S    | A         | 71,6      | 75,4       | 83,7     |
| 8                     | 04-11-2022 21:39:29    | E190    | A         | 71,4      | 75,3       | 84,6     |
| 8                     | 04-11-2022 21:41:38    | E190    | A         | 69,9      | 74,7       | 84,0     |
| 8                     | 04-11-2022 21:43:31    | E195    | A         | 72,3      | 75,9       | 85,3     |
| 8                     | 04-11-2022 21:45:36    | E195    | A         | 72,0      | 76,5       | 85,2     |
| 8                     | 04-11-2022 21:53:31    | A321    | A         | 72,7      | 76,3       | 85,0     |
| 8                     | 04-11-2022 21:55:58    | B38M    | A         | 70,1      | 72,5       | 81,6     |
| 8                     | 04-11-2022 21:59:48    | E195    | A         | 72,0      | 75,8       | 84,8     |
| 8                     | 05-11-2022 06:03:39    | E195    | A         | 73,7      | 76,5       | 84,4     |
| 8                     | 05-11-2022 06:11:07    | E75S    | A         | 70,5      | 73,2       | 81,6     |
| 8                     | 05-11-2022 06:12:54    | E190    | A         | 72,4      | 75,9       | 84,2     |

| Nr punktu pomiarowego | Data i godz. zdarzenia | Samolot | Operacja* | $L_{Aeq}$ | $L_{Amax}$ | $L_{AE}$ |
|-----------------------|------------------------|---------|-----------|-----------|------------|----------|
|                       |                        |         |           | [dB]      | [dB]       | [dB]     |
| 8                     | 05-11-2022 06:14:44    | E195    | A         | 72,7      | 75,2       | 83,5     |
| 8                     | 05-11-2022 06:16:50    | E75S    | A         | 71,1      | 73,2       | 81,9     |
| 8                     | 05-11-2022 06:18:40    | E75S    | A         | 70,1      | 74,1       | 83,2     |
| 8                     | 05-11-2022 06:20:28    | E190    | A         | 72,3      | 74,9       | 84,0     |
| 8                     | 05-11-2022 06:23:52    | E195    | A         | 74,4      | 77,7       | 85,6     |
| 8                     | 05-11-2022 06:47:10    | B38M    | A         | 71,6      | 74,9       | 83,6     |
| 8                     | 05-11-2022 07:36:55    | B738    | A         | 71,8      | 75,9       | 84,4     |
| 8                     | 05-11-2022 07:57:52    | B738    | A         | 71,8      | 76,0       | 84,6     |
| 8                     | 05-11-2022 08:01:48    | E170    | A         | 68,7      | 71,1       | 80,2     |
| 8                     | 05-11-2022 08:04:34    | E170    | A         | 70,5      | 72,9       | 80,9     |
| 8                     | 05-11-2022 08:06:30    | B738    | A         | 71,1      | 74,2       | 82,8     |
| 8                     | 05-11-2022 08:10:14    | E170    | A         | 70,3      | 72,4       | 80,3     |
| 8                     | 05-11-2022 08:12:08    | B738    | A         | 73,4      | 76,7       | 85,4     |
| 8                     | 05-11-2022 08:17:07    | E195    | A         | 71,8      | 75,5       | 83,8     |
| 8                     | 05-11-2022 08:29:54    | A319    | A         | 70,1      | 72,1       | 80,5     |
| 8                     | 05-11-2022 08:32:04    | A21N    | A         | 71,7      | 74,7       | 82,5     |
| 8                     | 05-11-2022 08:42:45    | C295    | A         | 70,6      | 73,7       | 81,8     |
| 8                     | 05-11-2022 08:46:45    | E75S    | A         | 70,3      | 73,2       | 81,8     |
| 8                     | 05-11-2022 08:49:29    | E190    | A         | 72,1      | 74,1       | 82,9     |
| 8                     | 05-11-2022 08:56:10    | E75S    | A         | 71,4      | 73,7       | 82,2     |
| 8                     | 05-11-2022 09:04:56    | E195    | A         | 71,7      | 74,6       | 82,9     |
| 8                     | 05-11-2022 09:10:21    | E190    | A         | 71,8      | 74,2       | 82,9     |
| 8                     | 05-11-2022 09:13:39    | E75S    | A         | 71,7      | 74,3       | 81,7     |
| 8                     | 05-11-2022 09:15:34    | B738    | A         | 73,6      | 77,0       | 85,4     |
| 8                     | 05-11-2022 09:17:23    | E195    | A         | 71,4      | 74,2       | 82,9     |
| 8                     | 05-11-2022 09:19:33    | E190    | A         | 71,5      | 73,9       | 82,3     |
| 8                     | 05-11-2022 09:21:45    | E295    | A         | 70,3      | 72,6       | 79,8     |
| 8                     | 05-11-2022 09:26:56    | E75S    | A         | 71,2      | 72,8       | 81,2     |
| 8                     | 05-11-2022 09:28:43    | C295    | A         | 70,1      | 73,8       | 82,1     |
| 8                     | 05-11-2022 09:33:32    | DH8D    | A         | 70,5      | 73,4       | 82,8     |
| 8                     | 05-11-2022 09:41:39    | B38M    | A         | 71,1      | 74,5       | 83,4     |
| 8                     | 05-11-2022 09:44:06    | E75S    | A         | 70,3      | 73,4       | 81,8     |
| 8                     | 05-11-2022 09:47:06    | A21N    | A         | 70,3      | 73,3       | 82,0     |
| 8                     | 05-11-2022 10:33:24    | A320    | A         | 71,3      | 74,3       | 82,4     |
| 8                     | 05-11-2022 10:37:39    | E195    | A         | 72,2      | 74,1       | 82,9     |
| 8                     | 05-11-2022 10:42:34    | B789    | A         | 72,1      | 75,8       | 85,5     |
| 8                     | 05-11-2022 10:54:32    | DH8D    | A         | 69,7      | 71,4       | 79,2     |
| 8                     | 05-11-2022 11:05:20    | E170    | A         | 70,7      | 73,1       | 81,4     |
| 8                     | 05-11-2022 11:12:42    | B77W    | A         | 74,3      | 78,2       | 87,6     |
| 8                     | 05-11-2022 11:23:37    | E195    | A         | 70,5      | 73,0       | 82,0     |
| 8                     | 05-11-2022 11:27:16    | C68A    | A         | 68,6      | 69,5       | 78,6     |
| 8                     | 05-11-2022 11:29:18    | E190    | A         | 71,8      | 73,9       | 82,2     |
| 8                     | 05-11-2022 11:32:56    | A321    | A         | 71,1      | 73,3       | 81,9     |
| 8                     | 05-11-2022 11:36:52    | A321    | A         | 70,8      | 73,4       | 81,2     |
| 8                     | 05-11-2022 11:38:45    | DH8D    | A         | 69,8      | 71,4       | 78,8     |
| 8                     | 05-11-2022 11:46:43    | E170    | A         | 70,6      | 73,1       | 81,0     |
| 8                     | 05-11-2022 11:51:18    | A21N    | A         | 69,9      | 72,8       | 81,4     |
| 8                     | 05-11-2022 11:53:11    | A319    | A         | 71,7      | 74,2       | 82,8     |
| 8                     | 05-11-2022 11:55:03    | A321    | A         | 71,5      | 74,1       | 81,5     |
| 8                     | 05-11-2022 11:58:45    | E75S    | A         | 70,3      | 72,5       | 80,7     |
| 8                     | 05-11-2022 12:02:44    | E190    | A         | 71,0      | 74,1       | 82,8     |
| 8                     | 05-11-2022 12:04:43    | E190    | A         | 70,8      | 73,7       | 82,3     |
| 8                     | 05-11-2022 12:08:57    | E195    | A         | 70,4      | 72,6       | 81,2     |
| 8                     | 05-11-2022 12:13:37    | E195    | A         | 71,6      | 74,2       | 83,1     |
| 8                     | 05-11-2022 12:15:57    | E195    | A         | 72,1      | 74,3       | 82,9     |
| 8                     | 05-11-2022 12:20:08    | B789    | A         | 71,6      | 75,5       | 85,4     |
| 8                     | 05-11-2022 12:22:28    | E75S    | A         | 71,4      | 73,9       | 82,5     |

| Nr punktu pomiarowego | Data i godz. zdarzenia | Samolot | Operacja* | $L_{Aeq}$ | $L_{Amax}$ | $L_{AE}$ |
|-----------------------|------------------------|---------|-----------|-----------|------------|----------|
|                       |                        |         |           | [dB]      | [dB]       | [dB]     |
| 8                     | 05-11-2022 12:23:58    | E195    | A         | 72,3      | 75,4       | 84,3     |
| 8                     | 05-11-2022 12:26:41    | B788    | A         | 72,2      | 75,6       | 85,0     |
| 8                     | 05-11-2022 12:30:35    | A21N    | A         | 71,0      | 73,0       | 82,1     |
| 8                     | 05-11-2022 12:32:25    | E195    | A         | 71,8      | 75,2       | 83,6     |
| 8                     | 05-11-2022 12:34:47    | E75S    | A         | 71,3      | 73,5       | 81,7     |
| 8                     | 05-11-2022 12:39:10    | B789    | A         | 72,7      | 76,3       | 85,0     |
| 8                     | 05-11-2022 12:41:34    | E195    | A         | 71,4      | 74,2       | 83,5     |
| 8                     | 05-11-2022 12:43:31    | E170    | A         | 70,5      | 72,7       | 81,3     |
| 8                     | 05-11-2022 12:45:22    | E190    | A         | 71,3      | 74,9       | 82,5     |
| 8                     | 05-11-2022 12:50:39    | E190    | A         | 70,3      | 74,2       | 83,7     |
| 8                     | 05-11-2022 12:55:08    | E190    | A         | 71,3      | 73,7       | 82,7     |
| 8                     | 05-11-2022 12:58:45    | B738    | A         | 72,3      | 75,6       | 84,1     |
| 8                     | 05-11-2022 13:03:44    | E195    | A         | 72,3      | 74,2       | 83,1     |
| 8                     | 05-11-2022 13:05:39    | A319    | A         | 73,3      | 77,2       | 83,7     |
| 8                     | 05-11-2022 13:07:47    | B738    | A         | 72,5      | 75,6       | 84,0     |
| 8                     | 05-11-2022 13:11:26    | B789    | A         | 72,4      | 75,6       | 85,2     |
| 8                     | 05-11-2022 13:13:55    | A21N    | A         | 70,7      | 72,4       | 80,2     |
| 8                     | 05-11-2022 13:19:33    | B738    | A         | 72,5      | 75,6       | 83,3     |
| 8                     | 05-11-2022 13:22:15    | E190    | A         | 71,3      | 73,7       | 82,5     |
| 8                     | 05-11-2022 13:24:45    | B788    | A         | 72,2      | 75,5       | 84,0     |
| 8                     | 05-11-2022 13:28:47    | A21N    | A         | 70,1      | 71,6       | 79,2     |
| 8                     | 05-11-2022 13:36:09    | E75S    | A         | 70,6      | 73,6       | 82,4     |
| 8                     | 05-11-2022 13:39:06    | B788    | A         | 71,5      | 74,2       | 84,1     |
| 8                     | 05-11-2022 13:41:10    | B38M    | A         | 70,4      | 74,1       | 83,0     |
| 8                     | 05-11-2022 13:43:41    | B789    | A         | 73,3      | 76,1       | 85,3     |
| 8                     | 05-11-2022 13:46:38    | E75S    | A         | 70,5      | 74,2       | 82,8     |
| 8                     | 05-11-2022 13:48:41    | B38M    | A         | 71,7      | 74,9       | 83,1     |
| 8                     | 05-11-2022 13:55:28    | BCS3    | A         | 69,9      | 71,6       | 79,4     |
| 8                     | 05-11-2022 13:59:09    | E195    | A         | 72,0      | 74,9       | 82,8     |
| 8                     | 05-11-2022 14:04:50    | A319    | D         | 69,4      | 71,3       | 83,5     |
| 8                     | 05-11-2022 14:06:00    | E75S    | D         | 69,8      | 71,6       | 83,8     |
| 8                     | 05-11-2022 14:19:33    | A21N    | D         | 68,3      | 69,4       | 79,7     |
| 8                     | 05-11-2022 14:22:18    | E190    | D         | 74,2      | 76,7       | 86,2     |
| 8                     | 05-11-2022 14:29:00    | B38M    | D         | 67,5      | 68,9       | 78,3     |
| 8                     | 05-11-2022 14:31:28    | A21N    | D         | 67,9      | 69,0       | 79,1     |
| 8                     | 05-11-2022 14:38:56    | B738    | D         | 71,4      | 73,4       | 84,4     |
| 8                     | 05-11-2022 14:55:52    | E195    | D         | 69,1      | 71,7       | 81,4     |
| 8                     | 05-11-2022 15:03:03    | E190    | D         | 70,7      | 73,5       | 82,7     |
| 8                     | 05-11-2022 15:04:51    | E75S    | D         | 69,0      | 70,9       | 81,0     |
| 8                     | 05-11-2022 15:06:25    | E190    | D         | 73,8      | 79,9       | 87,9     |
| 8                     | 05-11-2022 15:09:36    | E190    | D         | 70,0      | 72,9       | 81,7     |
| 8                     | 05-11-2022 15:12:03    | E75S    | D         | 69,7      | 72,6       | 81,5     |
| 8                     | 05-11-2022 15:20:34    | A21N    | D         | 69,7      | 71,2       | 81,4     |
| 8                     | 05-11-2022 15:21:56    | B38M    | D         | 67,9      | 69,0       | 78,3     |
| 8                     | 05-11-2022 15:25:43    | E75S    | D         | 68,7      | 70,1       | 80,7     |
| 8                     | 05-11-2022 15:28:26    | E195    | D         | 69,8      | 72,0       | 80,9     |
| 8                     | 05-11-2022 15:33:13    | E195    | D         | 70,2      | 72,9       | 82,0     |
| 8                     | 05-11-2022 15:34:47    | A319    | D         | 68,1      | 71,0       | 81,9     |
| 8                     | 05-11-2022 15:36:40    | E170    | D         | 72,2      | 75,1       | 85,0     |
| 8                     | 05-11-2022 15:49:23    | E170    | D         | 68,5      | 70,4       | 80,6     |
| 8                     | 05-11-2022 15:55:40    | E195    | D         | 70,4      | 71,9       | 82,4     |
| 8                     | 05-11-2022 15:57:33    | E170    | D         | 70,5      | 72,3       | 83,1     |
| 8                     | 05-11-2022 16:02:15    | B788    | D         | 69,3      | 70,7       | 82,3     |
| 8                     | 05-11-2022 16:04:10    | B38M    | D         | 68,3      | 70,0       | 79,1     |
| 8                     | 05-11-2022 16:09:48    | E190    | D         | 71,7      | 73,6       | 83,7     |
| 8                     | 05-11-2022 16:11:11    | E170    | D         | 70,2      | 72,2       | 83,0     |
| 8                     | 05-11-2022 16:18:42    | E190    | D         | 68,3      | 69,5       | 79,1     |

| Nr punktu pomiarowego | Data i godz. zdarzenia | Samolot | Operacja* | $L_{Aeq}$ | $L_{Amax}$ | $L_{AE}$ |
|-----------------------|------------------------|---------|-----------|-----------|------------|----------|
|                       |                        |         |           | [dB]      | [dB]       | [dB]     |
| 8                     | 05-11-2022 16:42:46    | B38M    | D         | 68,7      | 70,2       | 80,5     |
| 8                     | 05-11-2022 16:48:08    | E195    | D         | 74,8      | 78,8       | 87,8     |
| 8                     | 05-11-2022 16:51:24    | E195    | D         | 70,0      | 72,0       | 82,1     |
| 8                     | 05-11-2022 16:53:20    | E75S    | D         | 69,6      | 71,1       | 81,6     |
| 8                     | 05-11-2022 16:54:52    | E195    | D         | 70,2      | 72,4       | 82,5     |
| 8                     | 05-11-2022 16:56:20    | E190    | D         | 71,4      | 74,5       | 83,4     |
| 8                     | 05-11-2022 16:57:42    | E75S    | D         | 68,5      | 69,8       | 80,9     |
| 8                     | 05-11-2022 17:01:21    | E190    | D         | 70,6      | 72,7       | 82,1     |
| 8                     | 05-11-2022 17:03:15    | E75S    | D         | 69,3      | 70,7       | 82,4     |
| 8                     | 05-11-2022 17:05:14    | E75S    | D         | 68,3      | 69,4       | 80,4     |
| 8                     | 05-11-2022 17:09:25    | E75S    | D         | 68,4      | 69,1       | 80,4     |
| 8                     | 05-11-2022 17:10:59    | B738    | D         | 70,0      | 71,6       | 83,2     |
| 8                     | 05-11-2022 17:12:28    | E195    | D         | 69,1      | 70,9       | 81,4     |
| 8                     | 05-11-2022 17:13:49    | E195    | D         | 68,5      | 70,1       | 80,3     |
| 8                     | 05-11-2022 17:18:08    | E195    | D         | 74,1      | 76,7       | 85,9     |
| 8                     | 05-11-2022 17:26:30    | E170    | D         | 69,5      | 70,6       | 81,5     |
| 8                     | 05-11-2022 17:36:35    | A321    | D         | 69,1      | 70,2       | 80,9     |
| 8                     | 05-11-2022 17:43:13    | A321    | D         | 68,1      | 70,0       | 80,9     |
| 8                     | 05-11-2022 18:08:53    | B738    | D         | 67,4      | 69,2       | 78,8     |
| 8                     | 05-11-2022 18:15:31    | A321    | D         | 65,2      | 66,8       | 77,8     |
| 8                     | 05-11-2022 18:17:05    | E190    | D         | 67,1      | 68,8       | 77,6     |
| 8                     | 05-11-2022 20:01:09    | E190    | D         | 71,5      | 74,4       | 83,2     |
| 8                     | 05-11-2022 20:05:18    | E195    | D         | 70,0      | 71,6       | 80,8     |
| 8                     | 05-11-2022 20:10:51    | E190    | D         | 69,1      | 71,2       | 82,3     |
| 8                     | 05-11-2022 20:24:20    | E170    | D         | 67,0      | 68,2       | 80,6     |
| 8                     | 05-11-2022 20:28:39    | E75S    | D         | 69,2      | 71,0       | 81,8     |
| 8                     | 05-11-2022 20:52:14    | P180    | D         | 67,9      | 70,7       | 77,4     |
| 8                     | 05-11-2022 21:13:28    | E75S    | D         | 73,1      | 77,5       | 86,9     |
| 8                     | 05-11-2022 21:21:26    | A21N    | D         | 68,3      | 70,3       | 81,1     |
| 8                     | 06-11-2022 06:03:30    | B38M    | D         | 67,3      | 68,9       | 79,1     |
| 8                     | 06-11-2022 06:09:57    | B738    | D         | 72,6      | 75,0       | 86,4     |
| 8                     | 06-11-2022 06:15:55    | B38M    | D         | 67,5      | 69,1       | 79,6     |
| 8                     | 06-11-2022 06:18:39    | B737    | D         | 72,6      | 74,5       | 85,6     |
| 8                     | 06-11-2022 06:20:37    | A319    | D         | 68,7      | 70,2       | 82,7     |
| 8                     | 06-11-2022 06:24:46    | A321    | D         | 70,6      | 71,9       | 84,8     |
| 8                     | 06-11-2022 06:27:08    | A21N    | D         | 68,3      | 69,8       | 80,1     |
| 8                     | 06-11-2022 06:29:37    | A21N    | D         | 70,2      | 71,6       | 81,9     |
| 8                     | 06-11-2022 06:38:22    | A21N    | D         | 69,1      | 70,3       | 81,4     |
| 8                     | 06-11-2022 06:58:13    | A319    | D         | 68,7      | 69,9       | 82,9     |
| 8                     | 06-11-2022 07:02:35    | A21N    | D         | 69,9      | 71,7       | 81,7     |
| 8                     | 06-11-2022 07:13:22    | A321    | D         | 69,2      | 70,2       | 83,5     |
| 8                     | 06-11-2022 07:31:19    | A20N    | D         | 69,0      | 70,0       | 79,4     |
| 8                     | 06-11-2022 07:33:05    | E75S    | D         | 68,6      | 69,7       | 80,4     |
| 8                     | 06-11-2022 07:35:46    | E195    | D         | 70,4      | 72,8       | 82,7     |
| 8                     | 06-11-2022 07:37:54    | A21N    | D         | 69,1      | 70,3       | 81,2     |
| 8                     | 06-11-2022 07:41:59    | E75S    | D         | 69,3      | 70,6       | 82,1     |
| 8                     | 06-11-2022 07:43:45    | E75S    | D         | 70,8      | 73,0       | 82,8     |
| 8                     | 06-11-2022 07:45:40    | E75S    | D         | 70,2      | 72,1       | 82,2     |
| 8                     | 06-11-2022 07:47:48    | E75S    | D         | 70,4      | 71,5       | 82,1     |
| 8                     | 06-11-2022 07:52:12    | E195    | D         | 70,1      | 72,0       | 81,8     |
| 8                     | 06-11-2022 07:54:06    | E170    | D         | 69,5      | 70,5       | 81,5     |
| 8                     | 06-11-2022 07:55:56    | GLEX    | D         | 70,9      | 73,2       | 83,7     |
| 8                     | 06-11-2022 07:57:58    | A320    | D         | 67,6      | 68,7       | 77,1     |
| 8                     | 06-11-2022 08:00:11    | E190    | D         | 71,2      | 73,5       | 83,5     |
| 8                     | 06-11-2022 08:02:27    | E75S    | D         | 69,2      | 70,6       | 81,3     |
| 8                     | 06-11-2022 08:06:08    | B38M    | D         | 68,1      | 69,9       | 79,2     |
| 8                     | 06-11-2022 08:09:01    | B38M    | D         | 69,8      | 71,6       | 81,8     |

| Nr punktu pomiarowego | Data i godz. zdarzenia | Samolot | Operacja* | $L_{Aeq}$ | $L_{Amax}$ | $L_{AE}$ |
|-----------------------|------------------------|---------|-----------|-----------|------------|----------|
|                       |                        |         |           | [dB]      | [dB]       | [dB]     |
| 8                     | 06-11-2022 08:12:00    | E195    | D         | 71,3      | 73,3       | 82,7     |
| 8                     | 06-11-2022 08:18:18    | E195    | D         | 70,5      | 72,3       | 82,2     |
| 8                     | 06-11-2022 08:25:31    | E190    | D         | 72,2      | 74,7       | 83,7     |
| 8                     | 06-11-2022 08:29:32    | E195    | D         | 75,3      | 78,6       | 87,1     |
| 8                     | 06-11-2022 08:32:30    | A321    | D         | 70,1      | 70,9       | 83,9     |
| 8                     | 06-11-2022 08:43:15    | B738    | D         | 69,3      | 70,7       | 83,0     |
| 8                     | 06-11-2022 08:45:25    | E75S    | D         | 69,4      | 71,6       | 80,9     |
| 8                     | 06-11-2022 09:12:06    | E190    | D         | 71,6      | 74,0       | 84,4     |
| 8                     | 06-11-2022 09:18:22    | B738    | D         | 68,2      | 69,0       | 80,5     |
| 8                     | 06-11-2022 09:21:41    | B738    | D         | 71,2      | 73,1       | 86,0     |
| 8                     | 06-11-2022 09:23:56    | B738    | D         | 70,4      | 72,0       | 82,2     |
| 8                     | 06-11-2022 09:26:47    | E35L    | D         | 67,7      | 69,3       | 77,7     |
| 8                     | 06-11-2022 10:01:57    | B738    | D         | 71,4      | 73,5       | 85,2     |
| 8                     | 06-11-2022 10:21:52    | E170    | D         | 69,7      | 71,8       | 81,8     |
| 8                     | 06-11-2022 10:23:49    | B738    | D         | 70,8      | 72,3       | 84,3     |
| 8                     | 06-11-2022 10:29:55    | E75S    | D         | 67,4      | 68,6       | 77,4     |
| 8                     | 06-11-2022 10:36:25    | E75S    | D         | 69,6      | 72,4       | 82,2     |
| 8                     | 06-11-2022 10:43:48    | E195    | D         | 69,5      | 71,8       | 81,3     |
| 8                     | 06-11-2022 10:47:45    | E170    | D         | 68,2      | 70,0       | 79,4     |
| 8                     | 06-11-2022 10:52:00    | E170    | D         | 72,9      | 75,0       | 84,9     |
| 8                     | 06-11-2022 10:56:24    | E75S    | D         | 73,2      | 75,6       | 85,5     |
| 8                     | 06-11-2022 11:00:08    | B738    | D         | 71,4      | 74,6       | 83,9     |
| 8                     | 06-11-2022 11:02:19    | E170    | D         | 68,9      | 70,5       | 81,0     |
| 8                     | 06-11-2022 11:04:47    | E190    | D         | 69,7      | 71,9       | 81,2     |
| 8                     | 06-11-2022 11:24:23    | A21N    | D         | 79,7      | 90,5       | 91,4     |
| 8                     | 06-11-2022 11:33:36    | E195    | D         | 70,3      | 71,6       | 82,1     |
| 8                     | 06-11-2022 11:37:52    | E195    | D         | 69,8      | 71,8       | 81,8     |
| 8                     | 06-11-2022 11:58:33    | E195    | D         | 69,9      | 71,7       | 82,2     |
| 8                     | 06-11-2022 12:09:25    | E75S    | D         | 75,3      | 78,6       | 87,6     |
| 8                     | 06-11-2022 12:28:40    | A21N    | D         | 69,5      | 70,7       | 81,8     |
| 8                     | 06-11-2022 12:59:37    | A21N    | D         | 69,4      | 71,0       | 81,4     |
| 8                     | 06-11-2022 13:07:28    | A321    | D         | 71,0      | 73,0       | 85,3     |
| 8                     | 06-11-2022 13:10:32    | A320    | D         | 68,1      | 69,3       | 80,1     |
| 8                     | 06-11-2022 13:14:15    | E195    | D         | 71,0      | 74,3       | 83,1     |
| 8                     | 06-11-2022 13:15:53    | E190    | D         | 73,0      | 76,4       | 86,1     |
| 8                     | 06-11-2022 13:22:11    | BCS3    | D         | 67,8      | 68,8       | 77,3     |
| 8                     | 06-11-2022 13:25:01    | E190    | D         | 71,3      | 73,3       | 83,9     |
| 8                     | 06-11-2022 13:32:52    | E75S    | D         | 72,2      | 74,4       | 84,7     |
| 8                     | 06-11-2022 13:36:19    | E75S    | D         | 70,7      | 72,3       | 83,0     |
| 8                     | 06-11-2022 13:40:12    | A321    | D         | 70,9      | 73,1       | 84,9     |
| 8                     | 06-11-2022 13:41:28    | E190    | D         | 72,4      | 75,3       | 84,5     |
| 8                     | 06-11-2022 13:43:04    | E195    | D         | 74,9      | 78,9       | 87,4     |
| 8                     | 06-11-2022 13:48:03    | E195    | D         | 71,1      | 73,2       | 83,7     |
| 8                     | 06-11-2022 13:57:24    | E75S    | D         | 69,7      | 71,3       | 82,2     |
| 8                     | 06-11-2022 14:13:20    | B738    | D         | 68,4      | 70,2       | 81,6     |
| 8                     | 06-11-2022 14:17:41    | A319    | D         | 69,8      | 71,8       | 83,6     |
| 8                     | 06-11-2022 14:29:03    | E190    | D         | 74,0      | 77,1       | 86,6     |
| 8                     | 06-11-2022 14:39:41    | B38M    | D         | 69,6      | 71,4       | 80,7     |
| 8                     | 06-11-2022 14:54:47    | E295    | D         | 67,3      | 68,5       | 78,4     |
| 8                     | 06-11-2022 14:55:55    | E75S    | D         | 70,8      | 73,3       | 86,0     |
| 8                     | 06-11-2022 14:58:58    | E195    | D         | 69,8      | 72,2       | 83,2     |
| 8                     | 06-11-2022 15:00:28    | E195    | D         | 72,4      | 74,5       | 84,2     |
| 8                     | 06-11-2022 15:03:37    | E195    | D         | 75,6      | 78,7       | 87,7     |
| 8                     | 06-11-2022 15:04:53    | A21N    | D         | 69,3      | 70,9       | 82,5     |
| 8                     | 06-11-2022 15:16:02    | A319    | D         | 69,8      | 71,8       | 83,0     |
| 8                     | 06-11-2022 15:34:22    | B77W    | D         | 73,9      | 77,1       | 87,9     |
| 8                     | 06-11-2022 15:36:52    | E170    | D         | 74,9      | 78,2       | 87,2     |

| Nr punktu pomiarowego | Data i godz. zdarzenia | Samolot | Operacja* | $L_{Aeq}$ | $L_{Amax}$ | $L_{AE}$ |
|-----------------------|------------------------|---------|-----------|-----------|------------|----------|
|                       |                        |         |           | [dB]      | [dB]       | [dB]     |
| 8                     | 06-11-2022 15:41:37    | E190    | D         | 71,5      | 73,1       | 83,2     |
| 8                     | 06-11-2022 15:47:45    | E195    | D         | 71,7      | 74,1       | 84,0     |
| 8                     | 06-11-2022 15:52:53    | E170    | D         | 74,5      | 77,0       | 87,0     |
| 8                     | 06-11-2022 15:55:29    | E75S    | D         | 71,5      | 72,8       | 83,8     |
| 8                     | 06-11-2022 15:57:56    | A21N    | D         | 70,2      | 72,1       | 81,6     |
| 8                     | 06-11-2022 15:59:38    | B38M    | D         | 69,5      | 70,8       | 81,5     |
| 8                     | 06-11-2022 16:04:06    | B788    | D         | 69,8      | 71,8       | 83,4     |
| 8                     | 06-11-2022 16:08:39    | E75S    | D         | 71,4      | 73,0       | 83,7     |
| 8                     | 06-11-2022 16:33:27    | E75S    | D         | 70,4      | 71,7       | 83,1     |
| 8                     | 06-11-2022 16:35:27    | E195    | D         | 71,7      | 75,1       | 84,5     |
| 8                     | 06-11-2022 16:43:19    | E195    | D         | 71,5      | 74,5       | 84,3     |
| 8                     | 06-11-2022 16:50:34    | B38M    | D         | 74,9      | 77,5       | 86,9     |
| 8                     | 06-11-2022 16:53:12    | E75S    | D         | 71,7      | 73,2       | 83,7     |
| 8                     | 06-11-2022 16:58:14    | E190    | D         | 71,6      | 74,2       | 83,9     |
| 8                     | 06-11-2022 17:00:11    | E190    | D         | 73,6      | 76,2       | 85,1     |
| 8                     | 06-11-2022 17:03:50    | E195    | D         | 72,0      | 73,9       | 84,8     |
| 8                     | 06-11-2022 17:05:29    | E195    | D         | 71,7      | 73,5       | 84,3     |
| 8                     | 06-11-2022 17:06:46    | E170    | D         | 70,7      | 71,8       | 83,2     |
| 8                     | 06-11-2022 17:08:01    | B38M    | D         | 70,5      | 73,1       | 82,5     |
| 8                     | 06-11-2022 17:09:19    | CRJ9    | D         | 69,2      | 71,9       | 81,5     |
| 8                     | 06-11-2022 17:14:18    | E195    | D         | 71,0      | 72,5       | 84,0     |
| 8                     | 06-11-2022 17:17:27    | E195    | D         | 71,9      | 76,1       | 84,2     |
| 8                     | 06-11-2022 17:18:48    | B738    | D         | 72,5      | 76,0       | 85,5     |
| 8                     | 06-11-2022 17:20:30    | E195    | D         | 74,9      | 78,1       | 87,4     |
| 8                     | 06-11-2022 17:23:21    | E190    | D         | 72,1      | 74,8       | 84,4     |
| 8                     | 06-11-2022 17:24:41    | E75S    | D         | 72,1      | 73,5       | 84,4     |
| 8                     | 06-11-2022 17:27:10    | E75S    | D         | 70,7      | 72,7       | 83,0     |
| 8                     | 06-11-2022 17:31:40    | E195    | D         | 71,8      | 74,0       | 84,6     |
| 8                     | 06-11-2022 17:34:16    | E75S    | D         | 71,2      | 73,2       | 83,8     |
| 8                     | 06-11-2022 17:36:26    | E190    | D         | 73,2      | 76,2       | 85,8     |
| 8                     | 06-11-2022 17:41:39    | A321    | D         | 72,0      | 73,9       | 86,4     |
| 8                     | 06-11-2022 17:44:31    | E170    | D         | 70,5      | 72,2       | 83,6     |
| 8                     | 06-11-2022 17:47:56    | B738    | D         | 74,1      | 76,3       | 86,4     |
| 8                     | 06-11-2022 17:53:33    | A320    | D         | 67,8      | 69,4       | 79,8     |
| 8                     | 06-11-2022 17:54:50    | A320    | D         | 69,2      | 71,6       | 83,0     |
| 8                     | 06-11-2022 17:58:13    | A21N    | D         | 71,2      | 72,8       | 82,6     |
| 8                     | 06-11-2022 18:12:13    | E190    | A         | 71,9      | 75,1       | 84,0     |
| 8                     | 06-11-2022 18:17:25    | CRJ9    | A         | 70,0      | 72,8       | 81,7     |
| 8                     | 06-11-2022 18:25:58    | A319    | A         | 71,5      | 75,0       | 84,1     |
| 8                     | 06-11-2022 18:27:44    | E195    | A         | 71,7      | 75,0       | 84,2     |
| 8                     | 06-11-2022 18:29:45    | E195    | A         | 72,1      | 75,8       | 84,7     |
| 8                     | 06-11-2022 18:33:13    | E195    | A         | 71,4      | 74,7       | 84,0     |
| 8                     | 06-11-2022 18:35:43    | E170    | A         | 71,2      | 73,5       | 82,3     |
| 8                     | 06-11-2022 18:37:42    | B738    | A         | 72,6      | 76,4       | 84,9     |
| 8                     | 06-11-2022 18:40:24    | E195    | A         | 71,6      | 74,4       | 83,0     |
| 8                     | 06-11-2022 18:49:40    | E190    | A         | 71,5      | 74,2       | 83,5     |
| 8                     | 06-11-2022 18:51:32    | E75S    | A         | 70,6      | 73,4       | 82,4     |
| 8                     | 06-11-2022 18:54:03    | E195    | A         | 73,0      | 76,2       | 85,1     |
| 8                     | 06-11-2022 18:55:41    | E290    | A         | 69,6      | 71,9       | 80,8     |
| 8                     | 06-11-2022 18:57:36    | DH8D    | A         | 69,2      | 71,1       | 79,6     |
| 8                     | 06-11-2022 18:59:34    | E75S    | A         | 70,8      | 74,4       | 82,9     |
| 8                     | 06-11-2022 19:02:08    | B738    | A         | 71,4      | 74,2       | 82,9     |
| 8                     | 06-11-2022 19:05:27    | E75S    | A         | 71,2      | 73,7       | 82,6     |
| 8                     | 06-11-2022 19:15:32    | E75S    | A         | 72,1      | 75,4       | 84,4     |
| 8                     | 06-11-2022 19:22:06    | A319    | A         | 70,3      | 72,9       | 82,3     |
| 8                     | 06-11-2022 19:25:24    | B788    | A         | 71,5      | 75,3       | 84,7     |
| 8                     | 06-11-2022 19:31:25    | B38M    | A         | 71,2      | 74,5       | 83,3     |

| Nr punktu pomiarowego | Data i godz. zdarzenia | Samolot | Operacja* | $L_{Aeq}$ | $L_{Amax}$ | $L_{AE}$ |
|-----------------------|------------------------|---------|-----------|-----------|------------|----------|
|                       |                        |         |           | [dB]      | [dB]       | [dB]     |
| 8                     | 06-11-2022 19:51:08    | E195    | A         | 71,7      | 74,8       | 84,0     |
| 8                     | 06-11-2022 20:04:28    | B38M    | A         | 71,2      | 74,4       | 83,2     |
| 8                     | 06-11-2022 20:15:55    | E75S    | D         | 70,6      | 71,9       | 83,4     |
| 8                     | 06-11-2022 20:24:08    | E195    | D         | 71,6      | 74,2       | 84,7     |
| 8                     | 06-11-2022 20:32:23    | E195    | D         | 71,3      | 73,9       | 84,8     |
| 8                     | 06-11-2022 20:36:19    | E170    | D         | 70,7      | 72,9       | 84,2     |
| 8                     | 06-11-2022 20:40:38    | E75S    | D         | 71,2      | 73,7       | 84,2     |
| 8                     | 06-11-2022 20:42:57    | E75S    | D         | 71,0      | 73,5       | 84,2     |
| 8                     | 06-11-2022 20:44:48    | A319    | D         | 68,4      | 69,9       | 82,1     |
| 8                     | 06-11-2022 20:46:58    | E195    | D         | 75,0      | 79,3       | 89,3     |
| 8                     | 06-11-2022 20:48:56    | E195    | D         | 71,9      | 75,0       | 84,7     |
| 8                     | 06-11-2022 20:51:02    | E75S    | D         | 71,5      | 73,3       | 84,3     |
| 8                     | 06-11-2022 20:53:41    | E190    | D         | 71,1      | 73,6       | 83,9     |
| 8                     | 06-11-2022 20:56:11    | E170    | D         | 71,6      | 74,3       | 84,4     |
| 8                     | 06-11-2022 20:58:40    | E195    | D         | 72,2      | 75,4       | 84,3     |
| 8                     | 06-11-2022 21:05:44    | B738    | D         | 72,1      | 75,3       | 85,3     |
| 8                     | 06-11-2022 21:11:33    | B38M    | D         | 67,6      | 69,8       | 79,9     |
| 8                     | 06-11-2022 21:28:16    | E190    | A         | 71,3      | 74,4       | 83,6     |
| 8                     | 06-11-2022 21:30:50    | E195    | A         | 71,9      | 74,8       | 84,2     |
| 8                     | 06-11-2022 21:33:30    | E190    | A         | 71,3      | 74,3       | 83,4     |
| 8                     | 06-11-2022 21:35:22    | B738    | A         | 72,0      | 75,1       | 84,0     |
| 8                     | 06-11-2022 21:37:20    | E190    | A         | 71,3      | 74,3       | 83,9     |
| 8                     | 06-11-2022 21:39:11    | E195    | A         | 72,3      | 75,7       | 84,8     |
| 8                     | 06-11-2022 21:41:02    | A319    | A         | 70,6      | 73,8       | 82,4     |
| 8                     | 06-11-2022 21:43:01    | E195    | A         | 71,5      | 74,7       | 84,3     |
| 8                     | 06-11-2022 21:44:48    | B738    | A         | 72,5      | 76,1       | 84,6     |
| 8                     | 06-11-2022 21:46:51    | E170    | A         | 70,8      | 73,8       | 82,9     |
| 8                     | 06-11-2022 21:48:45    | E195    | A         | 71,9      | 75,7       | 84,7     |
| 8                     | 06-11-2022 21:55:34    | E75S    | A         | 72,0      | 75,1       | 83,8     |
| 8                     | 06-11-2022 21:57:27    | E75S    | A         | 71,4      | 74,3       | 82,9     |
| 8                     | 06-11-2022 21:59:27    | A319    | A         | 72,1      | 75,4       | 84,9     |
| 8                     | 07-11-2022 06:09:06    | E75S    | A         | 71,3      | 73,8       | 80,8     |
| 8                     | 07-11-2022 06:11:07    | E170    | A         | 70,1      | 72,1       | 80,1     |
| 8                     | 07-11-2022 06:14:58    | E195    | A         | 72,0      | 74,1       | 82,0     |
| 8                     | 07-11-2022 06:16:51    | E75S    | A         | 69,7      | 71,6       | 80,1     |
| 8                     | 07-11-2022 06:19:54    | E195    | A         | 73,0      | 76,0       | 84,4     |
| 8                     | 07-11-2022 06:22:56    | E75S    | A         | 70,6      | 73,1       | 81,0     |
| 8                     | 07-11-2022 06:24:33    | E75S    | A         | 70,3      | 73,1       | 81,8     |
| 8                     | 07-11-2022 06:30:17    | E195    | A         | 72,2      | 74,0       | 83,7     |
| 8                     | 07-11-2022 06:33:28    | B738    | A         | 73,3      | 77,2       | 85,8     |
| 8                     | 07-11-2022 06:35:48    | A30B    | A         | 74,9      | 80,5       | 89,3     |
| 8                     | 07-11-2022 06:37:38    | E190    | A         | 71,7      | 74,4       | 82,9     |
| 8                     | 07-11-2022 06:44:33    | E75S    | A         | 72,4      | 75,2       | 82,8     |
| 8                     | 07-11-2022 06:46:05    | B738    | A         | 71,8      | 76,2       | 84,8     |
| 8                     | 07-11-2022 07:58:23    | B738    | A         | 73,2      | 76,2       | 84,6     |
| 8                     | 07-11-2022 08:02:08    | B738    | A         | 72,7      | 75,7       | 84,7     |
| 8                     | 07-11-2022 08:04:08    | E75S    | A         | 70,8      | 72,4       | 79,8     |
| 8                     | 07-11-2022 08:15:13    | B738    | A         | 72,7      | 77,0       | 84,8     |
| 8                     | 07-11-2022 08:17:20    | E190    | A         | 74,9      | 79,6       | 89,7     |
| 8                     | 07-11-2022 08:19:16    | E170    | A         | 70,3      | 72,9       | 81,1     |
| 8                     | 07-11-2022 08:21:12    | E195    | A         | 70,5      | 73,2       | 82,0     |
| 8                     | 07-11-2022 08:28:44    | E190    | A         | 70,8      | 73,4       | 81,9     |
| 8                     | 07-11-2022 08:31:13    | A321    | A         | 71,1      | 74,5       | 83,4     |
| 8                     | 07-11-2022 08:35:32    | A320    | A         | 71,3      | 74,7       | 83,6     |
| 8                     | 07-11-2022 08:42:35    | E290    | A         | 68,9      | 71,6       | 80,3     |
| 8                     | 07-11-2022 08:44:58    | E170    | A         | 70,4      | 73,1       | 81,5     |
| 8                     | 07-11-2022 08:46:47    | E195    | A         | 73,2      | 76,0       | 84,3     |

| Nr punktu pomiarowego | Data i godz. zdarzenia | Samolot | Operacja* | $L_{Aeq}$ | $L_{Amax}$ | $L_{AE}$ |
|-----------------------|------------------------|---------|-----------|-----------|------------|----------|
|                       |                        |         |           | [dB]      | [dB]       | [dB]     |
| 8                     | 07-11-2022 08:51:04    | E195    | A         | 71,3      | 74,5       | 83,6     |
| 8                     | 07-11-2022 08:53:03    | E190    | A         | 72,1      | 74,5       | 83,2     |
| 8                     | 07-11-2022 08:58:35    | E190    | A         | 71,1      | 74,5       | 82,9     |
| 8                     | 07-11-2022 09:03:39    | E75S    | A         | 70,6      | 73,3       | 81,8     |
| 8                     | 07-11-2022 09:12:31    | E75S    | A         | 70,5      | 73,3       | 81,3     |
| 8                     | 07-11-2022 09:15:55    | E195    | A         | 71,3      | 74,6       | 84,1     |
| 8                     | 07-11-2022 09:18:01    | DH8D    | A         | 70,6      | 73,1       | 81,3     |
| 8                     | 07-11-2022 09:19:49    | E195    | A         | 71,7      | 74,3       | 83,2     |
| 8                     | 07-11-2022 09:21:42    | CRJ9    | A         | 69,8      | 71,2       | 79,8     |
| 8                     | 07-11-2022 09:23:11    | E195    | A         | 71,8      | 74,6       | 83,0     |
| 8                     | 07-11-2022 09:24:47    | E75S    | A         | 72,0      | 74,9       | 82,8     |
| 8                     | 07-11-2022 09:26:44    | CRJ9    | A         | 70,4      | 73,5       | 81,2     |
| 8                     | 07-11-2022 09:28:36    | E195    | A         | 71,8      | 74,8       | 83,0     |
| 8                     | 07-11-2022 09:30:36    | DH8D    | A         | 70,9      | 73,0       | 80,5     |
| 8                     | 07-11-2022 09:34:14    | DH8D    | A         | 69,4      | 72,5       | 80,2     |
| 8                     | 07-11-2022 09:39:21    | B38M    | A         | 70,4      | 73,1       | 81,6     |
| 8                     | 07-11-2022 09:48:10    | E195    | A         | 70,7      | 74,6       | 82,8     |
| 8                     | 07-11-2022 10:03:21    | B738    | A         | 72,8      | 75,0       | 83,6     |
| 8                     | 07-11-2022 10:22:41    | A21N    | A         | 70,6      | 72,7       | 80,6     |
| 8                     | 07-11-2022 10:25:32    | E75S    | A         | 71,6      | 73,8       | 82,0     |
| 8                     | 07-11-2022 10:47:05    | E195    | A         | 70,8      | 73,3       | 83,1     |
| 8                     | 07-11-2022 10:49:21    | A321    | A         | 70,3      | 72,3       | 79,8     |
| 8                     | 07-11-2022 10:54:24    | B789    | A         | 73,3      | 76,7       | 85,8     |
| 8                     | 07-11-2022 11:02:16    | E190    | A         | 71,3      | 75,0       | 83,6     |
| 8                     | 07-11-2022 11:06:28    | B738    | A         | 73,1      | 76,2       | 84,6     |
| 8                     | 07-11-2022 11:12:24    | B77W    | A         | 74,5      | 77,9       | 87,3     |
| 8                     | 07-11-2022 11:15:00    | E195    | A         | 73,1      | 75,8       | 84,2     |
| 8                     | 07-11-2022 11:19:38    | E170    | A         | 70,9      | 74,3       | 81,7     |
| 8                     | 07-11-2022 11:21:27    | A321    | A         | 70,4      | 73,6       | 81,9     |
| 8                     | 07-11-2022 11:37:19    | B788    | A         | 71,1      | 75,0       | 83,9     |
| 8                     | 07-11-2022 11:39:47    | A21N    | A         | 70,4      | 72,1       | 80,8     |
| 8                     | 07-11-2022 11:41:39    | BCS3    | A         | 71,2      | 73,8       | 80,8     |
| 8                     | 07-11-2022 11:43:19    | A320    | A         | 72,0      | 74,8       | 82,8     |
| 8                     | 07-11-2022 11:45:15    | E190    | A         | 71,6      | 74,6       | 83,3     |
| 8                     | 07-11-2022 11:54:40    | E75S    | A         | 71,6      | 74,4       | 82,4     |
| 8                     | 07-11-2022 11:59:08    | E170    | A         | 71,1      | 75,4       | 82,2     |
| 8                     | 07-11-2022 12:01:03    | E190    | A         | 72,6      | 75,4       | 84,1     |
| 8                     | 07-11-2022 12:02:47    | B788    | A         | 71,5      | 75,6       | 84,0     |
| 8                     | 07-11-2022 12:05:02    | E195    | A         | 72,0      | 75,2       | 83,2     |
| 8                     | 07-11-2022 12:06:48    | A21N    | A         | 72,3      | 73,6       | 81,9     |
| 8                     | 07-11-2022 12:08:44    | E75S    | A         | 71,9      | 74,8       | 81,9     |
| 8                     | 07-11-2022 12:10:44    | E190    | A         | 71,8      | 75,0       | 82,2     |
| 8                     | 07-11-2022 12:13:47    | E170    | A         | 71,9      | 73,2       | 80,9     |
| 8                     | 07-11-2022 12:17:12    | E75S    | A         | 70,8      | 73,5       | 82,5     |
| 8                     | 07-11-2022 12:19:11    | E195    | A         | 70,2      | 72,9       | 82,7     |
| 8                     | 07-11-2022 12:31:42    | A321    | D         | 70,5      | 73,4       | 84,9     |
| 8                     | 07-11-2022 12:48:46    | A21N    | D         | 69,7      | 71,9       | 81,2     |
| 8                     | 07-11-2022 12:59:17    | A21N    | D         | 69,1      | 70,8       | 81,4     |
| 8                     | 07-11-2022 13:01:42    | GLF5    | D         | 86,3      | 92,4       | 101,2    |
| 8                     | 07-11-2022 13:10:03    | E195    | D         | 71,7      | 74,7       | 83,4     |
| 8                     | 07-11-2022 13:15:25    | A320    | D         | 68,2      | 71,6       | 82,2     |
| 8                     | 07-11-2022 13:18:02    | A21N    | D         | 70,0      | 73,5       | 82,8     |
| 8                     | 07-11-2022 13:20:27    | BCS3    | D         | 68,3      | 69,1       | 77,3     |
| 8                     | 07-11-2022 13:26:22    | B77W    | D         | 72,5      | 75,6       | 86,6     |
| 8                     | 07-11-2022 13:29:00    | E190    | D         | 70,6      | 73,0       | 82,7     |
| 8                     | 07-11-2022 13:30:34    | E170    | D         | 68,6      | 70,0       | 80,9     |
| 8                     | 07-11-2022 13:33:24    | E75S    | D         | 70,5      | 73,3       | 82,8     |

| Nr punktu pomiarowego | Data i godz. zdarzenia | Samolot | Operacja* | $L_{Aeq}$ | $L_{Amax}$ | $L_{AE}$ |
|-----------------------|------------------------|---------|-----------|-----------|------------|----------|
|                       |                        |         |           | [dB]      | [dB]       | [dB]     |
| 8                     | 07-11-2022 13:34:38    | E190    | D         | 70,2      | 72,7       | 81,7     |
| 8                     | 07-11-2022 13:35:47    | E75S    | D         | 72,1      | 74,5       | 84,9     |
| 8                     | 07-11-2022 13:36:54    | E75S    | D         | 71,0      | 72,8       | 84,3     |
| 8                     | 07-11-2022 13:38:38    | A319    | D         | 68,7      | 71,7       | 83,2     |
| 8                     | 07-11-2022 13:55:06    | E550    | D         | 66,3      | 68,0       | 75,9     |
| 8                     | 07-11-2022 14:13:06    | B38M    | D         | 69,7      | 72,1       | 82,7     |
| 8                     | 07-11-2022 14:14:56    | E170    | D         | 69,3      | 72,7       | 81,6     |
| 8                     | 07-11-2022 14:22:41    | E190    | D         | 73,2      | 76,4       | 85,2     |
| 8                     | 07-11-2022 14:30:39    | A21N    | D         | 69,5      | 71,3       | 81,3     |
| 8                     | 07-11-2022 14:43:09    | B738    | D         | 71,3      | 74,3       | 85,1     |
| 8                     | 07-11-2022 14:52:09    | E195    | D         | 70,8      | 73,6       | 83,3     |
| 8                     | 07-11-2022 14:54:04    | BCS3    | D         | 67,7      | 68,8       | 77,2     |
| 8                     | 07-11-2022 14:59:56    | E75S    | D         | 70,4      | 72,7       | 83,4     |
| 8                     | 07-11-2022 15:02:16    | E195    | D         | 75,4      | 79,1       | 88,2     |
| 8                     | 07-11-2022 15:05:21    | A21N    | D         | 66,3      | 68,5       | 76,3     |
| 8                     | 07-11-2022 15:08:01    | E170    | D         | 69,7      | 72,3       | 83,4     |
| 8                     | 07-11-2022 15:11:04    | A321    | D         | 70,3      | 73,4       | 85,2     |
| 8                     | 07-11-2022 15:12:34    | E75S    | D         | 70,8      | 73,4       | 84,3     |
| 8                     | 07-11-2022 15:14:23    | E195    | D         | 68,8      | 72,2       | 83,7     |
| 8                     | 07-11-2022 15:15:59    | E195    | D         | 71,1      | 74,9       | 83,9     |
| 8                     | 07-11-2022 15:20:20    | E170    | D         | 69,8      | 72,2       | 82,6     |
| 8                     | 07-11-2022 15:41:21    | E190    | D         | 72,2      | 75,5       | 84,2     |
| 8                     | 07-11-2022 15:43:06    | E190    | D         | 70,9      | 74,2       | 84,7     |
| 8                     | 07-11-2022 15:50:58    | E75S    | D         | 73,2      | 77,9       | 86,9     |
| 8                     | 07-11-2022 15:53:12    | E195    | D         | 71,8      | 76,6       | 83,8     |
| 8                     | 07-11-2022 15:55:04    | B788    | D         | 68,8      | 71,0       | 82,9     |
| 8                     | 07-11-2022 15:57:47    | A319    | D         | 67,6      | 69,6       | 80,3     |
| 8                     | 07-11-2022 16:02:53    | E75S    | D         | 69,2      | 72,2       | 81,5     |
| 8                     | 07-11-2022 16:09:18    | E195    | D         | 69,2      | 72,8       | 82,2     |
| 8                     | 07-11-2022 16:26:44    | A21N    | D         | 68,9      | 70,7       | 81,9     |
| 8                     | 07-11-2022 16:34:01    | A320    | D         | 69,4      | 71,3       | 82,0     |
| 8                     | 07-11-2022 16:44:26    | E190    | D         | 71,2      | 74,7       | 84,2     |
| 8                     | 07-11-2022 16:57:32    | E190    | D         | 73,0      | 75,6       | 85,3     |
| 8                     | 07-11-2022 16:58:51    | E190    | D         | 73,7      | 77,7       | 86,9     |
| 8                     | 07-11-2022 17:02:37    | E190    | D         | 70,7      | 73,5       | 83,3     |
| 8                     | 07-11-2022 17:06:57    | CRJ9    | D         | 68,3      | 71,3       | 81,5     |
| 8                     | 07-11-2022 17:08:46    | E195    | D         | 70,2      | 73,1       | 83,2     |
| 8                     | 07-11-2022 17:12:50    | B38M    | D         | 68,0      | 70,1       | 79,5     |
| 8                     | 07-11-2022 17:16:28    | E195    | D         | 69,7      | 72,8       | 82,9     |
| 8                     | 07-11-2022 17:18:52    | E170    | D         | 69,6      | 72,2       | 82,6     |
| 8                     | 07-11-2022 17:20:23    | E195    | D         | 71,6      | 73,8       | 83,6     |
| 8                     | 07-11-2022 17:21:59    | E195    | D         | 70,6      | 73,3       | 83,4     |
| 8                     | 07-11-2022 17:24:24    | E75S    | D         | 70,3      | 72,5       | 83,7     |
| 8                     | 07-11-2022 17:28:07    | E195    | D         | 72,7      | 77,8       | 85,7     |
| 8                     | 07-11-2022 17:39:31    | B738    | D         | 75,2      | 78,9       | 88,2     |
| 8                     | 07-11-2022 17:43:27    | E75S    | D         | 69,5      | 73,2       | 84,0     |
| 8                     | 07-11-2022 17:50:16    | A21N    | D         | 68,5      | 70,9       | 81,0     |
| 8                     | 07-11-2022 17:51:52    | A321    | D         | 69,7      | 72,1       | 84,6     |
| 8                     | 07-11-2022 17:59:01    | A320    | D         | 68,5      | 70,8       | 83,1     |
| 8                     | 07-11-2022 18:02:00    | E170    | D         | 68,9      | 71,9       | 82,4     |
| 8                     | 07-11-2022 18:34:03    | E75S    | D         | 69,8      | 71,9       | 83,2     |
| 8                     | 07-11-2022 18:51:32    | A321    | D         | 71,0      | 73,5       | 85,8     |
| 8                     | 07-11-2022 19:18:53    | CRJ9    | D         | 67,0      | 69,1       | 81,3     |
| 8                     | 07-11-2022 19:32:30    | E75S    | D         | 69,5      | 73,0       | 84,3     |
| 8                     | 07-11-2022 19:34:33    | E195    | D         | 69,6      | 71,8       | 83,8     |
| 8                     | 07-11-2022 19:43:43    | E190    | D         | 72,6      | 76,3       | 87,8     |
| 8                     | 07-11-2022 19:45:11    | E190    | D         | 71,1      | 73,6       | 84,2     |

| Nr punktu pomiarowego | Data i godz. zdarzenia | Samolot | Operacja* | $L_{Aeq}$ | $L_{Amax}$ | $L_{AE}$ |
|-----------------------|------------------------|---------|-----------|-----------|------------|----------|
|                       |                        |         |           | [dB]      | [dB]       | [dB]     |
| 8                     | 07-11-2022 20:07:02    | E190    | D         | 70,3      | 72,5       | 82,8     |
| 8                     | 07-11-2022 20:10:37    | E190    | D         | 70,5      | 73,7       | 84,3     |
| 8                     | 07-11-2022 20:13:53    | E195    | D         | 70,1      | 72,7       | 83,3     |
| 8                     | 07-11-2022 20:21:26    | E170    | D         | 68,9      | 70,9       | 84,2     |
| 8                     | 07-11-2022 20:23:33    | A321    | D         | 69,4      | 70,9       | 84,6     |
| 8                     | 07-11-2022 20:27:03    | E195    | D         | 70,8      | 73,5       | 84,8     |
| 8                     | 07-11-2022 20:30:16    | E195    | D         | 70,5      | 72,3       | 83,9     |
| 8                     | 07-11-2022 20:34:25    | E75S    | D         | 73,5      | 76,4       | 86,9     |
| 8                     | 07-11-2022 20:37:33    | E75S    | D         | 70,2      | 71,4       | 83,2     |
| 8                     | 07-11-2022 20:47:54    | E195    | D         | 73,5      | 77,5       | 87,6     |
| 8                     | 07-11-2022 20:50:36    | E75S    | D         | 69,2      | 71,0       | 82,4     |
| 8                     | 07-11-2022 20:52:47    | E75S    | D         | 72,7      | 75,4       | 86,1     |
| 8                     | 07-11-2022 21:06:23    | B752    | D         | 67,7      | 69,4       | 81,8     |
| 8                     | 07-11-2022 21:47:47    | B738    | D         | 70,2      | 72,5       | 85,3     |
| 8                     | 07-11-2022 21:48:58    | B38M    | D         | 69,5      | 72,1       | 82,1     |
| 8                     | 07-11-2022 21:57:28    | A306    | D         | 73,5      | 76,4       | 89,2     |
| 8                     | 08-11-2022 06:01:29    | A21N    | D         | 69,7      | 71,4       | 81,7     |
| 8                     | 08-11-2022 06:08:06    | A321    | D         | 70,9      | 72,9       | 86,3     |
| 8                     | 08-11-2022 06:11:11    | B737    | D         | 70,5      | 73,3       | 83,5     |
| 8                     | 08-11-2022 06:13:15    | A319    | D         | 67,9      | 69,8       | 81,5     |
| 8                     | 08-11-2022 06:15:41    | A21N    | D         | 69,3      | 70,4       | 81,8     |
| 8                     | 08-11-2022 06:24:15    | A21N    | D         | 69,7      | 71,1       | 82,7     |
| 8                     | 08-11-2022 06:26:14    | A321    | D         | 70,5      | 71,7       | 85,5     |
| 8                     | 08-11-2022 06:45:08    | A320    | D         | 69,4      | 71,1       | 83,4     |
| 8                     | 08-11-2022 07:12:45    | B38M    | D         | 68,8      | 70,5       | 82,1     |
| 8                     | 08-11-2022 07:14:10    | E170    | D         | 71,8      | 73,9       | 84,4     |
| 8                     | 08-11-2022 07:20:36    | E75S    | D         | 70,3      | 72,0       | 83,3     |
| 8                     | 08-11-2022 07:23:54    | E190    | D         | 70,5      | 72,7       | 83,3     |
| 8                     | 08-11-2022 07:25:31    | A320    | D         | 69,0      | 70,9       | 81,5     |
| 8                     | 08-11-2022 07:35:36    | E190    | D         | 70,7      | 72,5       | 83,7     |
| 8                     | 08-11-2022 07:39:41    | E195    | D         | 70,0      | 72,2       | 83,0     |
| 8                     | 08-11-2022 07:41:51    | E170    | D         | 71,1      | 72,9       | 84,3     |
| 8                     | 08-11-2022 07:47:11    | B738    | D         | 74,6      | 77,4       | 87,6     |
| 8                     | 08-11-2022 07:48:45    | E75S    | D         | 69,8      | 71,9       | 82,8     |
| 8                     | 08-11-2022 07:52:15    | E195    | D         | 71,9      | 74,6       | 84,9     |
| 8                     | 08-11-2022 07:54:14    | E190    | D         | 72,1      | 74,8       | 84,6     |
| 8                     | 08-11-2022 08:00:16    | E170    | D         | 70,2      | 72,4       | 83,0     |
| 8                     | 08-11-2022 08:02:08    | E195    | D         | 70,7      | 73,8       | 84,4     |
| 8                     | 08-11-2022 08:03:33    | E195    | D         | 71,2      | 74,0       | 84,2     |
| 8                     | 08-11-2022 08:07:06    | E195    | D         | 72,4      | 75,1       | 85,4     |
| 8                     | 08-11-2022 08:08:42    | E195    | D         | 71,7      | 74,2       | 84,5     |
| 8                     | 08-11-2022 08:10:09    | B38M    | D         | 68,3      | 70,7       | 80,8     |
| 8                     | 08-11-2022 08:11:46    | E170    | D         | 73,3      | 77,3       | 86,3     |
| 8                     | 08-11-2022 08:13:18    | E190    | D         | 72,3      | 75,1       | 85,1     |
| 8                     | 08-11-2022 08:18:55    | E75S    | D         | 74,1      | 78,5       | 87,3     |
| 8                     | 08-11-2022 08:22:03    | A320    | D         | 69,4      | 71,2       | 81,9     |
| 8                     | 08-11-2022 09:06:59    | F2TH    | D         | 69,6      | 71,5       | 81,9     |
| 8                     | 08-11-2022 09:15:45    | A21N    | D         | 70,1      | 72,0       | 83,1     |
| 8                     | 08-11-2022 09:18:24    | B738    | D         | 71,1      | 72,9       | 83,6     |
| 8                     | 08-11-2022 09:30:09    | E75S    | D         | 74,2      | 78,0       | 87,4     |
| 8                     | 08-11-2022 09:46:25    | E195    | D         | 70,7      | 73,1       | 83,5     |
| 8                     | 08-11-2022 10:08:58    | CRJ9    | D         | 67,7      | 69,9       | 81,3     |
| 8                     | 08-11-2022 10:15:21    | E195    | D         | 69,7      | 73,9       | 83,7     |
| 8                     | 08-11-2022 10:46:44    | E170    | D         | 71,4      | 75,4       | 83,9     |
| 8                     | 08-11-2022 10:48:00    | E75S    | D         | 68,3      | 71,1       | 77,8     |
| 8                     | 08-11-2022 10:51:04    | B38M    | D         | 68,8      | 71,9       | 80,0     |
| 8                     | 08-11-2022 10:52:53    | E75S    | D         | 70,4      | 73,2       | 82,4     |

| Nr punktu pomiarowego | Data i godz. zdarzenia | Samolot | Operacja* | $L_{Aeq}$ | $L_{Amax}$ | $L_{AE}$ |
|-----------------------|------------------------|---------|-----------|-----------|------------|----------|
|                       |                        |         |           | [dB]      | [dB]       | [dB]     |
| 8                     | 08-11-2022 10:54:33    | E75S    | D         | 66,5      | 68,3       | 77,7     |
| 8                     | 08-11-2022 10:55:52    | E75S    | D         | 72,6      | 75,0       | 83,8     |
| 8                     | 08-11-2022 10:58:50    | E190    | D         | 70,0      | 74,2       | 82,3     |
| 8                     | 08-11-2022 11:00:26    | E195    | D         | 69,4      | 72,1       | 80,2     |
| 8                     | 08-11-2022 11:05:38    | E190    | D         | 69,8      | 72,2       | 80,9     |
| 8                     | 08-11-2022 11:18:43    | E195    | D         | 69,5      | 71,9       | 82,0     |
| 8                     | 08-11-2022 11:33:33    | CL35    | D         | 68,7      | 71,9       | 83,1     |
| 8                     | 08-11-2022 12:10:10    | E75S    | D         | 71,3      | 74,1       | 82,8     |
| 8                     | 08-11-2022 12:12:29    | E195    | D         | 75,2      | 78,9       | 87,7     |
| 8                     | 08-11-2022 12:15:44    | B38M    | D         | 68,6      | 70,9       | 81,8     |
| 8                     | 08-11-2022 12:19:43    | A21N    | D         | 68,8      | 71,5       | 81,8     |
| 8                     | 08-11-2022 12:42:30    | A321    | D         | 71,4      | 74,2       | 85,4     |
| 8                     | 08-11-2022 12:47:35    | A321    | D         | 69,6      | 72,8       | 84,0     |
| 8                     | 08-11-2022 13:03:32    | A319    | D         | 67,6      | 69,4       | 79,9     |
| 8                     | 08-11-2022 13:06:55    | E190    | D         | 72,5      | 75,5       | 86,1     |
| 8                     | 08-11-2022 13:13:06    | E195    | D         | 73,6      | 77,9       | 85,6     |
| 8                     | 08-11-2022 13:25:39    | E170    | D         | 72,8      | 75,8       | 85,1     |
| 8                     | 08-11-2022 13:27:41    | E195    | D         | 68,3      | 69,8       | 80,1     |
| 8                     | 08-11-2022 13:29:21    | E75S    | D         | 71,4      | 73,9       | 83,9     |
| 8                     | 08-11-2022 13:30:45    | A21N    | D         | 73,4      | 77,0       | 85,4     |
| 8                     | 08-11-2022 13:38:17    | B77W    | D         | 69,3      | 73,0       | 83,3     |
| 8                     | 08-11-2022 13:43:03    | E190    | D         | 69,4      | 71,2       | 81,2     |
| 8                     | 08-11-2022 13:51:59    | E195    | D         | 70,5      | 73,3       | 83,3     |
| 8                     | 08-11-2022 14:07:45    | A319    | D         | 68,0      | 71,4       | 82,2     |
| 8                     | 08-11-2022 14:28:56    | E190    | D         | 74,2      | 77,7       | 87,0     |
| 8                     | 08-11-2022 14:39:14    | A21N    | D         | 70,0      | 71,9       | 81,7     |
| 8                     | 08-11-2022 14:48:44    | E295    | D         | 67,6      | 70,5       | 79,7     |
| 8                     | 08-11-2022 14:50:35    | B762    | D         | 70,6      | 73,2       | 85,3     |
| 8                     | 08-11-2022 14:52:51    | E195    | D         | 70,3      | 72,7       | 83,9     |
| 8                     | 08-11-2022 14:54:37    | B38M    | D         | 69,5      | 71,5       | 80,6     |
| 8                     | 08-11-2022 14:59:50    | E75S    | D         | 71,1      | 74,2       | 83,6     |
| 8                     | 08-11-2022 15:01:41    | E195    | D         | 70,3      | 72,3       | 83,8     |
| 8                     | 08-11-2022 15:07:33    | E190    | D         | 72,2      | 75,4       | 84,5     |
| 8                     | 08-11-2022 15:10:58    | A319    | D         | 68,8      | 70,6       | 82,6     |
| 8                     | 08-11-2022 15:12:55    | E170    | D         | 74,2      | 77,8       | 86,7     |
| 8                     | 08-11-2022 15:14:51    | A321    | D         | 71,4      | 74,3       | 86,0     |
| 8                     | 08-11-2022 15:16:55    | E75S    | D         | 70,3      | 71,8       | 83,3     |
| 8                     | 08-11-2022 15:35:55    | E170    | D         | 71,7      | 74,7       | 84,5     |
| 8                     | 08-11-2022 15:38:12    | A320    | D         | 68,1      | 69,2       | 81,7     |
| 8                     | 08-11-2022 15:41:36    | E75S    | D         | 70,9      | 72,4       | 83,7     |
| 8                     | 08-11-2022 15:43:28    | DH8D    | D         | 69,2      | 71,0       | 78,2     |
| 8                     | 08-11-2022 15:48:39    | E195    | D         | 71,5      | 73,4       | 83,8     |
| 8                     | 08-11-2022 15:50:52    | B38M    | D         | 69,0      | 71,3       | 81,0     |
| 8                     | 08-11-2022 15:54:51    | E170    | D         | 71,5      | 73,4       | 84,1     |
| 8                     | 08-11-2022 15:57:14    | E75S    | D         | 71,6      | 73,5       | 84,2     |
| 8                     | 08-11-2022 15:59:12    | E195    | D         | 71,0      | 73,2       | 83,5     |
| 8                     | 08-11-2022 16:01:38    | B788    | D         | 69,3      | 71,1       | 81,6     |
| 8                     | 08-11-2022 16:04:17    | B738    | D         | 70,2      | 72,0       | 84,7     |
| 8                     | 08-11-2022 16:10:14    | E195    | D         | 70,9      | 72,6       | 83,7     |
| 8                     | 08-11-2022 16:15:12    | E195    | D         | 72,3      | 74,9       | 84,1     |
| 8                     | 08-11-2022 16:17:52    | E170    | D         | 69,1      | 70,9       | 80,3     |
| 8                     | 08-11-2022 16:50:06    | E190    | D         | 74,6      | 77,9       | 87,4     |
| 8                     | 08-11-2022 16:53:28    | E170    | D         | 70,8      | 72,4       | 83,4     |
| 8                     | 08-11-2022 16:59:00    | E75S    | D         | 70,8      | 72,6       | 82,9     |
| 8                     | 08-11-2022 17:00:39    | E190    | D         | 72,2      | 74,3       | 83,9     |
| 8                     | 08-11-2022 17:03:19    | E190    | D         | 71,9      | 74,5       | 84,9     |
| 8                     | 08-11-2022 17:07:50    | B738    | D         | 72,3      | 74,2       | 85,5     |

| Nr punktu pomiarowego | Data i godz. zdarzenia | Samolot | Operacja* | $L_{Aeq}$ | $L_{Amax}$ | $L_{AE}$ |
|-----------------------|------------------------|---------|-----------|-----------|------------|----------|
|                       |                        |         |           | [dB]      | [dB]       | [dB]     |
| 8                     | 08-11-2022 17:11:33    | B38M    | D         | 68,4      | 69,6       | 79,8     |
| 8                     | 08-11-2022 17:18:22    | A319    | D         | 67,9      | 68,7       | 81,4     |
| 8                     | 08-11-2022 17:19:45    | E195    | D         | 71,2      | 73,8       | 84,2     |
| 8                     | 08-11-2022 17:21:54    | E195    | D         | 71,5      | 73,8       | 84,1     |
| 8                     | 08-11-2022 17:23:26    | E195    | D         | 70,9      | 72,5       | 84,7     |
| 8                     | 08-11-2022 17:33:52    | E190    | D         | 73,6      | 76,6       | 86,4     |
| 8                     | 08-11-2022 17:35:18    | E195    | D         | 71,8      | 74,3       | 84,6     |
| 8                     | 08-11-2022 17:36:36    | E75S    | D         | 69,7      | 71,2       | 83,5     |
| 8                     | 08-11-2022 17:38:05    | A321    | D         | 71,2      | 73,0       | 85,8     |
| 8                     | 08-11-2022 17:41:10    | A320    | D         | 69,4      | 70,9       | 83,0     |
| 8                     | 08-11-2022 18:02:22    | B738    | D         | 71,6      | 73,9       | 85,6     |
| 8                     | 08-11-2022 18:04:38    | E195    | D         | 70,3      | 73,0       | 83,7     |
| 8                     | 08-11-2022 18:06:08    | A320    | D         | 68,6      | 70,3       | 83,1     |
| 8                     | 08-11-2022 18:10:15    | E75S    | D         | 69,6      | 72,1       | 83,0     |
| 8                     | 08-11-2022 18:21:36    | A321    | D         | 70,4      | 72,4       | 85,6     |
| 8                     | 08-11-2022 18:34:58    | E75S    | D         | 70,1      | 72,0       | 83,7     |
| 8                     | 08-11-2022 19:08:26    | CRJ9    | D         | 67,7      | 68,8       | 81,5     |
| 8                     | 08-11-2022 19:17:00    | A321    | D         | 70,4      | 72,2       | 85,5     |
| 8                     | 08-11-2022 19:41:04    | E195    | D         | 69,8      | 71,5       | 82,1     |
| 8                     | 08-11-2022 19:43:25    | E190    | D         | 72,2      | 76,1       | 85,2     |
| 8                     | 08-11-2022 19:48:16    | E190    | D         | 72,4      | 75,1       | 86,2     |
| 8                     | 08-11-2022 20:08:00    | E190    | D         | 71,0      | 73,8       | 84,4     |
| 8                     | 08-11-2022 20:09:24    | E195    | D         | 71,2      | 73,4       | 84,4     |
| 8                     | 08-11-2022 20:14:31    | E170    | D         | 70,4      | 72,6       | 83,4     |
| 8                     | 08-11-2022 20:21:56    | A20N    | D         | 66,9      | 68,1       | 79,2     |
| 8                     | 08-11-2022 20:34:57    | E195    | A         | 71,6      | 74,7       | 83,4     |
| 8                     | 08-11-2022 20:40:43    | E75S    | A         | 70,4      | 73,0       | 81,2     |
| 8                     | 08-11-2022 20:44:55    | E75S    | A         | 70,6      | 72,7       | 81,0     |
| 8                     | 08-11-2022 21:05:15    | B738    | A         | 71,4      | 74,1       | 82,9     |
| 8                     | 08-11-2022 21:08:51    | E190    | A         | 70,0      | 72,6       | 81,5     |
| 8                     | 08-11-2022 21:10:51    | E195    | A         | 71,2      | 74,2       | 83,0     |
| 8                     | 08-11-2022 21:13:01    | E195    | A         | 71,8      | 74,8       | 83,3     |
| 8                     | 08-11-2022 21:17:03    | E195    | A         | 72,2      | 76,1       | 83,9     |
| 8                     | 08-11-2022 21:18:57    | E75S    | A         | 70,4      | 72,5       | 81,2     |
| 8                     | 08-11-2022 21:20:55    | E75S    | A         | 70,2      | 73,4       | 81,3     |
| 8                     | 08-11-2022 21:23:05    | B38M    | A         | 71,5      | 74,5       | 82,7     |
| 8                     | 08-11-2022 21:26:05    | E195    | A         | 72,0      | 75,0       | 83,5     |
| 8                     | 08-11-2022 21:28:11    | E170    | A         | 69,8      | 72,5       | 80,6     |
| 8                     | 08-11-2022 21:30:20    | B738    | A         | 71,7      | 74,5       | 83,1     |
| 8                     | 08-11-2022 21:37:52    | A320    | A         | 70,6      | 72,7       | 81,0     |
| 8                     | 08-11-2022 21:48:22    | B38M    | A         | 71,2      | 74,3       | 82,7     |
| 8                     | 08-11-2022 21:50:27    | B38M    | A         | 71,2      | 74,5       | 83,2     |
| 8                     | 08-11-2022 21:52:33    | A319    | A         | 71,4      | 75,0       | 84,2     |
| 8                     | 08-11-2022 21:59:10    | E170    | A         | 70,3      | 72,6       | 80,7     |
| 8                     | 09-11-2022 06:09:45    | E75S    | A         | 71,1      | 73,3       | 80,6     |
| 8                     | 09-11-2022 06:11:28    | E195    | A         | 72,4      | 75,0       | 82,8     |
| 8                     | 09-11-2022 06:13:12    | E75S    | A         | 71,3      | 73,4       | 80,8     |
| 8                     | 09-11-2022 06:14:32    | A21N    | A         | 71,6      | 74,1       | 81,6     |
| 8                     | 09-11-2022 06:18:45    | E195    | A         | 72,6      | 75,2       | 83,8     |
| 8                     | 09-11-2022 06:20:17    | E75S    | A         | 71,6      | 74,1       | 82,7     |
| 8                     | 09-11-2022 06:22:27    | E190    | A         | 71,1      | 73,1       | 82,2     |
| 8                     | 09-11-2022 06:24:27    | E195    | A         | 71,2      | 73,6       | 82,7     |
| 8                     | 09-11-2022 06:26:52    | B738    | A         | 72,5      | 76,0       | 84,5     |
| 8                     | 09-11-2022 06:29:49    | E170    | A         | 70,4      | 72,8       | 81,2     |
| 8                     | 09-11-2022 07:19:08    | B738    | A         | 72,1      | 75,8       | 84,2     |
| 8                     | 09-11-2022 07:24:28    | GLF5    | A         | 69,7      | 71,1       | 78,8     |
| 8                     | 09-11-2022 08:01:38    | E75S    | A         | 70,2      | 72,3       | 80,2     |

| Nr punktu pomiarowego | Data i godz. zdarzenia | Samolot | Operacja* | $L_{Aeq}$ | $L_{Amax}$ | $L_{AE}$ |
|-----------------------|------------------------|---------|-----------|-----------|------------|----------|
|                       |                        |         |           | [dB]      | [dB]       | [dB]     |
| 8                     | 09-11-2022 08:10:34    | E190    | A         | 70,9      | 73,2       | 82,0     |
| 8                     | 09-11-2022 08:19:54    | E75S    | A         | 78,3      | 84,7       | 97,8     |
| 8                     | 09-11-2022 08:21:24    | E170    | A         | 75,2      | 79,1       | 94,5     |
| 8                     | 09-11-2022 08:28:13    | E195    | A         | 72,2      | 74,5       | 83,0     |
| 8                     | 09-11-2022 08:41:27    | B38M    | A         | 70,5      | 74,2       | 82,8     |
| 8                     | 09-11-2022 08:43:12    | A319    | A         | 71,3      | 75,7       | 83,3     |
| 8                     | 09-11-2022 08:45:09    | E170    | A         | 70,0      | 72,9       | 81,5     |
| 8                     | 09-11-2022 08:47:15    | E190    | A         | 72,8      | 75,7       | 83,6     |
| 8                     | 09-11-2022 08:54:55    | E75S    | A         | 71,2      | 73,4       | 81,6     |
| 8                     | 09-11-2022 09:09:04    | CRJ9    | A         | 69,7      | 71,5       | 79,7     |
| 8                     | 09-11-2022 09:10:44    | E195    | A         | 71,9      | 75,0       | 83,4     |
| 8                     | 09-11-2022 09:12:33    | E195    | A         | 72,2      | 75,0       | 83,6     |
| 8                     | 09-11-2022 09:14:59    | E75S    | A         | 71,0      | 73,4       | 80,6     |
| 8                     | 09-11-2022 09:16:52    | DH8D    | A         | 68,8      | 70,6       | 79,2     |
| 8                     | 09-11-2022 09:18:45    | E75S    | A         | 70,9      | 73,5       | 81,3     |
| 8                     | 09-11-2022 09:22:20    | E75S    | A         | 70,9      | 73,1       | 80,9     |
| 8                     | 09-11-2022 09:27:08    | E75S    | A         | 70,5      | 72,8       | 80,9     |
| 8                     | 09-11-2022 09:28:56    | DH8D    | A         | 69,5      | 71,5       | 80,0     |
| 8                     | 09-11-2022 10:30:57    | E170    | A         | 69,9      | 71,9       | 80,7     |
| 8                     | 09-11-2022 10:38:48    | A320    | A         | 70,9      | 73,7       | 82,4     |
| 8                     | 09-11-2022 10:56:50    | B788    | A         | 72,5      | 75,2       | 84,8     |
| 8                     | 09-11-2022 10:59:23    | E195    | A         | 72,3      | 75,3       | 83,8     |
| 8                     | 09-11-2022 11:01:21    | E190    | A         | 70,2      | 73,3       | 82,2     |
| 8                     | 09-11-2022 11:08:06    | B77W    | A         | 74,8      | 78,2       | 87,6     |
| 8                     | 09-11-2022 11:25:50    | E75S    | A         | 70,7      | 73,7       | 81,1     |
| 8                     | 09-11-2022 11:28:19    | TBM8    | A         | 71,6      | 73,2       | 80,6     |
| 8                     | 09-11-2022 11:46:05    | E190    | A         | 71,4      | 73,3       | 82,2     |
| 8                     | 09-11-2022 11:48:41    | BCS3    | A         | 70,0      | 71,7       | 80,4     |
| 8                     | 09-11-2022 11:52:58    | B788    | A         | 71,7      | 75,7       | 84,2     |
| 8                     | 09-11-2022 11:54:59    | E195    | A         | 70,8      | 73,9       | 82,6     |
| 8                     | 09-11-2022 12:04:39    | B789    | A         | 71,6      | 76,0       | 85,3     |
| 8                     | 09-11-2022 12:07:04    | E195    | A         | 71,0      | 73,1       | 82,1     |
| 8                     | 09-11-2022 12:08:39    | E170    | A         | 71,1      | 74,1       | 81,5     |
| 8                     | 09-11-2022 12:10:40    | A21N    | A         | 71,1      | 72,7       | 80,6     |
| 8                     | 09-11-2022 12:12:29    | E75S    | A         | 70,8      | 73,3       | 81,2     |
| 8                     | 09-11-2022 12:14:23    | E75S    | A         | 71,1      | 73,6       | 81,6     |
| 8                     | 09-11-2022 12:16:49    | E190    | A         | 72,7      | 77,1       | 84,7     |
| 8                     | 09-11-2022 12:18:52    | DH8D    | A         | 69,6      | 71,0       | 78,6     |
| 8                     | 09-11-2022 12:22:09    | B788    | A         | 70,3      | 73,0       | 83,3     |
| 8                     | 09-11-2022 12:24:24    | E170    | A         | 71,4      | 74,8       | 82,2     |
| 8                     | 09-11-2022 12:25:57    | E195    | A         | 71,6      | 73,6       | 82,7     |
| 8                     | 09-11-2022 12:29:48    | B788    | A         | 72,7      | 77,2       | 84,7     |
| 8                     | 09-11-2022 12:33:10    | E170    | A         | 72,0      | 75,0       | 82,4     |
| 8                     | 09-11-2022 12:37:19    | DH8D    | A         | 69,9      | 72,2       | 79,5     |
| 8                     | 09-11-2022 12:44:28    | DH8D    | A         | 69,8      | 71,3       | 79,3     |
| 8                     | 09-11-2022 12:47:38    | B38M    | A         | 71,9      | 75,4       | 83,4     |
| 8                     | 09-11-2022 12:49:44    | B789    | A         | 72,0      | 75,8       | 84,5     |
| 8                     | 09-11-2022 12:52:05    | E195    | A         | 73,0      | 75,6       | 84,5     |
| 8                     | 09-11-2022 12:53:46    | E170    | A         | 71,3      | 74,1       | 81,7     |
| 8                     | 09-11-2022 12:55:50    | A319    | A         | 73,4      | 76,1       | 84,5     |
| 8                     | 09-11-2022 13:08:35    | B789    | A         | 71,6      | 75,1       | 84,4     |
| 8                     | 09-11-2022 13:10:43    | E190    | A         | 72,2      | 74,8       | 84,0     |
| 8                     | 09-11-2022 13:12:40    | E195    | A         | 71,9      | 74,7       | 83,4     |
| 8                     | 09-11-2022 13:14:25    | E75S    | A         | 72,0      | 74,3       | 81,1     |
| 8                     | 09-11-2022 13:21:00    | A321    | A         | 71,0      | 73,5       | 81,4     |
| 8                     | 09-11-2022 13:30:46    | A21N    | A         | 70,1      | 72,9       | 82,5     |
| 8                     | 09-11-2022 13:43:21    | E290    | A         | 70,3      | 72,2       | 79,8     |

| Nr punktu pomiarowego | Data i godz. zdarzenia | Samolot | Operacja* | $L_{Aeq}$ | $L_{Amax}$ | $L_{AE}$ |
|-----------------------|------------------------|---------|-----------|-----------|------------|----------|
|                       |                        |         |           | [dB]      | [dB]       | [dB]     |
| 8                     | 09-11-2022 13:45:46    | B38M    | A         | 71,4      | 74,3       | 82,1     |
| 8                     | 09-11-2022 13:52:06    | E190    | A         | 71,3      | 74,9       | 83,4     |
| 8                     | 09-11-2022 13:54:02    | E75S    | A         | 70,3      | 72,7       | 80,3     |
| 8                     | 09-11-2022 13:56:43    | A21N    | A         | 72,3      | 76,6       | 84,6     |
| 8                     | 09-11-2022 13:58:46    | E195    | A         | 72,2      | 74,0       | 82,6     |
| 8                     | 09-11-2022 14:07:25    | E195    | A         | 71,3      | 73,9       | 83,1     |
| 8                     | 09-11-2022 14:25:44    | E195    | A         | 71,7      | 75,1       | 83,2     |
| 8                     | 09-11-2022 14:32:19    | E195    | A         | 71,6      | 75,4       | 84,2     |
| 8                     | 09-11-2022 14:53:27    | E75S    | A         | 72,6      | 75,0       | 82,1     |
| 8                     | 09-11-2022 14:57:43    | LJ75    | A         | 80,2      | 86,7       | 95,3     |
| 8                     | 09-11-2022 15:00:02    | E75S    | A         | 70,7      | 73,3       | 82,2     |
| 8                     | 09-11-2022 15:07:07    | B38M    | A         | 71,6      | 74,4       | 82,8     |
| 8                     | 09-11-2022 15:09:07    | C295    | A         | 71,5      | 74,4       | 81,5     |
| 8                     | 09-11-2022 15:19:48    | A21N    | A         | 70,6      | 72,9       | 81,0     |
| 8                     | 09-11-2022 15:22:38    | E190    | A         | 72,2      | 74,4       | 83,3     |
| 8                     | 09-11-2022 15:23:53    | E190    | A         | 71,5      | 74,3       | 82,3     |
| 8                     | 09-11-2022 15:25:08    | DH8D    | A         | 68,6      | 69,6       | 77,6     |
| 8                     | 09-11-2022 15:26:42    | E75S    | A         | 70,4      | 72,5       | 80,8     |
| 8                     | 09-11-2022 15:28:14    | E195    | A         | 71,6      | 75,3       | 83,4     |
| 8                     | 09-11-2022 15:30:51    | E190    | A         | 72,7      | 75,8       | 84,1     |
| 8                     | 09-11-2022 15:32:51    | E75S    | A         | 71,1      | 74,0       | 82,3     |
| 8                     | 09-11-2022 15:34:32    | DH8D    | A         | 69,4      | 70,9       | 78,4     |
| 8                     | 09-11-2022 15:36:25    | M28     | A         | 72,3      | 75,6       | 83,5     |
| 8                     | 09-11-2022 15:39:07    | E75S    | A         | 70,4      | 72,3       | 80,8     |
| 8                     | 09-11-2022 15:43:10    | B738    | A         | 71,6      | 75,6       | 83,6     |
| 8                     | 09-11-2022 15:47:22    | E190    | A         | 70,8      | 73,2       | 81,6     |
| 8                     | 09-11-2022 15:49:10    | DH8D    | A         | 69,1      | 70,9       | 78,6     |
| 8                     | 09-11-2022 15:50:53    | E75S    | A         | 71,1      | 73,6       | 81,9     |
| 8                     | 09-11-2022 15:52:48    | E190    | A         | 71,8      | 74,3       | 82,9     |
| 8                     | 09-11-2022 15:54:49    | E75S    | A         | 71,8      | 74,8       | 83,0     |
| 8                     | 09-11-2022 15:56:38    | A319    | A         | 71,4      | 74,3       | 82,2     |
| 8                     | 09-11-2022 16:41:20    | B738    | A         | 71,9      | 74,2       | 83,1     |
| 8                     | 09-11-2022 16:44:14    | A321    | A         | 71,5      | 74,9       | 82,9     |
| 8                     | 09-11-2022 17:00:09    | A321    | A         | 70,5      | 71,5       | 79,5     |
| 8                     | 09-11-2022 17:02:15    | A320    | A         | 71,7      | 75,1       | 83,7     |
| 8                     | 09-11-2022 17:15:05    | A21N    | A         | 70,5      | 72,8       | 80,5     |
| 8                     | 09-11-2022 17:25:39    | C525    | A         | 68,2      | 69,9       | 77,3     |
| 8                     | 09-11-2022 17:31:53    | A321    | A         | 71,6      | 74,3       | 82,3     |
| 8                     | 09-11-2022 17:34:11    | DH8D    | A         | 69,7      | 71,3       | 79,3     |
| 8                     | 09-11-2022 17:37:30    | E195    | A         | 71,0      | 74,4       | 83,0     |
| 8                     | 09-11-2022 17:40:51    | CRJ9    | A         | 69,7      | 71,7       | 79,7     |
| 8                     | 09-11-2022 17:43:07    | E75S    | A         | 70,8      | 72,9       | 81,2     |
| 8                     | 09-11-2022 18:01:41    | E195    | A         | 70,6      | 74,6       | 83,4     |
| 8                     | 09-11-2022 18:10:22    | A319    | A         | 71,0      | 74,1       | 82,7     |
| 8                     | 09-11-2022 18:12:03    | E170    | A         | 80,5      | 88,4       | 95,5     |
| 8                     | 09-11-2022 18:13:43    | CRJ9    | A         | 69,8      | 72,8       | 81,5     |
| 8                     | 09-11-2022 18:18:14    | CL35    | A         | 68,8      | 70,7       | 78,8     |
| 8                     | 09-11-2022 18:28:06    | E195    | A         | 71,8      | 75,3       | 84,1     |
| 8                     | 09-11-2022 18:30:14    | E170    | A         | 70,7      | 73,1       | 81,1     |
| 8                     | 09-11-2022 18:32:07    | E170    | A         | 70,0      | 72,6       | 80,4     |
| 8                     | 09-11-2022 18:34:13    | A21N    | A         | 70,2      | 73,8       | 82,5     |
| 8                     | 09-11-2022 18:35:51    | E190    | A         | 71,1      | 74,1       | 83,2     |
| 8                     | 09-11-2022 18:40:23    | E75S    | A         | 70,3      | 72,1       | 80,7     |
| 8                     | 09-11-2022 18:42:32    | E195    | A         | 71,3      | 74,6       | 83,1     |
| 8                     | 09-11-2022 18:44:32    | E195    | A         | 70,6      | 74,4       | 83,3     |
| 8                     | 09-11-2022 18:46:32    | E190    | A         | 70,8      | 73,7       | 82,8     |
| 8                     | 09-11-2022 18:48:37    | E75S    | A         | 70,7      | 73,4       | 81,5     |

| Nr punktu pomiarowego | Data i godz. zdarzenia | Samolot | Operacja* | $L_{Aeq}$ | $L_{Amax}$ | $L_{AE}$ |
|-----------------------|------------------------|---------|-----------|-----------|------------|----------|
|                       |                        |         |           | [dB]      | [dB]       | [dB]     |
| 8                     | 09-11-2022 18:50:54    | DH8D    | A         | 70,2      | 73,9       | 82,2     |
| 8                     | 09-11-2022 18:54:28    | E170    | A         | 70,9      | 73,9       | 82,0     |
| 8                     | 09-11-2022 18:56:35    | B738    | A         | 72,0      | 75,5       | 84,1     |
| 8                     | 09-11-2022 18:59:01    | E290    | A         | 69,6      | 71,6       | 80,0     |
| 8                     | 09-11-2022 19:11:19    | E195    | A         | 71,5      | 74,5       | 82,9     |
| 8                     | 09-11-2022 19:23:45    | E75S    | A         | 70,8      | 73,7       | 82,2     |
| 8                     | 09-11-2022 19:32:46    | C130    | A         | 75,2      | 80,1       | 88,2     |
| 8                     | 09-11-2022 19:39:39    | E75S    | A         | 70,7      | 73,0       | 81,2     |
| 8                     | 09-11-2022 19:46:56    | C56X    | A         | 67,3      | 69,6       | 78,5     |
| 8                     | 09-11-2022 19:53:46    | B38M    | A         | 71,6      | 75,3       | 83,3     |
| 8                     | 09-11-2022 19:58:40    | B38M    | A         | 72,4      | 76,4       | 84,4     |
| 8                     | 09-11-2022 20:02:45    | DH8D    | A         | 70,2      | 72,1       | 80,2     |
| 8                     | 09-11-2022 20:15:10    | B38M    | A         | 71,9      | 75,1       | 83,7     |
| 8                     | 09-11-2022 20:33:34    | E190    | A         | 70,3      | 73,2       | 82,1     |
| 8                     | 09-11-2022 20:38:49    | E75S    | A         | 71,3      | 74,5       | 82,5     |
| 8                     | 09-11-2022 20:42:24    | E190    | A         | 78,1      | 86,7       | 94,4     |
| 8                     | 09-11-2022 20:51:18    | E195    | A         | 71,4      | 74,6       | 83,7     |
| 8                     | 09-11-2022 21:06:12    | E195    | A         | 72,8      | 77,0       | 84,3     |
| 8                     | 09-11-2022 21:08:44    | E75S    | A         | 69,8      | 72,7       | 80,6     |
| 8                     | 09-11-2022 21:10:46    | A320    | A         | 70,1      | 72,8       | 81,2     |
| 8                     | 09-11-2022 21:12:49    | E75S    | A         | 70,6      | 72,1       | 80,1     |
| 8                     | 09-11-2022 21:21:01    | E190    | A         | 71,0      | 73,8       | 82,5     |
| 8                     | 09-11-2022 21:30:39    | E190    | A         | 70,3      | 73,1       | 81,8     |
| 8                     | 09-11-2022 21:32:50    | E195    | A         | 72,2      | 75,1       | 83,0     |
| 8                     | 09-11-2022 21:35:18    | B38M    | A         | 71,1      | 76,6       | 83,4     |
| 8                     | 09-11-2022 21:42:23    | E170    | A         | 70,4      | 72,7       | 80,4     |
| 8                     | 09-11-2022 21:46:36    | E75S    | A         | 71,3      | 74,0       | 81,7     |
| 8                     | 09-11-2022 21:48:12    | A321    | A         | 72,2      | 75,7       | 84,2     |
| 8                     | 09-11-2022 21:49:56    | E75S    | A         | 70,7      | 73,4       | 81,2     |
| 8                     | 09-11-2022 21:51:32    | E190    | A         | 71,1      | 74,2       | 82,9     |
| 8                     | 09-11-2022 21:53:04    | E75S    | A         | 71,1      | 73,3       | 81,1     |
| 8                     | 09-11-2022 21:54:40    | DH8D    | A         | 69,3      | 71,1       | 79,3     |
| 8                     | 09-11-2022 21:56:47    | E170    | A         | 71,0      | 72,7       | 81,4     |
| 8                     | 09-11-2022 21:58:39    | E195    | A         | 70,4      | 74,1       | 83,5     |
| 8                     | 10-11-2022 06:04:32    | CL35    | D         | 68,4      | 69,7       | 80,1     |
| 8                     | 10-11-2022 06:08:44    | B38M    | D         | 69,3      | 71,5       | 82,9     |
| 8                     | 10-11-2022 06:10:05    | A319    | D         | 70,4      | 73,2       | 83,8     |
| 8                     | 10-11-2022 06:12:31    | B737    | D         | 71,4      | 73,5       | 84,1     |
| 8                     | 10-11-2022 06:14:23    | A21N    | D         | 69,5      | 71,1       | 82,3     |
| 8                     | 10-11-2022 06:16:55    | A321    | D         | 71,2      | 72,9       | 86,2     |
| 8                     | 10-11-2022 06:19:17    | B38M    | D         | 70,0      | 72,1       | 82,6     |
| 8                     | 10-11-2022 06:21:35    | A21N    | D         | 69,4      | 70,7       | 81,1     |
| 8                     | 10-11-2022 06:56:07    | A321    | D         | 70,5      | 72,4       | 85,3     |
| 8                     | 10-11-2022 06:59:12    | E195    | D         | 69,4      | 71,4       | 83,4     |
| 8                     | 10-11-2022 07:02:03    | A321    | D         | 69,0      | 70,8       | 84,6     |
| 8                     | 10-11-2022 07:10:36    | B738    | D         | 69,4      | 71,2       | 84,8     |
| 8                     | 10-11-2022 07:19:01    | E75S    | D         | 69,4      | 71,0       | 82,6     |
| 8                     | 10-11-2022 07:22:17    | A320    | D         | 69,0      | 71,4       | 82,9     |
| 8                     | 10-11-2022 07:27:27    | E170    | D         | 73,0      | 76,9       | 86,4     |
| 8                     | 10-11-2022 07:35:20    | E75S    | D         | 70,3      | 72,8       | 83,9     |
| 8                     | 10-11-2022 07:37:11    | A21N    | D         | 69,4      | 71,0       | 82,4     |
| 8                     | 10-11-2022 07:39:13    | E195    | D         | 71,2      | 74,8       | 84,8     |
| 8                     | 10-11-2022 07:41:00    | E195    | D         | 71,4      | 73,4       | 83,5     |
| 8                     | 10-11-2022 07:42:37    | E195    | D         | 70,8      | 73,1       | 83,8     |
| 8                     | 10-11-2022 07:47:51    | E75S    | D         | 70,6      | 73,3       | 84,7     |
| 8                     | 10-11-2022 07:51:43    | E75S    | D         | 69,0      | 71,3       | 81,3     |
| 8                     | 10-11-2022 07:56:19    | E75S    | D         | 71,2      | 73,4       | 85,0     |

| Nr punktu pomiarowego | Data i godz. zdarzenia | Samolot | Operacja* | $L_{Aeq}$ | $L_{Amax}$ | $L_{AE}$ |
|-----------------------|------------------------|---------|-----------|-----------|------------|----------|
|                       |                        |         |           | [dB]      | [dB]       | [dB]     |
| 8                     | 10-11-2022 07:58:06    | A321    | D         | 69,9      | 71,5       | 84,7     |
| 8                     | 10-11-2022 08:00:53    | E190    | D         | 71,9      | 74,7       | 84,7     |
| 8                     | 10-11-2022 08:03:47    | E195    | D         | 70,9      | 73,6       | 84,1     |
| 8                     | 10-11-2022 08:10:48    | E190    | D         | 70,3      | 73,6       | 84,4     |
| 8                     | 10-11-2022 08:12:58    | E190    | D         | 71,6      | 74,9       | 83,9     |
| 8                     | 10-11-2022 08:14:31    | A320    | D         | 70,2      | 72,2       | 83,6     |
| 8                     | 10-11-2022 08:16:12    | E190    | D         | 73,3      | 76,8       | 86,3     |
| 8                     | 10-11-2022 08:18:41    | B38M    | D         | 69,2      | 70,9       | 81,5     |
| 8                     | 10-11-2022 08:20:45    | E170    | D         | 71,3      | 73,8       | 83,8     |
| 8                     | 10-11-2022 08:23:11    | E195    | D         | 70,3      | 73,8       | 83,3     |
| 8                     | 10-11-2022 08:25:44    | E170    | D         | 71,2      | 73,1       | 84,2     |
| 8                     | 10-11-2022 08:30:00    | E195    | D         | 73,3      | 77,5       | 87,5     |
| 8                     | 10-11-2022 08:48:22    | B38M    | D         | 67,5      | 68,6       | 80,7     |
| 8                     | 10-11-2022 08:59:51    | C560    | D         | 67,7      | 68,8       | 80,3     |
| 8                     | 10-11-2022 09:01:10    | E190    | D         | 71,8      | 74,7       | 85,9     |
| 8                     | 10-11-2022 09:06:10    | B738    | D         | 70,8      | 74,8       | 86,6     |
| 8                     | 10-11-2022 09:07:59    | GLF5    | D         | 67,2      | 69,0       | 78,7     |
| 8                     | 10-11-2022 09:17:45    | E195    | D         | 69,6      | 71,5       | 81,3     |
| 8                     | 10-11-2022 09:19:58    | B738    | D         | 71,6      | 74,5       | 85,2     |
| 8                     | 10-11-2022 09:26:03    | E190    | D         | 72,3      | 76,4       | 84,4     |
| 8                     | 10-11-2022 09:28:26    | E75S    | D         | 70,0      | 72,5       | 82,8     |
| 8                     | 10-11-2022 09:40:11    | A320    | D         | 80,9      | 88,5       | 96,5     |
| 8                     | 10-11-2022 09:44:20    | B738    | D         | 72,0      | 75,0       | 86,2     |
| 8                     | 10-11-2022 09:47:10    | B39M    | D         | 67,9      | 70,5       | 81,6     |
| 8                     | 10-11-2022 10:07:39    | CRJ9    | D         | 67,1      | 68,8       | 79,7     |
| 8                     | 10-11-2022 10:34:11    | E75S    | D         | 69,5      | 71,8       | 81,0     |
| 8                     | 10-11-2022 10:35:41    | DH8D    | D         | 67,4      | 68,2       | 77,4     |
| 8                     | 10-11-2022 10:38:35    | B737    | D         | 70,6      | 72,8       | 85,5     |
| 8                     | 10-11-2022 10:40:20    | E195    | D         | 69,3      | 71,5       | 82,4     |
| 8                     | 10-11-2022 10:41:51    | E170    | D         | 68,5      | 71,1       | 80,6     |
| 8                     | 10-11-2022 10:43:23    | E195    | D         | 69,2      | 71,0       | 80,3     |
| 8                     | 10-11-2022 10:45:44    | E170    | D         | 69,4      | 72,4       | 81,7     |
| 8                     | 10-11-2022 10:53:46    | E190    | D         | 69,1      | 71,0       | 81,6     |
| 8                     | 10-11-2022 10:59:22    | E190    | D         | 69,9      | 72,8       | 81,7     |
| 8                     | 10-11-2022 11:05:54    | E75S    | D         | 73,9      | 76,6       | 86,4     |
| 8                     | 10-11-2022 11:14:21    | E195    | D         | 70,6      | 74,0       | 83,6     |
| 8                     | 10-11-2022 11:17:53    | E75S    | D         | 69,2      | 71,4       | 81,5     |
| 8                     | 10-11-2022 11:19:22    | A21N    | D         | 68,0      | 69,9       | 80,5     |
| 8                     | 10-11-2022 11:21:05    | B38M    | D         | 69,4      | 70,9       | 80,8     |
| 8                     | 10-11-2022 11:24:33    | B738    | D         | 71,7      | 74,0       | 84,5     |
| 8                     | 10-11-2022 12:18:12    | E195    | D         | 74,3      | 78,1       | 87,3     |
| 8                     | 10-11-2022 12:19:54    | B738    | D         | 69,4      | 72,7       | 85,1     |
| 8                     | 10-11-2022 12:56:54    | A321    | D         | 69,6      | 71,9       | 84,5     |
| 8                     | 10-11-2022 13:00:33    | E190    | D         | 71,9      | 76,4       | 87,0     |
| 8                     | 10-11-2022 13:07:17    | BCS3    | D         | 67,1      | 69,9       | 77,5     |
| 8                     | 10-11-2022 13:08:27    | E195    | D         | 70,4      | 74,6       | 83,8     |
| 8                     | 10-11-2022 13:13:14    | B77W    | D         | 72,5      | 76,4       | 87,4     |
| 8                     | 10-11-2022 13:24:48    | E195    | D         | 69,5      | 72,1       | 82,3     |
| 8                     | 10-11-2022 13:30:50    | E75S    | D         | 70,8      | 75,5       | 85,1     |
| 8                     | 10-11-2022 13:34:13    | E190    | D         | 71,3      | 74,5       | 84,1     |
| 8                     | 10-11-2022 13:38:10    | E190    | D         | 68,6      | 70,6       | 81,1     |
| 8                     | 10-11-2022 13:41:17    | E195    | D         | 69,0      | 72,5       | 82,1     |
| 8                     | 10-11-2022 13:44:43    | A321    | D         | 69,7      | 71,5       | 84,9     |
| 8                     | 10-11-2022 13:49:00    | A319    | D         | 70,9      | 75,3       | 85,7     |
| 8                     | 10-11-2022 13:52:40    | E195    | D         | 72,4      | 75,8       | 85,4     |
| 8                     | 10-11-2022 14:15:53    | E195    | D         | 68,2      | 72,2       | 81,5     |
| 8                     | 10-11-2022 14:28:14    | E170    | D         | 70,7      | 73,8       | 84,0     |

| Nr punktu pomiarowego | Data i godz. zdarzenia | Samolot | Operacja* | $L_{Aeq}$ | $L_{Amax}$ | $L_{AE}$ |
|-----------------------|------------------------|---------|-----------|-----------|------------|----------|
|                       |                        |         |           | [dB]      | [dB]       | [dB]     |
| 8                     | 10-11-2022 14:38:08    | E190    | D         | 73,5      | 77,6       | 87,3     |
| 8                     | 10-11-2022 14:39:37    | B38M    | D         | 68,2      | 71,1       | 81,0     |
| 8                     | 10-11-2022 14:43:00    | A21N    | D         | 68,9      | 70,7       | 82,5     |
| 8                     | 10-11-2022 14:49:59    | E75S    | D         | 69,5      | 72,7       | 83,1     |
| 8                     | 10-11-2022 14:53:09    | A21N    | D         | 67,9      | 69,4       | 80,4     |
| 8                     | 10-11-2022 14:55:29    | E75S    | D         | 69,8      | 71,8       | 82,9     |
| 8                     | 10-11-2022 14:59:20    | E75S    | D         | 72,1      | 75,4       | 86,1     |
| 8                     | 10-11-2022 15:00:57    | E75S    | D         | 68,7      | 72,1       | 82,3     |
| 8                     | 10-11-2022 15:04:05    | E75S    | D         | 69,4      | 71,9       | 82,4     |
| 8                     | 10-11-2022 15:05:50    | E170    | D         | 71,5      | 74,7       | 84,5     |
| 8                     | 10-11-2022 15:08:47    | E195    | D         | 72,8      | 78,1       | 86,8     |
| 8                     | 10-11-2022 15:21:02    | E170    | D         | 70,1      | 72,3       | 83,1     |
| 8                     | 10-11-2022 15:27:05    | A319    | D         | 67,3      | 69,5       | 80,1     |
| 8                     | 10-11-2022 15:35:13    | E75S    | D         | 72,3      | 73,8       | 85,1     |
| 8                     | 10-11-2022 15:37:14    | C27J    | D         | 68,1      | 70,1       | 79,6     |
| 8                     | 10-11-2022 15:41:46    | E190    | D         | 71,2      | 73,9       | 84,0     |
| 8                     | 10-11-2022 15:47:37    | E75S    | D         | 71,8      | 76,1       | 86,3     |
| 8                     | 10-11-2022 15:49:48    | B38M    | D         | 69,1      | 71,5       | 82,1     |
| 8                     | 10-11-2022 15:52:13    | E190    | D         | 69,8      | 71,7       | 82,6     |
| 8                     | 10-11-2022 15:59:03    | B788    | D         | 68,7      | 70,5       | 82,3     |
| 8                     | 10-11-2022 16:03:46    | E195    | D         | 70,3      | 72,6       | 83,1     |
| 8                     | 10-11-2022 16:08:58    | E195    | D         | 69,9      | 72,5       | 83,9     |
| 8                     | 10-11-2022 16:15:47    | E170    | D         | 67,3      | 68,5       | 79,1     |
| 8                     | 10-11-2022 16:23:23    | C295    | D         | 67,3      | 68,0       | 78,4     |
| 8                     | 10-11-2022 16:40:40    | E190    | D         | 73,9      | 77,7       | 87,1     |
| 8                     | 10-11-2022 16:49:18    | E195    | D         | 70,7      | 74,3       | 83,7     |
| 8                     | 10-11-2022 16:51:37    | E195    | D         | 70,6      | 72,9       | 83,1     |
| 8                     | 10-11-2022 16:56:59    | E195    | D         | 70,6      | 73,2       | 83,6     |
| 8                     | 10-11-2022 17:00:21    | E190    | D         | 71,5      | 73,9       | 84,3     |
| 8                     | 10-11-2022 17:02:03    | E75S    | D         | 70,0      | 71,6       | 82,8     |
| 8                     | 10-11-2022 17:06:14    | E195    | D         | 70,3      | 72,3       | 82,6     |
| 8                     | 10-11-2022 17:08:38    | E195    | D         | 70,5      | 73,8       | 83,0     |
| 8                     | 10-11-2022 17:10:14    | E190    | D         | 69,5      | 71,9       | 82,5     |
| 8                     | 10-11-2022 17:14:36    | E195    | D         | 70,1      | 72,4       | 83,1     |
| 8                     | 10-11-2022 17:22:01    | E75S    | D         | 72,8      | 75,9       | 86,6     |
| 8                     | 10-11-2022 17:29:17    | E195    | D         | 70,0      | 71,5       | 82,6     |
| 8                     | 10-11-2022 17:31:29    | E190    | D         | 71,4      | 73,9       | 83,9     |
| 8                     | 10-11-2022 17:41:02    | E195    | D         | 70,9      | 74,1       | 83,9     |
| 8                     | 10-11-2022 17:43:09    | A21N    | D         | 69,1      | 70,7       | 81,9     |
| 8                     | 10-11-2022 17:45:26    | B738    | D         | 69,5      | 72,7       | 83,6     |
| 8                     | 10-11-2022 17:46:59    | E75S    | D         | 70,1      | 72,3       | 83,7     |
| 8                     | 10-11-2022 17:49:00    | A320    | D         | 67,4      | 68,7       | 82,4     |
| 8                     | 10-11-2022 17:56:05    | A321    | D         | 68,7      | 70,6       | 82,1     |
| 8                     | 10-11-2022 18:06:22    | B738    | D         | 71,0      | 73,6       | 84,6     |
| 8                     | 10-11-2022 18:07:46    | E190    | D         | 71,6      | 74,1       | 84,2     |
| 8                     | 10-11-2022 18:09:20    | A321    | D         | 69,6      | 72,1       | 85,3     |
| 8                     | 10-11-2022 18:32:59    | A320    | D         | 67,4      | 68,9       | 82,3     |
| 8                     | 10-11-2022 18:42:39    | A321    | D         | 69,4      | 71,5       | 84,9     |
| 8                     | 10-11-2022 18:46:48    | CRJ9    | D         | 69,5      | 71,6       | 83,1     |
| 8                     | 10-11-2022 18:57:47    | CRJ9    | D         | 67,1      | 69,1       | 79,1     |
| 8                     | 10-11-2022 19:27:03    | E190    | D         | 72,1      | 74,9       | 87,5     |
| 8                     | 10-11-2022 19:31:23    | E75S    | D         | 70,4      | 72,8       | 83,9     |
| 8                     | 10-11-2022 19:42:51    | E190    | D         | 71,0      | 73,9       | 84,6     |
| 8                     | 10-11-2022 19:47:12    | A320    | D         | 67,7      | 69,2       | 80,9     |
| 8                     | 10-11-2022 19:58:20    | A319    | D         | 66,5      | 68,6       | 81,6     |
| 8                     | 10-11-2022 20:07:29    | E170    | D         | 70,2      | 72,2       | 83,4     |
| 8                     | 10-11-2022 20:08:58    | E195    | D         | 69,0      | 71,6       | 83,1     |

| Nr punktu pomiarowego | Data i godz. zdarzenia | Samolot | Operacja* | $L_{Aeq}$ | $L_{Amax}$ | $L_{AE}$ |
|-----------------------|------------------------|---------|-----------|-----------|------------|----------|
|                       |                        |         |           | [dB]      | [dB]       | [dB]     |
| 8                     | 10-11-2022 20:10:35    | E190    | D         | 72,8      | 76,6       | 86,0     |
| 8                     | 10-11-2022 20:17:53    | BCS3    | D         | 66,1      | 68,4       | 79,5     |
| 8                     | 10-11-2022 20:24:59    | E195    | D         | 69,7      | 71,5       | 82,5     |
| 8                     | 10-11-2022 20:26:26    | E75S    | D         | 69,6      | 71,4       | 82,8     |
| 8                     | 10-11-2022 20:27:55    | E170    | D         | 70,2      | 72,3       | 83,2     |
| 8                     | 10-11-2022 20:29:36    | E190    | D         | 71,3      | 73,8       | 84,5     |
| 8                     | 10-11-2022 20:34:44    | PRM1    | D         | 66,2      | 67,1       | 77,7     |
| 8                     | 10-11-2022 20:40:28    | E190    | D         | 69,1      | 72,8       | 83,1     |
| 8                     | 10-11-2022 20:41:46    | E170    | D         | 70,0      | 71,4       | 83,8     |
| 8                     | 10-11-2022 20:43:05    | E75S    | D         | 70,4      | 72,9       | 84,2     |
| 8                     | 10-11-2022 20:47:01    | E195    | D         | 71,4      | 74,5       | 84,7     |
| 8                     | 10-11-2022 20:48:20    | E170    | D         | 73,3      | 76,9       | 87,3     |
| 8                     | 10-11-2022 20:49:31    | B38M    | D         | 68,2      | 69,9       | 81,2     |
| 8                     | 10-11-2022 20:52:47    | E75S    | D         | 72,3      | 76,2       | 86,3     |
| 8                     | 10-11-2022 20:58:06    | E75S    | D         | 69,2      | 71,1       | 82,8     |
| 8                     | 10-11-2022 21:02:24    | E75S    | D         | 70,3      | 72,4       | 84,3     |
| 8                     | 10-11-2022 21:12:06    | B763    | D         | 68,9      | 70,7       | 84,1     |
| 8                     | 10-11-2022 21:17:12    | A21N    | D         | 69,2      | 71,9       | 82,8     |
| 8                     | 10-11-2022 21:24:45    | E195    | D         | 74,3      | 77,9       | 87,9     |
| 8                     | 10-11-2022 21:39:59    | B738    | D         | 70,5      | 72,9       | 86,3     |
| 8                     | 11-11-2022 06:05:18    | A21N    | D         | 69,2      | 72,5       | 81,3     |
| 8                     | 11-11-2022 06:11:25    | A21N    | D         | 68,3      | 69,8       | 80,4     |
| 8                     | 11-11-2022 06:14:11    | B737    | D         | 71,3      | 73,8       | 84,7     |
| 8                     | 11-11-2022 06:16:38    | A321    | D         | 70,1      | 71,6       | 84,9     |
| 8                     | 11-11-2022 06:19:38    | A319    | D         | 68,8      | 69,7       | 82,9     |
| 8                     | 11-11-2022 06:23:25    | A21N    | D         | 69,2      | 70,5       | 81,7     |
| 8                     | 11-11-2022 06:36:26    | A321    | D         | 69,9      | 71,6       | 84,8     |
| 8                     | 11-11-2022 06:53:00    | A320    | D         | 68,0      | 69,9       | 82,5     |
| 8                     | 11-11-2022 06:59:01    | A21N    | D         | 70,1      | 71,9       | 82,1     |
| 8                     | 11-11-2022 07:01:04    | E195    | D         | 69,1      | 71,1       | 83,9     |
| 8                     | 11-11-2022 07:12:52    | E195    | D         | 70,6      | 72,6       | 83,6     |
| 8                     | 11-11-2022 07:21:45    | E75S    | D         | 71,6      | 73,8       | 85,0     |
| 8                     | 11-11-2022 07:23:20    | E75S    | D         | 70,3      | 72,1       | 83,5     |
| 8                     | 11-11-2022 07:31:41    | E195    | D         | 70,5      | 72,3       | 83,2     |
| 8                     | 11-11-2022 07:36:23    | B738    | D         | 72,2      | 74,6       | 87,0     |
| 8                     | 11-11-2022 07:40:48    | B738    | D         | 69,8      | 72,6       | 83,8     |
| 8                     | 11-11-2022 07:42:19    | A21N    | D         | 69,4      | 71,4       | 82,7     |
| 8                     | 11-11-2022 07:44:06    | E190    | D         | 73,0      | 76,2       | 85,8     |
| 8                     | 11-11-2022 07:45:43    | E195    | D         | 70,7      | 73,3       | 82,5     |
| 8                     | 11-11-2022 07:47:15    | E190    | D         | 71,5      | 74,1       | 84,1     |
| 8                     | 11-11-2022 07:51:31    | E75S    | D         | 69,5      | 71,9       | 83,1     |
| 8                     | 11-11-2022 07:53:32    | E195    | D         | 69,8      | 71,6       | 83,1     |
| 8                     | 11-11-2022 07:56:39    | B38M    | D         | 68,9      | 70,6       | 80,9     |
| 8                     | 11-11-2022 07:58:48    | A319    | D         | 68,9      | 71,1       | 80,6     |
| 8                     | 11-11-2022 08:00:27    | E195    | D         | 69,5      | 71,7       | 82,5     |
| 8                     | 11-11-2022 08:02:07    | E170    | D         | 71,9      | 74,6       | 86,0     |
| 8                     | 11-11-2022 08:03:42    | E195    | D         | 70,5      | 72,1       | 83,0     |
| 8                     | 11-11-2022 08:08:28    | E190    | D         | 70,8      | 73,3       | 83,8     |
| 8                     | 11-11-2022 08:10:05    | B738    | D         | 71,8      | 75,1       | 85,8     |
| 8                     | 11-11-2022 08:12:58    | E195    | D         | 73,7      | 77,7       | 87,2     |
| 8                     | 11-11-2022 08:18:23    | E75S    | D         | 73,2      | 76,5       | 86,4     |
| 8                     | 11-11-2022 08:47:47    | E190    | D         | 67,9      | 70,2       | 79,4     |
| 8                     | 11-11-2022 08:58:55    | E190    | D         | 72,3      | 74,6       | 86,7     |
| 8                     | 11-11-2022 09:14:53    | B738    | D         | 71,6      | 74,0       | 86,8     |
| 8                     | 11-11-2022 09:23:42    | FA8X    | D         | 68,7      | 70,7       | 81,2     |
| 8                     | 11-11-2022 09:27:34    | E75S    | D         | 69,5      | 71,8       | 82,9     |
| 8                     | 11-11-2022 09:36:30    | B738    | D         | 71,3      | 73,8       | 84,5     |

| Nr punktu pomiarowego | Data i godz. zdarzenia | Samolot | Operacja* | $L_{Aeq}$ | $L_{Amax}$ | $L_{AE}$ |
|-----------------------|------------------------|---------|-----------|-----------|------------|----------|
|                       |                        |         |           | [dB]      | [dB]       | [dB]     |
| 8                     | 11-11-2022 09:38:32    | E75S    | D         | 69,2      | 73,2       | 82,7     |
| 8                     | 11-11-2022 09:50:00    | A20N    | D         | 68,9      | 70,9       | 80,6     |
| 8                     | 11-11-2022 09:55:02    | E75S    | D         | 69,2      | 71,3       | 82,2     |
| 8                     | 11-11-2022 10:16:42    | CRJ9    | D         | 67,1      | 68,0       | 78,3     |
| 8                     | 11-11-2022 10:20:28    | E195    | D         | 69,2      | 70,3       | 82,0     |
| 8                     | 11-11-2022 10:24:29    | E195    | D         | 68,9      | 71,7       | 81,6     |
| 8                     | 11-11-2022 10:26:15    | E170    | D         | 68,2      | 70,2       | 81,0     |
| 8                     | 11-11-2022 10:36:54    | DH8D    | D         | 67,7      | 69,2       | 76,7     |
| 8                     | 11-11-2022 10:42:28    | E195    | D         | 70,5      | 73,9       | 83,2     |
| 8                     | 11-11-2022 10:44:01    | E190    | D         | 69,8      | 73,3       | 82,6     |
| 8                     | 11-11-2022 10:46:54    | E170    | D         | 70,4      | 73,7       | 83,6     |
| 8                     | 11-11-2022 10:52:06    | E195    | D         | 70,8      | 74,8       | 84,4     |
| 8                     | 11-11-2022 10:53:59    | E75S    | D         | 71,8      | 75,0       | 84,8     |
| 8                     | 11-11-2022 10:55:20    | E75S    | D         | 69,2      | 71,5       | 83,0     |
| 8                     | 11-11-2022 10:59:05    | E190    | D         | 71,9      | 76,0       | 84,5     |
| 8                     | 11-11-2022 11:00:37    | E195    | D         | 70,7      | 73,7       | 83,3     |
| 8                     | 11-11-2022 11:07:33    | B38M    | D         | 69,5      | 71,7       | 81,3     |
| 8                     | 11-11-2022 11:09:48    | A21N    | D         | 67,7      | 70,4       | 81,4     |
| 8                     | 11-11-2022 11:21:21    | E190    | D         | 72,2      | 75,8       | 84,7     |
| 8                     | 11-11-2022 11:29:25    | E190    | D         | 70,3      | 73,1       | 82,6     |
| 8                     | 11-11-2022 11:35:31    | E75S    | D         | 70,7      | 73,0       | 82,4     |
| 8                     | 11-11-2022 11:59:21    | A321    | D         | 69,3      | 72,2       | 85,0     |
| 8                     | 11-11-2022 12:01:16    | E75S    | D         | 70,2      | 72,6       | 84,0     |
| 8                     | 11-11-2022 12:16:20    | E195    | D         | 72,6      | 77,0       | 86,4     |
| 8                     | 11-11-2022 12:24:02    | B738    | D         | 70,8      | 75,1       | 83,3     |
| 8                     | 11-11-2022 12:26:39    | A321    | D         | 68,3      | 72,4       | 83,5     |
| 8                     | 11-11-2022 12:47:42    | A321    | D         | 70,2      | 73,3       | 85,9     |
| 8                     | 11-11-2022 13:04:38    | E190    | D         | 71,6      | 77,1       | 86,5     |
| 8                     | 11-11-2022 13:11:10    | B77W    | D         | 71,3      | 73,9       | 86,0     |
| 8                     | 11-11-2022 13:18:31    | A320    | D         | 68,9      | 72,0       | 82,3     |
| 8                     | 11-11-2022 13:24:53    | E195    | D         | 69,7      | 72,5       | 82,9     |
| 8                     | 11-11-2022 13:26:37    | A21N    | D         | 68,1      | 70,2       | 80,1     |
| 8                     | 11-11-2022 13:30:51    | B738    | D         | 71,4      | 75,0       | 85,2     |
| 8                     | 11-11-2022 13:33:05    | E195    | D         | 69,0      | 71,5       | 82,2     |
| 8                     | 11-11-2022 13:35:20    | A21N    | D         | 83,3      | 90,7       | 99,5     |
| 8                     | 11-11-2022 13:37:38    | E170    | D         | 73,5      | 76,9       | 86,2     |
| 8                     | 11-11-2022 13:39:57    | E75S    | D         | 68,8      | 71,6       | 83,0     |
| 8                     | 11-11-2022 13:41:27    | E190    | D         | 69,9      | 72,3       | 82,7     |
| 8                     | 11-11-2022 13:44:33    | E195    | D         | 68,1      | 71,4       | 81,5     |
| 8                     | 11-11-2022 13:49:56    | A319    | D         | 68,1      | 69,2       | 78,5     |
| 8                     | 11-11-2022 13:52:15    | B38M    | D         | 68,7      | 71,9       | 81,7     |
| 8                     | 11-11-2022 14:06:10    | E170    | D         | 68,1      | 71,3       | 81,3     |
| 8                     | 11-11-2022 14:23:29    | E190    | D         | 72,7      | 75,6       | 85,2     |
| 8                     | 11-11-2022 14:31:19    | B38M    | D         | 69,2      | 72,0       | 81,5     |
| 8                     | 11-11-2022 14:44:54    | A21N    | D         | 68,3      | 69,5       | 77,3     |
| 8                     | 11-11-2022 14:47:07    | B38M    | D         | 69,4      | 72,3       | 82,0     |
| 8                     | 11-11-2022 14:48:41    | E75S    | D         | 68,4      | 70,3       | 81,0     |
| 8                     | 11-11-2022 14:56:59    | B738    | D         | 70,6      | 74,2       | 83,1     |
| 8                     | 11-11-2022 15:00:51    | E75S    | D         | 70,0      | 74,0       | 82,1     |
| 8                     | 11-11-2022 15:07:58    | E190    | D         | 68,8      | 71,4       | 80,9     |
| 8                     | 11-11-2022 15:12:30    | E75S    | D         | 69,5      | 72,1       | 80,6     |
| 8                     | 11-11-2022 15:18:17    | E75S    | D         | 69,8      | 71,5       | 79,3     |
| 8                     | 11-11-2022 15:30:40    | E170    | D         | 70,6      | 74,8       | 83,2     |
| 8                     | 11-11-2022 15:50:09    | B38M    | D         | 67,9      | 70,3       | 80,6     |
| 8                     | 11-11-2022 15:52:40    | E195    | D         | 70,8      | 72,6       | 83,1     |
| 8                     | 11-11-2022 15:54:21    | E190    | D         | 69,7      | 72,5       | 81,5     |
| 8                     | 11-11-2022 16:00:14    | B788    | D         | 67,5      | 70,9       | 80,5     |

| Nr punktu pomiarowego | Data i godz. zdarzenia | Samolot | Operacja* | $L_{Aeq}$ | $L_{Amax}$ | $L_{AE}$ |
|-----------------------|------------------------|---------|-----------|-----------|------------|----------|
|                       |                        |         |           | [dB]      | [dB]       | [dB]     |
| 8                     | 11-11-2022 16:03:21    | E75S    | D         | 70,1      | 73,0       | 82,8     |
| 8                     | 11-11-2022 16:05:54    | E195    | D         | 70,4      | 72,4       | 83,0     |
| 8                     | 11-11-2022 16:14:03    | A21N    | D         | 69,0      | 71,3       | 82,0     |
| 8                     | 11-11-2022 16:21:00    | A321    | D         | 69,5      | 72,3       | 83,1     |
| 8                     | 11-11-2022 16:33:48    | E195    | D         | 70,3      | 72,1       | 83,1     |
| 8                     | 11-11-2022 16:38:46    | E195    | D         | 69,7      | 72,6       | 82,9     |
| 8                     | 11-11-2022 16:42:39    | E195    | D         | 73,8      | 78,4       | 87,4     |
| 8                     | 11-11-2022 16:46:51    | E195    | D         | 70,6      | 73,1       | 82,9     |
| 8                     | 11-11-2022 16:49:04    | E195    | D         | 72,0      | 74,5       | 84,3     |
| 8                     | 11-11-2022 16:51:58    | E75S    | D         | 70,5      | 73,4       | 83,3     |
| 8                     | 11-11-2022 16:55:30    | E195    | D         | 70,5      | 74,5       | 84,0     |
| 8                     | 11-11-2022 16:57:33    | E75S    | D         | 70,1      | 72,6       | 83,1     |
| 8                     | 11-11-2022 16:59:42    | E190    | D         | 70,1      | 73,7       | 82,9     |
| 8                     | 11-11-2022 17:06:07    | E190    | D         | 71,1      | 74,2       | 84,6     |
| 8                     | 11-11-2022 17:10:47    | E195    | D         | 74,3      | 77,9       | 87,5     |
| 8                     | 11-11-2022 17:12:11    | E75S    | D         | 69,6      | 71,8       | 81,9     |
| 8                     | 11-11-2022 17:16:15    | E190    | D         | 71,1      | 74,6       | 84,5     |
| 8                     | 11-11-2022 17:21:48    | E195    | D         | 69,4      | 73,4       | 82,6     |
| 8                     | 11-11-2022 17:23:56    | E190    | D         | 71,0      | 73,7       | 83,5     |
| 8                     | 11-11-2022 17:25:43    | B38M    | D         | 68,1      | 70,1       | 81,3     |
| 8                     | 11-11-2022 17:27:20    | E195    | D         | 70,0      | 72,9       | 82,1     |
| 8                     | 11-11-2022 17:29:15    | B738    | D         | 70,1      | 72,5       | 81,9     |
| 8                     | 11-11-2022 17:30:16    | E170    | D         | 83,5      | 91,7       | 100,8    |
| 8                     | 11-11-2022 17:33:40    | A319    | D         | 67,7      | 69,5       | 81,8     |
| 8                     | 11-11-2022 17:35:00    | E170    | D         | 73,0      | 75,1       | 86,4     |
| 8                     | 11-11-2022 17:37:18    | A321    | D         | 70,3      | 72,6       | 85,1     |
| 8                     | 11-11-2022 17:39:09    | E75S    | D         | 70,4      | 74,1       | 83,8     |
| 8                     | 11-11-2022 17:41:06    | A320    | D         | 67,3      | 68,5       | 76,4     |
| 8                     | 11-11-2022 17:57:34    | A321    | D         | 69,2      | 71,3       | 83,0     |
| 8                     | 11-11-2022 18:01:12    | A321    | D         | 69,0      | 71,7       | 83,5     |
| 8                     | 11-11-2022 18:02:50    | E190    | D         | 69,2      | 71,5       | 81,2     |
| 8                     | 11-11-2022 18:29:04    | E75S    | D         | 70,1      | 73,4       | 83,1     |
| 8                     | 11-11-2022 18:48:20    | A21N    | D         | 71,7      | 74,6       | 85,1     |
| 8                     | 11-11-2022 18:56:56    | A319    | D         | 67,8      | 70,1       | 79,5     |
| 8                     | 11-11-2022 19:27:41    | E190    | D         | 70,5      | 74,7       | 85,5     |
| 8                     | 11-11-2022 19:30:33    | E75S    | D         | 70,4      | 73,1       | 83,6     |
| 8                     | 11-11-2022 19:32:40    | E195    | D         | 66,2      | 67,9       | 78,3     |
| 8                     | 11-11-2022 19:41:07    | E190    | D         | 70,3      | 73,1       | 82,9     |
| 8                     | 11-11-2022 19:52:06    | A333    | D         | 73,7      | 78,4       | 89,2     |
| 8                     | 11-11-2022 19:59:31    | A320    | D         | 70,0      | 72,3       | 83,2     |
| 8                     | 11-11-2022 20:04:30    | E170    | D         | 68,5      | 70,6       | 80,8     |
| 8                     | 11-11-2022 20:10:37    | E195    | D         | 70,2      | 73,2       | 82,5     |
| 8                     | 11-11-2022 20:16:10    | E170    | D         | 66,6      | 67,8       | 77,7     |
| 8                     | 11-11-2022 20:17:54    | E195    | D         | 69,6      | 73,3       | 82,0     |
| 8                     | 11-11-2022 20:22:12    | E75S    | D         | 67,7      | 69,7       | 79,7     |
| 8                     | 11-11-2022 20:25:18    | E190    | D         | 71,3      | 72,6       | 82,7     |
| 8                     | 11-11-2022 20:29:50    | E75S    | D         | 67,0      | 70,0       | 80,2     |
| 8                     | 11-11-2022 20:34:14    | E170    | D         | 68,2      | 70,0       | 80,3     |
| 8                     | 11-11-2022 20:45:14    | E75S    | D         | 68,4      | 70,4       | 80,4     |
| 8                     | 11-11-2022 20:46:30    | E75S    | D         | 69,8      | 72,8       | 83,2     |
| 8                     | 11-11-2022 20:51:48    | E195    | D         | 71,3      | 74,3       | 84,1     |
| 8                     | 12-11-2022 06:03:13    | A319    | D         | 68,7      | 70,8       | 80,8     |
| 8                     | 12-11-2022 06:07:19    | A321    | D         | 67,5      | 69,1       | 80,9     |
| 8                     | 12-11-2022 06:11:57    | B737    | D         | 70,1      | 71,9       | 82,2     |
| 8                     | 12-11-2022 07:00:00    | B38M    | D         | 67,7      | 68,8       | 76,7     |
| 8                     | 12-11-2022 07:09:11    | B738    | D         | 68,2      | 69,4       | 79,9     |
| 8                     | 12-11-2022 07:12:14    | E195    | D         | 67,1      | 69,0       | 76,1     |

| Nr punktu pomiarowego | Data i godz. zdarzenia | Samolot | Operacja* | $L_{Aeq}$ | $L_{Amax}$ | $L_{AE}$ |
|-----------------------|------------------------|---------|-----------|-----------|------------|----------|
|                       |                        |         |           | [dB]      | [dB]       | [dB]     |
| 8                     | 12-11-2022 07:48:48    | B738    | D         | 69,4      | 70,9       | 80,8     |
| 8                     | 12-11-2022 08:03:24    | E190    | D         | 67,3      | 68,8       | 77,7     |
| 8                     | 12-11-2022 08:07:04    | B738    | D         | 69,5      | 71,7       | 79,9     |
| 8                     | 12-11-2022 08:11:58    | E195    | D         | 70,5      | 72,1       | 81,3     |
| 8                     | 12-11-2022 08:14:30    | E190    | D         | 70,0      | 71,4       | 80,0     |
| 8                     | 12-11-2022 08:49:58    | B738    | D         | 68,8      | 71,4       | 82,1     |
| 8                     | 12-11-2022 08:52:34    | E190    | D         | 69,1      | 71,4       | 80,9     |
| 8                     | 12-11-2022 09:14:10    | B738    | D         | 67,6      | 69,4       | 79,1     |
| 8                     | 12-11-2022 09:29:14    | B738    | D         | 67,1      | 68,5       | 76,6     |
| 8                     | 12-11-2022 10:55:59    | E170    | D         | 71,1      | 73,7       | 81,9     |
| 8                     | 12-11-2022 11:13:05    | E75S    | D         | 69,1      | 70,4       | 79,5     |
| 8                     | 12-11-2022 12:02:57    | E190    | D         | 72,0      | 74,7       | 82,8     |
| 8                     | 12-11-2022 12:06:07    | B38M    | D         | 67,2      | 69,1       | 76,8     |
| 8                     | 12-11-2022 13:08:01    | B738    | D         | 69,7      | 71,4       | 81,7     |
| 8                     | 12-11-2022 13:12:25    | E195    | D         | 68,6      | 70,2       | 80,7     |
| 8                     | 12-11-2022 13:20:42    | B77W    | D         | 70,4      | 71,9       | 83,2     |
| 8                     | 12-11-2022 13:25:40    | E75S    | D         | 70,1      | 71,3       | 81,5     |
| 8                     | 12-11-2022 13:28:58    | E75S    | D         | 67,4      | 68,2       | 76,9     |
| 8                     | 12-11-2022 13:36:07    | E75S    | D         | 70,9      | 73,4       | 83,2     |
| 8                     | 12-11-2022 13:39:20    | E170    | D         | 69,4      | 71,0       | 81,2     |
| 8                     | 12-11-2022 13:42:08    | B738    | D         | 69,5      | 72,5       | 83,5     |
| 8                     | 12-11-2022 13:48:09    | E75S    | D         | 69,1      | 70,1       | 80,2     |
| 8                     | 12-11-2022 14:18:03    | E190    | D         | 71,5      | 74,1       | 84,7     |
| 8                     | 12-11-2022 14:24:36    | B738    | D         | 70,4      | 72,8       | 83,8     |
| 8                     | 12-11-2022 14:29:05    | B38M    | D         | 68,4      | 69,9       | 80,7     |
| 8                     | 12-11-2022 14:40:13    | A21N    | D         | 66,6      | 67,6       | 76,6     |
| 8                     | 12-11-2022 14:58:24    | C27J    | D         | 68,4      | 68,9       | 77,5     |
| 8                     | 12-11-2022 15:02:09    | E195    | D         | 70,8      | 73,5       | 81,9     |
| 8                     | 12-11-2022 15:05:05    | E75S    | D         | 72,9      | 76,0       | 84,7     |
| 8                     | 12-11-2022 15:06:24    | E75S    | D         | 67,9      | 69,1       | 79,4     |
| 8                     | 12-11-2022 15:07:59    | E195    | D         | 69,9      | 72,0       | 81,7     |
| 8                     | 12-11-2022 15:11:40    | E75S    | D         | 69,5      | 70,5       | 81,0     |
| 8                     | 12-11-2022 15:19:20    | B738    | D         | 69,4      | 71,2       | 82,2     |
| 8                     | 12-11-2022 15:21:33    | E195    | D         | 69,2      | 70,6       | 80,0     |
| 8                     | 12-11-2022 15:23:58    | E190    | D         | 68,9      | 70,5       | 80,4     |
| 8                     | 12-11-2022 15:26:54    | E190    | D         | 71,3      | 73,7       | 83,4     |
| 8                     | 12-11-2022 15:40:20    | E195    | D         | 68,7      | 69,9       | 80,5     |
| 8                     | 12-11-2022 15:49:40    | E195    | D         | 68,4      | 70,7       | 79,9     |
| 8                     | 12-11-2022 15:51:38    | E195    | D         | 68,9      | 70,3       | 80,0     |
| 8                     | 12-11-2022 16:21:20    | E195    | D         | 69,8      | 71,7       | 80,5     |
| 8                     | 12-11-2022 16:40:23    | E195    | D         | 69,4      | 70,8       | 81,5     |
| 8                     | 12-11-2022 16:41:53    | E190    | D         | 71,2      | 73,4       | 82,6     |
| 8                     | 12-11-2022 16:51:04    | E75S    | D         | 68,4      | 69,9       | 79,2     |
| 8                     | 12-11-2022 16:52:41    | E75S    | D         | 68,7      | 70,0       | 79,5     |
| 8                     | 12-11-2022 16:58:11    | E75S    | D         | 68,7      | 69,9       | 79,8     |
| 8                     | 12-11-2022 17:00:30    | E190    | D         | 71,0      | 73,7       | 82,2     |
| 8                     | 12-11-2022 17:12:15    | E190    | D         | 74,8      | 77,7       | 86,3     |
| 8                     | 12-11-2022 17:15:06    | E190    | D         | 68,9      | 71,0       | 79,3     |
| 8                     | 12-11-2022 17:16:30    | E195    | D         | 68,0      | 69,2       | 79,8     |
| 8                     | 12-11-2022 17:20:39    | E75S    | D         | 68,5      | 70,6       | 79,6     |
| 8                     | 12-11-2022 17:39:29    | B38M    | D         | 67,6      | 69,0       | 78,4     |
| 8                     | 12-11-2022 17:51:46    | E75S    | D         | 67,5      | 67,9       | 76,5     |
| 8                     | 12-11-2022 17:55:44    | B738    | D         | 71,4      | 72,9       | 82,9     |
| 8                     | 12-11-2022 19:40:18    | E190    | D         | 67,5      | 68,9       | 79,5     |
| 8                     | 12-11-2022 20:02:46    | B738    | D         | 68,7      | 70,7       | 81,9     |
| 8                     | 12-11-2022 20:04:48    | E75S    | D         | 69,4      | 70,8       | 80,5     |
| 8                     | 12-11-2022 20:06:29    | E190    | D         | 69,0      | 71,5       | 80,5     |

| Nr punktu pomiarowego | Data i godz. zdarzenia | Samolot | Operacja* | $L_{Aeq}$ | $L_{Amax}$ | $L_{AE}$ |
|-----------------------|------------------------|---------|-----------|-----------|------------|----------|
|                       |                        |         |           | [dB]      | [dB]       | [dB]     |
| 8                     | 12-11-2022 20:19:45    | E75S    | D         | 69,5      | 71,2       | 81,5     |
| 8                     | 12-11-2022 20:22:22    | A320    | D         | 68,8      | 70         | 81,6     |
| 8                     | 12-11-2022 21:12:55    | A21N    | D         | 67,4      | 68,7       | 79,2     |
| 8                     | 12-11-2022 21:47:54    | E75S    | D         | 74,5      | 78,2       | 86,8     |
| 8                     | 13-11-2022 06:07:11    | A21N    | D         | 67,6      | 69,0       | 77,6     |
| 8                     | 13-11-2022 06:09:11    | B738    | D         | 67,5      | 68,4       | 80,6     |
| 8                     | 13-11-2022 06:10:54    | B38M    | D         | 67,4      | 68,8       | 78,6     |
| 8                     | 13-11-2022 06:12:32    | B737    | D         | 70,1      | 71,5       | 81,9     |
| 8                     | 13-11-2022 06:17:26    | A21N    | D         | 68,1      | 69,8       | 80,4     |
| 8                     | 13-11-2022 06:21:43    | A319    | D         | 69,0      | 70,6       | 82,4     |
| 8                     | 13-11-2022 06:27:09    | A321    | D         | 70,6      | 72,1       | 84,4     |
| 8                     | 13-11-2022 06:37:35    | A21N    | D         | 70,5      | 73,4       | 82,8     |
| 8                     | 13-11-2022 06:41:59    | A21N    | D         | 69,2      | 70,4       | 81,5     |
| 8                     | 13-11-2022 06:45:25    | A321    | D         | 70,9      | 71,9       | 84,7     |
| 8                     | 13-11-2022 06:50:54    | A321    | D         | 70,3      | 71,4       | 83,5     |
| 8                     | 13-11-2022 06:53:02    | A319    | D         | 68,1      | 69,3       | 80,9     |
| 8                     | 13-11-2022 07:16:28    | A21N    | D         | 68,1      | 69,2       | 80,1     |
| 8                     | 13-11-2022 07:22:00    | E75S    | D         | 68,8      | 70,7       | 80,5     |
| 8                     | 13-11-2022 07:28:26    | E75S    | D         | 69,1      | 69,9       | 80,6     |
| 8                     | 13-11-2022 07:30:13    | E75S    | D         | 69,2      | 70,9       | 81,2     |
| 8                     | 13-11-2022 07:33:07    | E75S    | D         | 69,3      | 70,5       | 81,4     |
| 8                     | 13-11-2022 07:36:07    | E170    | D         | 67,9      | 68,7       | 78,3     |
| 8                     | 13-11-2022 07:42:34    | B738    | D         | 70,8      | 72,5       | 82,9     |
| 8                     | 13-11-2022 07:44:31    | E195    | D         | 69,2      | 71,0       | 81,2     |
| 8                     | 13-11-2022 07:46:34    | A320    | D         | 68,7      | 70,0       | 80,1     |
| 8                     | 13-11-2022 07:48:09    | E75S    | D         | 70,5      | 72,3       | 82,6     |
| 8                     | 13-11-2022 07:58:01    | E190    | D         | 69,3      | 71,2       | 81,1     |
| 8                     | 13-11-2022 08:00:07    | E195    | D         | 70,6      | 72,3       | 82,0     |
| 8                     | 13-11-2022 08:07:36    | E195    | D         | 70,0      | 72,5       | 81,8     |
| 8                     | 13-11-2022 08:09:03    | B738    | D         | 72,6      | 74,9       | 84,9     |
| 8                     | 13-11-2022 08:12:16    | E170    | D         | 76,3      | 79,5       | 88,1     |
| 8                     | 13-11-2022 08:13:40    | E75S    | D         | 74,0      | 79,1       | 87,2     |
| 8                     | 13-11-2022 08:15:36    | E195    | D         | 68,9      | 70,5       | 80,9     |
| 8                     | 13-11-2022 08:17:18    | E195    | D         | 68,3      | 69,1       | 79,1     |
| 8                     | 13-11-2022 08:20:09    | E190    | D         | 75,2      | 78,1       | 87,2     |
| 8                     | 13-11-2022 09:04:57    | E190    | D         | 71,0      | 74,1       | 83,3     |
| 8                     | 13-11-2022 09:16:11    | B738    | D         | 69,1      | 70,3       | 80,9     |
| 8                     | 13-11-2022 09:31:13    | B738    | D         | 71,0      | 72,2       | 83,5     |
| 8                     | 13-11-2022 10:10:27    | B738    | D         | 72,1      | 74,3       | 84,4     |
| 8                     | 13-11-2022 10:20:22    | E190    | D         | 71,1      | 72,9       | 81,9     |
| 8                     | 13-11-2022 10:28:48    | E170    | D         | 69,1      | 70,1       | 80,6     |
| 8                     | 13-11-2022 10:37:58    | E75S    | D         | 68,3      | 70,5       | 79,4     |
| 8                     | 13-11-2022 10:41:00    | E190    | D         | 69,3      | 70,9       | 80,1     |
| 8                     | 13-11-2022 10:42:37    | E170    | D         | 69,2      | 70,5       | 80,7     |
| 8                     | 13-11-2022 10:47:49    | E170    | D         | 74,7      | 78,6       | 86,8     |
| 8                     | 13-11-2022 10:52:04    | E190    | D         | 73,3      | 76,3       | 84,8     |
| 8                     | 13-11-2022 10:53:49    | E195    | D         | 70,5      | 73,2       | 80,5     |
| 8                     | 13-11-2022 10:55:01    | E75S    | D         | 69,6      | 70,5       | 81,3     |
| 8                     | 13-11-2022 10:56:29    | E75S    | D         | 68,9      | 70,8       | 81,2     |
| 8                     | 13-11-2022 11:22:41    | A21N    | D         | 68,5      | 70,2       | 79,7     |
| 8                     | 13-11-2022 11:25:52    | E195    | D         | 70,9      | 73,1       | 81,7     |
| 8                     | 13-11-2022 11:33:54    | E75S    | D         | 69,6      | 71,1       | 81       |
| 8                     | 13-11-2022 11:36:33    | E195    | D         | 70,5      | 72,4       | 82,3     |
| 8                     | 13-11-2022 11:48:22    | E75S    | D         | 68,4      | 69,3       | 78,8     |
| 8                     | 13-11-2022 12:14:03    | E195    | D         | 74,9      | 78,0       | 86,7     |
| 8                     | 13-11-2022 12:45:05    | A321    | D         | 73,3      | 75,7       | 87,1     |
| 8                     | 13-11-2022 12:52:48    | A321    | D         | 69,6      | 71,3       | 83,0     |

| Nr punktu pomiarowego | Data i godz. zdarzenia | Samolot | Operacja* | $L_{Aeq}$ | $L_{Amax}$ | $L_{AE}$ |
|-----------------------|------------------------|---------|-----------|-----------|------------|----------|
|                       |                        |         |           | [dB]      | [dB]       | [dB]     |
| 8                     | 13-11-2022 13:00:50    | CL35    | D         | 68,3      | 71,1       | 80,4     |
| 8                     | 13-11-2022 13:03:25    | E190    | D         | 75,2      | 78,4       | 88,4     |
| 8                     | 13-11-2022 13:06:25    | A319    | D         | 68,0      | 69,1       | 79,7     |
| 8                     | 13-11-2022 13:15:26    | E195    | D         | 70,7      | 72,9       | 83,0     |
| 8                     | 13-11-2022 13:21:57    | A21N    | D         | 69,2      | 71,4       | 80,7     |
| 8                     | 13-11-2022 13:25:59    | E195    | D         | 70,3      | 72,4       | 82,1     |
| 8                     | 13-11-2022 13:30:58    | E75S    | D         | 70,5      | 72,7       | 82,3     |
| 8                     | 13-11-2022 13:32:38    | E195    | D         | 70,4      | 72,7       | 82,5     |
| 8                     | 13-11-2022 13:34:05    | E195    | D         | 71,2      | 74,0       | 82,7     |
| 8                     | 13-11-2022 13:35:29    | E75S    | D         | 74,1      | 77,3       | 86,4     |
| 8                     | 13-11-2022 13:41:29    | B77W    | D         | 73,4      | 75,9       | 86,7     |
| 8                     | 13-11-2022 13:45:37    | E190    | D         | 71,8      | 74,8       | 83,8     |
| 8                     | 13-11-2022 13:55:11    | A319    | D         | 71,2      | 72,7       | 83,5     |
| 8                     | 13-11-2022 14:02:52    | DH8D    | D         | 68,9      | 71,1       | 78,5     |
| 8                     | 13-11-2022 14:05:11    | A21N    | D         | 67,5      | 68,8       | 77,9     |
| 8                     | 13-11-2022 14:06:55    | E190    | D         | 71,7      | 73,8       | 82,5     |
| 8                     | 13-11-2022 14:22:33    | B38M    | D         | 69,2      | 70,3       | 80,7     |
| 8                     | 13-11-2022 14:41:02    | E190    | D         | 75,0      | 78,5       | 86,7     |
| 8                     | 13-11-2022 14:48:18    | E75S    | D         | 71,2      | 72,7       | 82,0     |
| 8                     | 13-11-2022 14:50:08    | A21N    | D         | 69,6      | 71,0       | 81,3     |
| 8                     | 13-11-2022 14:51:56    | E190    | D         | 71,3      | 73,8       | 83,8     |
| 8                     | 13-11-2022 15:01:18    | A21N    | D         | 70,5      | 71,9       | 82,3     |
| 8                     | 13-11-2022 15:03:43    | E195    | D         | 69,8      | 71,6       | 81,6     |
| 8                     | 13-11-2022 15:13:04    | E75S    | D         | 74,5      | 76,6       | 86,5     |
| 8                     | 13-11-2022 15:26:11    | E170    | D         | 70,3      | 72,3       | 82,1     |
| 8                     | 13-11-2022 15:29:07    | E195    | D         | 70,5      | 72,9       | 81,3     |
| 8                     | 13-11-2022 15:44:27    | E170    | D         | 73,6      | 76,6       | 85,4     |
| 8                     | 13-11-2022 15:50:28    | E75S    | D         | 70,5      | 72,1       | 83,1     |
| 8                     | 13-11-2022 15:54:25    | E195    | D         | 71,4      | 74         | 82,5     |
| 8                     | 13-11-2022 15:56:11    | B788    | D         | 70,4      | 72,1       | 82,9     |
| 8                     | 13-11-2022 15:59:56    | B38M    | D         | 68,4      | 69,7       | 80,5     |
| 8                     | 13-11-2022 16:02:10    | A321    | D         | 69,4      | 70,9       | 82,2     |
| 8                     | 13-11-2022 16:07:59    | E195    | D         | 71,6      | 74,1       | 83,4     |
| 8                     | 13-11-2022 16:16:51    | A321    | D         | 71,1      | 72,9       | 84,3     |
| 8                     | 13-11-2022 16:23:49    | E195    | D         | 70,6      | 72,8       | 82,3     |
| 8                     | 13-11-2022 16:37:55    | B38M    | D         | 70,2      | 72,2       | 81,6     |
| 8                     | 13-11-2022 16:41:45    | B738    | D         | 68,3      | 70,1       | 80,9     |
| 8                     | 13-11-2022 16:45:22    | E195    | D         | 69,7      | 71         | 80,8     |
| 8                     | 13-11-2022 16:47:51    | E190    | D         | 71,0      | 72,9       | 82,7     |
| 8                     | 13-11-2022 16:49:55    | E75S    | D         | 68,9      | 71,1       | 80,9     |
| 8                     | 13-11-2022 16:51:30    | B38M    | D         | 67,0      | 68,5       | 77,5     |
| 8                     | 13-11-2022 17:06:01    | C295    | A         | 70,1      | 71,9       | 79,1     |
| 8                     | 13-11-2022 17:11:52    | A21N    | A         | 70,9      | 73,0       | 80,9     |
| 8                     | 13-11-2022 17:21:51    | E195    | A         | 72,8      | 75,6       | 84,3     |
| 8                     | 13-11-2022 17:50:47    | A321    | A         | 72,2      | 74,9       | 82,9     |
| 8                     | 13-11-2022 18:02:50    | CRJ9    | A         | 69,4      | 71,5       | 80,5     |
| 8                     | 13-11-2022 18:04:48    | C295    | A         | 69,4      | 70,4       | 78,4     |
| 8                     | 13-11-2022 18:07:13    | E190    | A         | 69,5      | 71,4       | 80,7     |
| 8                     | 13-11-2022 18:09:21    | C295    | A         | 69,5      | 71,4       | 79,1     |
| 8                     | 13-11-2022 18:15:15    | E190    | A         | 70,5      | 72,8       | 81,6     |
| 8                     | 13-11-2022 18:25:34    | B788    | A         | 72,1      | 75,3       | 84,7     |
| 8                     | 13-11-2022 18:27:57    | E195    | A         | 71,9      | 74,1       | 83,4     |
| 8                     | 13-11-2022 18:30:51    | A20N    | A         | 69,5      | 72,0       | 81,5     |
| 8                     | 13-11-2022 18:34:13    | E170    | A         | 70,7      | 72,8       | 81,5     |
| 8                     | 13-11-2022 18:36:04    | E75S    | A         | 70,5      | 73,8       | 82,0     |
| 8                     | 13-11-2022 18:39:37    | E75S    | A         | 70,7      | 73,9       | 81,8     |
| 8                     | 13-11-2022 18:44:53    | E190    | A         | 71,8      | 74,9       | 83,8     |

| Nr punktu pomiarowego | Data i godz. zdarzenia | Samolot | Operacja* | $L_{Aeq}$ | $L_{Amax}$ | $L_{AE}$ |
|-----------------------|------------------------|---------|-----------|-----------|------------|----------|
|                       |                        |         |           | [dB]      | [dB]       | [dB]     |
| 8                     | 13-11-2022 18:47:32    | B38M    | A         | 72,3      | 76,8       | 84,3     |
| 8                     | 13-11-2022 18:49:51    | A20N    | A         | 70,6      | 73,2       | 81,4     |
| 8                     | 13-11-2022 18:51:44    | E195    | A         | 70,1      | 73,3       | 82,1     |
| 8                     | 13-11-2022 18:53:29    | CRJ9    | A         | 69,7      | 72,5       | 81,2     |
| 8                     | 13-11-2022 18:55:25    | E75S    | A         | 70,1      | 72,7       | 81,6     |
| 8                     | 13-11-2022 18:57:18    | E75S    | A         | 71,9      | 74,5       | 82,6     |
| 8                     | 13-11-2022 18:59:18    | E195    | A         | 71,6      | 74,5       | 83,7     |
| 8                     | 13-11-2022 19:07:14    | E195    | A         | 71,6      | 74,3       | 83,0     |
| 8                     | 13-11-2022 19:09:22    | E75S    | A         | 71,3      | 74,2       | 82,5     |
| 8                     | 13-11-2022 19:11:15    | B38M    | A         | 70,6      | 72,8       | 81,4     |
| 8                     | 13-11-2022 19:14:38    | BCS3    | A         | 68,9      | 71,4       | 79,7     |
| 8                     | 13-11-2022 19:26:26    | E170    | A         | 70,1      | 72,7       | 80,9     |
| 8                     | 13-11-2022 19:32:00    | C295    | A         | 69,8      | 71,4       | 78,8     |
| 8                     | 13-11-2022 19:43:47    | B38M    | A         | 71,7      | 75,7       | 84       |
| 8                     | 13-11-2022 19:50:46    | E190    | A         | 70,9      | 74         | 82,9     |
| 8                     | 13-11-2022 19:52:55    | E195    | A         | 72,1      | 74,8       | 83,6     |
| 8                     | 13-11-2022 20:25:07    | B38M    | A         | 70,8      | 73,7       | 83,1     |
| 8                     | 13-11-2022 20:45:19    | E75S    | A         | 71,7      | 75,1       | 83,7     |
| 8                     | 13-11-2022 20:50:57    | E195    | A         | 72,0      | 75,1       | 84,3     |
| 8                     | 13-11-2022 20:54:45    | E190    | A         | 71,6      | 75,0       | 84,1     |
| 8                     | 13-11-2022 20:57:02    | E75S    | A         | 71,1      | 74,4       | 83,2     |
| 8                     | 13-11-2022 21:03:13    | E170    | A         | 70,8      | 73,7       | 82,2     |
| 8                     | 13-11-2022 21:05:08    | E195    | A         | 72,6      | 76,0       | 84,9     |
| 8                     | 13-11-2022 21:10:40    | E75S    | A         | 70,5      | 73,6       | 82,5     |
| 8                     | 13-11-2022 21:17:45    | E190    | A         | 72,0      | 74,8       | 84,1     |
| 8                     | 13-11-2022 21:21:05    | E195    | A         | 72,5      | 75,2       | 84,9     |
| 8                     | 13-11-2022 21:23:02    | E195    | A         | 73,4      | 76,6       | 85,7     |
| 8                     | 13-11-2022 21:29:51    | E75S    | A         | 70,8      | 73,2       | 82,0     |
| 8                     | 13-11-2022 21:31:33    | B738    | A         | 72,7      | 75,9       | 85,0     |
| 8                     | 13-11-2022 21:34:23    | PC12    | A         | 69,0      | 70,9       | 79,0     |
| 8                     | 13-11-2022 21:36:19    | E195    | A         | 72,6      | 75,4       | 84,6     |
| 8                     | 13-11-2022 21:38:56    | E170    | A         | 70,9      | 74,6       | 83,2     |
| 8                     | 13-11-2022 21:40:41    | E190    | A         | 71,7      | 75,5       | 84,2     |
| 8                     | 13-11-2022 21:43:33    | E195    | A         | 72,9      | 76,3       | 85,4     |
| 8                     | 13-11-2022 21:45:59    | B38M    | A         | 71,6      | 75,0       | 84,1     |
| 8                     | 13-11-2022 21:48:41    | A320    | A         | 71,7      | 75,0       | 83,5     |
| 8                     | 13-11-2022 21:51:26    | E195    | A         | 72,5      | 76,9       | 85,3     |
| 8                     | 13-11-2022 21:53:27    | E195    | A         | 72,4      | 75,7       | 84,4     |
| 8                     | 13-11-2022 21:59:26    | DH8D    | A         | 69,2      | 71,5       | 79,6     |
| 8                     | 14-11-2022 06:02:19    | B38M    | A         | 71,6      | 75,1       | 83,7     |
| 8                     | 14-11-2022 06:04:36    | E195    | A         | 71,0      | 74,9       | 84,5     |
| 8                     | 14-11-2022 06:06:39    | DH8D    | A         | 69,0      | 70,1       | 78,1     |
| 8                     | 14-11-2022 06:08:33    | E75S    | A         | 71,7      | 74,4       | 83,2     |
| 8                     | 14-11-2022 06:11:03    | E75S    | A         | 71,4      | 74,0       | 82,2     |
| 8                     | 14-11-2022 06:13:23    | E75S    | A         | 71,8      | 74,6       | 83,3     |
| 8                     | 14-11-2022 06:15:55    | E195    | A         | 73,0      | 76,3       | 84,7     |
| 8                     | 14-11-2022 06:17:56    | E195    | A         | 72,2      | 75,0       | 84,0     |
| 8                     | 14-11-2022 06:21:43    | E195    | A         | 72,8      | 76,1       | 85,1     |
| 8                     | 14-11-2022 06:28:09    | E75S    | A         | 70,7      | 74,4       | 83,4     |
| 8                     | 14-11-2022 06:30:11    | E195    | A         | 73,0      | 76,3       | 86,0     |
| 8                     | 14-11-2022 07:07:31    | B738    | A         | 74,0      | 78,1       | 86,6     |
| 8                     | 14-11-2022 07:19:47    | B738    | A         | 73,7      | 77,8       | 86,2     |
| 8                     | 14-11-2022 07:37:01    | A321    | A         | 72,0      | 74,8       | 83,8     |
| 8                     | 14-11-2022 07:58:21    | E190    | A         | 72,7      | 76,3       | 84,5     |
| 8                     | 14-11-2022 08:07:06    | E75S    | A         | 70,8      | 73,1       | 81,2     |
| 8                     | 14-11-2022 08:13:38    | E75S    | A         | 70,4      | 73,0       | 81,9     |
| 8                     | 14-11-2022 08:17:21    | E170    | A         | 71,0      | 73,6       | 82,8     |

| Nr punktu pomiarowego | Data i godz. zdarzenia | Samolot | Operacja* | $L_{Aeq}$ | $L_{Amax}$ | $L_{AE}$ |
|-----------------------|------------------------|---------|-----------|-----------|------------|----------|
|                       |                        |         |           | [dB]      | [dB]       | [dB]     |
| 8                     | 14-11-2022 08:19:33    | B38M    | A         | 71,7      | 75,5       | 83,8     |
| 8                     | 14-11-2022 08:22:03    | A21N    | A         | 70,5      | 73,7       | 83,3     |
| 8                     | 14-11-2022 08:40:49    | A320    | A         | 72,0      | 76,1       | 85,0     |
| 8                     | 14-11-2022 08:42:51    | E195    | A         | 73,4      | 76,4       | 86,2     |
| 8                     | 14-11-2022 08:47:40    | E290    | A         | 70,2      | 72,6       | 81,0     |
| 8                     | 14-11-2022 08:51:06    | E190    | A         | 71,7      | 75,5       | 84,3     |
| 8                     | 14-11-2022 08:53:04    | E550    | A         | 69,0      | 70,1       | 78,0     |
| 8                     | 14-11-2022 08:55:36    | CRJ9    | A         | 69,7      | 71,3       | 80,8     |
| 8                     | 14-11-2022 08:57:21    | E190    | A         | 72,3      | 75,7       | 84,8     |
| 8                     | 14-11-2022 08:59:32    | E195    | A         | 71,6      | 75,4       | 83,6     |
| 8                     | 14-11-2022 09:04:41    | E170    | A         | 71,1      | 74,1       | 83,2     |
| 8                     | 14-11-2022 09:14:30    | E75S    | A         | 71,7      | 74,6       | 83,7     |
| 8                     | 14-11-2022 09:16:49    | E170    | A         | 71,9      | 75,1       | 83,9     |
| 8                     | 14-11-2022 09:18:46    | E195    | A         | 73,4      | 76,9       | 85,7     |
| 8                     | 14-11-2022 09:23:02    | DH8D    | A         | 69,1      | 70,7       | 79,1     |
| 8                     | 14-11-2022 09:25:02    | DH8D    | A         | 69,9      | 72,3       | 81,1     |
| 8                     | 14-11-2022 09:26:45    | E195    | A         | 72,3      | 75,7       | 84,9     |
| 8                     | 14-11-2022 09:28:17    | A306    | A         | 73,0      | 78,2       | 87,9     |
| 8                     | 14-11-2022 09:30:55    | CRJ9    | A         | 70,2      | 72,5       | 82,2     |
| 8                     | 14-11-2022 09:32:57    | E170    | A         | 70,8      | 74,7       | 82,9     |
| 8                     | 14-11-2022 09:34:56    | E75S    | A         | 71,6      | 74,2       | 81,6     |
| 8                     | 14-11-2022 09:37:01    | DH8D    | A         | 70,4      | 72,2       | 81,2     |
| 8                     | 14-11-2022 09:39:01    | E195    | A         | 72,5      | 76,5       | 85,5     |
| 8                     | 14-11-2022 09:41:47    | E75S    | A         | 71,7      | 74,9       | 82,9     |
| 8                     | 14-11-2022 09:43:59    | A21N    | A         | 70,2      | 73,9       | 82,2     |
| 8                     | 14-11-2022 10:25:15    | B38M    | A         | 71,7      | 76,3       | 84,5     |
| 8                     | 14-11-2022 10:27:55    | B789    | A         | 71,9      | 76,2       | 86,7     |
| 8                     | 14-11-2022 10:51:08    | E195    | A         | 71,8      | 75,4       | 84,9     |
| 8                     | 14-11-2022 10:55:44    | A321    | A         | 70,7      | 73,7       | 82,4     |
| 8                     | 14-11-2022 10:57:45    | E75S    | A         | 70,4      | 73,6       | 81,9     |
| 8                     | 14-11-2022 10:59:34    | E75S    | A         | 70,5      | 73,7       | 83,0     |
| 8                     | 14-11-2022 11:02:12    | B77W    | A         | 74,6      | 79,2       | 88,7     |
| 8                     | 14-11-2022 11:06:45    | B738    | A         | 73,8      | 77,9       | 86,8     |
| 8                     | 14-11-2022 11:10:46    | CRJ9    | A         | 70,1      | 71,6       | 80,5     |
| 8                     | 14-11-2022 11:21:41    | E195    | A         | 72,7      | 75,9       | 84,8     |
| 8                     | 14-11-2022 11:26:30    | C56X    | A         | 70,5      | 72,3       | 80,0     |
| 8                     | 14-11-2022 11:29:03    | E190    | A         | 72,8      | 75,2       | 84,2     |
| 8                     | 14-11-2022 11:40:19    | E195    | A         | 73,4      | 77,3       | 85,9     |
| 8                     | 14-11-2022 11:43:54    | B788    | A         | 72,3      | 75,7       | 85,5     |
| 8                     | 14-11-2022 11:46:59    | B788    | A         | 71,6      | 75,9       | 85,4     |
| 8                     | 14-11-2022 11:51:36    | A320    | A         | 71,8      | 74,8       | 83,3     |
| 8                     | 14-11-2022 11:58:53    | E190    | A         | 71,2      | 74,2       | 84,2     |
| 8                     | 14-11-2022 12:05:19    | E190    | A         | 72,4      | 75,9       | 85,2     |
| 8                     | 14-11-2022 12:07:17    | E170    | A         | 70,9      | 73,4       | 81,7     |
| 8                     | 14-11-2022 12:08:45    | BCS3    | A         | 69,5      | 72,5       | 82,3     |
| 8                     | 14-11-2022 12:13:13    | A21N    | A         | 71,0      | 74,6       | 83,6     |
| 8                     | 14-11-2022 12:14:55    | E190    | A         | 71,6      | 75,1       | 84,6     |
| 8                     | 14-11-2022 12:17:00    | B38M    | A         | 72,8      | 76,0       | 84,2     |
| 8                     | 14-11-2022 12:21:30    | BCS3    | A         | 69,6      | 71,3       | 80,8     |
| 8                     | 14-11-2022 12:23:39    | E170    | A         | 70,9      | 73,2       | 81,7     |
| 8                     | 14-11-2022 12:25:50    | E190    | A         | 71,8      | 75,1       | 84,1     |
| 8                     | 14-11-2022 12:27:51    | E190    | A         | 71,3      | 75,0       | 84,5     |
| 8                     | 14-11-2022 12:30:01    | B789    | A         | 72,2      | 75,8       | 85,8     |
| 8                     | 14-11-2022 12:32:38    | E75S    | A         | 70,0      | 72,6       | 81,5     |
| 8                     | 14-11-2022 12:34:28    | B788    | A         | 72,6      | 75,9       | 85,6     |
| 8                     | 14-11-2022 12:37:07    | A21N    | A         | 70,7      | 73,8       | 83,3     |
| 8                     | 14-11-2022 12:39:03    | E75S    | A         | 71,7      | 75,2       | 83,2     |

| Nr punktu pomiarowego | Data i godz. zdarzenia | Samolot | Operacja* | $L_{Aeq}$ | $L_{Amax}$ | $L_{AE}$ |
|-----------------------|------------------------|---------|-----------|-----------|------------|----------|
|                       |                        |         |           | [dB]      | [dB]       | [dB]     |
| 8                     | 14-11-2022 12:41:16    | E75S    | A         | 72,7      | 75,3       | 84,4     |
| 8                     | 14-11-2022 12:43:09    | E195    | A         | 72,7      | 76,9       | 85,9     |
| 8                     | 14-11-2022 12:45:17    | DH8D    | A         | 69,6      | 70,9       | 79,1     |
| 8                     | 14-11-2022 12:47:18    | E75S    | A         | 71,1      | 74,6       | 83,7     |
| 8                     | 14-11-2022 12:49:19    | E195    | A         | 72,5      | 76,0       | 84,8     |
| 8                     | 14-11-2022 12:51:16    | A321    | A         | 69,6      | 73,9       | 82,9     |
| 8                     | 14-11-2022 12:53:39    | E170    | A         | 70,6      | 73,6       | 81,8     |
| 8                     | 14-11-2022 12:55:31    | E195    | A         | 71,3      | 74,2       | 83,6     |
| 8                     | 14-11-2022 12:57:29    | DH8D    | A         | 70        | 72,4       | 81,1     |
| 8                     | 14-11-2022 12:59:32    | E195    | A         | 71,7      | 75,6       | 83,8     |
| 8                     | 14-11-2022 13:01:45    | A319    | A         | 70,4      | 74,3       | 84,2     |
| 8                     | 14-11-2022 13:03:40    | E170    | A         | 70,7      | 73,2       | 82,5     |
| 8                     | 14-11-2022 13:05:38    | E75S    | A         | 71,6      | 75,3       | 83,3     |
| 8                     | 14-11-2022 13:11:17    | E75S    | A         | 70,0      | 72,6       | 82,8     |
| 8                     | 14-11-2022 13:13:34    | E170    | A         | 71,5      | 75,6       | 83,5     |
| 8                     | 14-11-2022 13:16:36    | B789    | A         | 72,4      | 76,8       | 86,2     |
| 8                     | 14-11-2022 13:22:48    | E195    | A         | 72,1      | 74,8       | 84,1     |
| 8                     | 14-11-2022 13:47:19    | BCS3    | A         | 70        | 73,2       | 81,1     |
| 8                     | 14-11-2022 13:56:47    | A21N    | A         | 71,6      | 73,5       | 82,8     |
| 8                     | 14-11-2022 14:04:51    | DH8D    | A         | 69,8      | 72,5       | 80,2     |
| 8                     | 14-11-2022 14:08:13    | B38M    | A         | 72,9      | 76,9       | 84,9     |
| 8                     | 14-11-2022 14:11:39    | E195    | A         | 71,9      | 75,9       | 85,1     |
| 8                     | 14-11-2022 14:15:09    | E190    | A         | 71,5      | 74,7       | 83,6     |
| 8                     | 14-11-2022 14:17:10    | A321    | A         | 72,5      | 75,3       | 84,0     |
| 8                     | 14-11-2022 14:18:47    | E75S    | A         | 70,6      | 73,3       | 82,9     |
| 8                     | 14-11-2022 14:24:57    | A321    | A         | 68,6      | 71,3       | 81,4     |
| 8                     | 14-11-2022 14:33:31    | C295    | A         | 70,7      | 73,1       | 81,1     |
| 8                     | 14-11-2022 14:51:22    | B738    | A         | 75,1      | 79,4       | 88,2     |
| 8                     | 14-11-2022 14:53:51    | E75S    | A         | 72,1      | 75,7       | 84,4     |
| 8                     | 14-11-2022 14:57:25    | A21N    | A         | 72,6      | 76,1       | 84,4     |
| 8                     | 14-11-2022 14:58:57    | E195    | A         | 72,0      | 75,3       | 84,3     |
| 8                     | 14-11-2022 15:03:16    | B789    | A         | 72,0      | 76,5       | 86,0     |
| 8                     | 14-11-2022 15:12:28    | E195    | A         | 72,2      | 75,8       | 84,8     |
| 8                     | 14-11-2022 15:24:15    | E195    | A         | 72,6      | 75,9       | 84,4     |
| 8                     | 14-11-2022 15:26:21    | DH8D    | A         | 69,0      | 71,6       | 80,1     |
| 8                     | 14-11-2022 15:28:27    | E170    | A         | 72,5      | 74,9       | 83,6     |
| 8                     | 14-11-2022 15:30:07    | E195    | A         | 71,9      | 75,3       | 84,7     |
| 8                     | 14-11-2022 15:32:30    | E75S    | A         | 71,3      | 74,2       | 83,0     |
| 8                     | 14-11-2022 15:34:33    | E195    | A         | 72,0      | 75,7       | 84,6     |
| 8                     | 14-11-2022 15:39:18    | E190    | A         | 71,4      | 74,9       | 84,2     |
| 8                     | 14-11-2022 15:42:39    | DH8D    | A         | 70,6      | 71,8       | 80,6     |
| 8                     | 14-11-2022 15:51:15    | C17     | A         | 78,4      | 83,4       | 93,4     |
| 8                     | 14-11-2022 15:54:14    | E75S    | A         | 71,7      | 74,5       | 83,2     |
| 8                     | 14-11-2022 15:56:44    | B38M    | A         | 72,0      | 74,8       | 83,5     |
| 8                     | 14-11-2022 16:01:27    | E170    | A         | 70,8      | 73,0       | 82,0     |
| 8                     | 14-11-2022 16:04:42    | B38M    | A         | 72,3      | 75,2       | 84,1     |
| 8                     | 14-11-2022 16:06:51    | E190    | A         | 71,6      | 74,1       | 83,7     |
| 8                     | 14-11-2022 16:09:03    | CRJ9    | A         | 70,9      | 72,9       | 81,7     |
| 8                     | 14-11-2022 16:11:10    | E195    | A         | 71,4      | 75,0       | 84,2     |
| 8                     | 14-11-2022 16:14:15    | A332    | A         | 73,9      | 78,5       | 87,1     |
| 8                     | 14-11-2022 16:19:24    | E195    | A         | 72,2      | 75,8       | 85,2     |
| 8                     | 14-11-2022 16:27:59    | A321    | A         | 72,3      | 75,2       | 83,4     |
| 8                     | 14-11-2022 16:31:22    | B738    | A         | 73,1      | 76,8       | 85,1     |
| 8                     | 14-11-2022 16:41:05    | A320    | A         | 73,1      | 77,1       | 85,4     |
| 8                     | 14-11-2022 16:43:28    | P46T    | A         | 70,0      | 72,3       | 80,8     |
| 8                     | 14-11-2022 16:46:25    | A321    | A         | 72,2      | 74,9       | 83,0     |
| 8                     | 14-11-2022 16:51:11    | A321    | A         | 72,4      | 74,6       | 83,5     |

| Nr punktu pomiarowego | Data i godz. zdarzenia | Samolot | Operacja* | $L_{Aeq}$ | $L_{Amax}$ | $L_{AE}$ |
|-----------------------|------------------------|---------|-----------|-----------|------------|----------|
|                       |                        |         |           | [dB]      | [dB]       | [dB]     |
| 8                     | 14-11-2022 16:55:32    | PC12    | A         | 72,7      | 76,5       | 84,8     |
| 8                     | 14-11-2022 17:05:31    | W3      | A         | 73,5      | 77,3       | 87,3     |
| 8                     | 14-11-2022 17:13:14    | E75S    | A         | 71        | 73,9       | 82,8     |
| 8                     | 14-11-2022 17:26:34    | A21N    | A         | 71,3      | 74,4       | 82,4     |
| 8                     | 14-11-2022 17:35:56    | A321    | A         | 71,8      | 75,4       | 83,3     |
| 8                     | 14-11-2022 17:41:00    | B738    | A         | 74,2      | 77,1       | 86,5     |
| 8                     | 14-11-2022 17:43:19    | E190    | A         | 72,5      | 76,2       | 84,5     |
| 8                     | 14-11-2022 17:50:34    | E170    | A         | 71,6      | 75,5       | 83,6     |
| 8                     | 14-11-2022 17:55:15    | E170    | A         | 71,9      | 74,3       | 83,4     |
| 8                     | 14-11-2022 18:01:18    | E190    | A         | 71,9      | 76,5       | 84,4     |
| 8                     | 14-11-2022 18:15:20    | E75S    | A         | 71,6      | 76,1       | 83,4     |
| 8                     | 14-11-2022 18:25:16    | E195    | A         | 72,0      | 76,9       | 85,2     |
| 8                     | 14-11-2022 18:28:00    | E195    | A         | 73,0      | 76,1       | 85,5     |
| 8                     | 14-11-2022 18:30:27    | PC12    | A         | 70,1      | 73,1       | 81,2     |
| 8                     | 14-11-2022 18:32:39    | E195    | A         | 72,6      | 76,6       | 85,4     |
| 8                     | 14-11-2022 18:34:21    | E195    | A         | 72,2      | 76,0       | 85,0     |
| 8                     | 14-11-2022 18:37:36    | E75S    | A         | 70,8      | 74,3       | 82,8     |
| 8                     | 14-11-2022 18:39:57    | GLF5    | A         | 66,7      | 68,8       | 77,1     |
| 8                     | 14-11-2022 18:41:36    | E190    | A         | 72,2      | 75,5       | 85,4     |
| 8                     | 14-11-2022 18:43:13    | B38M    | A         | 72,1      | 77,4       | 86,2     |
| 8                     | 14-11-2022 18:45:44    | CRJ9    | A         | 70,0      | 72,5       | 82,1     |
| 8                     | 14-11-2022 18:57:26    | DH8D    | A         | 70,4      | 72,1       | 79,4     |
| 8                     | 14-11-2022 18:59:41    | E190    | A         | 71,1      | 74,5       | 83,9     |
| 8                     | 14-11-2022 19:02:34    | DH8D    | A         | 69,4      | 71,4       | 79,0     |
| 8                     | 14-11-2022 19:04:19    | E190    | A         | 71,8      | 75,2       | 84,3     |
| 8                     | 14-11-2022 19:06:22    | E170    | A         | 69,3      | 72,1       | 81,3     |
| 8                     | 14-11-2022 19:08:26    | E75S    | A         | 71,8      | 75,3       | 84,1     |
| 8                     | 14-11-2022 19:18:59    | A321    | A         | 72,2      | 76,2       | 85,0     |
| 8                     | 14-11-2022 19:30:27    | E195    | A         | 72,3      | 76,2       | 85,1     |
| 8                     | 14-11-2022 19:33:14    | B38M    | A         | 71,1      | 74,6       | 83,9     |
| 8                     | 14-11-2022 19:38:41    | A321    | A         | 71,5      | 74,7       | 84,3     |
| 8                     | 14-11-2022 19:42:25    | B38M    | A         | 71,2      | 76,0       | 85,1     |
| 8                     | 14-11-2022 19:46:32    | DH8D    | A         | 68,4      | 71,5       | 79,8     |
| 8                     | 14-11-2022 20:03:52    | C295    | A         | 69,3      | 72,0       | 81,4     |
| 8                     | 14-11-2022 20:12:34    | B738    | A         | 69,9      | 74,8       | 85,2     |
| 8                     | 14-11-2022 20:26:13    | B38M    | A         | 72,3      | 76,4       | 85,7     |
| 8                     | 14-11-2022 20:47:07    | E170    | A         | 70,9      | 74,4       | 82,0     |
| 8                     | 14-11-2022 20:54:23    | E75S    | A         | 70,9      | 75,0       | 82,6     |
| 8                     | 14-11-2022 20:57:59    | E190    | A         | 71,6      | 75,3       | 84,6     |
| 8                     | 14-11-2022 21:06:50    | E195    | A         | 72,2      | 76,4       | 85,2     |
| 8                     | 14-11-2022 21:16:34    | CL35    | A         | 67,1      | 68,8       | 76,6     |
| 8                     | 14-11-2022 21:18:15    | E75S    | A         | 69,9      | 74,0       | 82,7     |
| 8                     | 14-11-2022 21:24:49    | E195    | A         | 72,1      | 76,0       | 85,5     |
| 8                     | 14-11-2022 21:26:16    | E195    | A         | 71,3      | 74,6       | 84,1     |
| 8                     | 14-11-2022 21:28:41    | E75S    | A         | 71,1      | 74,3       | 83,4     |
| 8                     | 14-11-2022 21:30:46    | E75S    | A         | 69,8      | 73,2       | 82,3     |
| 8                     | 14-11-2022 21:34:02    | E195    | A         | 71,2      | 75,6       | 85,0     |
| 8                     | 14-11-2022 21:39:41    | GA5C    | A         | 68,1      | 69,8       | 77,1     |
| 8                     | 14-11-2022 21:42:40    | E195    | A         | 71,1      | 74,1       | 83,4     |
| 8                     | 14-11-2022 21:44:37    | B738    | A         | 72,8      | 76,9       | 85,4     |
| 8                     | 14-11-2022 21:47:52    | E170    | A         | 70,1      | 72,9       | 81,9     |
| 8                     | 14-11-2022 21:52:10    | B738    | A         | 73,9      | 77,6       | 87,1     |
| 8                     | 14-11-2022 21:54:52    | A319    | A         | 70,7      | 73,7       | 82,2     |
| 8                     | 14-11-2022 21:56:54    | B738    | A         | 71,7      | 75,5       | 84,7     |
| 8                     | 15-11-2022 06:06:52    | E190    | A         | 71,6      | 73,3       | 81,6     |
| 8                     | 15-11-2022 06:09:30    | E195    | A         | 71,3      | 73,9       | 80,8     |
| 8                     | 15-11-2022 06:12:09    | E75S    | A         | 70,8      | 72,5       | 79,8     |

| Nr punktu pomiarowego | Data i godz. zdarzenia | Samolot | Operacja* | $L_{Aeq}$ | $L_{Amax}$ | $L_{AE}$ |
|-----------------------|------------------------|---------|-----------|-----------|------------|----------|
|                       |                        |         |           | [dB]      | [dB]       | [dB]     |
| 8                     | 15-11-2022 06:14:32    | B38M    | A         | 70,4      | 72,3       | 79,4     |
| 8                     | 15-11-2022 06:17:00    | B738    | A         | 72,0      | 74,5       | 82,4     |
| 8                     | 15-11-2022 06:19:28    | E195    | A         | 72,1      | 73,9       | 81,6     |
| 8                     | 15-11-2022 06:25:12    | E75S    | A         | 71,7      | 74,0       | 81,3     |
| 8                     | 15-11-2022 06:27:52    | E190    | A         | 71,5      | 72,9       | 81,0     |
| 8                     | 15-11-2022 06:32:47    | B738    | A         | 71,9      | 73,9       | 81,9     |
| 8                     | 15-11-2022 06:35:05    | DH8D    | A         | 70,3      | 72,3       | 79,8     |
| 8                     | 15-11-2022 06:48:57    | B763    | A         | 71,0      | 74,3       | 83,3     |
| 8                     | 15-11-2022 06:51:26    | E75S    | A         | 71,1      | 72,9       | 80,1     |
| 8                     | 15-11-2022 07:00:02    | B788    | A         | 70,2      | 71,9       | 80,6     |
| 8                     | 15-11-2022 07:27:26    | B38M    | A         | 70,7      | 73,0       | 80,7     |
| 8                     | 15-11-2022 08:02:53    | B38M    | A         | 72,3      | 75,5       | 82,7     |
| 8                     | 15-11-2022 08:05:52    | E190    | A         | 71,0      | 74,4       | 82,1     |
| 8                     | 15-11-2022 08:13:22    | E170    | A         | 69,5      | 71,1       | 79,5     |
| 8                     | 15-11-2022 08:18:32    | E75S    | A         | 70,3      | 71,6       | 80,3     |
| 8                     | 15-11-2022 08:21:18    | B788    | A         | 70,7      | 73,7       | 82,1     |
| 8                     | 15-11-2022 08:32:20    | E195    | A         | 71,7      | 74,2       | 81,7     |
| 8                     | 15-11-2022 08:36:32    | E170    | A         | 69,8      | 71,1       | 78,9     |
| 8                     | 15-11-2022 08:46:15    | E170    | A         | 69,5      | 71,3       | 79,0     |
| 8                     | 15-11-2022 08:49:30    | E190    | A         | 71,2      | 73,8       | 81,6     |
| 8                     | 15-11-2022 08:58:15    | E190    | A         | 71,6      | 73,7       | 81,6     |
| 8                     | 15-11-2022 09:05:25    | E190    | A         | 71,6      | 74,0       | 81,2     |
| 8                     | 15-11-2022 09:13:35    | CRJ9    | A         | 69,2      | 70,4       | 78,2     |
| 8                     | 15-11-2022 09:17:36    | E195    | A         | 71,4      | 73,3       | 82,2     |
| 8                     | 15-11-2022 09:19:08    | E195    | A         | 70,8      | 72,8       | 80,8     |
| 8                     | 15-11-2022 09:23:01    | CRJ9    | A         | 69,3      | 71,0       | 78,3     |
| 8                     | 15-11-2022 09:26:44    | E170    | A         | 69,8      | 72,1       | 79,8     |
| 8                     | 15-11-2022 09:29:05    | E195    | A         | 69,8      | 71,6       | 79,8     |
| 8                     | 15-11-2022 09:33:12    | E75S    | A         | 69,8      | 71,6       | 79,4     |
| 8                     | 15-11-2022 09:44:34    | E75S    | A         | 69,7      | 72,2       | 80,2     |
| 8                     | 15-11-2022 10:08:27    | B789    | A         | 71,3      | 73,7       | 82,1     |
| 8                     | 15-11-2022 10:46:16    | B789    | A         | 69,9      | 73,4       | 83,4     |
| 8                     | 15-11-2022 10:48:54    | B789    | A         | 73,0      | 76,4       | 84,8     |
| 8                     | 15-11-2022 10:57:08    | B77W    | A         | 73,7      | 77,4       | 86,2     |
| 8                     | 15-11-2022 10:59:31    | E75S    | A         | 69,5      | 71,0       | 79,1     |
| 8                     | 15-11-2022 11:25:25    | A321    | A         | 70,4      | 72,1       | 79,4     |
| 8                     | 15-11-2022 11:30:57    | A21N    | A         | 70,7      | 72,6       | 79,8     |
| 8                     | 15-11-2022 11:33:41    | E75S    | A         | 70,1      | 72,3       | 80,1     |
| 8                     | 15-11-2022 11:36:59    | A321    | A         | 70,3      | 71,8       | 79,4     |
| 8                     | 15-11-2022 11:39:41    | C295    | A         | 69,7      | 71,6       | 78,7     |
| 8                     | 15-11-2022 11:55:06    | B788    | A         | 72,8      | 76,9       | 84,8     |
| 8                     | 15-11-2022 12:02:03    | E195    | A         | 71,9      | 74,7       | 83,0     |
| 8                     | 15-11-2022 12:04:02    | B789    | A         | 70,9      | 74,7       | 83,5     |
| 8                     | 15-11-2022 12:06:28    | BCS3    | A         | 69,2      | 70,8       | 78,2     |
| 8                     | 15-11-2022 12:08:07    | E190    | A         | 70,5      | 73,0       | 81,2     |
| 8                     | 15-11-2022 12:12:48    | E75S    | A         | 70,7      | 72,7       | 80,3     |
| 8                     | 15-11-2022 12:15:35    | B738    | A         | 72,8      | 76,2       | 84,5     |
| 8                     | 15-11-2022 12:17:59    | B789    | A         | 72,2      | 75,1       | 84,2     |
| 8                     | 15-11-2022 12:20:02    | E195    | A         | 71,8      | 74,3       | 82,6     |
| 8                     | 15-11-2022 12:21:49    | E195    | A         | 71,3      | 74,5       | 83,4     |
| 8                     | 15-11-2022 12:23:38    | E195    | A         | 71,4      | 74,3       | 82,5     |
| 8                     | 15-11-2022 12:27:46    | E195    | A         | 72,2      | 74,9       | 83,0     |
| 8                     | 15-11-2022 12:30:26    | E75S    | A         | 71,1      | 74,2       | 81,9     |
| 8                     | 15-11-2022 12:35:00    | E195    | A         | 72,7      | 75,7       | 83,8     |
| 8                     | 15-11-2022 12:36:49    | E75S    | A         | 71,8      | 74,0       | 81,8     |
| 8                     | 15-11-2022 12:42:44    | E170    | A         | 71,6      | 73,2       | 80,7     |
| 8                     | 15-11-2022 12:44:16    | DH8D    | A         | 70,1      | 72,5       | 79,7     |

| Nr punktu pomiarowego | Data i godz. zdarzenia | Samolot | Operacja* | $L_{Aeq}$ | $L_{Amax}$ | $L_{AE}$ |
|-----------------------|------------------------|---------|-----------|-----------|------------|----------|
|                       |                        |         |           | [dB]      | [dB]       | [dB]     |
| 8                     | 15-11-2022 12:51:49    | A321    | D         | 67,3      | 69,2       | 81,1     |
| 8                     | 15-11-2022 13:13:02    | E195    | D         | 68,7      | 70,2       | 79,9     |
| 8                     | 15-11-2022 13:15:33    | E190    | D         | 72,2      | 75,2       | 85,5     |
| 8                     | 15-11-2022 13:18:17    | B77W    | D         | 71,9      | 73,6       | 85,8     |
| 8                     | 15-11-2022 13:25:30    | E190    | D         | 70,2      | 72,5       | 81,3     |
| 8                     | 15-11-2022 13:29:48    | A21N    | D         | 68,8      | 71,1       | 81,3     |
| 8                     | 15-11-2022 13:31:12    | E75S    | D         | 69,2      | 71,7       | 81,8     |
| 8                     | 15-11-2022 13:32:48    | E195    | D         | 69,6      | 71,5       | 81,6     |
| 8                     | 15-11-2022 13:45:18    | E75S    | D         | 69,4      | 70,8       | 81,2     |
| 8                     | 15-11-2022 13:50:17    | E195    | D         | 68,9      | 71,3       | 80,0     |
| 8                     | 15-11-2022 13:53:57    | E170    | D         | 67,1      | 68,6       | 79,2     |
| 8                     | 15-11-2022 14:30:06    | A21N    | D         | 67,7      | 69,2       | 78,5     |
| 8                     | 15-11-2022 14:57:59    | E75S    | D         | 67,6      | 69,6       | 79,0     |
| 8                     | 15-11-2022 15:04:04    | E170    | D         | 71,8      | 74,2       | 84,4     |
| 8                     | 15-11-2022 15:14:00    | E195    | D         | 67,3      | 68,2       | 79,6     |
| 8                     | 15-11-2022 15:17:09    | E195    | D         | 69,2      | 71,3       | 79,6     |
| 8                     | 15-11-2022 15:19:17    | E195    | D         | 68,0      | 69,1       | 78,0     |
| 8                     | 15-11-2022 15:38:08    | E170    | D         | 73,1      | 75,6       | 84,6     |
| 8                     | 15-11-2022 15:45:14    | E190    | D         | 71,2      | 73,3       | 81,6     |
| 8                     | 15-11-2022 15:51:46    | E195    | D         | 68,1      | 69,8       | 77,7     |
| 8                     | 15-11-2022 16:01:10    | E190    | D         | 69,5      | 71,2       | 79,9     |
| 8                     | 15-11-2022 16:03:20    | E195    | D         | 68,7      | 70,3       | 78,7     |
| 8                     | 15-11-2022 16:48:08    | E170    | D         | 71,9      | 74,4       | 83,4     |
| 8                     | 15-11-2022 17:09:59    | E190    | D         | 70,1      | 72,0       | 80,1     |
| 8                     | 15-11-2022 17:18:27    | E190    | D         | 69,9      | 71,1       | 78,9     |
| 8                     | 15-11-2022 17:29:29    | E195    | D         | 69,6      | 75,9       | 81,1     |
| 8                     | 15-11-2022 17:31:18    | E75S    | D         | 67,1      | 67,9       | 76,1     |
| 8                     | 15-11-2022 17:36:38    | A319    | D         | 66,4      | 67,8       | 76,4     |
| 8                     | 15-11-2022 17:39:45    | A321    | D         | 68,1      | 69,2       | 80,1     |
| 8                     | 15-11-2022 17:41:27    | E190    | D         | 72,7      | 75,8       | 83,8     |
| 8                     | 15-11-2022 17:49:30    | E190    | D         | 67,4      | 68,1       | 77,0     |
| 8                     | 15-11-2022 17:51:05    | B738    | D         | 67,5      | 68,5       | 77,5     |
| 8                     | 15-11-2022 18:05:21    | A321    | D         | 67,0      | 68,1       | 77,8     |
| 8                     | 15-11-2022 18:11:38    | B738    | D         | 66,3      | 68,4       | 78,6     |
| 8                     | 15-11-2022 18:54:58    | A321    | D         | 67,1      | 67,9       | 79,2     |
| 8                     | 15-11-2022 19:34:26    | E190    | D         | 70,1      | 72,5       | 81,5     |
| 8                     | 15-11-2022 19:42:29    | E190    | D         | 69,9      | 71,7       | 80,7     |
| 8                     | 15-11-2022 20:14:40    | E195    | D         | 68,6      | 70,8       | 77,7     |
| 8                     | 15-11-2022 20:17:56    | E170    | D         | 70,2      | 72,1       | 81,3     |
| 8                     | 15-11-2022 20:42:33    | E190    | D         | 69,8      | 72,2       | 80,6     |
| 8                     | 15-11-2022 20:45:40    | E75S    | D         | 74,3      | 77,5       | 85,5     |
| 8                     | 15-11-2022 20:47:29    | E75S    | D         | 71,2      | 73,2       | 82,0     |
| 8                     | 15-11-2022 21:17:55    | B763    | D         | 68,4      | 69,8       | 79,8     |
| 8                     | 16-11-2022 06:03:18    | B38M    | D         | 69,0      | 72,5       | 80,8     |
| 8                     | 16-11-2022 06:06:28    | A21N    | D         | 70,6      | 72,3       | 82,9     |
| 8                     | 16-11-2022 06:21:24    | B738    | D         | 69,4      | 71,4       | 82,2     |
| 8                     | 16-11-2022 06:24:14    | A319    | D         | 70,5      | 72,9       | 83,7     |
| 8                     | 16-11-2022 06:39:50    | A21N    | D         | 70,9      | 74,7       | 83,5     |
| 8                     | 16-11-2022 06:55:24    | A321    | D         | 71,7      | 74,5       | 86,1     |
| 8                     | 16-11-2022 06:57:29    | A320    | D         | 69,1      | 72,1       | 79,9     |
| 8                     | 16-11-2022 06:58:59    | E195    | D         | 73,1      | 75,2       | 84,2     |
| 8                     | 16-11-2022 07:15:32    | E75S    | D         | 70,3      | 72,7       | 82,8     |
| 8                     | 16-11-2022 07:16:56    | A21N    | D         | 69,1      | 71,9       | 81,2     |
| 8                     | 16-11-2022 07:20:18    | E75S    | D         | 70,3      | 74,1       | 82,8     |
| 8                     | 16-11-2022 07:23:02    | A321    | D         | 70,5      | 73,5       | 83,9     |
| 8                     | 16-11-2022 07:26:29    | E75S    | D         | 71,7      | 73,9       | 82,8     |
| 8                     | 16-11-2022 07:35:14    | E195    | D         | 71,2      | 74,0       | 83,5     |

| Nr punktu pomiarowego | Data i godz. zdarzenia | Samolot | Operacja* | $L_{Aeq}$ | $L_{Amax}$ | $L_{AE}$ |
|-----------------------|------------------------|---------|-----------|-----------|------------|----------|
|                       |                        |         |           | [dB]      | [dB]       | [dB]     |
| 8                     | 16-11-2022 07:37:34    | E75S    | D         | 70,6      | 72,6       | 83,6     |
| 8                     | 16-11-2022 07:40:49    | E170    | D         | 73,1      | 76,3       | 85,9     |
| 8                     | 16-11-2022 07:42:36    | E195    | D         | 71,3      | 74,0       | 83,4     |
| 8                     | 16-11-2022 07:44:00    | B738    | D         | 71,6      | 75,2       | 85,8     |
| 8                     | 16-11-2022 07:45:51    | E75S    | D         | 72,2      | 74,8       | 84,3     |
| 8                     | 16-11-2022 07:48:32    | E190    | D         | 72,1      | 74,3       | 84,4     |
| 8                     | 16-11-2022 07:50:16    | SF34    | D         | 72,2      | 74,2       | 81,2     |
| 8                     | 16-11-2022 07:52:03    | E195    | D         | 71,8      | 74,8       | 85,0     |
| 8                     | 16-11-2022 07:54:27    | B38M    | D         | 71,1      | 73,6       | 82,2     |
| 8                     | 16-11-2022 07:56:00    | E195    | D         | 72,0      | 75,3       | 84,3     |
| 8                     | 16-11-2022 07:57:15    | E170    | D         | 71,4      | 73,4       | 83,9     |
| 8                     | 16-11-2022 07:58:56    | E190    | D         | 73,6      | 77,2       | 85,6     |
| 8                     | 16-11-2022 08:00:19    | E195    | D         | 71,9      | 75,5       | 84,0     |
| 8                     | 16-11-2022 08:02:10    | B38M    | D         | 69,3      | 72,4       | 81,3     |
| 8                     | 16-11-2022 08:05:08    | A320    | D         | 69,2      | 70,0       | 80,0     |
| 8                     | 16-11-2022 08:09:09    | F2TH    | D         | 68,7      | 71,8       | 80,2     |
| 8                     | 16-11-2022 08:13:41    | E190    | D         | 75,6      | 80,2       | 88,4     |
| 8                     | 16-11-2022 08:16:23    | E170    | D         | 76,8      | 81,9       | 89,6     |
| 8                     | 16-11-2022 09:07:06    | C17     | D         | 77,6      | 83,5       | 92,5     |
| 8                     | 16-11-2022 09:09:53    | E190    | D         | 74,5      | 78,9       | 87,9     |
| 8                     | 16-11-2022 09:11:24    | B738    | D         | 72,2      | 76,0       | 85,0     |
| 8                     | 16-11-2022 09:16:25    | GLF5    | D         | 68,2      | 69,9       | 79,0     |
| 8                     | 16-11-2022 09:28:52    | E75S    | D         | 72,2      | 75,0       | 83,4     |
| 8                     | 16-11-2022 09:41:11    | E170    | D         | 70,2      | 74,3       | 82,0     |
| 8                     | 16-11-2022 09:49:21    | A321    | D         | 69,1      | 71,8       | 81,4     |
| 8                     | 16-11-2022 09:51:34    | B738    | D         | 72,2      | 77,7       | 85,8     |
| 8                     | 16-11-2022 09:59:22    | CRJ9    | D         | 69,4      | 72,4       | 82,2     |
| 8                     | 16-11-2022 10:05:44    | E75S    | D         | 70,7      | 73,1       | 82,4     |
| 8                     | 16-11-2022 10:12:53    | E195    | D         | 70,7      | 73,6       | 82,8     |
| 8                     | 16-11-2022 10:22:08    | E75S    | D         | 71,5      | 75,2       | 83,8     |
| 8                     | 16-11-2022 10:52:01    | E170    | D         | 72,6      | 75,0       | 84,7     |
| 8                     | 16-11-2022 10:59:37    | E75S    | D         | 75,6      | 79,1       | 87,6     |
| 8                     | 16-11-2022 11:01:06    | E195    | D         | 71,8      | 75,1       | 84,1     |
| 8                     | 16-11-2022 11:09:17    | E75S    | D         | 71,5      | 73,8       | 83,8     |
| 8                     | 16-11-2022 11:13:16    | E75S    | D         | 71,0      | 74,9       | 83,1     |
| 8                     | 16-11-2022 11:32:24    | E190    | A         | 72,6      | 75,9       | 84,9     |
| 8                     | 16-11-2022 11:43:10    | A320    | A         | 70,7      | 73,5       | 83,3     |
| 8                     | 16-11-2022 11:46:39    | B788    | A         | 72,8      | 76,5       | 86,3     |
| 8                     | 16-11-2022 11:51:21    | A321    | A         | 70,6      | 73,9       | 82,9     |
| 8                     | 16-11-2022 11:58:19    | BCS3    | A         | 71,2      | 73,1       | 81,2     |
| 8                     | 16-11-2022 12:02:49    | E195    | A         | 71,6      | 76,0       | 84,4     |
| 8                     | 16-11-2022 12:05:36    | B788    | A         | 72,1      | 75,0       | 84,4     |
| 8                     | 16-11-2022 12:08:25    | E190    | A         | 71,8      | 74,3       | 83,8     |
| 8                     | 16-11-2022 12:10:39    | E195    | A         | 73,1      | 77,2       | 85,2     |
| 8                     | 16-11-2022 12:12:30    | B789    | A         | 72,3      | 75,9       | 85,7     |
| 8                     | 16-11-2022 12:15:12    | E195    | A         | 72,4      | 76,4       | 84,9     |
| 8                     | 16-11-2022 12:16:59    | E75S    | A         | 72,2      | 74,7       | 83,9     |
| 8                     | 16-11-2022 12:19:01    | E170    | A         | 71,2      | 76,3       | 84,0     |
| 8                     | 16-11-2022 12:21:00    | DH8D    | A         | 70,5      | 74,3       | 82,8     |
| 8                     | 16-11-2022 12:23:12    | E190    | A         | 71,5      | 74,7       | 84,0     |
| 8                     | 16-11-2022 12:25:13    | E190    | A         | 71,5      | 74,7       | 83,6     |
| 8                     | 16-11-2022 12:27:00    | E75S    | A         | 71,4      | 76,1       | 84,2     |
| 8                     | 16-11-2022 12:29:32    | B789    | A         | 73,0      | 77,6       | 86,8     |
| 8                     | 16-11-2022 12:32:59    | DH8D    | A         | 69,6      | 71,7       | 80,0     |
| 8                     | 16-11-2022 12:41:39    | B738    | A         | 71,3      | 74,6       | 84,9     |
| 8                     | 16-11-2022 12:44:05    | DH8D    | A         | 70,1      | 72,4       | 81,5     |
| 8                     | 16-11-2022 12:46:59    | A319    | A         | 70,8      | 75,4       | 84,5     |

| Nr punktu pomiarowego | Data i godz. zdarzenia | Samolot | Operacja* | $L_{Aeq}$ | $L_{Amax}$ | $L_{AE}$ |
|-----------------------|------------------------|---------|-----------|-----------|------------|----------|
|                       |                        |         |           | [dB]      | [dB]       | [dB]     |
| 8                     | 16-11-2022 12:53:40    | E170    | A         | 72,1      | 74,9       | 83,6     |
| 8                     | 16-11-2022 12:55:57    | E195    | A         | 71,5      | 75,3       | 84,5     |
| 8                     | 16-11-2022 12:57:50    | B789    | A         | 72,3      | 74,6       | 85,7     |
| 8                     | 16-11-2022 13:00:06    | E190    | A         | 72,0      | 75,7       | 85,1     |
| 8                     | 16-11-2022 13:02:07    | B738    | A         | 74,0      | 77,7       | 87,2     |
| 8                     | 16-11-2022 13:04:31    | E170    | A         | 71,7      | 74,3       | 83,5     |
| 8                     | 16-11-2022 13:10:47    | A21N    | A         | 71,3      | 73,1       | 81,3     |
| 8                     | 16-11-2022 13:19:04    | B789    | A         | 72,9      | 75,3       | 86,1     |
| 8                     | 16-11-2022 13:22:04    | E75S    | A         | 70,7      | 74,8       | 82,8     |
| 8                     | 16-11-2022 13:27:28    | E75S    | A         | 71,1      | 73,5       | 82,3     |
| 8                     | 16-11-2022 13:45:00    | E75S    | A         | 70,9      | 74,1       | 82,4     |
| 8                     | 16-11-2022 13:48:00    | E190    | A         | 72,9      | 75,6       | 85,2     |
| 8                     | 16-11-2022 13:54:53    | E195    | A         | 72,1      | 74,5       | 84,1     |
| 8                     | 16-11-2022 14:00:15    | E195    | A         | 71,9      | 75,8       | 84,7     |
| 8                     | 16-11-2022 14:02:54    | B38M    | A         | 72,3      | 75,8       | 84,9     |
| 8                     | 16-11-2022 14:08:52    | C17     | A         | 78,1      | 83,0       | 93,4     |
| 8                     | 16-11-2022 14:12:18    | A321    | A         | 72,5      | 76,0       | 84,6     |
| 8                     | 16-11-2022 14:20:40    | GLF5    | A         | 69,9      | 72,2       | 81,1     |
| 8                     | 16-11-2022 14:41:17    | E195    | A         | 71,6      | 75,2       | 84,4     |
| 8                     | 16-11-2022 14:43:34    | B38M    | A         | 72,6      | 76,2       | 85,1     |
| 8                     | 16-11-2022 14:45:49    | E195    | A         | 71,6      | 76,0       | 84,4     |
| 8                     | 16-11-2022 14:56:08    | B38M    | A         | 72,4      | 75,2       | 83,2     |
| 8                     | 16-11-2022 14:58:25    | E195    | A         | 71,5      | 75,4       | 84,1     |
| 8                     | 16-11-2022 15:07:03    | A21N    | A         | 71,3      | 74,7       | 83,0     |
| 8                     | 16-11-2022 15:12:33    | E75S    | A         | 70,8      | 73,4       | 82,2     |
| 8                     | 16-11-2022 15:14:29    | B738    | A         | 73,2      | 77,4       | 85,7     |
| 8                     | 16-11-2022 15:21:02    | E75S    | A         | 71,5      | 75,3       | 83,5     |
| 8                     | 16-11-2022 15:23:41    | E75S    | A         | 71,0      | 74,1       | 82,8     |
| 8                     | 16-11-2022 15:30:02    | E190    | A         | 71,6      | 75,0       | 83,9     |
| 8                     | 16-11-2022 15:32:02    | E195    | A         | 73,1      | 75,9       | 85,4     |
| 8                     | 16-11-2022 15:34:06    | DH8D    | A         | 69,7      | 72,4       | 79,2     |
| 8                     | 16-11-2022 15:38:19    | E190    | A         | 71,8      | 76,4       | 84,1     |
| 8                     | 16-11-2022 15:40:07    | DH8D    | A         | 70,7      | 74,2       | 82,4     |
| 8                     | 16-11-2022 15:45:18    | E75S    | A         | 72,5      | 76,4       | 83,6     |
| 8                     | 16-11-2022 15:47:35    | E75S    | A         | 72,1      | 75,3       | 84,9     |
| 8                     | 16-11-2022 15:53:51    | E195    | A         | 72,4      | 75,7       | 84,9     |
| 8                     | 16-11-2022 15:59:43    | DH8D    | A         | 69,9      | 71,9       | 79,9     |
| 8                     | 16-11-2022 16:01:48    | E195    | A         | 73,3      | 76,8       | 85,3     |
| 8                     | 16-11-2022 16:04:31    | A319    | A         | 70,5      | 74,9       | 84,3     |
| 8                     | 16-11-2022 16:08:21    | E190    | A         | 71,5      | 74,2       | 84,3     |
| 8                     | 16-11-2022 16:20:12    | A321    | A         | 73,0      | 77,9       | 85,8     |
| 8                     | 16-11-2022 16:39:53    | C295    | A         | 70,6      | 71,9       | 80,6     |
| 8                     | 16-11-2022 16:56:33    | A321    | A         | 71,9      | 75,3       | 84,2     |
| 8                     | 16-11-2022 17:00:03    | A321    | A         | 71,2      | 74,3       | 83,0     |
| 8                     | 16-11-2022 17:16:56    | A21N    | A         | 69,9      | 73,3       | 82,4     |
| 8                     | 16-11-2022 17:23:59    | GLF6    | A         | 69,4      | 71,7       | 78,5     |
| 8                     | 16-11-2022 17:30:52    | CRJ9    | A         | 70,9      | 73,8       | 80,9     |
| 8                     | 16-11-2022 17:34:47    | PC12    | A         | 70,2      | 71,5       | 79,2     |
| 8                     | 16-11-2022 17:38:45    | E190    | A         | 72,0      | 75,7       | 84,0     |
| 8                     | 16-11-2022 17:42:26    | E75S    | A         | 72,8      | 77,0       | 84,5     |
| 8                     | 16-11-2022 17:52:47    | E190    | A         | 72,7      | 76,5       | 85,0     |
| 8                     | 16-11-2022 17:55:07    | A321    | A         | 72,6      | 76,0       | 84,6     |
| 8                     | 16-11-2022 18:06:03    | A319    | A         | 72,0      | 75,0       | 84,3     |
| 8                     | 16-11-2022 18:08:11    | E75S    | A         | 71,2      | 73,6       | 84,0     |
| 8                     | 16-11-2022 18:24:41    | CRJ9    | A         | 69,9      | 72,8       | 82,2     |
| 8                     | 16-11-2022 18:32:33    | E170    | A         | 71,3      | 74,5       | 83,6     |
| 8                     | 16-11-2022 18:35:11    | E170    | A         | 72,1      | 75,7       | 84,4     |

| Nr punktu pomiarowego | Data i godz. zdarzenia | Samolot | Operacja* | $L_{Aeq}$ | $L_{Amax}$ | $L_{AE}$ |
|-----------------------|------------------------|---------|-----------|-----------|------------|----------|
|                       |                        |         |           | [dB]      | [dB]       | [dB]     |
| 8                     | 16-11-2022 18:37:21    | E195    | A         | 72,4      | 76,7       | 85,0     |
| 8                     | 16-11-2022 18:44:56    | E190    | A         | 71,3      | 73,4       | 84,3     |
| 8                     | 16-11-2022 18:49:20    | E190    | A         | 71,4      | 76,0       | 85,0     |
| 8                     | 16-11-2022 18:51:29    | E195    | A         | 71,7      | 76,7       | 84,7     |
| 8                     | 16-11-2022 18:53:29    | E75S    | A         | 70,6      | 75,6       | 83,4     |
| 8                     | 16-11-2022 18:55:30    | A321    | A         | 70,8      | 75,9       | 84,2     |
| 8                     | 16-11-2022 18:57:31    | B738    | A         | 72,5      | 77,1       | 86,5     |
| 8                     | 16-11-2022 18:59:36    | E75S    | A         | 70,1      | 73,5       | 83,6     |
| 8                     | 16-11-2022 19:05:02    | DH8D    | A         | 70,9      | 74,4       | 82,1     |
| 8                     | 16-11-2022 19:07:13    | E195    | A         | 72,4      | 77,2       | 84,9     |
| 8                     | 16-11-2022 19:09:30    | E190    | A         | 71,2      | 74,6       | 85,3     |
| 8                     | 16-11-2022 19:11:42    | E295    | A         | 69,7      | 73,0       | 82,7     |
| 8                     | 16-11-2022 19:15:31    | E195    | A         | 70,4      | 74,3       | 83,2     |
| 8                     | 16-11-2022 19:18:01    | E190    | A         | 71,2      | 74,6       | 84,0     |
| 8                     | 16-11-2022 19:40:41    | E75S    | A         | 71,4      | 75,1       | 83,7     |
| 8                     | 16-11-2022 19:43:20    | B38M    | A         | 72,7      | 76,9       | 85,9     |
| 8                     | 16-11-2022 19:45:36    | SF34    | A         | 67,8      | 72,4       | 80,1     |
| 8                     | 16-11-2022 19:48:04    | E170    | A         | 72,6      | 76,3       | 84,4     |
| 8                     | 16-11-2022 20:19:03    | B38M    | A         | 72,7      | 75,8       | 85,7     |
| 8                     | 16-11-2022 20:45:43    | E75S    | A         | 69,5      | 73,6       | 82,8     |
| 8                     | 16-11-2022 20:47:16    | E75S    | A         | 71,4      | 75,2       | 85,0     |
| 8                     | 16-11-2022 20:56:49    | E190    | A         | 70,9      | 76,1       | 84,5     |
| 8                     | 16-11-2022 20:59:47    | E195    | A         | 70,9      | 75,0       | 84,5     |
| 8                     | 16-11-2022 21:02:37    | E195    | A         | 73,0      | 77,1       | 85,8     |
| 8                     | 16-11-2022 21:11:57    | E75S    | A         | 71,1      | 76,7       | 83,8     |
| 8                     | 16-11-2022 21:14:50    | E195    | A         | 71,2      | 75,0       | 83,2     |
| 8                     | 16-11-2022 21:18:46    | E195    | A         | 73,4      | 76,7       | 85,7     |
| 8                     | 16-11-2022 21:23:37    | E195    | A         | 72,5      | 76,6       | 85,3     |
| 8                     | 16-11-2022 21:25:41    | B38M    | A         | 71,9      | 76,4       | 85       |
| 8                     | 16-11-2022 21:27:58    | B38M    | A         | 72,2      | 76,1       | 84,8     |
| 8                     | 16-11-2022 21:30:05    | E195    | A         | 71,8      | 75,9       | 84,5     |
| 8                     | 16-11-2022 21:33:35    | A319    | A         | 70,6      | 74,0       | 82,0     |
| 8                     | 16-11-2022 21:35:45    | E75S    | A         | 70,7      | 74,4       | 82,8     |
| 8                     | 16-11-2022 21:38:14    | B738    | A         | 73,4      | 77,7       | 86,2     |
| 8                     | 16-11-2022 21:40:38    | E75S    | A         | 72,3      | 76,7       | 84,4     |
| 8                     | 16-11-2022 21:42:47    | DH8D    | A         | 69,2      | 73,4       | 81,8     |
| 8                     | 16-11-2022 21:51:34    | E75S    | A         | 71,0      | 73,6       | 83,0     |
| 8                     | 16-11-2022 21:54:12    | A21N    | A         | 71,1      | 73,8       | 81,8     |
| 8                     | 16-11-2022 21:56:35    | A320    | A         | 71,9      | 75,3       | 84,4     |
| 8                     | 16-11-2022 21:59:08    | E170    | A         | 72,3      | 75,9       | 84,3     |
| 8                     | 17-11-2022 06:10:46    | E195    | A         | 73,6      | 76,1       | 85,6     |
| 8                     | 17-11-2022 06:13:02    | E195    | A         | 71,6      | 75,4       | 84,2     |
| 8                     | 17-11-2022 06:15:03    | DH8D    | A         | 71,4      | 73,9       | 81,4     |
| 8                     | 17-11-2022 06:17:00    | B738    | A         | 72,5      | 75,9       | 85,7     |
| 8                     | 17-11-2022 06:19:17    | A306    | A         | 75,0      | 78,7       | 88,4     |
| 8                     | 17-11-2022 06:22:02    | E195    | A         | 71,9      | 75,3       | 84,2     |
| 8                     | 17-11-2022 06:24:03    | B738    | A         | 71,9      | 75,3       | 84,2     |
| 8                     | 17-11-2022 06:25:55    | E195    | A         | 73,2      | 76,6       | 85,3     |
| 8                     | 17-11-2022 06:27:59    | E75S    | A         | 71,6      | 75,5       | 84,2     |
| 8                     | 17-11-2022 06:31:19    | B738    | A         | 73,9      | 79,2       | 86,5     |
| 8                     | 17-11-2022 06:34:36    | E75S    | A         | 70,7      | 74,5       | 83,3     |
| 8                     | 17-11-2022 06:39:43    | E190    | A         | 72,3      | 75,1       | 83,8     |
| 8                     | 17-11-2022 06:45:13    | B38M    | A         | 72,4      | 75,4       | 84,5     |
| 8                     | 17-11-2022 08:01:00    | E190    | A         | 70,1      | 72,7       | 83,3     |
| 8                     | 17-11-2022 08:08:19    | E75S    | A         | 72,6      | 76,1       | 83,1     |
| 8                     | 17-11-2022 08:11:55    | E170    | A         | 70,6      | 73,8       | 82,3     |
| 8                     | 17-11-2022 08:21:05    | B737    | A         | 71,3      | 74,4       | 83,1     |

| Nr punktu pomiarowego | Data i godz. zdarzenia | Samolot | Operacja* | $L_{Aeq}$ | $L_{Amax}$ | $L_{AE}$ |
|-----------------------|------------------------|---------|-----------|-----------|------------|----------|
|                       |                        |         |           | [dB]      | [dB]       | [dB]     |
| 8                     | 17-11-2022 08:24:06    | E75S    | A         | 69,7      | 71,7       | 80,8     |
| 8                     | 17-11-2022 08:28:25    | A321    | A         | 71,5      | 73,9       | 82,3     |
| 8                     | 17-11-2022 08:32:56    | A21N    | A         | 71,2      | 72,9       | 81,2     |
| 8                     | 17-11-2022 08:35:20    | B738    | A         | 72,2      | 76,0       | 85,2     |
| 8                     | 17-11-2022 08:39:02    | E195    | A         | 71,7      | 75,4       | 83,7     |
| 8                     | 17-11-2022 08:43:27    | E190    | A         | 71,7      | 74,7       | 84,5     |
| 8                     | 17-11-2022 08:53:42    | B38M    | A         | 71,5      | 74,8       | 84,1     |
| 8                     | 17-11-2022 08:57:19    | E170    | A         | 71,0      | 73,3       | 81,8     |
| 8                     | 17-11-2022 08:59:38    | E190    | A         | 72,0      | 75,5       | 85,2     |
| 8                     | 17-11-2022 09:05:45    | E75S    | A         | 70,4      | 74,7       | 82,7     |
| 8                     | 17-11-2022 09:15:59    | E195    | A         | 72,9      | 77,1       | 84,9     |
| 8                     | 17-11-2022 09:18:36    | DH8D    | A         | 70,6      | 72,6       | 81,0     |
| 8                     | 17-11-2022 09:20:44    | E75S    | A         | 69,9      | 73,1       | 81,4     |
| 8                     | 17-11-2022 09:23:39    | E75S    | A         | 70,2      | 72,7       | 81,3     |
| 8                     | 17-11-2022 09:25:37    | E190    | A         | 72,3      | 76,0       | 85,1     |
| 8                     | 17-11-2022 09:27:58    | E75S    | A         | 71,5      | 74,6       | 83,8     |
| 8                     | 17-11-2022 09:30:03    | E195    | A         | 72,0      | 77,6       | 84,8     |
| 8                     | 17-11-2022 09:32:22    | DH8D    | A         | 71,8      | 73,6       | 81,8     |
| 8                     | 17-11-2022 09:37:17    | CRJ9    | A         | 70,1      | 71,4       | 80,6     |
| 8                     | 17-11-2022 09:44:48    | B38M    | A         | 71,5      | 75,1       | 83,8     |
| 8                     | 17-11-2022 09:59:42    | DH8D    | A         | 71,5      | 73,3       | 81,5     |
| 8                     | 17-11-2022 10:49:44    | E195    | A         | 72,3      | 75,4       | 84,8     |
| 8                     | 17-11-2022 10:55:25    | CL35    | A         | 81,7      | 88,3       | 95,6     |
| 8                     | 17-11-2022 10:57:44    | E75S    | A         | 71,0      | 73,3       | 82,7     |
| 8                     | 17-11-2022 11:02:50    | E170    | A         | 71,2      | 74,3       | 83,0     |
| 8                     | 17-11-2022 11:09:31    | B738    | A         | 72,2      | 77,3       | 85,0     |
| 8                     | 17-11-2022 11:12:58    | A321    | A         | 71,7      | 75,0       | 83,1     |
| 8                     | 17-11-2022 11:15:07    | B77W    | A         | 74,3      | 80,5       | 88,9     |
| 8                     | 17-11-2022 11:26:40    | A321    | A         | 70,5      | 74,0       | 82,8     |
| 8                     | 17-11-2022 11:31:35    | B789    | A         | 71,5      | 74,6       | 85,3     |
| 8                     | 17-11-2022 11:34:10    | E195    | A         | 71,9      | 75,5       | 83,7     |
| 8                     | 17-11-2022 11:36:18    | A320    | A         | 71,3      | 73,7       | 80,9     |
| 8                     | 17-11-2022 11:43:48    | DH8D    | A         | 71,1      | 73,0       | 81,5     |
| 8                     | 17-11-2022 11:46:56    | E170    | A         | 70,9      | 74,0       | 82,4     |
| 8                     | 17-11-2022 11:55:39    | A321    | A         | 70,9      | 73,8       | 82,0     |
| 8                     | 17-11-2022 11:58:08    | E190    | A         | 71,5      | 75,5       | 84,3     |
| 8                     | 17-11-2022 12:02:11    | E75S    | A         | 69,9      | 72,0       | 81,0     |
| 8                     | 17-11-2022 12:05:09    | BCS3    | A         | 69,6      | 71,3       | 79,1     |
| 8                     | 17-11-2022 12:07:03    | A333    | A         | 73,5      | 78,3       | 87,8     |
| 8                     | 17-11-2022 12:09:14    | B788    | A         | 72,2      | 75,0       | 84,5     |
| 8                     | 17-11-2022 12:11:45    | E190    | A         | 72,0      | 75,1       | 83,7     |
| 8                     | 17-11-2022 12:13:54    | B789    | A         | 70,9      | 74,8       | 84,7     |
| 8                     | 17-11-2022 12:16:13    | E190    | A         | 72,5      | 75,7       | 84,5     |
| 8                     | 17-11-2022 12:18:09    | B738    | A         | 73,0      | 77,1       | 85,0     |
| 8                     | 17-11-2022 12:20:01    | E190    | A         | 71,4      | 75,6       | 84,0     |
| 8                     | 17-11-2022 12:21:58    | E170    | A         | 70,9      | 74,8       | 83,3     |
| 8                     | 17-11-2022 12:23:41    | E195    | A         | 72,7      | 75,7       | 85,3     |
| 8                     | 17-11-2022 12:25:51    | E75S    | A         | 72,0      | 74,9       | 83,2     |
| 8                     | 17-11-2022 12:27:43    | E195    | A         | 71,2      | 74,4       | 83,7     |
| 8                     | 17-11-2022 12:30:13    | DH8D    | A         | 70,2      | 71,9       | 81,3     |
| 8                     | 17-11-2022 12:32:05    | E195    | A         | 72,6      | 77,0       | 85,4     |
| 8                     | 17-11-2022 12:34:53    | DH8D    | A         | 71,9      | 73,3       | 81,9     |
| 8                     | 17-11-2022 12:38:42    | E75S    | A         | 70,7      | 74,6       | 82,7     |
| 8                     | 17-11-2022 12:44:57    | B789    | A         | 72,4      | 76,2       | 85,2     |
| 8                     | 17-11-2022 12:47:38    | E190    | A         | 72,2      | 75,4       | 84,5     |
| 8                     | 17-11-2022 12:49:26    | A319    | A         | 70,7      | 73,8       | 82,7     |
| 8                     | 17-11-2022 12:51:17    | E170    | A         | 71,1      | 73,5       | 82,2     |

| Nr punktu pomiarowego | Data i godz. zdarzenia | Samolot | Operacja* | $L_{Aeq}$ | $L_{Amax}$ | $L_{AE}$ |
|-----------------------|------------------------|---------|-----------|-----------|------------|----------|
|                       |                        |         |           | [dB]      | [dB]       | [dB]     |
| 8                     | 17-11-2022 12:55:21    | E195    | A         | 72,3      | 76,0       | 85,3     |
| 8                     | 17-11-2022 12:57:28    | E190    | A         | 71,3      | 74,5       | 83,8     |
| 8                     | 17-11-2022 12:59:26    | E170    | A         | 71,4      | 74,6       | 82,5     |
| 8                     | 17-11-2022 13:02:01    | B738    | A         | 72,7      | 75,9       | 85       |
| 8                     | 17-11-2022 13:19:49    | E75S    | A         | 71,2      | 72,8       | 81,6     |
| 8                     | 17-11-2022 13:32:53    | A21N    | A         | 71,0      | 73,1       | 81,0     |
| 8                     | 17-11-2022 13:39:54    | E195    | A         | 70,9      | 74,2       | 83,2     |
| 8                     | 17-11-2022 13:42:29    | E290    | A         | 69,9      | 72,9       | 81,0     |
| 8                     | 17-11-2022 13:44:58    | B789    | A         | 72,5      | 75,7       | 84,5     |
| 8                     | 17-11-2022 13:49:13    | B38M    | A         | 72,0      | 76,8       | 84,6     |
| 8                     | 17-11-2022 13:51:46    | A21N    | A         | 71,5      | 73,8       | 82,3     |
| 8                     | 17-11-2022 13:53:34    | E75S    | A         | 78,8      | 85,7       | 92       |
| 8                     | 17-11-2022 14:03:25    | A321    | A         | 71,7      | 75,3       | 83,5     |
| 8                     | 17-11-2022 14:05:19    | E195    | A         | 71,3      | 74,1       | 83,6     |
| 8                     | 17-11-2022 14:22:35    | E190    | A         | 71,9      | 75,6       | 86,2     |
| 8                     | 17-11-2022 14:28:11    | B38M    | A         | 71,9      | 74,8       | 81,9     |
| 8                     | 17-11-2022 14:36:20    | B38M    | A         | 71,7      | 74,9       | 82,8     |
| 8                     | 17-11-2022 14:43:08    | E75S    | A         | 71,1      | 74,0       | 81,5     |
| 8                     | 17-11-2022 15:00:19    | A21N    | A         | 71,9      | 73,5       | 81,9     |
| 8                     | 17-11-2022 15:10:13    | B738    | A         | 73,6      | 76,4       | 84,4     |
| 8                     | 17-11-2022 15:16:20    | E75S    | A         | 71,6      | 74,5       | 82,4     |
| 8                     | 17-11-2022 15:19:08    | E75S    | A         | 69,4      | 70,9       | 79,4     |
| 8                     | 17-11-2022 15:26:33    | E195    | A         | 71,9      | 74,4       | 83,0     |
| 8                     | 17-11-2022 15:32:29    | B788    | A         | 70,4      | 72,1       | 82,2     |
| 8                     | 17-11-2022 15:35:18    | DH8D    | A         | 70,1      | 72,9       | 81,5     |
| 8                     | 17-11-2022 15:37:33    | E75S    | A         | 69,8      | 71,8       | 80,6     |
| 8                     | 17-11-2022 15:39:38    | E195    | A         | 72,8      | 75,3       | 85,1     |
| 8                     | 17-11-2022 15:41:34    | E75S    | A         | 70,5      | 72,2       | 80,9     |
| 8                     | 17-11-2022 15:43:30    | E190    | A         | 70,7      | 74,2       | 83,2     |
| 8                     | 17-11-2022 15:46:16    | A321    | A         | 71,9      | 74,5       | 81,9     |
| 8                     | 17-11-2022 15:49:10    | E190    | A         | 71,5      | 73,9       | 83,0     |
| 8                     | 17-11-2022 15:52:39    | E190    | A         | 72,1      | 74,6       | 83,3     |
| 8                     | 17-11-2022 15:58:33    | E190    | A         | 70,8      | 73,0       | 82,3     |
| 8                     | 17-11-2022 16:00:34    | E195    | A         | 72,7      | 75,1       | 84,2     |
| 8                     | 17-11-2022 16:02:32    | E75S    | A         | 70,5      | 72,2       | 80,1     |
| 8                     | 17-11-2022 16:06:05    | A320    | A         | 72,1      | 75,4       | 83,3     |
| 8                     | 17-11-2022 16:21:21    | E195    | A         | 72,1      | 74,1       | 83,9     |
| 8                     | 17-11-2022 16:43:38    | B38M    | A         | 70,5      | 73,4       | 81,9     |
| 8                     | 17-11-2022 16:49:18    | C295    | A         | 71,0      | 73,0       | 80,0     |
| 8                     | 17-11-2022 16:53:15    | A320    | A         | 70,7      | 73,1       | 81,8     |
| 8                     | 17-11-2022 16:58:40    | A321    | A         | 71,7      | 74,4       | 82,5     |
| 8                     | 17-11-2022 17:04:27    | B788    | A         | 71,7      | 73,9       | 83,1     |
| 8                     | 17-11-2022 17:10:58    | B788    | A         | 70,6      | 73,8       | 83,8     |
| 8                     | 17-11-2022 17:27:02    | DH8D    | A         | 69,1      | 70,8       | 78,2     |
| 8                     | 17-11-2022 17:32:44    | A320    | A         | 72,2      | 75,9       | 84,0     |
| 8                     | 17-11-2022 17:43:18    | B789    | A         | 70,8      | 73,9       | 84,4     |
| 8                     | 17-11-2022 17:45:36    | E170    | A         | 71,4      | 73,4       | 81,4     |
| 8                     | 17-11-2022 17:48:27    | CRJ9    | A         | 70,1      | 71,9       | 80,5     |
| 8                     | 17-11-2022 17:50:22    | E190    | A         | 71        | 73,3       | 82,8     |
| 8                     | 17-11-2022 17:57:36    | E75S    | A         | 70,3      | 73,1       | 82,1     |
| 8                     | 17-11-2022 18:17:00    | B38M    | A         | 70,7      | 74,4       | 82,7     |
| 8                     | 17-11-2022 18:24:54    | E75S    | A         | 68,8      | 70,8       | 79,2     |
| 8                     | 17-11-2022 18:31:38    | E195    | A         | 71,6      | 74,4       | 83,9     |
| 8                     | 17-11-2022 18:33:35    | E190    | A         | 70,7      | 73,4       | 82,8     |
| 8                     | 17-11-2022 18:37:33    | A319    | A         | 69,7      | 72,2       | 80,9     |
| 8                     | 17-11-2022 18:39:53    | E195    | A         | 70,7      | 74         | 83,2     |
| 8                     | 17-11-2022 18:42:34    | E195    | A         | 70,5      | 73,5       | 83,5     |

| Nr punktu pomiarowego | Data i godz. zdarzenia | Samolot | Operacja* | $L_{Aeq}$ | $L_{Amax}$ | $L_{AE}$ |
|-----------------------|------------------------|---------|-----------|-----------|------------|----------|
|                       |                        |         |           | [dB]      | [dB]       | [dB]     |
| 8                     | 17-11-2022 18:46:08    | E190    | A         | 70,5      | 73,4       | 82,5     |
| 8                     | 17-11-2022 18:48:19    | E170    | A         | 69,4      | 72,1       | 81,4     |
| 8                     | 17-11-2022 18:50:34    | E75S    | A         | 70,4      | 73,2       | 81,5     |
| 8                     | 17-11-2022 18:52:28    | CRJ9    | A         | 69,5      | 71,6       | 80,6     |
| 8                     | 17-11-2022 18:54:23    | E190    | A         | 70,5      | 74,3       | 82,2     |
| 8                     | 17-11-2022 19:00:52    | E195    | A         | 70,9      | 74,6       | 83,9     |
| 8                     | 17-11-2022 19:02:46    | E170    | A         | 70,6      | 73,7       | 82,9     |
| 8                     | 17-11-2022 19:04:40    | DH8D    | A         | 70,3      | 72,3       | 81,1     |
| 8                     | 17-11-2022 19:06:41    | E195    | A         | 72,2      | 75,3       | 83,9     |
| 8                     | 17-11-2022 19:08:51    | GLF5    | A         | 67,1      | 68,3       | 77,1     |
| 8                     | 17-11-2022 19:10:54    | E75S    | A         | 69,4      | 72,3       | 81,1     |
| 8                     | 17-11-2022 19:12:51    | E195    | A         | 72,4      | 75,4       | 84,7     |
| 8                     | 17-11-2022 19:14:35    | B788    | A         | 71,6      | 74,5       | 84,1     |
| 8                     | 17-11-2022 19:16:41    | E195    | A         | 70,9      | 73,6       | 82,9     |
| 8                     | 17-11-2022 19:18:30    | E190    | A         | 69,9      | 72,3       | 81,4     |
| 8                     | 17-11-2022 19:21:40    | A20N    | A         | 69,2      | 71,6       | 81,6     |
| 8                     | 17-11-2022 19:24:55    | SF34    | A         | 70,6      | 73,2       | 79,6     |
| 8                     | 17-11-2022 19:39:45    | BCS3    | A         | 69,5      | 71,2       | 79,1     |
| 8                     | 17-11-2022 19:41:29    | E170    | A         | 69,0      | 71,8       | 80,8     |
| 8                     | 17-11-2022 19:46:17    | E75S    | A         | 70,7      | 73,9       | 82,2     |
| 8                     | 17-11-2022 19:58:17    | B738    | A         | 72,4      | 76,4       | 84,7     |
| 8                     | 17-11-2022 20:00:35    | E190    | A         | 71,0      | 74,3       | 83,3     |
| 8                     | 17-11-2022 20:35:07    | B38M    | A         | 71,0      | 74,3       | 83,3     |
| 8                     | 17-11-2022 20:55:00    | E75S    | A         | 71,2      | 74,7       | 82,4     |
| 8                     | 17-11-2022 20:58:11    | E75S    | A         | 70,0      | 72,9       | 81,1     |
| 8                     | 17-11-2022 21:01:01    | E195    | A         | 72,0      | 74,3       | 83,7     |
| 8                     | 17-11-2022 21:07:19    | E190    | A         | 70,9      | 74,0       | 82,9     |
| 8                     | 17-11-2022 21:15:45    | B38M    | A         | 71,1      | 74,3       | 82,6     |
| 8                     | 17-11-2022 21:18:07    | B38M    | A         | 69,6      | 73,3       | 82,2     |
| 8                     | 17-11-2022 21:31:49    | E75S    | A         | 70,3      | 73,4       | 82,3     |
| 8                     | 17-11-2022 21:33:48    | E75S    | A         | 70,2      | 71,7       | 80,2     |
| 8                     | 17-11-2022 21:35:30    | E75S    | A         | 70,9      | 73,7       | 82,1     |
| 8                     | 17-11-2022 21:40:47    | E195    | A         | 71,7      | 74,7       | 84,0     |
| 8                     | 17-11-2022 21:42:45    | B38M    | A         | 71,7      | 75,8       | 83,4     |
| 8                     | 17-11-2022 21:44:31    | DH8D    | A         | 68,2      | 69,1       | 77,2     |
| 8                     | 17-11-2022 21:46:06    | B738    | A         | 71,4      | 75,7       | 83,9     |
| 8                     | 17-11-2022 21:48:07    | E190    | A         | 70,7      | 73,7       | 82,7     |
| 8                     | 17-11-2022 21:50:13    | B738    | A         | 72,1      | 75,8       | 84,4     |
| 8                     | 17-11-2022 21:52:50    | A320    | A         | 71,6      | 75,2       | 83,4     |
| 8                     | 17-11-2022 21:54:43    | A319    | A         | 68,9      | 72,0       | 81,2     |
| 8                     | 17-11-2022 21:56:43    | E195    | A         | 71,2      | 73,6       | 83,3     |
| 8                     | 17-11-2022 21:58:48    | E170    | A         | 70,4      | 73,0       | 80,4     |
| 8                     | 18-11-2022 06:06:34    | E75S    | A         | 71,0      | 75,9       | 83,4     |
| 8                     | 18-11-2022 06:09:26    | A21N    | A         | 70,7      | 74,1       | 83       |
| 8                     | 18-11-2022 06:13:44    | E170    | A         | 70,2      | 72,2       | 80,6     |
| 8                     | 18-11-2022 06:16:30    | E190    | A         | 71,8      | 74,8       | 83,6     |
| 8                     | 18-11-2022 06:18:26    | B738    | A         | 71,5      | 75,1       | 83,8     |
| 8                     | 18-11-2022 06:20:21    | E75S    | A         | 71,7      | 74,1       | 82,1     |
| 8                     | 18-11-2022 06:22:24    | E195    | A         | 71,7      | 74,6       | 84,4     |
| 8                     | 18-11-2022 06:24:20    | E75S    | A         | 70,4      | 73,6       | 82,1     |
| 8                     | 18-11-2022 06:28:57    | DH8D    | A         | 70,9      | 73,8       | 81,4     |
| 8                     | 18-11-2022 06:30:42    | E190    | A         | 71,6      | 74,7       | 84,1     |
| 8                     | 18-11-2022 06:33:22    | DH8D    | A         | 70,9      | 73,1       | 80,5     |
| 8                     | 18-11-2022 06:36:05    | B738    | A         | 73,1      | 77,9       | 85,1     |
| 8                     | 18-11-2022 06:37:56    | E195    | A         | 71,7      | 74,6       | 83,5     |
| 8                     | 18-11-2022 06:50:11    | B789    | A         | 71,4      | 75,4       | 84,8     |
| 8                     | 18-11-2022 07:34:27    | B38M    | A         | 72,4      | 75,5       | 83,8     |

| Nr punktu pomiarowego | Data i godz. zdarzenia | Samolot | Operacja* | $L_{Aeq}$ | $L_{Max}$ | $L_{AE}$ |
|-----------------------|------------------------|---------|-----------|-----------|-----------|----------|
|                       |                        |         |           | [dB]      | [dB]      | [dB]     |
| 8                     | 18-11-2022 08:08:53    | E75S    | A         | 71,3      | 73,6      | 82,1     |
| 8                     | 18-11-2022 08:11:12    | E195    | A         | 73,2      | 75,8      | 85,5     |
| 8                     | 18-11-2022 08:17:35    | E170    | A         | 70,8      | 72,8      | 81,9     |
| 8                     | 18-11-2022 08:19:56    | B738    | A         | 72,6      | 76,5      | 84,4     |
| 8                     | 18-11-2022 08:22:34    | E75S    | A         | 70,3      | 73,3      | 81,7     |
| 8                     | 18-11-2022 08:27:45    | E195    | A         | 73,8      | 77,7      | 85,3     |
| 8                     | 18-11-2022 08:40:14    | A320    | A         | 72,0      | 75,4      | 83,7     |
| 8                     | 18-11-2022 08:45:33    | E170    | A         | 70,9      | 73,0      | 81,7     |
| 8                     | 18-11-2022 08:49:23    | M28     | A         | 71,0      | 73,5      | 80,1     |
| 8                     | 18-11-2022 08:54:26    | E170    | A         | 70,4      | 72,7      | 81,9     |
| 8                     | 18-11-2022 08:57:05    | E195    | A         | 73,2      | 75,2      | 83,6     |
| 8                     | 18-11-2022 09:03:07    | E195    | A         | 72,0      | 74,6      | 83,1     |
| 8                     | 18-11-2022 09:15:02    | E190    | A         | 71,7      | 75,1      | 83,8     |
| 8                     | 18-11-2022 09:16:44    | E190    | A         | 69,7      | 73,1      | 83,0     |
| 8                     | 18-11-2022 09:18:39    | DH8D    | A         | 70,3      | 72,0      | 80,3     |
| 8                     | 18-11-2022 09:20:40    | E75S    | A         | 70,8      | 73,6      | 82,3     |
| 8                     | 18-11-2022 09:22:26    | CRJ9    | A         | 70,0      | 71,9      | 80,4     |
| 8                     | 18-11-2022 09:24:16    | E195    | A         | 71,0      | 74,1      | 83,6     |
| 8                     | 18-11-2022 09:26:20    | DH8D    | A         | 70,3      | 73,7      | 81,5     |
| 8                     | 18-11-2022 09:28:07    | E190    | A         | 72,5      | 75,4      | 84,2     |
| 8                     | 18-11-2022 09:30:01    | E170    | A         | 70,7      | 73,9      | 82,2     |
| 8                     | 18-11-2022 09:31:55    | E190    | A         | 71,5      | 75,3      | 84,3     |
| 8                     | 18-11-2022 09:40:55    | B38M    | A         | 70,7      | 73,1      | 81,8     |
| 8                     | 18-11-2022 09:42:54    | E75S    | A         | 71,1      | 73,7      | 81,1     |
| 8                     | 18-11-2022 09:51:42    | A21N    | A         | 70,6      | 72,6      | 80,6     |
| 8                     | 18-11-2022 09:57:41    | E190    | A         | 72        | 74,1      | 83,8     |
| 8                     | 18-11-2022 10:38:45    | E75S    | A         | 69,9      | 71,8      | 79,9     |
| 8                     | 18-11-2022 10:41:18    | B789    | A         | 71,8      | 75,1      | 84,6     |
| 8                     | 18-11-2022 10:50:07    | A321    | A         | 71,0      | 73,9      | 81,8     |
| 8                     | 18-11-2022 10:59:54    | DH8D    | A         | 70,8      | 72,3      | 79,9     |
| 8                     | 18-11-2022 11:06:45    | B738    | A         | 72,8      | 76,3      | 84,5     |
| 8                     | 18-11-2022 11:09:03    | E170    | A         | 71,2      | 73,9      | 81,6     |
| 8                     | 18-11-2022 11:29:20    | A321    | A         | 70,3      | 73,2      | 81,7     |
| 8                     | 18-11-2022 11:35:48    | A321    | A         | 70,0      | 73,6      | 81,4     |
| 8                     | 18-11-2022 11:42:31    | E195    | A         | 72,7      | 74,9      | 83,5     |
| 8                     | 18-11-2022 11:47:14    | B77W    | A         | 74,0      | 79,3      | 88,3     |
| 8                     | 18-11-2022 11:55:36    | A21N    | A         | 69,7      | 72,5      | 80,5     |
| 8                     | 18-11-2022 12:02:46    | B738    | A         | 72,4      | 75,7      | 84,7     |
| 8                     | 18-11-2022 12:04:43    | A21N    | A         | 70,4      | 72,7      | 81,2     |
| 8                     | 18-11-2022 12:06:18    | A333    | A         | 72,7      | 77,1      | 86,1     |
| 8                     | 18-11-2022 12:08:37    | E190    | A         | 72,0      | 76,9      | 84,3     |
| 8                     | 18-11-2022 12:10:39    | A21N    | A         | 68,8      | 71,3      | 80,3     |
| 8                     | 18-11-2022 12:12:32    | E195    | A         | 70,7      | 74,5      | 83,2     |
| 8                     | 18-11-2022 12:14:42    | B738    | A         | 70,6      | 74,0      | 81,8     |
| 8                     | 18-11-2022 12:16:38    | E75S    | A         | 70,6      | 72,5      | 81,4     |
| 8                     | 18-11-2022 12:18:55    | B738    | A         | 71,5      | 74,4      | 83,6     |
| 8                     | 18-11-2022 12:20:37    | E75S    | A         | 71,4      | 73,8      | 81,4     |
| 8                     | 18-11-2022 12:22:19    | E170    | A         | 69,8      | 72,6      | 80,6     |
| 8                     | 18-11-2022 12:25:13    | A21N    | A         | 69,0      | 72,6      | 82,3     |
| 8                     | 18-11-2022 12:26:55    | BCS3    | A         | 69,0      | 70,4      | 78,1     |
| 8                     | 18-11-2022 12:28:41    | E75S    | A         | 71,7      | 74,4      | 82,8     |
| 8                     | 18-11-2022 12:30:50    | B789    | A         | 71,4      | 75,0      | 84,2     |
| 8                     | 18-11-2022 12:33:14    | E75S    | A         | 70,9      | 73,1      | 81,7     |
| 8                     | 18-11-2022 12:34:59    | B788    | A         | 71,0      | 73,4      | 83,0     |
| 8                     | 18-11-2022 12:37:17    | E195    | A         | 71,8      | 74,4      | 83,0     |
| 8                     | 18-11-2022 12:38:57    | B738    | A         | 72,0      | 74,6      | 83,7     |
| 8                     | 18-11-2022 12:40:42    | A321    | A         | 70,3      | 72,8      | 81,5     |

| Nr punktu pomiarowego | Data i godz. zdarzenia | Samolot | Operacja* | $L_{Aeq}$ | $L_{Amax}$ | $L_{AE}$ |
|-----------------------|------------------------|---------|-----------|-----------|------------|----------|
|                       |                        |         |           | [dB]      | [dB]       | [dB]     |
| 8                     | 18-11-2022 12:45:42    | E190    | A         | 71,2      | 75,0       | 83,2     |
| 8                     | 18-11-2022 12:47:37    | A319    | A         | 71,9      | 74,4       | 82,7     |
| 8                     | 18-11-2022 12:49:26    | DH8D    | A         | 70,7      | 73,2       | 80,7     |
| 8                     | 18-11-2022 12:51:23    | E190    | A         | 71,7      | 74,7       | 83,1     |
| 8                     | 18-11-2022 12:53:14    | B789    | A         | 71,3      | 75,2       | 84,0     |
| 8                     | 18-11-2022 12:55:39    | E190    | A         | 70,5      | 74,5       | 84,1     |
| 8                     | 18-11-2022 12:57:32    | E75S    | A         | 70,5      | 72,9       | 81,2     |
| 8                     | 18-11-2022 13:00:29    | E190    | A         | 71,2      | 74,5       | 83,8     |
| 8                     | 18-11-2022 13:06:32    | E75S    | A         | 69,9      | 73,9       | 82,2     |
| 8                     | 18-11-2022 13:15:48    | E195    | A         | 71,4      | 75,7       | 83,9     |
| 8                     | 18-11-2022 13:19:57    | E170    | A         | 71,1      | 73,3       | 81,5     |
| 8                     | 18-11-2022 13:21:55    | E195    | A         | 72,7      | 76,9       | 84,7     |
| 8                     | 18-11-2022 13:37:53    | B788    | A         | 70,1      | 73,6       | 83,1     |
| 8                     | 18-11-2022 13:40:29    | E75S    | A         | 70,2      | 72,4       | 81,0     |
| 8                     | 18-11-2022 13:47:42    | B38M    | A         | 70,6      | 73,5       | 82,9     |
| 8                     | 18-11-2022 13:50:38    | BCS3    | A         | 70,0      | 71,8       | 80,0     |
| 8                     | 18-11-2022 13:56:02    | B789    | A         | 72,0      | 75,2       | 83,8     |
| 8                     | 18-11-2022 14:01:22    | A21N    | A         | 70,7      | 72,7       | 80,2     |
| 8                     | 18-11-2022 14:05:58    | E195    | A         | 70,6      | 73,6       | 82,6     |
| 8                     | 18-11-2022 14:08:36    | E170    | A         | 69,1      | 71,1       | 79,5     |
| 8                     | 18-11-2022 14:15:30    | B738    | A         | 71,2      | 74,3       | 83,0     |
| 8                     | 18-11-2022 14:20:37    | E170    | A         | 71,7      | 74,5       | 83,1     |
| 8                     | 18-11-2022 14:24:32    | B38M    | A         | 71,6      | 74,4       | 83,0     |
| 8                     | 18-11-2022 14:36:32    | A319    | A         | 71,7      | 75,3       | 83,2     |
| 8                     | 18-11-2022 14:44:36    | E195    | A         | 71,9      | 74,4       | 83,4     |
| 8                     | 18-11-2022 14:48:49    | E170    | A         | 69,5      | 70,6       | 78,6     |
| 8                     | 18-11-2022 14:53:08    | E190    | A         | 70,1      | 73,3       | 82,2     |
| 8                     | 18-11-2022 14:57:23    | A21N    | A         | 70,5      | 73,9       | 82,6     |
| 8                     | 18-11-2022 15:06:11    | E195    | A         | 71,4      | 74,7       | 83,1     |
| 8                     | 18-11-2022 15:08:56    | B738    | A         | 71,7      | 76,4       | 84,2     |
| 8                     | 18-11-2022 15:30:29    | E195    | A         | 71,2      | 75,3       | 84,6     |
| 8                     | 18-11-2022 15:33:24    | E195    | A         | 73,2      | 78,3       | 86,6     |
| 8                     | 18-11-2022 15:35:19    | E195    | A         | 71,7      | 74,9       | 83,5     |
| 8                     | 18-11-2022 15:37:35    | E75S    | A         | 70,4      | 74,0       | 83,0     |
| 8                     | 18-11-2022 15:39:45    | E195    | A         | 71,5      | 74,3       | 83,5     |
| 8                     | 18-11-2022 15:41:58    | E190    | A         | 71,6      | 74,9       | 83,4     |
| 8                     | 18-11-2022 15:44:16    | E75S    | A         | 71,4      | 74,0       | 81,4     |
| 8                     | 18-11-2022 15:46:33    | E195    | A         | 71,5      | 75,3       | 84,1     |
| 8                     | 18-11-2022 15:51:08    | E75S    | A         | 70,6      | 73,8       | 82,6     |
| 8                     | 18-11-2022 15:58:57    | E195    | A         | 72,4      | 75,6       | 84,7     |
| 8                     | 18-11-2022 16:00:55    | E190    | A         | 70,7      | 74,5       | 83,5     |
| 8                     | 18-11-2022 16:02:47    | E190    | A         | 72,5      | 75,2       | 84,3     |
| 8                     | 18-11-2022 16:10:30    | A319    | A         | 71,6      | 74,1       | 83,1     |
| 8                     | 18-11-2022 16:12:54    | A21N    | A         | 71,2      | 73,4       | 82,0     |
| 8                     | 18-11-2022 16:16:30    | A320    | A         | 72,3      | 76,2       | 84,9     |
| 8                     | 18-11-2022 16:23:29    | E190    | A         | 71,9      | 76,1       | 84,9     |
| 8                     | 18-11-2022 16:56:41    | A321    | A         | 72,6      | 75,9       | 83,4     |
| 8                     | 18-11-2022 17:10:17    | A321    | A         | 70,8      | 74,0       | 83,1     |
| 8                     | 18-11-2022 17:33:26    | A320    | A         | 71,3      | 74,3       | 82,7     |
| 8                     | 18-11-2022 17:37:11    | C295    | A         | 70,7      | 73,3       | 80,7     |
| 8                     | 18-11-2022 17:44:41    | A332    | A         | 71,2      | 74,5       | 84,3     |
| 8                     | 18-11-2022 17:47:47    | DH8D    | A         | 71,3      | 73,9       | 80,3     |
| 8                     | 18-11-2022 17:53:45    | CRJ9    | A         | 70,3      | 72,9       | 81,4     |
| 8                     | 18-11-2022 17:57:18    | E75S    | A         | 70,7      | 73,1       | 82,7     |
| 8                     | 18-11-2022 18:02:52    | B738    | A         | 73,4      | 78,2       | 87,5     |
| 8                     | 18-11-2022 18:08:59    | CRJ9    | A         | 70,1      | 72,4       | 82,1     |
| 8                     | 18-11-2022 18:11:03    | E170    | A         | 70,6      | 74,1       | 82,1     |

| Nr punktu pomiarowego | Data i godz. zdarzenia | Samolot | Operacja* | $L_{Aeq}$ | $L_{Amax}$ | $L_{AE}$ |
|-----------------------|------------------------|---------|-----------|-----------|------------|----------|
|                       |                        |         |           | [dB]      | [dB]       | [dB]     |
| 8                     | 18-11-2022 18:13:03    | E75S    | A         | 69,4      | 73,2       | 81,1     |
| 8                     | 18-11-2022 18:29:51    | A319    | A         | 71,5      | 76,2       | 84,3     |
| 8                     | 18-11-2022 18:32:13    | E195    | A         | 72,2      | 76,6       | 84,5     |
| 8                     | 18-11-2022 18:34:31    | B738    | A         | 72,7      | 76,5       | 85,5     |
| 8                     | 18-11-2022 18:38:37    | E195    | A         | 71,2      | 74,5       | 83,3     |
| 8                     | 18-11-2022 18:41:30    | E190    | A         | 71,2      | 75,5       | 84,7     |
| 8                     | 18-11-2022 18:44:23    | E195    | A         | 71,6      | 75,9       | 84,3     |
| 8                     | 18-11-2022 19:03:11    | B738    | A         | 71,0      | 73,9       | 83,0     |
| 8                     | 18-11-2022 19:05:39    | E170    | A         | 69,8      | 73,9       | 82,4     |
| 8                     | 18-11-2022 19:07:34    | E170    | A         | 70,8      | 73,8       | 81,6     |
| 8                     | 18-11-2022 19:09:21    | E170    | A         | 69,9      | 73,3       | 82,4     |
| 8                     | 18-11-2022 19:11:21    | E75S    | A         | 69,5      | 72,7       | 82,3     |
| 8                     | 18-11-2022 19:13:28    | E290    | A         | 69,2      | 72,6       | 81,5     |
| 8                     | 18-11-2022 19:15:14    | E170    | A         | 71,0      | 74,1       | 83,3     |
| 8                     | 18-11-2022 19:17:08    | E75S    | A         | 70,2      | 74,5       | 82,9     |
| 8                     | 18-11-2022 19:26:55    | E190    | A         | 69,6      | 72,6       | 82,1     |
| 8                     | 18-11-2022 19:29:08    | B38M    | A         | 71,2      | 74,8       | 83,2     |
| 8                     | 18-11-2022 19:32:05    | B789    | A         | 70,1      | 73,5       | 82,4     |
| 8                     | 18-11-2022 19:34:32    | E75S    | A         | 69,9      | 73,8       | 82,7     |
| 8                     | 18-11-2022 19:57:42    | E75S    | A         | 71,0      | 74,1       | 82,7     |
| 8                     | 18-11-2022 20:12:49    | B788    | A         | 69,7      | 73,8       | 83,5     |
| 8                     | 18-11-2022 20:23:08    | B38M    | A         | 70,1      | 74,8       | 83,5     |
| 8                     | 18-11-2022 20:36:48    | B789    | A         | 71,1      | 74,8       | 84,3     |
| 8                     | 18-11-2022 20:43:26    | B738    | A         | 72,7      | 75,9       | 84,5     |
| 8                     | 18-11-2022 20:46:07    | E195    | A         | 72,9      | 76,7       | 85,4     |
| 8                     | 18-11-2022 20:58:35    | E190    | A         | 71,1      | 75,2       | 82,8     |
| 8                     | 18-11-2022 21:01:58    | E75S    | A         | 71,4      | 73,9       | 81,8     |
| 8                     | 18-11-2022 21:04:54    | E195    | A         | 71,8      | 75,1       | 84,4     |
| 8                     | 18-11-2022 21:07:25    | E75S    | A         | 69,5      | 74,1       | 82,3     |
| 8                     | 18-11-2022 21:10:25    | E195    | A         | 70,7      | 73,9       | 83,7     |
| 8                     | 18-11-2022 21:18:21    | E195    | A         | 71,0      | 73,9       | 82,5     |
| 8                     | 18-11-2022 21:25:57    | B738    | A         | 71,7      | 75,8       | 84,0     |
| 8                     | 18-11-2022 21:28:11    | B738    | A         | 73,2      | 76,9       | 84,6     |
| 8                     | 18-11-2022 21:30:17    | B38M    | A         | 71,2      | 74,8       | 84,4     |
| 8                     | 18-11-2022 21:32:26    | B38M    | A         | 70,9      | 74,2       | 82,3     |
| 8                     | 18-11-2022 21:34:30    | E75S    | A         | 71,4      | 73,4       | 82,6     |
| 8                     | 18-11-2022 21:36:29    | E195    | A         | 72,8      | 76,0       | 84,6     |
| 8                     | 18-11-2022 21:38:31    | E75S    | A         | 70,5      | 74,1       | 81,6     |
| 8                     | 18-11-2022 21:40:31    | DH8D    | A         | 67,8      | 71,0       | 80,6     |
| 8                     | 18-11-2022 21:42:30    | E190    | A         | 70,7      | 74,3       | 83,0     |
| 8                     | 18-11-2022 21:44:48    | E190    | A         | 73,1      | 76,3       | 85,4     |
| 8                     | 18-11-2022 21:46:42    | B38M    | A         | 70,7      | 74,5       | 83,0     |
| 8                     | 18-11-2022 21:48:48    | B38M    | A         | 70,7      | 74,3       | 83,7     |
| 8                     | 18-11-2022 21:50:28    | B738    | A         | 70,5      | 75,6       | 83,6     |
| 8                     | 18-11-2022 21:52:36    | E190    | A         | 70,5      | 72,9       | 82,0     |
| 8                     | 18-11-2022 21:54:24    | E75S    | A         | 69,2      | 71,8       | 80,0     |
| 8                     | 18-11-2022 21:56:28    | A320    | A         | 71,0      | 74,8       | 83,3     |
| 8                     | 18-11-2022 21:58:48    | E190    | A         | 70,8      | 72,8       | 82,3     |
| 8                     | 19-11-2022 06:12:46    | A21N    | D         | 70,6      | 72,8       | 83,2     |
| 8                     | 19-11-2022 06:22:22    | A319    | D         | 69,2      | 71,0       | 83,0     |
| 8                     | 19-11-2022 06:31:17    | E295    | D         | 69,0      | 71,1       | 80,5     |
| 8                     | 19-11-2022 06:39:11    | A321    | D         | 70,6      | 72,6       | 84,6     |
| 8                     | 19-11-2022 06:45:07    | B738    | D         | 72,2      | 74,5       | 85,4     |
| 8                     | 19-11-2022 06:47:24    | A21N    | D         | 69,3      | 70,6       | 81,4     |
| 8                     | 19-11-2022 06:56:05    | A321    | D         | 70,1      | 71,2       | 83,9     |
| 8                     | 19-11-2022 07:02:43    | A21N    | D         | 70,7      | 72,9       | 83,0     |
| 8                     | 19-11-2022 07:11:04    | E195    | D         | 70,5      | 73,1       | 83,3     |

| Nr punktu pomiarowego | Data i godz. zdarzenia | Samolot | Operacja* | $L_{Aeq}$ | $L_{Amax}$ | $L_{AE}$ |
|-----------------------|------------------------|---------|-----------|-----------|------------|----------|
|                       |                        |         |           | [dB]      | [dB]       | [dB]     |
| 8                     | 19-11-2022 07:29:08    | A320    | D         | 69,2      | 70,7       | 82,8     |
| 8                     | 19-11-2022 07:31:10    | E75S    | D         | 70,0      | 71,3       | 81,7     |
| 8                     | 19-11-2022 07:32:45    | B38M    | D         | 68,9      | 70,2       | 79,7     |
| 8                     | 19-11-2022 07:35:12    | A21N    | D         | 69,9      | 70,8       | 81,6     |
| 8                     | 19-11-2022 07:37:11    | E195    | D         | 70,5      | 72,6       | 82,2     |
| 8                     | 19-11-2022 07:38:51    | E190    | D         | 71,2      | 73,3       | 83,2     |
| 8                     | 19-11-2022 07:40:26    | E195    | D         | 74,3      | 77,4       | 86,8     |
| 8                     | 19-11-2022 07:43:20    | E170    | D         | 70,2      | 72,1       | 82,5     |
| 8                     | 19-11-2022 07:45:12    | E195    | D         | 70,2      | 72,0       | 82,5     |
| 8                     | 19-11-2022 07:46:48    | E195    | D         | 70,7      | 72,5       | 82,7     |
| 8                     | 19-11-2022 07:49:27    | B738    | D         | 73,1      | 75,1       | 86,6     |
| 8                     | 19-11-2022 08:09:04    | E75S    | D         | 71,0      | 73,1       | 83,6     |
| 8                     | 19-11-2022 08:10:46    | E195    | D         | 71,9      | 74,3       | 83,3     |
| 8                     | 19-11-2022 08:12:17    | B738    | D         | 73,3      | 76,5       | 86,4     |
| 8                     | 19-11-2022 08:16:44    | E190    | D         | 71,4      | 73,5       | 82,5     |
| 8                     | 19-11-2022 08:18:38    | E170    | D         | 68,8      | 69,6       | 80,8     |
| 8                     | 19-11-2022 08:21:39    | E75S    | D         | 70,0      | 71,4       | 82,3     |
| 8                     | 19-11-2022 08:31:34    | E75S    | D         | 70,5      | 71,8       | 82,5     |
| 8                     | 19-11-2022 08:34:32    | A320    | D         | 67,4      | 68,2       | 78,2     |
| 8                     | 19-11-2022 08:36:16    | E195    | D         | 75,2      | 78,5       | 87,0     |
| 8                     | 19-11-2022 08:38:39    | B738    | D         | 72,6      | 74,7       | 86,4     |
| 8                     | 19-11-2022 08:56:03    | B38M    | D         | 67,2      | 68,1       | 77,7     |
| 8                     | 19-11-2022 09:00:48    | E195    | D         | 75,2      | 78,7       | 87,0     |
| 8                     | 19-11-2022 09:08:27    | B738    | D         | 68,6      | 69,9       | 80,4     |
| 8                     | 19-11-2022 09:15:51    | B738    | D         | 72,0      | 74,0       | 85,3     |
| 8                     | 19-11-2022 09:37:24    | E75S    | D         | 70,0      | 71,9       | 83,1     |
| 8                     | 19-11-2022 09:39:54    | B738    | D         | 70,9      | 72,6       | 83,0     |
| 8                     | 19-11-2022 09:42:41    | B738    | D         | 71,7      | 74,1       | 85,5     |
| 8                     | 19-11-2022 09:50:07    | E190    | D         | 71,8      | 74,6       | 85,8     |
| 8                     | 19-11-2022 10:07:47    | A319    | D         | 68,4      | 70,0       | 80,7     |
| 8                     | 19-11-2022 10:10:04    | E170    | D         | 69,0      | 72,1       | 82,0     |
| 8                     | 19-11-2022 10:13:40    | E75S    | D         | 70,3      | 72,4       | 82,8     |
| 8                     | 19-11-2022 10:28:14    | E195    | D         | 69,2      | 71,9       | 82,5     |
| 8                     | 19-11-2022 10:46:17    | A321    | D         | 69,8      | 71,7       | 83,8     |
| 8                     | 19-11-2022 10:50:26    | E75S    | D         | 74,3      | 78,2       | 87,1     |
| 8                     | 19-11-2022 10:52:50    | E190    | D         | 72,0      | 75,2       | 84,3     |
| 8                     | 19-11-2022 10:56:28    | E190    | D         | 68,5      | 70,3       | 80,5     |
| 8                     | 19-11-2022 10:59:06    | E190    | D         | 70,4      | 72,0       | 82,1     |
| 8                     | 19-11-2022 11:01:26    | E170    | D         | 70,0      | 72,6       | 82,5     |
| 8                     | 19-11-2022 11:12:06    | E75S    | D         | 69,4      | 71,2       | 81,4     |
| 8                     | 19-11-2022 11:22:22    | E195    | D         | 73,0      | 76,1       | 84,5     |
| 8                     | 19-11-2022 11:24:22    | E190    | D         | 72,1      | 74,4       | 83,9     |
| 8                     | 19-11-2022 12:02:01    | E195    | D         | 70,6      | 73,8       | 82,7     |
| 8                     | 19-11-2022 12:16:17    | E75S    | D         | 74,2      | 77,5       | 86,5     |
| 8                     | 19-11-2022 12:22:56    | E195    | D         | 71,3      | 74,7       | 83,6     |
| 8                     | 19-11-2022 12:32:00    | B38M    | D         | 69,1      | 71,2       | 80,8     |
| 8                     | 19-11-2022 12:52:02    | A21N    | D         | 70,8      | 75,1       | 84,0     |
| 8                     | 19-11-2022 12:59:39    | A321    | D         | 70,1      | 72,3       | 84,0     |
| 8                     | 19-11-2022 13:02:22    | E75S    | D         | 70,9      | 74,0       | 83,9     |
| 8                     | 19-11-2022 13:14:42    | E195    | D         | 70,4      | 73,1       | 82,9     |
| 8                     | 19-11-2022 13:22:21    | E190    | D         | 72,7      | 75,4       | 85,9     |
| 8                     | 19-11-2022 13:24:34    | B738    | D         | 72,1      | 76,0       | 87,0     |
| 8                     | 19-11-2022 13:28:44    | E75S    | D         | 70,4      | 73,6       | 82,7     |
| 8                     | 19-11-2022 13:30:44    | E75S    | D         | 73,1      | 75,6       | 86,1     |
| 8                     | 19-11-2022 13:33:30    | E195    | D         | 71,1      | 74,4       | 83,2     |
| 8                     | 19-11-2022 13:38:21    | B77W    | D         | 72,5      | 76,0       | 87,0     |
| 8                     | 19-11-2022 13:41:57    | A321    | D         | 69,9      | 72,7       | 84,2     |

| Nr punktu pomiarowego | Data i godz. zdarzenia | Samolot | Operacja* | $L_{Aeq}$ | $L_{Amax}$ | $L_{AE}$ |
|-----------------------|------------------------|---------|-----------|-----------|------------|----------|
|                       |                        |         |           | [dB]      | [dB]       | [dB]     |
| 8                     | 19-11-2022 13:43:58    | A319    | D         | 68,5      | 70,2       | 81,7     |
| 8                     | 19-11-2022 13:45:34    | A319    | D         | 69,7      | 73,4       | 83,3     |
| 8                     | 19-11-2022 13:48:42    | E170    | D         | 68,8      | 70,5       | 80,8     |
| 8                     | 19-11-2022 14:04:17    | B738    | D         | 72,4      | 75,4       | 87,3     |
| 8                     | 19-11-2022 14:26:11    | E190    | D         | 74,5      | 78,5       | 86,5     |
| 8                     | 19-11-2022 14:42:49    | B738    | D         | 72,7      | 77,4       | 87,5     |
| 8                     | 19-11-2022 14:48:18    | E170    | D         | 69,8      | 71,6       | 82,3     |
| 8                     | 19-11-2022 14:51:47    | A21N    | D         | 69,3      | 70,7       | 81,9     |
| 8                     | 19-11-2022 14:56:28    | E195    | D         | 70,6      | 72,5       | 82,4     |
| 8                     | 19-11-2022 15:01:58    | B38M    | D         | 68,5      | 69,3       | 78,9     |
| 8                     | 19-11-2022 15:04:30    | E75S    | D         | 69,8      | 71,1       | 82,6     |
| 8                     | 19-11-2022 15:05:59    | E75S    | D         | 73,8      | 76,4       | 86,5     |
| 8                     | 19-11-2022 15:07:34    | E195    | D         | 72,0      | 74,9       | 83,1     |
| 8                     | 19-11-2022 15:09:11    | E195    | D         | 70,4      | 73,1       | 82,7     |
| 8                     | 19-11-2022 15:13:38    | E195    | D         | 69,9      | 72,4       | 81,7     |
| 8                     | 19-11-2022 15:19:10    | E170    | D         | 71,4      | 73,6       | 83,7     |
| 8                     | 19-11-2022 15:20:40    | A21N    | D         | 70,2      | 71,5       | 82,2     |
| 8                     | 19-11-2022 15:30:11    | A321    | D         | 69,0      | 70,6       | 81,3     |
| 8                     | 19-11-2022 15:33:21    | E190    | D         | 72,2      | 75,1       | 83,9     |
| 8                     | 19-11-2022 15:41:04    | E195    | D         | 72,1      | 75,0       | 84,9     |
| 8                     | 19-11-2022 15:48:52    | E195    | D         | 71,6      | 74,4       | 84,3     |
| 8                     | 19-11-2022 15:50:23    | E195    | D         | 73,8      | 77,7       | 86,6     |
| 8                     | 19-11-2022 16:00:37    | E170    | D         | 69,7      | 70,9       | 82,1     |
| 8                     | 19-11-2022 16:02:09    | E75S    | D         | 70,3      | 71,5       | 82,6     |
| 8                     | 19-11-2022 16:06:46    | B38M    | D         | 67,4      | 68,6       | 78,2     |
| 8                     | 19-11-2022 16:08:10    | E170    | D         | 71,6      | 73,7       | 84,1     |
| 8                     | 19-11-2022 16:35:11    | B38M    | D         | 68,2      | 69,5       | 78,7     |
| 8                     | 19-11-2022 16:38:01    | E190    | D         | 72,2      | 74,8       | 83,7     |
| 8                     | 19-11-2022 16:42:08    | A321    | D         | 68,9      | 70,2       | 81,2     |
| 8                     | 19-11-2022 16:44:39    | E195    | D         | 70,5      | 72,6       | 82,8     |
| 8                     | 19-11-2022 16:51:37    | E75S    | D         | 71,4      | 73,6       | 84,0     |
| 8                     | 19-11-2022 16:57:41    | E75S    | D         | 70,4      | 71,9       | 82,5     |
| 8                     | 19-11-2022 17:02:47    | E75S    | D         | 69,9      | 71,2       | 82,5     |
| 8                     | 19-11-2022 17:06:22    | E190    | D         | 72,7      | 75,7       | 84,1     |
| 8                     | 19-11-2022 17:09:35    | E190    | D         | 70,4      | 72,8       | 82,4     |
| 8                     | 19-11-2022 17:11:52    | E195    | D         | 70,8      | 72,4       | 82,9     |
| 8                     | 19-11-2022 17:13:55    | E190    | D         | 71,3      | 73,7       | 83,6     |
| 8                     | 19-11-2022 17:17:21    | E195    | D         | 71,0      | 73,2       | 82,8     |
| 8                     | 19-11-2022 17:19:31    | E195    | D         | 70,2      | 71,2       | 82,0     |
| 8                     | 19-11-2022 17:21:37    | E170    | D         | 70,1      | 71,2       | 81,6     |
| 8                     | 19-11-2022 17:23:20    | E75S    | D         | 69,7      | 72,2       | 82,0     |
| 8                     | 19-11-2022 17:36:46    | A21N    | D         | 69,0      | 70,5       | 80,1     |
| 8                     | 19-11-2022 17:42:38    | E170    | D         | 69,6      | 70,8       | 82,4     |
| 8                     | 19-11-2022 17:45:45    | E190    | D         | 69,7      | 71,8       | 82,0     |
| 8                     | 19-11-2022 17:56:45    | E75S    | D         | 73,8      | 76,0       | 85,6     |
| 8                     | 19-11-2022 18:05:56    | B38M    | D         | 67,9      | 68,9       | 78,7     |
| 8                     | 19-11-2022 18:09:24    | B738    | D         | 72,7      | 75,4       | 85,9     |
| 8                     | 19-11-2022 18:21:16    | A321    | D         | 70,6      | 72,3       | 84,5     |
| 8                     | 19-11-2022 18:58:27    | E190    | A         | 70,9      | 73,5       | 82,4     |
| 8                     | 19-11-2022 19:02:20    | E195    | A         | 71,9      | 75,8       | 84,2     |
| 8                     | 19-11-2022 19:06:05    | E75S    | A         | 69,6      | 71,8       | 80,4     |
| 8                     | 19-11-2022 19:14:26    | E170    | A         | 69,1      | 70,6       | 79,1     |
| 8                     | 19-11-2022 19:22:03    | E190    | A         | 71,3      | 74,7       | 83,3     |
| 8                     | 19-11-2022 19:47:43    | B38M    | A         | 70,9      | 74,7       | 82,7     |
| 8                     | 19-11-2022 19:55:04    | E195    | A         | 71,2      | 74,6       | 83,3     |
| 8                     | 19-11-2022 20:03:44    | P46T    | A         | 69,2      | 73,1       | 82,0     |
| 8                     | 19-11-2022 20:12:56    | B38M    | A         | 71,1      | 73,8       | 81,9     |

| Nr punktu pomiarowego | Data i godz. zdarzenia | Samolot | Operacja* | $L_{Aeq}$ | $L_{Amax}$ | $L_{AE}$ |
|-----------------------|------------------------|---------|-----------|-----------|------------|----------|
|                       |                        |         |           | [dB]      | [dB]       | [dB]     |
| 8                     | 19-11-2022 20:37:28    | E170    | A         | 69,7      | 71,8       | 80,2     |
| 8                     | 19-11-2022 20:47:38    | E170    | A         | 69,3      | 72,1       | 80,1     |
| 8                     | 19-11-2022 20:49:51    | E190    | A         | 70,0      | 72,8       | 81,8     |
| 8                     | 19-11-2022 21:04:42    | E190    | A         | 71,3      | 74,0       | 82,8     |
| 8                     | 19-11-2022 21:17:52    | E75S    | A         | 69,2      | 70,8       | 79,2     |
| 8                     | 19-11-2022 21:27:00    | E75S    | A         | 69,1      | 71,7       | 79,9     |
| 8                     | 19-11-2022 21:28:29    | E190    | A         | 70,0      | 71,7       | 80,4     |
| 8                     | 19-11-2022 21:30:23    | E75S    | A         | 70,8      | 73,5       | 82,3     |
| 8                     | 19-11-2022 21:32:50    | E195    | A         | 71,9      | 74,0       | 82,7     |
| 8                     | 19-11-2022 21:34:50    | E75S    | A         | 69,3      | 71,7       | 79,3     |
| 8                     | 19-11-2022 21:37:22    | E195    | A         | 71,1      | 73,9       | 82,6     |
| 8                     | 19-11-2022 21:40:06    | E75S    | A         | 68,3      | 70,1       | 78,3     |
| 8                     | 19-11-2022 21:42:02    | A318    | A         | 71,5      | 74,7       | 82,6     |
| 8                     | 19-11-2022 21:44:59    | B738    | A         | 72,2      | 74,8       | 83,4     |
| 8                     | 19-11-2022 21:47:12    | B38M    | A         | 71,2      | 73,8       | 83,0     |
| 8                     | 19-11-2022 21:49:08    | A320    | A         | 70,1      | 72,3       | 80,5     |
| 8                     | 19-11-2022 21:51:05    | E195    | A         | 70,9      | 73,7       | 82,3     |
| 8                     | 19-11-2022 21:53:16    | E75S    | A         | 69,6      | 71,6       | 80,0     |
| 8                     | 19-11-2022 21:55:30    | B738    | A         | 72,8      | 75,2       | 83,9     |
| 8                     | 19-11-2022 21:57:45    | E75S    | A         | 69,4      | 71,3       | 80,2     |
| 8                     | 20-11-2022 06:03:33    | A21N    | A         | 71,0      | 73,2       | 81,0     |
| 8                     | 20-11-2022 06:07:41    | B738    | A         | 73,8      | 77,3       | 85,6     |
| 8                     | 20-11-2022 06:11:12    | B38M    | A         | 72,5      | 75,5       | 83,7     |
| 8                     | 20-11-2022 06:18:10    | E190    | A         | 73,1      | 75,6       | 83,5     |
| 8                     | 20-11-2022 06:20:35    | E195    | A         | 73,0      | 76,4       | 84,8     |
| 8                     | 20-11-2022 06:30:42    | E75S    | A         | 71,7      | 74,0       | 82,1     |
| 8                     | 20-11-2022 06:40:19    | B789    | A         | 71,3      | 74,7       | 84,5     |
| 8                     | 20-11-2022 06:42:34    | E195    | A         | 72,6      | 75,7       | 84,1     |
| 8                     | 20-11-2022 07:48:22    | B38M    | A         | 71,7      | 74,6       | 83,2     |
| 8                     | 20-11-2022 07:53:27    | B738    | A         | 73,0      | 75,1       | 83,8     |
| 8                     | 20-11-2022 07:55:18    | B738    | A         | 74,0      | 76,6       | 84,8     |
| 8                     | 20-11-2022 08:10:30    | B38M    | A         | 71,9      | 74,4       | 82,7     |
| 8                     | 20-11-2022 08:17:05    | E195    | A         | 73,2      | 76,0       | 84,3     |
| 8                     | 20-11-2022 08:23:43    | A320    | A         | 72,5      | 75,3       | 84,2     |
| 8                     | 20-11-2022 09:10:29    | E190    | A         | 72,1      | 75,0       | 83,8     |
| 8                     | 20-11-2022 09:12:33    | E75S    | A         | 71,0      | 73,8       | 81,8     |
| 8                     | 20-11-2022 09:16:18    | E170    | A         | 70,8      | 73,2       | 81,6     |
| 8                     | 20-11-2022 09:19:08    | B738    | A         | 72,7      | 75,1       | 83,8     |
| 8                     | 20-11-2022 09:21:08    | E190    | A         | 72,1      | 75,1       | 83,2     |
| 8                     | 20-11-2022 09:23:22    | E170    | A         | 69,7      | 71,9       | 80,2     |
| 8                     | 20-11-2022 09:45:19    | E195    | A         | 71,7      | 74,9       | 83,1     |
| 8                     | 20-11-2022 10:21:38    | A21N    | A         | 69,7      | 72,6       | 81,4     |
| 8                     | 20-11-2022 10:49:30    | E190    | A         | 71,0      | 72,3       | 81,8     |
| 8                     | 20-11-2022 10:52:23    | A21N    | A         | 70,6      | 71,8       | 79,7     |
| 8                     | 20-11-2022 11:05:21    | B77W    | A         | 73,8      | 77,9       | 87,8     |
| 8                     | 20-11-2022 11:08:04    | E190    | A         | 71,2      | 73,1       | 81,7     |
| 8                     | 20-11-2022 11:10:15    | E190    | A         | 70,5      | 73,3       | 82,0     |
| 8                     | 20-11-2022 11:19:05    | B789    | A         | 71,1      | 74,9       | 84,4     |
| 8                     | 20-11-2022 11:33:23    | E75S    | A         | 70,4      | 72,0       | 81,2     |
| 8                     | 20-11-2022 11:37:46    | A320    | A         | 70,7      | 73,1       | 81,5     |
| 8                     | 20-11-2022 11:49:10    | E170    | A         | 70,7      | 72,6       | 80,2     |
| 8                     | 20-11-2022 11:55:55    | A321    | A         | 70,5      | 72,5       | 80,5     |
| 8                     | 20-11-2022 11:58:42    | A333    | A         | 73,8      | 77,8       | 87,2     |
| 8                     | 20-11-2022 12:01:32    | A321    | A         | 70,7      | 73,5       | 81,1     |
| 8                     | 20-11-2022 12:04:40    | B788    | A         | 71,6      | 74,4       | 83,6     |
| 8                     | 20-11-2022 12:06:56    | E75S    | A         | 70,3      | 73,3       | 81,4     |
| 8                     | 20-11-2022 12:09:16    | E195    | A         | 72,3      | 75,9       | 83,7     |

| Nr punktu pomiarowego | Data i godz. zdarzenia | Samolot | Operacja* | $L_{Aeq}$ | $L_{Amax}$ | $L_{AE}$ |
|-----------------------|------------------------|---------|-----------|-----------|------------|----------|
|                       |                        |         |           | [dB]      | [dB]       | [dB]     |
| 8                     | 20-11-2022 12:11:21    | E170    | A         | 70,7      | 73,3       | 81,4     |
| 8                     | 20-11-2022 12:13:25    | BCS3    | A         | 69,4      | 71,9       | 80,2     |
| 8                     | 20-11-2022 12:16:02    | E75S    | A         | 71,2      | 74,3       | 81,6     |
| 8                     | 20-11-2022 12:18:27    | E75S    | A         | 69,8      | 72,5       | 80,6     |
| 8                     | 20-11-2022 12:20:45    | E75S    | A         | 70,2      | 71,9       | 79,8     |
| 8                     | 20-11-2022 12:22:48    | E195    | A         | 72,8      | 76,4       | 83,9     |
| 8                     | 20-11-2022 12:25:24    | E75S    | A         | 70,8      | 73,4       | 79,9     |
| 8                     | 20-11-2022 12:27:40    | E75S    | A         | 70,9      | 73,2       | 81,3     |
| 8                     | 20-11-2022 12:30:23    | A21N    | A         | 70,5      | 72,7       | 81,3     |
| 8                     | 20-11-2022 12:33:02    | DH8D    | A         | 68,9      | 70,5       | 78,0     |
| 8                     | 20-11-2022 12:37:02    | A21N    | A         | 71,1      | 74,0       | 81,5     |
| 8                     | 20-11-2022 12:46:06    | B788    | A         | 70,6      | 74,1       | 83,4     |
| 8                     | 20-11-2022 12:51:06    | E195    | A         | 72,1      | 75,4       | 83,8     |
| 8                     | 20-11-2022 12:52:51    | B788    | A         | 71,7      | 74,9       | 84,7     |
| 8                     | 20-11-2022 12:55:29    | A319    | A         | 70,8      | 72,5       | 80,8     |
| 8                     | 20-11-2022 12:57:36    | B789    | A         | 72,3      | 75,5       | 84,6     |
| 8                     | 20-11-2022 12:59:54    | E195    | A         | 73,6      | 77,4       | 85,6     |
| 8                     | 20-11-2022 13:02:12    | E190    | A         | 71,5      | 74,8       | 83,2     |
| 8                     | 20-11-2022 13:04:57    | DH8D    | A         | 69,6      | 72,0       | 80,0     |
| 8                     | 20-11-2022 13:17:56    | E75S    | A         | 71,5      | 73,7       | 81,5     |
| 8                     | 20-11-2022 13:25:31    | A21N    | A         | 70,3      | 73,8       | 82,3     |
| 8                     | 20-11-2022 13:27:13    | E190    | A         | 71,8      | 74,9       | 83,6     |
| 8                     | 20-11-2022 13:39:25    | B789    | A         | 72,0      | 75,7       | 84,6     |
| 8                     | 20-11-2022 13:45:01    | B38M    | A         | 71,5      | 74,1       | 82,6     |
| 8                     | 20-11-2022 13:47:14    | E195    | A         | 72,2      | 74,3       | 83,0     |
| 8                     | 20-11-2022 13:49:43    | E190    | A         | 71,4      | 73,0       | 81,4     |
| 8                     | 20-11-2022 13:53:49    | A321    | A         | 70,3      | 72,4       | 80,3     |
| 8                     | 20-11-2022 13:59:26    | E170    | A         | 70,1      | 72,7       | 80,9     |
| 8                     | 20-11-2022 14:01:26    | E195    | A         | 71,7      | 74,2       | 82,5     |
| 8                     | 20-11-2022 14:04:41    | E295    | A         | 69,8      | 71,4       | 79,3     |
| 8                     | 20-11-2022 14:11:29    | A321    | A         | 71,9      | 74,7       | 82,3     |
| 8                     | 20-11-2022 14:30:10    | E195    | A         | 71,2      | 74,4       | 82,3     |
| 8                     | 20-11-2022 14:47:01    | E75S    | A         | 72,4      | 75,2       | 82,4     |
| 8                     | 20-11-2022 14:53:12    | E190    | A         | 70,9      | 74,1       | 83,2     |
| 8                     | 20-11-2022 15:06:25    | A21N    | A         | 71,4      | 74,6       | 82,9     |
| 8                     | 20-11-2022 15:08:47    | B38M    | A         | 70,5      | 74,4       | 82,3     |
| 8                     | 20-11-2022 15:10:44    | E195    | A         | 72,1      | 75,8       | 84,1     |
| 8                     | 20-11-2022 15:12:40    | B738    | A         | 72,8      | 75,7       | 84,2     |
| 8                     | 20-11-2022 15:15:03    | E190    | A         | 71,7      | 74,2       | 83,5     |
| 8                     | 20-11-2022 15:22:45    | E75S    | A         | 70,9      | 73,6       | 82,7     |
| 8                     | 20-11-2022 15:28:33    | E75S    | A         | 71,4      | 73,9       | 82,2     |
| 8                     | 20-11-2022 15:30:29    | E195    | A         | 73,2      | 76,3       | 84,6     |
| 8                     | 20-11-2022 15:32:00    | B38M    | A         | 72,0      | 74,5       | 82,8     |
| 8                     | 20-11-2022 15:36:25    | E75S    | A         | 70,8      | 73,1       | 81,9     |
| 8                     | 20-11-2022 15:40:00    | E75S    | A         | 71,2      | 73,6       | 82,3     |
| 8                     | 20-11-2022 15:44:15    | E190    | A         | 71,6      | 74,1       | 83,0     |
| 8                     | 20-11-2022 15:47:17    | E170    | A         | 71,2      | 73,3       | 81,6     |
| 8                     | 20-11-2022 15:49:05    | E75S    | A         | 71,4      | 73,9       | 82,9     |
| 8                     | 20-11-2022 15:50:51    | E190    | A         | 72,1      | 74,7       | 83,9     |
| 8                     | 20-11-2022 15:52:54    | E170    | A         | 71,1      | 73,8       | 82,6     |
| 8                     | 20-11-2022 15:54:50    | E195    | A         | 72,2      | 74,4       | 83,3     |
| 8                     | 20-11-2022 15:56:39    | E195    | A         | 72,4      | 76,5       | 85,0     |
| 8                     | 20-11-2022 16:05:22    | B738    | A         | 72,1      | 75,6       | 83,8     |
| 8                     | 20-11-2022 16:08:09    | CRJ9    | A         | 69,5      | 71,0       | 80,0     |
| 8                     | 20-11-2022 16:20:35    | E195    | A         | 71,9      | 75,1       | 83,9     |
| 8                     | 20-11-2022 16:24:32    | A320    | A         | 72,5      | 76,2       | 84,8     |
| 8                     | 20-11-2022 16:28:08    | C130    | A         | 75,9      | 81,2       | 90,0     |

| Nr punktu pomiarowego | Data i godz. zdarzenia | Samolot | Operacja* | $L_{Aeq}$ | $L_{Amax}$ | $L_{AE}$ |
|-----------------------|------------------------|---------|-----------|-----------|------------|----------|
|                       |                        |         |           | [dB]      | [dB]       | [dB]     |
| 8                     | 20-11-2022 16:30:42    | E75S    | A         | 69,8      | 72,6       | 82,1     |
| 8                     | 20-11-2022 16:33:20    | A320    | A         | 70,9      | 73,6       | 82,3     |
| 8                     | 20-11-2022 16:35:22    | C130    | A         | 75,7      | 81,3       | 89,1     |
| 8                     | 20-11-2022 16:37:19    | C295    | A         | 70,4      | 72,8       | 80,4     |
| 8                     | 20-11-2022 16:39:12    | E195    | A         | 72,4      | 76,3       | 84,9     |
| 8                     | 20-11-2022 16:41:06    | A21N    | A         | 70,5      | 72,7       | 81,7     |
| 8                     | 20-11-2022 16:58:53    | A321    | A         | 70,5      | 73,3       | 81,9     |
| 8                     | 20-11-2022 17:01:12    | A321    | A         | 69,9      | 72,9       | 81,4     |
| 8                     | 20-11-2022 17:32:36    | E195    | A         | 73,2      | 76,0       | 85,0     |
| 8                     | 20-11-2022 17:39:14    | A321    | A         | 72,7      | 75,6       | 84,2     |
| 8                     | 20-11-2022 17:59:44    | E190    | A         | 73,1      | 76,3       | 84,8     |
| 8                     | 20-11-2022 18:10:49    | CRJ9    | A         | 69,6      | 72,6       | 81,6     |
| 8                     | 20-11-2022 18:14:43    | E170    | A         | 71,2      | 73,6       | 82,3     |
| 8                     | 20-11-2022 18:17:44    | C560    | A         | 67,5      | 67,9       | 77,5     |
| 8                     | 20-11-2022 18:26:36    | E195    | A         | 72,8      | 76,4       | 85,4     |
| 8                     | 20-11-2022 18:29:08    | B788    | A         | 71,5      | 75,7       | 85,6     |
| 8                     | 20-11-2022 18:31:33    | E75S    | A         | 69,8      | 74,1       | 83,0     |
| 8                     | 20-11-2022 18:37:55    | E75S    | A         | 70,6      | 73,5       | 81,7     |
| 8                     | 20-11-2022 18:41:01    | E190    | A         | 71,6      | 74,9       | 84,4     |
| 8                     | 20-11-2022 18:42:38    | B38M    | A         | 71,5      | 74,7       | 84,1     |
| 8                     | 20-11-2022 18:44:52    | A319    | A         | 72,4      | 76,4       | 84,9     |
| 8                     | 20-11-2022 18:46:54    | A20N    | A         | 70,0      | 73,6       | 83,2     |
| 8                     | 20-11-2022 18:51:28    | E75S    | A         | 70,7      | 73,6       | 82,2     |
| 8                     | 20-11-2022 18:53:10    | E195    | A         | 71,0      | 75,1       | 84,0     |
| 8                     | 20-11-2022 18:54:52    | E195    | A         | 72,8      | 76,7       | 85,3     |
| 8                     | 20-11-2022 18:57:29    | E295    | A         | 70,1      | 73,1       | 82,1     |
| 8                     | 20-11-2022 18:59:03    | DH8D    | A         | 69,7      | 71,5       | 79,7     |
| 8                     | 20-11-2022 19:01:18    | E75S    | A         | 70,6      | 73,5       | 82,3     |
| 8                     | 20-11-2022 19:03:45    | E170    | A         | 71,3      | 75,0       | 83,3     |
| 8                     | 20-11-2022 19:07:02    | E75S    | A         | 70,9      | 74,7       | 82,9     |
| 8                     | 20-11-2022 19:11:11    | E170    | A         | 70,2      | 73,6       | 82,2     |
| 8                     | 20-11-2022 19:20:20    | E75S    | A         | 70,6      | 74,1       | 82,4     |
| 8                     | 20-11-2022 19:22:41    | CRJ9    | A         | 69,6      | 72,2       | 80,8     |
| 8                     | 20-11-2022 19:24:27    | E195    | A         | 72,7      | 76,1       | 85,2     |
| 8                     | 20-11-2022 19:45:50    | E190    | A         | 71,2      | 74,1       | 82,7     |
| 8                     | 20-11-2022 19:49:35    | B738    | A         | 71,7      | 75,0       | 84,5     |
| 8                     | 20-11-2022 20:06:55    | B38M    | A         | 71,0      | 74,8       | 83,5     |
| 8                     | 20-11-2022 20:11:44    | E75S    | A         | 69,8      | 72,5       | 81,3     |
| 8                     | 20-11-2022 20:14:09    | E550    | A         | 67,0      | 68,7       | 77,8     |
| 8                     | 20-11-2022 20:44:31    | E75S    | A         | 70,6      | 73,1       | 81,0     |
| 8                     | 20-11-2022 20:52:43    | E195    | A         | 71,9      | 76,1       | 84,9     |
| 8                     | 20-11-2022 20:56:21    | E190    | A         | 70,5      | 72,9       | 82,3     |
| 8                     | 20-11-2022 21:05:49    | E195    | A         | 71,6      | 74,9       | 83,6     |
| 8                     | 20-11-2022 21:09:31    | E195    | A         | 71,6      | 74,8       | 83,4     |
| 8                     | 20-11-2022 21:11:44    | E75S    | A         | 70,4      | 73,8       | 82,1     |
| 8                     | 20-11-2022 21:20:59    | E75S    | A         | 70,7      | 73,6       | 81,5     |
| 8                     | 20-11-2022 21:24:52    | B38M    | A         | 71,9      | 75,5       | 84,0     |
| 8                     | 20-11-2022 21:26:47    | E190    | A         | 71,1      | 75,2       | 83,8     |
| 8                     | 20-11-2022 21:28:52    | E170    | A         | 69,0      | 71,0       | 79,4     |
| 8                     | 20-11-2022 21:31:20    | B38M    | A         | 70,5      | 75,0       | 83,1     |
| 8                     | 20-11-2022 21:33:41    | E190    | A         | 70,7      | 73,7       | 81,8     |
| 8                     | 20-11-2022 21:35:21    | E75S    | A         | 69,9      | 72,1       | 79,4     |
| 8                     | 20-11-2022 21:37:07    | E195    | A         | 70,1      | 73,3       | 82,4     |
| 8                     | 20-11-2022 21:38:49    | B738    | A         | 72,4      | 76,8       | 85,0     |
| 8                     | 20-11-2022 21:40:53    | A320    | A         | 70,2      | 73,9       | 81,9     |
| 8                     | 20-11-2022 21:42:29    | E190    | A         | 70,3      | 73,2       | 81,8     |
| 8                     | 20-11-2022 21:44:11    | E195    | A         | 71,1      | 74,0       | 82,8     |

| Nr punktu pomiarowego | Data i godz. zdarzenia | Samolot | Operacja* | $L_{Aeq}$ | $L_{Amax}$ | $L_{AE}$ |
|-----------------------|------------------------|---------|-----------|-----------|------------|----------|
|                       |                        |         |           | [dB]      | [dB]       | [dB]     |
| 8                     | 20-11-2022 21:46:04    | E195    | A         | 70,6      | 73,5       | 81,8     |
| 8                     | 20-11-2022 21:48:21    | E195    | A         | 70,1      | 73,2       | 82,4     |
| 8                     | 20-11-2022 21:51:22    | A320    | A         | 72,5      | 75,9       | 84,0     |
| 8                     | 20-11-2022 21:59:41    | E170    | A         | 69,8      | 72,8       | 80,6     |
| 8                     | 21-11-2022 06:06:02    | A21N    | A         | 71,2      | 73,1       | 81,2     |
| 8                     | 21-11-2022 06:07:45    | E195    | A         | 72,8      | 74,7       | 83,6     |
| 8                     | 21-11-2022 06:09:44    | E195    | A         | 72,1      | 74,8       | 83,8     |
| 8                     | 21-11-2022 06:14:28    | E170    | A         | 70,4      | 71,7       | 80,4     |
| 8                     | 21-11-2022 06:17:15    | A306    | A         | 73,2      | 76,2       | 85,3     |
| 8                     | 21-11-2022 06:22:34    | E190    | A         | 72,1      | 74,3       | 83,3     |
| 8                     | 21-11-2022 06:25:49    | E190    | A         | 70,8      | 73,2       | 82,0     |
| 8                     | 21-11-2022 06:32:43    | E190    | A         | 70,9      | 73,5       | 82,9     |
| 8                     | 21-11-2022 06:35:13    | E170    | A         | 69,4      | 72,4       | 82,0     |
| 8                     | 21-11-2022 06:36:54    | E75S    | A         | 70,6      | 72,8       | 81,4     |
| 8                     | 21-11-2022 06:39:13    | E75S    | A         | 71,1      | 73,8       | 82,8     |
| 8                     | 21-11-2022 06:41:28    | E190    | A         | 71,0      | 73,3       | 83,3     |
| 8                     | 21-11-2022 06:43:42    | E195    | A         | 70,4      | 74,2       | 84,4     |
| 8                     | 21-11-2022 06:47:51    | B38M    | A         | 70,9      | 73,4       | 82,1     |
| 8                     | 21-11-2022 07:33:08    | B738    | A         | 72,1      | 75,9       | 84,4     |
| 8                     | 21-11-2022 08:04:01    | E75S    | A         | 70,4      | 73,0       | 81,2     |
| 8                     | 21-11-2022 08:09:05    | B38M    | A         | 71,9      | 75,0       | 84,0     |
| 8                     | 21-11-2022 08:16:58    | E75S    | A         | 71,6      | 74,7       | 83,1     |
| 8                     | 21-11-2022 08:19:35    | E195    | A         | 71,6      | 74,3       | 83,6     |
| 8                     | 21-11-2022 08:21:24    | E195    | A         | 72,8      | 76,0       | 84,8     |
| 8                     | 21-11-2022 08:24:58    | A21N    | A         | 71,6      | 75,2       | 83,9     |
| 8                     | 21-11-2022 08:30:48    | M28     | A         | 69,8      | 73,8       | 83,0     |
| 8                     | 21-11-2022 08:33:51    | E190    | A         | 71,6      | 74,7       | 83,4     |
| 8                     | 21-11-2022 08:42:55    | A320    | A         | 71,7      | 74,8       | 83,8     |
| 8                     | 21-11-2022 08:45:29    | E170    | A         | 71,0      | 73,3       | 81,8     |
| 8                     | 21-11-2022 08:49:24    | E75S    | A         | 70,6      | 73,2       | 81,4     |
| 8                     | 21-11-2022 08:51:20    | E290    | A         | 69,2      | 70,4       | 78,2     |
| 8                     | 21-11-2022 08:57:02    | E190    | A         | 72,1      | 74,4       | 83,6     |
| 8                     | 21-11-2022 09:11:24    | E195    | A         | 71,5      | 74,2       | 83,6     |
| 8                     | 21-11-2022 09:16:32    | E170    | A         | 71,2      | 72,9       | 81,2     |
| 8                     | 21-11-2022 09:19:18    | E75S    | A         | 71,6      | 74,9       | 83,9     |
| 8                     | 21-11-2022 09:21:31    | E75S    | A         | 71,6      | 73,9       | 82,0     |
| 8                     | 21-11-2022 09:24:40    | CRJ9    | A         | 69,5      | 71,3       | 79,1     |
| 8                     | 21-11-2022 09:26:43    | E170    | A         | 70,9      | 74,2       | 83,2     |
| 8                     | 21-11-2022 09:28:58    | E195    | A         | 71,4      | 73,5       | 82,5     |
| 8                     | 21-11-2022 09:31:11    | E195    | A         | 72,9      | 75,5       | 84,4     |
| 8                     | 21-11-2022 09:35:32    | DH8D    | A         | 69,9      | 71,6       | 78,9     |
| 8                     | 21-11-2022 09:37:30    | E75S    | A         | 70,9      | 73,8       | 81,7     |
| 8                     | 21-11-2022 09:39:18    | DH8D    | A         | 69,1      | 70,7       | 78,1     |
| 8                     | 21-11-2022 09:41:10    | CRJ9    | A         | 70,4      | 72,1       | 80,9     |
| 8                     | 21-11-2022 09:43:05    | B38M    | A         | 70,6      | 73,0       | 81,0     |
| 8                     | 21-11-2022 09:50:34    | E195    | A         | 72,4      | 74,6       | 83,6     |
| 8                     | 21-11-2022 10:42:04    | E75S    | A         | 70,4      | 72,7       | 81,1     |
| 8                     | 21-11-2022 10:45:31    | B789    | A         | 72,2      | 75,8       | 84,8     |
| 8                     | 21-11-2022 11:00:32    | E195    | A         | 72,9      | 76,5       | 84,6     |
| 8                     | 21-11-2022 11:06:35    | A21N    | A         | 70,4      | 72,8       | 81,5     |
| 8                     | 21-11-2022 11:10:02    | B77W    | A         | 75,1      | 79,4       | 88,5     |
| 8                     | 21-11-2022 11:17:37    | E195    | A         | 72,5      | 75,4       | 84,0     |
| 8                     | 21-11-2022 11:20:01    | E75S    | A         | 70,2      | 74,0       | 82,8     |
| 8                     | 21-11-2022 11:23:44    | B738    | A         | 71,8      | 74,9       | 84,1     |
| 8                     | 21-11-2022 11:36:55    | A321    | A         | 70,6      | 73,5       | 82,3     |
| 8                     | 21-11-2022 11:41:53    | E190    | A         | 71,6      | 75,0       | 83,4     |
| 8                     | 21-11-2022 11:44:17    | B788    | A         | 72,1      | 74,9       | 84,5     |

| Nr punktu pomiarowego | Data i godz. zdarzenia | Samolot | Operacja* | $L_{Aeq}$ | $L_{Amax}$ | $L_{AE}$ |
|-----------------------|------------------------|---------|-----------|-----------|------------|----------|
|                       |                        |         |           | [dB]      | [dB]       | [dB]     |
| 8                     | 21-11-2022 11:46:39    | A319    | A         | 70,6      | 72,8       | 81,7     |
| 8                     | 21-11-2022 11:48:51    | E195    | A         | 72,3      | 75,3       | 84,3     |
| 8                     | 21-11-2022 11:51:05    | A21N    | A         | 69,9      | 74,3       | 82,2     |
| 8                     | 21-11-2022 11:53:21    | A321    | A         | 71,0      | 74,4       | 82,4     |
| 8                     | 21-11-2022 11:58:14    | E195    | A         | 72,5      | 75,0       | 83,7     |
| 8                     | 21-11-2022 12:04:49    | B788    | A         | 71,1      | 73,8       | 83,4     |
| 8                     | 21-11-2022 12:06:45    | A321    | A         | 70,9      | 73,6       | 82,6     |
| 8                     | 21-11-2022 12:09:02    | E170    | A         | 71,5      | 73,2       | 81,9     |
| 8                     | 21-11-2022 12:13:36    | B789    | A         | 71,5      | 75,1       | 84,3     |
| 8                     | 21-11-2022 12:15:47    | E195    | A         | 72,0      | 75,9       | 84,6     |
| 8                     | 21-11-2022 12:18:18    | E170    | A         | 70,1      | 72,9       | 80,1     |
| 8                     | 21-11-2022 12:20:21    | B788    | A         | 71,6      | 74,8       | 84,6     |
| 8                     | 21-11-2022 12:22:40    | B38M    | A         | 71,0      | 75,0       | 82,8     |
| 8                     | 21-11-2022 12:24:38    | E75S    | A         | 69,6      | 72,6       | 81,7     |
| 8                     | 21-11-2022 12:27:59    | DH8D    | A         | 68,6      | 71,7       | 79,7     |
| 8                     | 21-11-2022 12:30:17    | E190    | A         | 71,6      | 74,6       | 83,3     |
| 8                     | 21-11-2022 12:32:16    | E190    | A         | 71,9      | 74,7       | 83,1     |
| 8                     | 21-11-2022 12:34:09    | E75S    | A         | 70,0      | 73,6       | 82,6     |
| 8                     | 21-11-2022 12:36:41    | E190    | A         | 72,7      | 76,4       | 84,5     |
| 8                     | 21-11-2022 12:38:52    | E75S    | A         | 71,6      | 75,6       | 82,8     |
| 8                     | 21-11-2022 12:44:56    | CN35    | A         | 74,8      | 79,2       | 85,3     |
| 8                     | 21-11-2022 12:46:55    | E170    | A         | 71,2      | 74,5       | 84,8     |
| 8                     | 21-11-2022 12:49:03    | E190    | A         | 71,9      | 75,3       | 84,3     |
| 8                     | 21-11-2022 12:51:03    | A319    | A         | 71,5      | 75,1       | 84,1     |
| 8                     | 21-11-2022 12:53:01    | E170    | A         | 70,4      | 73,0       | 81,2     |
| 8                     | 21-11-2022 12:55:00    | B788    | A         | 71,7      | 75,3       | 85,0     |
| 8                     | 21-11-2022 12:57:52    | E190    | A         | 71,5      | 73,7       | 82,9     |
| 8                     | 21-11-2022 13:00:10    | E190    | A         | 72,0      | 74,7       | 84,1     |
| 8                     | 21-11-2022 13:02:10    | E195    | A         | 71,4      | 75,5       | 84,6     |
| 8                     | 21-11-2022 13:07:47    | E75S    | A         | 71,7      | 74,4       | 83,5     |
| 8                     | 21-11-2022 13:13:37    | E195    | A         | 71,4      | 73,6       | 83,1     |
| 8                     | 21-11-2022 13:16:26    | A21N    | A         | 84,6      | 93,0       | 100,8    |
| 8                     | 21-11-2022 13:31:45    | A320    | A         | 72,7      | 75,4       | 84,2     |
| 8                     | 21-11-2022 13:43:36    | E75S    | A         | 72,2      | 75,1       | 84,6     |
| 8                     | 21-11-2022 13:47:55    | B38M    | A         | 71,9      | 74,8       | 83,3     |
| 8                     | 21-11-2022 13:52:50    | E75S    | A         | 71,6      | 74,4       | 82,7     |
| 8                     | 21-11-2022 13:54:22    | BCS3    | A         | 69,6      | 71,3       | 80,1     |
| 8                     | 21-11-2022 13:59:05    | B738    | A         | 71,6      | 75,7       | 84,8     |
| 8                     | 21-11-2022 14:03:20    | E195    | A         | 71,9      | 75,0       | 83,7     |
| 8                     | 21-11-2022 14:10:14    | E195    | A         | 74,6      | 77,6       | 86,3     |
| 8                     | 21-11-2022 14:12:53    | B38M    | A         | 71,3      | 73,8       | 83,3     |
| 8                     | 21-11-2022 14:24:29    | A21N    | A         | 71,1      | 73,1       | 81,5     |
| 8                     | 21-11-2022 14:27:55    | E195    | A         | 72,7      | 75,5       | 84,1     |
| 8                     | 21-11-2022 14:42:21    | E195    | A         | 71,8      | 75,2       | 84,3     |
| 8                     | 21-11-2022 14:48:51    | B738    | A         | 71,7      | 75,4       | 84,3     |
| 8                     | 21-11-2022 14:59:27    | B38M    | A         | 71,3      | 74,9       | 84,3     |
| 8                     | 21-11-2022 15:04:02    | B789    | A         | 71,5      | 75,3       | 84,7     |
| 8                     | 21-11-2022 15:06:31    | E195    | A         | 72,7      | 76,2       | 84,2     |
| 8                     | 21-11-2022 15:09:25    | A321    | A         | 72,0      | 74,9       | 83,1     |
| 8                     | 21-11-2022 15:19:42    | E75S    | A         | 71,0      | 73,6       | 82,1     |
| 8                     | 21-11-2022 15:27:21    | E195    | A         | 71,8      | 74,2       | 83,3     |
| 8                     | 21-11-2022 15:29:25    | E170    | A         | 71,8      | 75,0       | 82,9     |
| 8                     | 21-11-2022 15:31:19    | A320    | A         | 71,3      | 74,0       | 82,4     |
| 8                     | 21-11-2022 15:33:14    | E75S    | A         | 70,3      | 72,9       | 81,7     |
| 8                     | 21-11-2022 15:36:13    | E195    | A         | 72,2      | 74,9       | 84,0     |
| 8                     | 21-11-2022 15:39:18    | E75S    | A         | 71,2      | 73,2       | 82,0     |
| 8                     | 21-11-2022 15:40:58    | E75S    | A         | 70,9      | 74,4       | 82,3     |

| Nr punktu pomiarowego | Data i godz. zdarzenia | Samolot | Operacja* | $L_{Aeq}$ | $L_{Amax}$ | $L_{AE}$ |
|-----------------------|------------------------|---------|-----------|-----------|------------|----------|
|                       |                        |         |           | [dB]      | [dB]       | [dB]     |
| 8                     | 21-11-2022 15:43:31    | B738    | A         | 73,5      | 78,0       | 86,3     |
| 8                     | 21-11-2022 15:46:05    | E190    | A         | 71,5      | 74,5       | 84,0     |
| 8                     | 21-11-2022 15:47:50    | E190    | A         | 72,4      | 76,1       | 85,0     |
| 8                     | 21-11-2022 15:53:47    | E75S    | A         | 70,8      | 73,8       | 82,2     |
| 8                     | 21-11-2022 16:03:27    | A21N    | A         | 70,1      | 72,9       | 81,2     |
| 8                     | 21-11-2022 16:10:08    | E195    | A         | 71,7      | 74,7       | 83,4     |
| 8                     | 21-11-2022 16:14:36    | CRJ9    | A         | 70,4      | 72,4       | 81,5     |
| 8                     | 21-11-2022 16:17:04    | E75S    | A         | 70,3      | 73,8       | 82,6     |
| 8                     | 21-11-2022 16:22:28    | A321    | A         | 71,5      | 74,6       | 82,6     |
| 8                     | 21-11-2022 16:29:57    | A320    | A         | 73,4      | 76,5       | 85,5     |
| 8                     | 21-11-2022 16:36:16    | A321    | A         | 71,8      | 75,1       | 83,2     |
| 8                     | 21-11-2022 16:41:43    | A321    | A         | 70,8      | 74,2       | 82,5     |
| 8                     | 21-11-2022 16:43:43    | DH8D    | A         | 71,1      | 72,9       | 81,6     |
| 8                     | 21-11-2022 16:46:17    | A321    | A         | 71,7      | 74,2       | 83,1     |
| 8                     | 21-11-2022 16:57:03    | E190    | A         | 72,1      | 74,7       | 83,2     |
| 8                     | 21-11-2022 17:29:05    | DH8D    | A         | 69,3      | 71         | 78,8     |
| 8                     | 21-11-2022 17:35:21    | B738    | A         | 73        | 78,4       | 86,8     |
| 8                     | 21-11-2022 17:49:07    | E195    | A         | 73,4      | 77,0       | 85,1     |
| 8                     | 21-11-2022 17:53:11    | E195    | A         | 71,3      | 75,3       | 84,6     |
| 8                     | 21-11-2022 17:55:28    | E170    | A         | 71,1      | 74,1       | 82,3     |
| 8                     | 21-11-2022 18:18:14    | E75S    | A         | 70,5      | 74,8       | 83,1     |
| 8                     | 21-11-2022 18:23:27    | E170    | A         | 71,0      | 74,8       | 83,8     |
| 8                     | 21-11-2022 18:34:22    | E195    | A         | 70,5      | 74,8       | 84,7     |
| 8                     | 21-11-2022 18:36:30    | E190    | A         | 71,8      | 74,7       | 83,8     |
| 8                     | 21-11-2022 18:38:15    | E190    | A         | 71,6      | 75,3       | 84,4     |
| 8                     | 21-11-2022 18:40:05    | E170    | A         | 70,3      | 74,5       | 82,9     |
| 8                     | 21-11-2022 18:43:42    | A20N    | A         | 69,5      | 73,5       | 82,8     |
| 8                     | 21-11-2022 18:46:29    | A321    | A         | 70,3      | 73,9       | 82,8     |
| 8                     | 21-11-2022 18:49:25    | E195    | A         | 71,9      | 76,1       | 85,3     |
| 8                     | 21-11-2022 18:52:49    | B38M    | A         | 71,5      | 75,7       | 84,3     |
| 8                     | 21-11-2022 18:54:53    | E195    | A         | 72,2      | 76,8       | 85,0     |
| 8                     | 21-11-2022 18:57:24    | E190    | A         | 70,6      | 74,4       | 83,9     |
| 8                     | 21-11-2022 19:01:42    | E75S    | A         | 71,1      | 74,3       | 83,2     |
| 8                     | 21-11-2022 19:11:50    | E170    | A         | 69,7      | 72,0       | 80,5     |
| 8                     | 21-11-2022 19:13:17    | E75S    | A         | 71,1      | 73,8       | 82,3     |
| 8                     | 21-11-2022 19:23:08    | DH8D    | A         | 70,6      | 73,7       | 82,4     |
| 8                     | 21-11-2022 19:31:57    | CRJ9    | A         | 70,0      | 73,0       | 81,7     |
| 8                     | 21-11-2022 19:51:36    | B38M    | A         | 70,6      | 74,5       | 83,2     |
| 8                     | 21-11-2022 19:58:39    | E190    | A         | 71,1      | 74,2       | 82,9     |
| 8                     | 21-11-2022 20:01:08    | E195    | A         | 72,0      | 76,1       | 85,0     |
| 8                     | 21-11-2022 20:05:58    | E195    | A         | 71,8      | 75,2       | 83,8     |
| 8                     | 21-11-2022 20:23:07    | B38M    | A         | 72,1      | 75,4       | 84,4     |
| 8                     | 21-11-2022 20:30:09    | B38M    | A         | 70,9      | 75,6       | 84,7     |
| 8                     | 21-11-2022 20:38:07    | E190    | A         | 70,8      | 74,7       | 83,3     |
| 8                     | 21-11-2022 20:53:49    | E190    | A         | 71,6      | 74,4       | 82,8     |
| 8                     | 21-11-2022 20:55:19    | E75S    | A         | 69,2      | 71,9       | 80,4     |
| 8                     | 21-11-2022 20:56:24    | E195    | A         | 73,2      | 77,6       | 86       |
| 8                     | 21-11-2022 20:58:48    | E75S    | A         | 70,1      | 72,8       | 81,8     |
| 8                     | 21-11-2022 21:01:13    | E190    | A         | 70,8      | 73,7       | 82,6     |
| 8                     | 21-11-2022 21:08:00    | E195    | A         | 70,8      | 74,5       | 82,8     |
| 8                     | 21-11-2022 21:12:57    | B738    | A         | 72,4      | 76,1       | 84,7     |
| 8                     | 21-11-2022 21:16:38    | B738    | A         | 72,6      | 76,8       | 84,6     |
| 8                     | 21-11-2022 21:21:06    | E190    | A         | 70,6      | 74,0       | 82,6     |
| 8                     | 21-11-2022 21:26:11    | B38M    | A         | 71        | 74,8       | 84       |
| 8                     | 21-11-2022 21:29:49    | E195    | A         | 70,4      | 73,7       | 82,4     |
| 8                     | 21-11-2022 21:31:45    | B38M    | A         | 71,1      | 75,3       | 84,3     |
| 8                     | 21-11-2022 21:34:03    | E75S    | A         | 69,7      | 72,7       | 81,5     |

| Nr punktu pomiarowego | Data i godz. zdarzenia | Samolot | Operacja* | $L_{Aeq}$ | $L_{Amax}$ | $L_{AE}$ |
|-----------------------|------------------------|---------|-----------|-----------|------------|----------|
|                       |                        |         |           | [dB]      | [dB]       | [dB]     |
| 8                     | 21-11-2022 21:35:49    | E75S    | A         | 70,6      | 73,7       | 82,3     |
| 8                     | 21-11-2022 21:37:47    | DH8D    | A         | 69,5      | 71,0       | 78,6     |
| 8                     | 21-11-2022 21:43:51    | GA5C    | A         | 67,8      | 69,5       | 77,8     |
| 8                     | 21-11-2022 21:45:48    | A319    | A         | 70,1      | 72,5       | 80,5     |
| 8                     | 21-11-2022 21:47:31    | E75S    | A         | 71,5      | 73,2       | 81,5     |
| 8                     | 21-11-2022 21:49:20    | E75S    | A         | 70,8      | 73,1       | 81,5     |
| 8                     | 21-11-2022 21:51:09    | A320    | A         | 70,6      | 74,9       | 83,8     |
| 8                     | 21-11-2022 21:53:04    | E195    | A         | 71,1      | 74,1       | 83,6     |
| 8                     | 21-11-2022 21:54:56    | E195    | A         | 71,9      | 75,9       | 84,2     |
| 8                     | 21-11-2022 21:57:13    | E75S    | A         | 70,3      | 72,9       | 81,7     |
| 8                     | 22-11-2022 06:01:26    | E75S    | A         | 70,0      | 72,2       | 80,4     |
| 8                     | 22-11-2022 06:07:14    | B763    | A         | 71,7      | 75,4       | 84,5     |
| 8                     | 22-11-2022 06:12:52    | E190    | A         | 71,5      | 73,3       | 81,5     |
| 8                     | 22-11-2022 06:15:43    | E75S    | A         | 69,5      | 71,4       | 79,5     |
| 8                     | 22-11-2022 06:17:59    | DH8D    | A         | 69,5      | 71,3       | 79,1     |
| 8                     | 22-11-2022 06:20:22    | E75S    | A         | 71        | 73,1       | 81       |
| 8                     | 22-11-2022 06:22:20    | E195    | A         | 71,4      | 73,4       | 82,2     |
| 8                     | 22-11-2022 06:24:05    | B38M    | A         | 71,1      | 73,8       | 81,9     |
| 8                     | 22-11-2022 06:26:09    | E195    | A         | 71,7      | 73,9       | 82,5     |
| 8                     | 22-11-2022 06:28:09    | E195    | A         | 71,3      | 73,7       | 81,3     |
| 8                     | 22-11-2022 06:36:27    | B789    | A         | 71,3      | 74,0       | 83,0     |
| 8                     | 22-11-2022 06:45:47    | E190    | A         | 70,7      | 74,0       | 83,0     |
| 8                     | 22-11-2022 07:11:19    | B738    | A         | 71,8      | 74,6       | 82,6     |
| 8                     | 22-11-2022 07:13:24    | B738    | A         | 72,2      | 75,6       | 84,2     |
| 8                     | 22-11-2022 07:55:27    | B38M    | A         | 71,0      | 74,7       | 83,1     |
| 8                     | 22-11-2022 08:13:40    | E195    | A         | 70,7      | 72,4       | 81,1     |
| 8                     | 22-11-2022 08:24:00    | E170    | A         | 70,2      | 71,8       | 79,8     |
| 8                     | 22-11-2022 08:27:47    | E170    | A         | 70,7      | 72,5       | 80,7     |
| 8                     | 22-11-2022 08:29:56    | E190    | A         | 71,4      | 74,2       | 82,5     |
| 8                     | 22-11-2022 08:32:17    | B738    | A         | 72,3      | 74,9       | 83,5     |
| 8                     | 22-11-2022 08:45:03    | E75S    | A         | 70,9      | 73,5       | 81,3     |
| 8                     | 22-11-2022 08:52:50    | E75S    | A         | 69,9      | 71,6       | 79,9     |
| 8                     | 22-11-2022 09:03:14    | E195    | A         | 71,4      | 74,1       | 83,1     |
| 8                     | 22-11-2022 09:06:56    | E170    | A         | 70,4      | 72,7       | 80,8     |
| 8                     | 22-11-2022 09:09:17    | E75S    | A         | 71,3      | 73,1       | 80,8     |
| 8                     | 22-11-2022 09:11:56    | E190    | A         | 70,7      | 72,8       | 81,5     |
| 8                     | 22-11-2022 09:14:32    | E170    | A         | 69,3      | 71,9       | 80,5     |
| 8                     | 22-11-2022 09:17:00    | E195    | A         | 71,2      | 73,5       | 81,6     |
| 8                     | 22-11-2022 09:19:43    | C295    | A         | 70,6      | 72,3       | 79,6     |
| 8                     | 22-11-2022 09:24:07    | E170    | A         | 70,3      | 72,3       | 79,9     |
| 8                     | 22-11-2022 09:27:00    | E195    | A         | 71,8      | 74,2       | 83,0     |
| 8                     | 22-11-2022 09:29:44    | CRJ9    | A         | 69,2      | 70,8       | 79,2     |
| 8                     | 22-11-2022 09:36:43    | E75S    | A         | 71,2      | 73,6       | 81,6     |
| 8                     | 22-11-2022 09:40:14    | E195    | A         | 71,2      | 73,7       | 83,6     |
| 8                     | 22-11-2022 09:42:34    | E190    | A         | 72,2      | 75,1       | 83,7     |
| 8                     | 22-11-2022 09:45:16    | A321    | A         | 70,5      | 73,0       | 80,9     |
| 8                     | 22-11-2022 09:51:31    | E195    | A         | 71,9      | 75,0       | 83,9     |
| 8                     | 22-11-2022 09:56:13    | B789    | A         | 70,7      | 74,2       | 83,9     |
| 8                     | 22-11-2022 10:28:35    | E190    | A         | 72,1      | 74,8       | 83,5     |
| 8                     | 22-11-2022 10:38:19    | B789    | A         | 72,3      | 75,3       | 84,3     |
| 8                     | 22-11-2022 10:48:53    | E75S    | A         | 71,2      | 73,8       | 82,0     |
| 8                     | 22-11-2022 10:50:53    | E75S    | A         | 70,3      | 73,1       | 81,4     |
| 8                     | 22-11-2022 10:53:34    | C295    | A         | 70,7      | 73,0       | 80,7     |
| 8                     | 22-11-2022 11:11:29    | B788    | A         | 70,5      | 73,8       | 83,7     |
| 8                     | 22-11-2022 11:17:20    | E190    | A         | 71,3      | 74,2       | 83,0     |
| 8                     | 22-11-2022 11:19:22    | B77W    | A         | 74,8      | 79,3       | 88,2     |
| 8                     | 22-11-2022 11:22:31    | E195    | A         | 71,9      | 75,6       | 83,7     |

| Nr punktu pomiarowego | Data i godz. zdarzenia | Samolot | Operacja* | $L_{Aeq}$ | $L_{Amax}$ | $L_{AE}$ |
|-----------------------|------------------------|---------|-----------|-----------|------------|----------|
|                       |                        |         |           | [dB]      | [dB]       | [dB]     |
| 8                     | 22-11-2022 11:31:29    | A321    | A         | 72,4      | 75,2       | 83,2     |
| 8                     | 22-11-2022 11:39:54    | E195    | A         | 71,7      | 74,8       | 83,7     |
| 8                     | 22-11-2022 11:53:36    | E75S    | A         | 70,6      | 73,2       | 81,7     |
| 8                     | 22-11-2022 11:55:26    | A321    | A         | 71,1      | 73,3       | 81,9     |
| 8                     | 22-11-2022 12:01:17    | E195    | A         | 72,5      | 78,0       | 85,1     |
| 8                     | 22-11-2022 12:05:17    | E195    | A         | 72,0      | 74,4       | 83,2     |
| 8                     | 22-11-2022 12:07:15    | BCS3    | A         | 71,3      | 73,8       | 81,7     |
| 8                     | 22-11-2022 12:09:21    | E195    | A         | 72,3      | 75,5       | 83,8     |
| 8                     | 22-11-2022 12:11:13    | B788    | A         | 71,7      | 75,1       | 85,2     |
| 8                     | 22-11-2022 12:13:44    | E75S    | A         | 71,2      | 73,0       | 82,0     |
| 8                     | 22-11-2022 12:15:59    | E190    | A         | 72,8      | 75,9       | 84,2     |
| 8                     | 22-11-2022 12:18:18    | E190    | A         | 72,3      | 74,8       | 83,1     |
| 8                     | 22-11-2022 12:20:31    | E75S    | A         | 71,6      | 74,5       | 82,7     |
| 8                     | 22-11-2022 12:22:19    | A21N    | A         | 70,7      | 72,5       | 81,1     |
| 8                     | 22-11-2022 12:25:41    | B789    | A         | 72,1      | 75,7       | 85,3     |
| 8                     | 22-11-2022 12:28:04    | A21N    | A         | 71,0      | 74,7       | 84,2     |
| 8                     | 22-11-2022 12:30:02    | E75S    | A         | 70,9      | 72,5       | 81,7     |
| 8                     | 22-11-2022 12:35:10    | B788    | A         | 71,8      | 75,4       | 84,4     |
| 8                     | 22-11-2022 12:37:16    | E195    | A         | 71,7      | 74,3       | 83,5     |
| 8                     | 22-11-2022 12:39:01    | DH8D    | A         | 72,1      | 74,7       | 82,9     |
| 8                     | 22-11-2022 12:40:48    | B738    | A         | 72,5      | 76,1       | 84,8     |
| 8                     | 22-11-2022 12:45:44    | E190    | A         | 71,7      | 73,7       | 83,2     |
| 8                     | 22-11-2022 12:47:32    | E170    | A         | 70,5      | 73,6       | 81,7     |
| 8                     | 22-11-2022 12:49:16    | E195    | A         | 72,1      | 75,3       | 84,2     |
| 8                     | 22-11-2022 12:51:17    | A319    | A         | 71,5      | 75,0       | 83,6     |
| 8                     | 22-11-2022 12:53:02    | E170    | A         | 70,1      | 73,0       | 81,6     |
| 8                     | 22-11-2022 12:55:33    | E170    | A         | 70,7      | 72,9       | 81,9     |
| 8                     | 22-11-2022 13:07:25    | B788    | A         | 72,2      | 75,1       | 85,0     |
| 8                     | 22-11-2022 13:13:33    | E195    | A         | 72,1      | 75,0       | 84,2     |
| 8                     | 22-11-2022 13:16:07    | P180    | A         | 76,2      | 80,6       | 91,8     |
| 8                     | 22-11-2022 13:18:19    | B789    | A         | 71,9      | 75,5       | 85,1     |
| 8                     | 22-11-2022 13:32:28    | B38M    | A         | 70,8      | 74,4       | 83,8     |
| 8                     | 22-11-2022 13:44:35    | E195    | A         | 71,2      | 73,8       | 83,5     |
| 8                     | 22-11-2022 13:47:10    | E170    | A         | 70,7      | 72,8       | 83,0     |
| 8                     | 22-11-2022 13:51:03    | E295    | A         | 70,3      | 71,9       | 79,9     |
| 8                     | 22-11-2022 13:53:57    | E75S    | A         | 71,0      | 73,4       | 81,4     |
| 8                     | 22-11-2022 13:56:22    | E190    | A         | 72,2      | 76,9       | 84,5     |
| 8                     | 22-11-2022 14:00:36    | A21N    | A         | 70,4      | 73,5       | 81,6     |
| 8                     | 22-11-2022 14:05:21    | E195    | A         | 71,7      | 75,0       | 84,7     |
| 8                     | 22-11-2022 14:09:14    | E75S    | A         | 70,6      | 73,3       | 81,8     |
| 8                     | 22-11-2022 14:22:43    | E190    | A         | 70,8      | 73,8       | 82,6     |
| 8                     | 22-11-2022 14:28:03    | B38M    | A         | 71,4      | 75,5       | 83,7     |
| 8                     | 22-11-2022 14:30:49    | A321    | A         | 71,1      | 72,9       | 81,5     |
| 8                     | 22-11-2022 14:44:20    | E75S    | A         | 71,9      | 73,9       | 83,1     |
| 8                     | 22-11-2022 14:50:20    | C295    | A         | 70,5      | 72,2       | 80,0     |
| 8                     | 22-11-2022 15:07:55    | E75S    | A         | 72,1      | 75,7       | 84,4     |
| 8                     | 22-11-2022 15:16:01    | E195    | A         | 73,6      | 77,1       | 86,2     |
| 8                     | 22-11-2022 15:19:13    | E195    | A         | 73,5      | 80,4       | 89,1     |
| 8                     | 22-11-2022 15:21:20    | A321    | A         | 70,5      | 73,8       | 82,3     |
| 8                     | 22-11-2022 15:24:40    | E190    | A         | 71,7      | 75,4       | 84       |
| 8                     | 22-11-2022 15:26:28    | E190    | A         | 72,0      | 75,1       | 84,6     |
| 8                     | 22-11-2022 15:29:55    | E75S    | A         | 71,8      | 74,4       | 83,2     |
| 8                     | 22-11-2022 15:32:11    | DH8D    | A         | 69,3      | 70,6       | 78,4     |
| 8                     | 22-11-2022 15:40:07    | E190    | A         | 72,3      | 75,4       | 84,4     |
| 8                     | 22-11-2022 15:47:56    | B38M    | A         | 70,7      | 73,8       | 82,8     |
| 8                     | 22-11-2022 15:50:32    | E75S    | A         | 70,5      | 72,9       | 81,3     |
| 8                     | 22-11-2022 15:55:40    | E190    | A         | 73,6      | 76         | 84,7     |

| Nr punktu pomiarowego | Data i godz. zdarzenia | Samolot | Operacja* | $L_{Aeq}$ | $L_{Amax}$ | $L_{AE}$ |
|-----------------------|------------------------|---------|-----------|-----------|------------|----------|
|                       |                        |         |           | [dB]      | [dB]       | [dB]     |
| 8                     | 22-11-2022 15:57:57    | E170    | A         | 71,8      | 75,2       | 82,9     |
| 8                     | 22-11-2022 16:00:57    | E190    | A         | 70,8      | 74,1       | 83,1     |
| 8                     | 22-11-2022 16:10:55    | A320    | A         | 72,6      | 76,0       | 84,9     |
| 8                     | 22-11-2022 16:12:29    | E75S    | A         | 71,4      | 74,2       | 82,2     |
| 8                     | 22-11-2022 16:14:58    | A319    | A         | 72,0      | 75,4       | 84,6     |
| 8                     | 22-11-2022 16:45:11    | A320    | A         | 70,4      | 74,0       | 83,2     |
| 8                     | 22-11-2022 16:50:00    | B738    | A         | 72,4      | 75,6       | 84,2     |
| 8                     | 22-11-2022 16:59:21    | A321    | A         | 70,1      | 72,9       | 82,4     |
| 8                     | 22-11-2022 17:02:46    | DH8D    | A         | 69,0      | 70,0       | 78,5     |
| 8                     | 22-11-2022 17:04:50    | A321    | A         | 70,8      | 74,1       | 82,6     |
| 8                     | 22-11-2022 17:11:20    | E75S    | A         | 71,0      | 73,4       | 82,2     |
| 8                     | 22-11-2022 17:23:32    | B788    | A         | 72,7      | 76,4       | 86,0     |
| 8                     | 22-11-2022 17:38:44    | B738    | A         | 72,7      | 76,1       | 84,7     |
| 8                     | 22-11-2022 17:41:06    | E195    | A         | 71,4      | 74,5       | 83,4     |
| 8                     | 22-11-2022 17:50:16    | A321    | A         | 71,5      | 73,7       | 81,5     |
| 8                     | 22-11-2022 17:52:31    | E170    | A         | 70,7      | 72,7       | 81,1     |
| 8                     | 22-11-2022 18:04:33    | P180    | A         | 75,3      | 80,1       | 91,1     |
| 8                     | 22-11-2022 18:06:45    | A21N    | A         | 71,1      | 75,2       | 83,6     |
| 8                     | 22-11-2022 18:09:20    | B350    | A         | 69,0      | 71,8       | 80,8     |
| 8                     | 22-11-2022 18:11:53    | E190    | A         | 70,0      | 72,6       | 82,0     |
| 8                     | 22-11-2022 18:14:59    | DH8D    | A         | 68,3      | 69,2       | 77,8     |
| 8                     | 22-11-2022 18:19:12    | B38M    | A         | 70,7      | 74,6       | 83,3     |
| 8                     | 22-11-2022 18:21:24    | E170    | A         | 70,2      | 74,0       | 82,0     |
| 8                     | 22-11-2022 18:23:16    | E190    | A         | 71,2      | 73,5       | 82,6     |
| 8                     | 22-11-2022 18:25:26    | CRJ9    | A         | 69,5      | 72,2       | 80,9     |
| 8                     | 22-11-2022 18:27:43    | A20N    | A         | 69,2      | 72,2       | 81,2     |
| 8                     | 22-11-2022 18:29:40    | E75S    | A         | 70,2      | 73,5       | 81,9     |
| 8                     | 22-11-2022 18:31:44    | E195    | A         | 71,3      | 73,9       | 83,3     |
| 8                     | 22-11-2022 18:33:49    | B38M    | A         | 70,6      | 73,6       | 82,0     |
| 8                     | 22-11-2022 18:35:56    | E170    | A         | 70,7      | 73,8       | 80,7     |
| 8                     | 22-11-2022 18:37:42    | E195    | A         | 71,5      | 74,9       | 83,5     |
| 8                     | 22-11-2022 18:39:39    | A20N    | A         | 69,3      | 72,6       | 81,3     |
| 8                     | 22-11-2022 18:43:54    | E190    | A         | 70,6      | 73,0       | 82,1     |
| 8                     | 22-11-2022 18:46:03    | E170    | A         | 69,3      | 72,0       | 80,5     |
| 8                     | 22-11-2022 18:48:15    | E75S    | A         | 70,7      | 73,0       | 81,8     |
| 8                     | 22-11-2022 18:50:48    | F2TH    | A         | 67,0      | 68,2       | 77,0     |
| 8                     | 22-11-2022 18:52:41    | E75S    | A         | 71,3      | 74,9       | 83,1     |
| 8                     | 22-11-2022 18:56:52    | B788    | A         | 69,3      | 72,7       | 82,7     |
| 8                     | 22-11-2022 18:59:14    | E195    | A         | 70,7      | 72,9       | 82,2     |
| 8                     | 22-11-2022 19:01:25    | E75S    | A         | 69,2      | 71,9       | 80,3     |
| 8                     | 22-11-2022 19:03:26    | E195    | A         | 71,8      | 74,2       | 82,9     |
| 8                     | 22-11-2022 19:05:33    | E190    | A         | 71,4      | 73,9       | 83,1     |
| 8                     | 22-11-2022 19:07:51    | E195    | A         | 70,8      | 74,9       | 83,8     |
| 8                     | 22-11-2022 19:10:06    | E75S    | A         | 69,2      | 72,3       | 81,3     |
| 8                     | 22-11-2022 19:17:37    | B38M    | A         | 70,8      | 74,0       | 82,3     |
| 8                     | 22-11-2022 19:34:50    | E195    | A         | 71,4      | 75,5       | 84,4     |
| 8                     | 22-11-2022 20:42:47    | E75S    | A         | 70,9      | 73,5       | 81,7     |
| 8                     | 22-11-2022 20:44:42    | E195    | A         | 71,4      | 73,8       | 83,2     |
| 8                     | 22-11-2022 20:47:14    | E190    | A         | 70,8      | 73,6       | 81,6     |
| 8                     | 22-11-2022 21:03:39    | E190    | A         | 69,8      | 72,4       | 81,9     |
| 8                     | 22-11-2022 21:09:38    | E75S    | A         | 69,8      | 72,6       | 81,0     |
| 8                     | 22-11-2022 21:11:52    | E75S    | A         | 69,0      | 70,7       | 79,4     |
| 8                     | 22-11-2022 21:14:17    | E190    | A         | 71,9      | 74,6       | 83,6     |
| 8                     | 22-11-2022 21:16:55    | A320    | A         | 69,4      | 72,6       | 80,2     |
| 8                     | 22-11-2022 21:18:41    | B38M    | A         | 70,9      | 74,9       | 82,4     |
| 8                     | 22-11-2022 21:21:02    | B738    | A         | 71,8      | 75,1       | 84,3     |
| 8                     | 22-11-2022 21:23:05    | B38M    | A         | 70,9      | 74,3       | 82,4     |

| Nr punktu pomiarowego | Data i godz. zdarzenia | Samolot | Operacja* | $L_{Aeq}$ | $L_{Amax}$ | $L_{AE}$ |
|-----------------------|------------------------|---------|-----------|-----------|------------|----------|
|                       |                        |         |           | [dB]      | [dB]       | [dB]     |
| 8                     | 22-11-2022 21:25:07    | E195    | A         | 71,9      | 75,6       | 83,7     |
| 8                     | 22-11-2022 21:26:57    | B38M    | A         | 70,2      | 72,5       | 81,9     |
| 8                     | 22-11-2022 21:28:56    | E75S    | A         | 70,0      | 72,2       | 80,8     |
| 8                     | 22-11-2022 21:30:55    | E195    | A         | 70,8      | 74,0       | 82,8     |
| 8                     | 22-11-2022 21:33:15    | E190    | A         | 71,0      | 73,6       | 82,5     |
| 8                     | 22-11-2022 21:36:00    | E195    | A         | 72,2      | 75,2       | 83,7     |
| 8                     | 22-11-2022 21:38:47    | B38M    | A         | 70,6      | 74,4       | 82,9     |
| 8                     | 22-11-2022 21:45:38    | E170    | A         | 70,1      | 72,5       | 80,9     |
| 8                     | 22-11-2022 21:48:55    | E75S    | A         | 70,2      | 72,9       | 81,0     |
| 8                     | 22-11-2022 21:54:46    | E75S    | A         | 71,1      | 74,9       | 83,4     |
| 8                     | 23-11-2022 06:06:10    | E190    | A         | 71,6      | 74,6       | 82,8     |
| 8                     | 23-11-2022 06:09:25    | E75S    | A         | 71,4      | 74,4       | 81,8     |
| 8                     | 23-11-2022 06:18:40    | E195    | A         | 71,8      | 74,0       | 82,2     |
| 8                     | 23-11-2022 06:20:29    | E75S    | A         | 70,9      | 73,5       | 81,6     |
| 8                     | 23-11-2022 06:22:32    | E195    | A         | 71,8      | 74,8       | 83,0     |
| 8                     | 23-11-2022 06:24:20    | B738    | A         | 72,4      | 75,2       | 83,5     |
| 8                     | 23-11-2022 06:26:32    | A306    | A         | 73,9      | 78,0       | 86,9     |
| 8                     | 23-11-2022 06:31:23    | E75S    | A         | 69,9      | 71,6       | 80,3     |
| 8                     | 23-11-2022 06:36:16    | E75S    | A         | 71,6      | 73,4       | 82,0     |
| 8                     | 23-11-2022 06:40:03    | E190    | A         | 71,6      | 74,0       | 82,4     |
| 8                     | 23-11-2022 07:39:34    | B38M    | A         | 72,6      | 75,2       | 83,7     |
| 8                     | 23-11-2022 08:24:52    | E190    | A         | 70,3      | 72,7       | 80,8     |
| 8                     | 23-11-2022 08:27:57    | E75S    | A         | 69,1      | 71,2       | 79,1     |
| 8                     | 23-11-2022 08:29:40    | E170    | A         | 70,3      | 71,9       | 79,8     |
| 8                     | 23-11-2022 08:31:44    | E195    | A         | 72,0      | 74,9       | 82,7     |
| 8                     | 23-11-2022 08:41:37    | E75S    | A         | 69,5      | 71,0       | 79,5     |
| 8                     | 23-11-2022 08:44:08    | A319    | A         | 70,0      | 71,8       | 80,0     |
| 8                     | 23-11-2022 08:46:34    | E170    | A         | 69,7      | 71,6       | 79,2     |
| 8                     | 23-11-2022 08:48:56    | P180    | A         | 70,0      | 72,3       | 84,4     |
| 8                     | 23-11-2022 08:57:31    | E170    | A         | 70,4      | 72,0       | 79,9     |
| 8                     | 23-11-2022 09:03:36    | B38M    | A         | 70,8      | 73,5       | 81,2     |
| 8                     | 23-11-2022 09:13:36    | E190    | A         | 70,9      | 72,7       | 81,7     |
| 8                     | 23-11-2022 09:16:03    | CRJ9    | A         | 69,3      | 70,5       | 79,3     |
| 8                     | 23-11-2022 09:18:08    | E195    | A         | 72,1      | 74,5       | 81,6     |
| 8                     | 23-11-2022 09:20:33    | E75S    | A         | 69,6      | 71,5       | 79,6     |
| 8                     | 23-11-2022 09:23:27    | E195    | A         | 70,4      | 72,3       | 81,2     |
| 8                     | 23-11-2022 09:27:04    | E170    | A         | 70,5      | 73,6       | 82,2     |
| 8                     | 23-11-2022 09:29:05    | E75S    | A         | 71,6      | 74,6       | 83,1     |
| 8                     | 23-11-2022 09:35:16    | E75S    | A         | 71,6      | 74,9       | 83,1     |
| 8                     | 23-11-2022 09:39:58    | BE20    | A         | 75,0      | 77,7       | 84,0     |
| 8                     | 23-11-2022 09:46:30    | E75S    | A         | 70,5      | 72,8       | 80,5     |
| 8                     | 23-11-2022 10:17:54    | A320    | A         | 70,7      | 73,3       | 81,5     |
| 8                     | 23-11-2022 10:21:11    | DH8D    | A         | 68,6      | 70,1       | 77,6     |
| 8                     | 23-11-2022 10:36:03    | E190    | A         | 71,9      | 74,9       | 83,4     |
| 8                     | 23-11-2022 10:43:02    | B788    | A         | 71,2      | 73,5       | 83,5     |
| 8                     | 23-11-2022 10:46:31    | E75S    | A         | 70,1      | 73,0       | 80,9     |
| 8                     | 23-11-2022 10:50:36    | A21N    | A         | 70,1      | 71,7       | 79,6     |
| 8                     | 23-11-2022 11:02:03    | E170    | A         | 71,2      | 74,0       | 82,3     |
| 8                     | 23-11-2022 11:16:54    | A321    | A         | 71,6      | 74,4       | 81,6     |
| 8                     | 23-11-2022 11:19:17    | A320    | A         | 70,0      | 72,6       | 80,4     |
| 8                     | 23-11-2022 11:21:22    | B77W    | A         | 73,9      | 77,6       | 86,4     |
| 8                     | 23-11-2022 11:26:25    | E190    | A         | 71,6      | 73,9       | 83,4     |
| 8                     | 23-11-2022 11:31:10    | B788    | A         | 71,9      | 74,7       | 84,0     |
| 8                     | 23-11-2022 11:49:21    | E190    | A         | 71,3      | 73,3       | 82,8     |
| 8                     | 23-11-2022 11:58:46    | A321    | A         | 70,5      | 72,5       | 80,5     |
| 8                     | 23-11-2022 12:03:43    | E75S    | A         | 70,1      | 72,2       | 80,9     |
| 8                     | 23-11-2022 12:06:20    | E195    | A         | 70,9      | 73,4       | 82,7     |

| Nr punktu pomiarowego | Data i godz. zdarzenia | Samolot | Operacja* | $L_{Aeq}$ | $L_{Amax}$ | $L_{AE}$ |
|-----------------------|------------------------|---------|-----------|-----------|------------|----------|
|                       |                        |         |           | [dB]      | [dB]       | [dB]     |
| 8                     | 23-11-2022 12:09:51    | DH8D    | A         | 69,1      | 70,8       | 78,2     |
| 8                     | 23-11-2022 12:12:44    | E190    | A         | 70,7      | 74,3       | 85,1     |
| 8                     | 23-11-2022 12:16:41    | B788    | A         | 71,5      | 75,2       | 83,8     |
| 8                     | 23-11-2022 12:19:02    | E195    | A         | 71,0      | 73,1       | 82,4     |
| 8                     | 23-11-2022 12:21:10    | E75S    | A         | 70,1      | 72,4       | 80,5     |
| 8                     | 23-11-2022 12:22:58    | E195    | A         | 71,3      | 74,4       | 84,7     |
| 8                     | 23-11-2022 12:25:21    | BCS3    | A         | 69,8      | 71,6       | 79,3     |
| 8                     | 23-11-2022 12:28:29    | B788    | A         | 71,2      | 73,8       | 83,8     |
| 8                     | 23-11-2022 12:30:58    | B789    | A         | 71,9      | 75,5       | 84,2     |
| 8                     | 23-11-2022 12:33:28    | E75S    | A         | 71,1      | 72,9       | 81,5     |
| 8                     | 23-11-2022 12:35:33    | E170    | A         | 71,7      | 75,5       | 83,2     |
| 8                     | 23-11-2022 12:37:35    | B789    | A         | 71,2      | 73,8       | 83,5     |
| 8                     | 23-11-2022 12:40:06    | E190    | A         | 71,1      | 74,1       | 82,5     |
| 8                     | 23-11-2022 12:42:06    | E170    | A         | 70,1      | 72,8       | 80,9     |
| 8                     | 23-11-2022 12:44:03    | DH8D    | A         | 68,8      | 70,8       | 78,3     |
| 8                     | 23-11-2022 12:47:49    | A319    | A         | 70,8      | 73,6       | 82,2     |
| 8                     | 23-11-2022 12:51:54    | E170    | A         | 70,7      | 73,1       | 81,5     |
| 8                     | 23-11-2022 12:58:45    | E195    | A         | 81,4      | 88,4       | 95,2     |
| 8                     | 23-11-2022 13:00:51    | E170    | A         | 70,0      | 72,6       | 81,1     |
| 8                     | 23-11-2022 13:02:40    | E190    | A         | 71,0      | 73,7       | 82,8     |
| 8                     | 23-11-2022 13:15:45    | E195    | A         | 72,4      | 74,9       | 83,9     |
| 8                     | 23-11-2022 13:17:40    | A21N    | A         | 70,2      | 73         | 81       |
| 8                     | 23-11-2022 13:24:46    | E195    | A         | 72,1      | 75,2       | 84,2     |
| 8                     | 23-11-2022 13:27:02    | E75S    | A         | 71,2      | 74,3       | 83,0     |
| 8                     | 23-11-2022 13:44:28    | E190    | A         | 71,9      | 75,0       | 83,3     |
| 8                     | 23-11-2022 13:50:04    | E75S    | A         | 71,5      | 74,0       | 81,5     |
| 8                     | 23-11-2022 13:53:31    | E190    | A         | 72,1      | 75,0       | 83,9     |
| 8                     | 23-11-2022 14:01:09    | E195    | A         | 71,7      | 74,5       | 83,2     |
| 8                     | 23-11-2022 14:03:18    | B789    | A         | 71,9      | 75,9       | 85,1     |
| 8                     | 23-11-2022 14:06:43    | E195    | A         | 72,3      | 75,5       | 83,1     |
| 8                     | 23-11-2022 14:08:39    | A321    | A         | 70,0      | 72,9       | 81,5     |
| 8                     | 23-11-2022 14:29:48    | B738    | A         | 73,3      | 76,5       | 84,8     |
| 8                     | 23-11-2022 14:47:11    | E190    | A         | 72,2      | 75,0       | 84,2     |
| 8                     | 23-11-2022 14:53:59    | E195    | A         | 71,1      | 74,4       | 83,4     |
| 8                     | 23-11-2022 15:01:24    | B737    | A         | 71,8      | 74,5       | 82,6     |
| 8                     | 23-11-2022 15:06:09    | P180    | A         | 75,4      | 79,9       | 91,0     |
| 8                     | 23-11-2022 15:10:31    | A21N    | A         | 71,4      | 73,9       | 82,9     |
| 8                     | 23-11-2022 15:16:21    | E195    | A         | 71,8      | 75,0       | 83,8     |
| 8                     | 23-11-2022 15:21:42    | B38M    | A         | 72,2      | 75,6       | 84,0     |
| 8                     | 23-11-2022 15:24:27    | E75S    | A         | 71,8      | 74,1       | 82,9     |
| 8                     | 23-11-2022 15:27:19    | E190    | A         | 71        | 75,1       | 84,2     |
| 8                     | 23-11-2022 15:29:24    | DH8D    | A         | 69,3      | 71         | 78,9     |
| 8                     | 23-11-2022 15:31:16    | E75S    | A         | 70,3      | 71,8       | 80,3     |
| 8                     | 23-11-2022 15:33:16    | E75S    | A         | 70,6      | 73,7       | 81,7     |
| 8                     | 23-11-2022 15:35:47    | E170    | A         | 69,8      | 71,3       | 78,8     |
| 8                     | 23-11-2022 15:39:56    | E190    | A         | 71        | 73,8       | 83,3     |
| 8                     | 23-11-2022 15:43:27    | E75S    | A         | 71,4      | 74,2       | 82,2     |
| 8                     | 23-11-2022 15:51:28    | B738    | A         | 72,1      | 75,1       | 83,5     |
| 8                     | 23-11-2022 15:58:49    | E190    | A         | 71,5      | 74,3       | 83,6     |
| 8                     | 23-11-2022 16:01:16    | E190    | A         | 72,1      | 74,7       | 84,1     |
| 8                     | 23-11-2022 16:07:17    | E195    | A         | 70,8      | 74,0       | 82,9     |
| 8                     | 23-11-2022 16:23:07    | A321    | A         | 72,7      | 75,8       | 84,5     |
| 8                     | 23-11-2022 16:24:42    | A319    | A         | 71,1      | 73,3       | 81,8     |
| 8                     | 23-11-2022 16:47:37    | E55P    | A         | 68,1      | 69,8       | 77,1     |
| 8                     | 23-11-2022 16:53:19    | A321    | A         | 70,6      | 72,5       | 79,6     |
| 8                     | 23-11-2022 17:04:40    | A321    | A         | 70,6      | 73,2       | 81,7     |
| 8                     | 23-11-2022 17:32:22    | A321    | A         | 71,4      | 73,8       | 81,8     |

| Nr punktu pomiarowego | Data i godz. zdarzenia | Samolot | Operacja* | $L_{Aeq}$ | $L_{Amax}$ | $L_{AE}$ |
|-----------------------|------------------------|---------|-----------|-----------|------------|----------|
|                       |                        |         |           | [dB]      | [dB]       | [dB]     |
| 8                     | 23-11-2022 17:34:49    | E190    | A         | 70,3      | 72,1       | 81,4     |
| 8                     | 23-11-2022 17:48:31    | E170    | A         | 70,6      | 72,3       | 80,6     |
| 8                     | 23-11-2022 17:51:57    | CRJ9    | A         | 69,5      | 70,8       | 79,0     |
| 8                     | 23-11-2022 17:54:42    | E75S    | A         | 70,4      | 72,6       | 80,4     |
| 8                     | 23-11-2022 18:01:35    | DH8D    | A         | 69,7      | 71,4       | 79,2     |
| 8                     | 23-11-2022 18:20:23    | CRJ9    | A         | 69,7      | 71,5       | 79,7     |
| 8                     | 23-11-2022 18:22:54    | A319    | A         | 70,4      | 73,6       | 82,2     |
| 8                     | 23-11-2022 18:31:45    | E190    | A         | 71,2      | 73,9       | 82,9     |
| 8                     | 23-11-2022 18:34:01    | E75S    | A         | 70,8      | 73,8       | 81,2     |
| 8                     | 23-11-2022 18:36:17    | E195    | A         | 71,6      | 74,2       | 82,7     |
| 8                     | 23-11-2022 18:40:55    | E195    | A         | 71,2      | 74,5       | 82,9     |
| 8                     | 23-11-2022 18:42:51    | A21N    | A         | 69,7      | 73,2       | 81,4     |
| 8                     | 23-11-2022 18:44:30    | B738    | A         | 72,5      | 77,4       | 85,7     |
| 8                     | 23-11-2022 18:46:33    | E170    | A         | 70,2      | 73,2       | 81,4     |
| 8                     | 23-11-2022 18:48:15    | E190    | A         | 70,3      | 73,1       | 82,1     |
| 8                     | 23-11-2022 18:50:17    | E170    | A         | 70,2      | 72,8       | 81,6     |
| 8                     | 23-11-2022 18:53:36    | E195    | A         | 71,0      | 74,1       | 83,6     |
| 8                     | 23-11-2022 18:56:26    | E190    | A         | 71,3      | 73,7       | 82,5     |
| 8                     | 23-11-2022 18:58:14    | DH8D    | A         | 68,7      | 70,2       | 77,7     |
| 8                     | 23-11-2022 19:00:05    | E75S    | A         | 69,7      | 72,1       | 80,5     |
| 8                     | 23-11-2022 19:01:58    | E295    | A         | 69,1      | 71,5       | 79,1     |
| 8                     | 23-11-2022 19:04:20    | E195    | A         | 71,9      | 77,3       | 84,2     |
| 8                     | 23-11-2022 19:14:16    | C295    | A         | 69,5      | 71,8       | 79,1     |
| 8                     | 23-11-2022 19:19:31    | E190    | A         | 71,0      | 74,3       | 83,1     |
| 8                     | 23-11-2022 19:38:28    | E170    | A         | 68,9      | 72         | 80,3     |
| 8                     | 23-11-2022 19:44:33    | B38M    | A         | 70,8      | 73,9       | 81,9     |
| 8                     | 23-11-2022 19:46:53    | SF34    | A         | 71,1      | 73,7       | 80,6     |
| 8                     | 23-11-2022 19:53:38    | E75S    | A         | 69,5      | 72,0       | 79,9     |
| 8                     | 23-11-2022 20:15:34    | B38M    | A         | 70,5      | 72,9       | 81,9     |
| 8                     | 23-11-2022 20:43:41    | E75S    | A         | 70,1      | 72,2       | 80,9     |
| 8                     | 23-11-2022 20:50:49    | E195    | A         | 71,4      | 74,4       | 82,8     |
| 8                     | 23-11-2022 20:53:17    | E195    | A         | 71,4      | 73,7       | 82,6     |
| 8                     | 23-11-2022 20:55:35    | E170    | A         | 69,9      | 72,5       | 81,3     |
| 8                     | 23-11-2022 21:11:30    | E190    | A         | 70,0      | 72,6       | 81,4     |
| 8                     | 23-11-2022 21:13:58    | E75S    | A         | 70,3      | 72,1       | 81,4     |
| 8                     | 23-11-2022 21:17:07    | E195    | A         | 71,9      | 74,4       | 83,6     |
| 8                     | 23-11-2022 21:21:40    | E195    | A         | 71,1      | 74,2       | 82,6     |
| 8                     | 23-11-2022 21:24:10    | E195    | A         | 71,4      | 73,9       | 82,8     |
| 8                     | 23-11-2022 21:25:57    | E195    | A         | 70,9      | 74,1       | 82,6     |
| 8                     | 23-11-2022 21:27:44    | E190    | A         | 70,7      | 72,7       | 81,4     |
| 8                     | 23-11-2022 21:30:02    | E75S    | A         | 69,4      | 71,3       | 79,4     |
| 8                     | 23-11-2022 21:32:13    | E75S    | A         | 69,7      | 71,3       | 78,7     |
| 8                     | 23-11-2022 21:34:04    | E75S    | A         | 71,3      | 73,8       | 81,7     |
| 8                     | 23-11-2022 21:36:34    | B38M    | A         | 70,9      | 73,4       | 81,7     |
| 8                     | 23-11-2022 21:38:31    | B738    | A         | 71,4      | 75,2       | 82,8     |
| 8                     | 23-11-2022 21:46:26    | E190    | A         | 70,9      | 73,2       | 81,7     |
| 8                     | 23-11-2022 21:48:29    | E190    | A         | 69,5      | 72,8       | 81,8     |
| 8                     | 23-11-2022 21:50:23    | E170    | A         | 69,0      | 71,0       | 79,8     |
| 8                     | 23-11-2022 21:54:47    | E75S    | A         | 70,6      | 73,7       | 81,8     |
| 8                     | 23-11-2022 21:57:46    | E75S    | A         | 69,8      | 72,5       | 80,6     |
| 8                     | 24-11-2022 06:06:21    | B763    | A         | 73,8      | 78,3       | 88,0     |
| 8                     | 24-11-2022 06:12:46    | B38M    | A         | 71,0      | 74,2       | 82,7     |
| 8                     | 24-11-2022 06:17:29    | E195    | A         | 73,7      | 75,9       | 84,8     |
| 8                     | 24-11-2022 06:19:10    | E195    | A         | 72,4      | 75,0       | 83,9     |
| 8                     | 24-11-2022 06:21:02    | E190    | A         | 71,0      | 73,2       | 82,8     |
| 8                     | 24-11-2022 06:22:59    | E75S    | A         | 70,9      | 73,8       | 82,4     |
| 8                     | 24-11-2022 06:24:56    | E75S    | A         | 71,5      | 74,4       | 83       |

| Nr punktu pomiarowego | Data i godz. zdarzenia | Samolot | Operacja* | $L_{Aeq}$ | $L_{Amax}$ | $L_{AE}$ |
|-----------------------|------------------------|---------|-----------|-----------|------------|----------|
|                       |                        |         |           | [dB]      | [dB]       | [dB]     |
| 8                     | 24-11-2022 06:27:29    | B38M    | A         | 72,2      | 76,2       | 84,3     |
| 8                     | 24-11-2022 06:29:54    | E75S    | A         | 71,0      | 73,9       | 82,4     |
| 8                     | 24-11-2022 06:31:50    | B738    | A         | 72,8      | 76,2       | 85,4     |
| 8                     | 24-11-2022 06:33:26    | E190    | A         | 72,2      | 74,6       | 83,7     |
| 8                     | 24-11-2022 06:36:30    | E75S    | A         | 72,4      | 74,9       | 83,2     |
| 8                     | 24-11-2022 07:47:06    | B738    | A         | 72,8      | 76,1       | 85,8     |
| 8                     | 24-11-2022 08:00:08    | E170    | A         | 69,8      | 71,6       | 81,2     |
| 8                     | 24-11-2022 08:12:19    | E195    | A         | 71,7      | 73,8       | 83,2     |
| 8                     | 24-11-2022 08:15:13    | E170    | A         | 70,9      | 72,8       | 81,3     |
| 8                     | 24-11-2022 08:17:54    | E75S    | A         | 70,2      | 72,1       | 81,0     |
| 8                     | 24-11-2022 08:19:49    | B737    | A         | 72,3      | 75,7       | 84,4     |
| 8                     | 24-11-2022 08:22:03    | E190    | A         | 71,1      | 73,9       | 82,8     |
| 8                     | 24-11-2022 08:24:02    | B738    | A         | 72,9      | 76,5       | 85,0     |
| 8                     | 24-11-2022 08:26:30    | A21N    | A         | 70,8      | 74,0       | 83,3     |
| 8                     | 24-11-2022 08:43:20    | A320    | A         | 71,9      | 74,7       | 83,6     |
| 8                     | 24-11-2022 08:45:26    | E195    | A         | 71,5      | 73,6       | 82,6     |
| 8                     | 24-11-2022 09:06:12    | E75S    | A         | 71        | 73,6       | 82,1     |
| 8                     | 24-11-2022 09:08:27    | CRJ9    | A         | 69,8      | 70,9       | 80,2     |
| 8                     | 24-11-2022 09:10:52    | E195    | A         | 71,1      | 73,5       | 83,2     |
| 8                     | 24-11-2022 09:14:14    | E190    | A         | 71,0      | 73,5       | 83,3     |
| 8                     | 24-11-2022 09:20:18    | E190    | A         | 71,9      | 74,1       | 84,4     |
| 8                     | 24-11-2022 09:39:20    | DH8D    | A         | 69,3      | 71,9       | 81,9     |
| 8                     | 24-11-2022 09:41:59    | E195    | A         | 72,4      | 74,8       | 83,6     |
| 8                     | 24-11-2022 09:45:03    | E170    | A         | 71,3      | 74,1       | 82,1     |
| 8                     | 24-11-2022 09:47:31    | E190    | A         | 71,3      | 73,7       | 82,8     |
| 8                     | 24-11-2022 09:52:27    | B38M    | A         | 71,2      | 75,0       | 83,3     |
| 8                     | 24-11-2022 09:54:23    | E75S    | A         | 71,2      | 73,6       | 82,4     |
| 8                     | 24-11-2022 10:03:16    | E75S    | A         | 70,3      | 72,5       | 81,4     |
| 8                     | 24-11-2022 10:52:25    | B77W    | A         | 73,7      | 78,1       | 87,3     |
| 8                     | 24-11-2022 11:02:42    | E195    | A         | 71,3      | 73,8       | 82,8     |
| 8                     | 24-11-2022 11:06:30    | E75S    | A         | 70,9      | 73,7       | 82,4     |
| 8                     | 24-11-2022 11:14:14    | B789    | A         | 71,3      | 73,4       | 83,6     |
| 8                     | 24-11-2022 11:16:45    | A21N    | A         | 70,3      | 72,2       | 80,3     |
| 8                     | 24-11-2022 11:19:11    | A321    | A         | 70,8      | 73,1       | 81,9     |
| 8                     | 24-11-2022 11:32:56    | E75S    | A         | 69,4      | 72,3       | 81,2     |
| 8                     | 24-11-2022 11:35:26    | B789    | A         | 72,2      | 76,0       | 85,2     |
| 8                     | 24-11-2022 11:38:29    | A321    | A         | 71,1      | 73,0       | 81,1     |
| 8                     | 24-11-2022 11:50:55    | E195    | A         | 71,4      | 75,6       | 83,7     |
| 8                     | 24-11-2022 11:55:27    | BCS3    | A         | 69,5      | 70,9       | 78,5     |
| 8                     | 24-11-2022 11:59:27    | A321    | A         | 71,2      | 72,8       | 80,7     |
| 8                     | 24-11-2022 12:01:50    | B788    | A         | 70,4      | 73,5       | 83,8     |
| 8                     | 24-11-2022 12:07:54    | E190    | A         | 70,6      | 73,3       | 83,1     |
| 8                     | 24-11-2022 12:09:44    | B738    | A         | 71,7      | 74,4       | 83,5     |
| 8                     | 24-11-2022 12:11:43    | E170    | A         | 70,5      | 72,5       | 80,9     |
| 8                     | 24-11-2022 12:13:36    | E190    | A         | 71,2      | 73,3       | 82,0     |
| 8                     | 24-11-2022 12:17:43    | E170    | A         | 70,6      | 72,8       | 82,0     |
| 8                     | 24-11-2022 12:22:12    | B788    | A         | 70,6      | 74,1       | 83,1     |
| 8                     | 24-11-2022 12:24:46    | E190    | A         | 70,7      | 73,4       | 82,8     |
| 8                     | 24-11-2022 12:26:29    | E75S    | A         | 69,8      | 72,2       | 81,2     |
| 8                     | 24-11-2022 12:28:24    | E170    | A         | 69,7      | 71,6       | 79,7     |
| 8                     | 24-11-2022 12:31:03    | E195    | A         | 71,2      | 73,5       | 82,7     |
| 8                     | 24-11-2022 12:38:07    | E195    | A         | 72,5      | 74,6       | 83,7     |
| 8                     | 24-11-2022 12:40:06    | E195    | A         | 70,7      | 72,5       | 81,9     |
| 8                     | 24-11-2022 12:42:05    | B789    | A         | 71,3      | 75,6       | 85,1     |
| 8                     | 24-11-2022 12:43:56    | B38M    | A         | 71,1      | 73,7       | 82,5     |
| 8                     | 24-11-2022 12:46:03    | B738    | A         | 72,7      | 75,7       | 83,8     |
| 8                     | 24-11-2022 12:47:58    | A319    | A         | 71,6      | 74,3       | 83,4     |

| Nr punktu pomiarowego | Data i godz. zdarzenia | Samolot | Operacja* | $L_{Aeq}$ | $L_{Amax}$ | $L_{AE}$ |
|-----------------------|------------------------|---------|-----------|-----------|------------|----------|
|                       |                        |         |           | [dB]      | [dB]       | [dB]     |
| 8                     | 24-11-2022 12:51:27    | E170    | A         | 71,1      | 73,5       | 81,6     |
| 8                     | 24-11-2022 12:53:31    | E75S    | A         | 70,9      | 73,6       | 82,0     |
| 8                     | 24-11-2022 12:55:41    | DH8D    | A         | 69,7      | 71,4       | 79,7     |
| 8                     | 24-11-2022 13:00:05    | E170    | A         | 70,8      | 73,4       | 81,6     |
| 8                     | 24-11-2022 13:02:13    | E190    | A         | 70,5      | 72,8       | 81,9     |
| 8                     | 24-11-2022 13:09:01    | E190    | A         | 72,2      | 75,4       | 84,3     |
| 8                     | 24-11-2022 13:18:50    | DH8D    | A         | 70        | 72,4       | 80,8     |
| 8                     | 24-11-2022 13:23:34    | E75S    | A         | 71        | 73,1       | 81,4     |
| 8                     | 24-11-2022 13:38:18    | E75S    | A         | 71,0      | 72,8       | 82,1     |
| 8                     | 24-11-2022 13:40:28    | A21N    | A         | 70,5      | 73,3       | 81,6     |
| 8                     | 24-11-2022 13:47:38    | E290    | A         | 69,1      | 70,6       | 78,7     |
| 8                     | 24-11-2022 14:01:39    | E195    | A         | 71,4      | 74,0       | 82,9     |
| 8                     | 24-11-2022 14:05:08    | A321    | A         | 71,7      | 74,0       | 82,1     |
| 8                     | 24-11-2022 14:07:03    | E195    | A         | 71,7      | 74,2       | 83,2     |
| 8                     | 24-11-2022 14:22:45    | B38M    | A         | 72        | 73,9       | 81,5     |
| 8                     | 24-11-2022 14:31:05    | A21N    | A         | 70,3      | 72,5       | 81,1     |
| 8                     | 24-11-2022 14:41:31    | B38M    | A         | 71,5      | 74,8       | 83,0     |
| 8                     | 24-11-2022 14:44:03    | E190    | A         | 71,5      | 73,4       | 82,3     |
| 8                     | 24-11-2022 14:45:58    | E75S    | A         | 70,9      | 72,9       | 81,3     |
| 8                     | 24-11-2022 14:59:50    | A21N    | A         | 70,3      | 72,9       | 82,1     |
| 8                     | 24-11-2022 15:23:02    | B738    | A         | 71,2      | 73,8       | 83,0     |
| 8                     | 24-11-2022 15:25:17    | E75S    | A         | 71,2      | 73,6       | 82,0     |
| 8                     | 24-11-2022 15:27:37    | E75S    | A         | 71,1      | 73,8       | 81,9     |
| 8                     | 24-11-2022 15:30:16    | E190    | A         | 70,7      | 73,5       | 82,2     |
| 8                     | 24-11-2022 15:32:52    | E75S    | A         | 70,2      | 72,2       | 80,6     |
| 8                     | 24-11-2022 15:38:56    | E195    | A         | 71,2      | 73,3       | 82,7     |
| 8                     | 24-11-2022 15:45:37    | E195    | A         | 71,3      | 73,6       | 82,5     |
| 8                     | 24-11-2022 15:48:59    | E75S    | A         | 70,7      | 73,1       | 81,5     |
| 8                     | 24-11-2022 15:50:57    | E195    | A         | 71,8      | 74,8       | 83,9     |
| 8                     | 24-11-2022 15:52:49    | A321    | A         | 69,8      | 71,1       | 78,9     |
| 8                     | 24-11-2022 15:55:03    | DH8D    | A         | 70,4      | 71,6       | 80       |
| 8                     | 24-11-2022 15:57:17    | E190    | A         | 71,6      | 74,7       | 83,3     |
| 8                     | 24-11-2022 15:59:23    | B38M    | A         | 70,5      | 73,5       | 82,2     |
| 8                     | 24-11-2022 16:01:27    | E170    | A         | 70,4      | 72,8       | 81,1     |
| 8                     | 24-11-2022 16:03:20    | E190    | A         | 71,2      | 73,6       | 83,0     |
| 8                     | 24-11-2022 16:05:16    | E190    | A         | 71,2      | 73,2       | 82,0     |
| 8                     | 24-11-2022 16:07:43    | E190    | A         | 71,6      | 73,7       | 82,8     |
| 8                     | 24-11-2022 16:10:06    | A320    | A         | 71,3      | 74,4       | 83,6     |
| 8                     | 24-11-2022 16:18:43    | B738    | A         | 73,2      | 76,5       | 85,3     |
| 8                     | 24-11-2022 16:21:52    | E75S    | A         | 70,4      | 72,9       | 81,6     |
| 8                     | 24-11-2022 16:26:09    | E75S    | A         | 70,6      | 72,8       | 80,6     |
| 8                     | 24-11-2022 16:46:40    | A321    | A         | 70,4      | 73,1       | 81,1     |
| 8                     | 24-11-2022 16:48:53    | P180    | A         | 75,8      | 80,7       | 91,6     |
| 8                     | 24-11-2022 16:54:02    | A320    | A         | 70,9      | 73,1       | 81,3     |
| 8                     | 24-11-2022 17:12:46    | A320    | A         | 72,0      | 75,1       | 83,5     |
| 8                     | 24-11-2022 17:17:33    | B788    | A         | 69,9      | 72,3       | 81,7     |
| 8                     | 24-11-2022 17:34:37    | B789    | A         | 70,8      | 73,7       | 83,1     |
| 8                     | 24-11-2022 17:37:13    | E75S    | A         | 69,6      | 71,1       | 79,2     |
| 8                     | 24-11-2022 17:39:41    | B789    | A         | 71,8      | 74,4       | 83,5     |
| 8                     | 24-11-2022 17:45:46    | E195    | A         | 71,8      | 75,3       | 83,3     |
| 8                     | 24-11-2022 17:48:04    | E170    | A         | 75,2      | 80,2       | 88,0     |
| 8                     | 24-11-2022 17:56:50    | E170    | A         | 70,5      | 74,0       | 82,6     |
| 8                     | 24-11-2022 18:04:35    | E190    | A         | 71,0      | 73,6       | 83,0     |
| 8                     | 24-11-2022 18:06:25    | DH8D    | A         | 68,1      | 69,3       | 77,1     |
| 8                     | 24-11-2022 18:16:16    | CRJ9    | A         | 69,1      | 70,7       | 79,9     |
| 8                     | 24-11-2022 18:21:35    | E75S    | A         | 71        | 73,8       | 82,1     |
| 8                     | 24-11-2022 18:31:11    | A319    | A         | 69,7      | 72,5       | 81,2     |

| Nr punktu pomiarowego | Data i godz. zdarzenia | Samolot | Operacja* | $L_{Aeq}$ | $L_{Amax}$ | $L_{AE}$ |
|-----------------------|------------------------|---------|-----------|-----------|------------|----------|
|                       |                        |         |           | [dB]      | [dB]       | [dB]     |
| 8                     | 24-11-2022 18:36:19    | A320    | A         | 70,1      | 72,8       | 81,5     |
| 8                     | 24-11-2022 18:38:05    | E190    | A         | 71,5      | 73,8       | 83,0     |
| 8                     | 24-11-2022 18:42:33    | E195    | A         | 71,9      | 74,6       | 83,4     |
| 8                     | 24-11-2022 18:43:59    | E190    | A         | 71,4      | 73,2       | 82,5     |
| 8                     | 24-11-2022 18:50:07    | E195    | A         | 70,7      | 73,8       | 83,4     |
| 8                     | 24-11-2022 18:53:53    | E170    | A         | 69,7      | 72,6       | 81,5     |
| 8                     | 24-11-2022 18:55:20    | E75S    | A         | 70,7      | 73,4       | 82,1     |
| 8                     | 24-11-2022 18:59:55    | E295    | A         | 68,8      | 71,0       | 79,2     |
| 8                     | 24-11-2022 19:01:45    | E195    | A         | 71,5      | 74,9       | 83,3     |
| 8                     | 24-11-2022 19:04:00    | E195    | A         | 71,8      | 75,5       | 84,8     |
| 8                     | 24-11-2022 19:06:02    | E75S    | A         | 70,2      | 73         | 82       |
| 8                     | 24-11-2022 19:07:49    | E75S    | A         | 71,3      | 74,0       | 82,0     |
| 8                     | 24-11-2022 19:12:57    | B788    | A         | 70,3      | 72,9       | 82,3     |
| 8                     | 24-11-2022 19:15:16    | DH8D    | A         | 69,4      | 71,6       | 79,9     |
| 8                     | 24-11-2022 19:17:18    | B738    | A         | 71,7      | 75,1       | 83,4     |
| 8                     | 24-11-2022 19:19:15    | E75S    | A         | 70,3      | 72,6       | 82,0     |
| 8                     | 24-11-2022 19:23:06    | E75S    | A         | 71,1      | 73,8       | 82,3     |
| 8                     | 24-11-2022 19:25:12    | E195    | A         | 71,3      | 74,1       | 82,4     |
| 8                     | 24-11-2022 19:27:36    | B738    | A         | 72,7      | 76,2       | 84,1     |
| 8                     | 24-11-2022 19:29:51    | CRJ9    | A         | 68,8      | 70,7       | 79,2     |
| 8                     | 24-11-2022 19:31:39    | E190    | A         | 71,1      | 73,9       | 82,9     |
| 8                     | 24-11-2022 19:33:38    | E75S    | A         | 70,7      | 73,7       | 81,5     |
| 8                     | 24-11-2022 19:53:12    | B38M    | A         | 70,4      | 73         | 81,9     |
| 8                     | 24-11-2022 20:00:45    | B789    | A         | 69,2      | 71,4       | 80,7     |
| 8                     | 24-11-2022 20:02:42    | DH8D    | A         | 68,7      | 70,4       | 78,2     |
| 8                     | 24-11-2022 20:45:19    | E190    | A         | 70,4      | 72,2       | 80,8     |
| 8                     | 24-11-2022 20:50:46    | E170    | A         | 70,2      | 72,1       | 79,2     |
| 8                     | 24-11-2022 20:52:47    | E195    | A         | 71,1      | 72,7       | 81,5     |
| 8                     | 24-11-2022 21:02:41    | E75S    | A         | 69,8      | 71,9       | 80,2     |
| 8                     | 24-11-2022 21:14:24    | E170    | A         | 70        | 72,6       | 80,4     |
| 8                     | 24-11-2022 21:18:32    | A320    | A         | 69,1      | 71,3       | 78,6     |
| 8                     | 24-11-2022 21:20:54    | E190    | A         | 70,9      | 73,1       | 81,3     |
| 8                     | 24-11-2022 21:22:33    | B38M    | A         | 70,2      | 73,1       | 81,7     |
| 8                     | 24-11-2022 21:33:35    | E190    | A         | 70,4      | 72,4       | 80,8     |
| 8                     | 24-11-2022 21:38:42    | E195    | A         | 70,3      | 72,8       | 81,1     |
| 8                     | 24-11-2022 21:43:25    | E195    | A         | 70,9      | 73,7       | 82,3     |
| 8                     | 24-11-2022 21:48:57    | A320    | A         | 70,8      | 73,4       | 81,6     |
| 8                     | 24-11-2022 21:50:48    | E190    | A         | 70,4      | 72,2       | 80,4     |
| 8                     | 24-11-2022 21:52:44    | E195    | A         | 70,9      | 73,6       | 81,7     |
| 8                     | 24-11-2022 21:54:31    | E195    | A         | 71,0      | 73,9       | 82,1     |
| 8                     | 24-11-2022 21:56:10    | B738    | A         | 72,6      | 76,3       | 84,0     |
| 8                     | 24-11-2022 21:58:32    | B38M    | A         | 70,8      | 73,6       | 82,2     |
| 8                     | 25-11-2022 06:17:43    | A321    | D         | 67,3      | 69,0       | 78,1     |
| 8                     | 25-11-2022 06:35:58    | A21N    | D         | 66,7      | 67,4       | 75,7     |
| 8                     | 25-11-2022 06:37:51    | A21N    | D         | 68,7      | 70,0       | 79,8     |
| 8                     | 25-11-2022 06:58:27    | A21N    | D         | 67,5      | 68,1       | 77       |
| 8                     | 25-11-2022 06:59:31    | A320    | D         | 67,1      | 70         | 79,1     |
| 8                     | 25-11-2022 07:07:59    | A321    | D         | 67,5      | 69,6       | 81,5     |
| 8                     | 25-11-2022 07:15:13    | E170    | D         | 67,9      | 68,9       | 77,9     |
| 8                     | 25-11-2022 07:36:04    | E170    | D         | 68,1      | 69,1       | 79,6     |
| 8                     | 25-11-2022 07:37:43    | A21N    | D         | 67,7      | 68,6       | 77,7     |
| 8                     | 25-11-2022 07:39:12    | B738    | D         | 69,6      | 71,4       | 81,0     |
| 8                     | 25-11-2022 07:40:44    | E195    | D         | 72,1      | 74,3       | 83,3     |
| 8                     | 25-11-2022 07:42:12    | E190    | D         | 69,3      | 70,8       | 79,3     |
| 8                     | 25-11-2022 07:49:35    | E190    | D         | 67,7      | 68,7       | 78,5     |
| 8                     | 25-11-2022 07:51:29    | E195    | D         | 69,0      | 70,2       | 78,5     |
| 8                     | 25-11-2022 07:59:34    | B738    | D         | 71,5      | 73,3       | 82,7     |

| Nr punktu pomiarowego | Data i godz. zdarzenia | Samolot | Operacja* | $L_{Aeq}$ | $L_{Amax}$ | $L_{AE}$ |
|-----------------------|------------------------|---------|-----------|-----------|------------|----------|
|                       |                        |         |           | [dB]      | [dB]       | [dB]     |
| 8                     | 25-11-2022 08:02:00    | B738    | D         | 68,2      | 69,9       | 79,7     |
| 8                     | 25-11-2022 08:14:45    | E195    | D         | 72,9      | 75,6       | 83,7     |
| 8                     | 25-11-2022 08:19:42    | B738    | D         | 69,1      | 70,8       | 82,1     |
| 8                     | 25-11-2022 08:42:48    | E75S    | D         | 71,9      | 73,9       | 83,1     |
| 8                     | 25-11-2022 08:53:06    | B738    | D         | 71,8      | 74,4       | 84,6     |
| 8                     | 25-11-2022 09:12:07    | B738    | D         | 71,2      | 74,1       | 84,8     |
| 8                     | 25-11-2022 09:13:48    | E190    | D         | 70,3      | 73,1       | 82,4     |
| 8                     | 25-11-2022 09:16:55    | B738    | D         | 68,1      | 69,6       | 79,6     |
| 8                     | 25-11-2022 09:25:43    | E75S    | D         | 67,9      | 69,1       | 78,7     |
| 8                     | 25-11-2022 09:27:22    | E170    | D         | 68,5      | 70,8       | 80,8     |
| 8                     | 25-11-2022 09:47:07    | A321    | D         | 68,9      | 70,2       | 81,9     |
| 8                     | 25-11-2022 10:01:02    | E75S    | D         | 70,6      | 72,5       | 83,2     |
| 8                     | 25-11-2022 10:11:43    | E195    | D         | 69        | 71,1       | 82,4     |
| 8                     | 25-11-2022 10:28:12    | E75S    | D         | 69,8      | 71,1       | 81,9     |
| 8                     | 25-11-2022 10:40:20    | E170    | D         | 68,4      | 69,2       | 80,2     |
| 8                     | 25-11-2022 10:42:00    | E170    | D         | 75,0      | 78,0       | 86,8     |
| 8                     | 25-11-2022 10:43:38    | E75S    | D         | 69,2      | 71,0       | 81,3     |
| 8                     | 25-11-2022 10:57:47    | E195    | D         | 74,7      | 78,5       | 87,3     |
| 8                     | 25-11-2022 11:01:36    | E190    | D         | 69,1      | 71,1       | 81,7     |
| 8                     | 25-11-2022 11:02:56    | E190    | D         | 72,9      | 76,8       | 86,1     |
| 8                     | 25-11-2022 11:04:28    | B38M    | D         | 69,3      | 69,8       | 80,1     |
| 8                     | 25-11-2022 11:06:02    | A21N    | D         | 70,9      | 73,1       | 83,2     |
| 8                     | 25-11-2022 11:07:57    | E195    | D         | 70,6      | 73,4       | 82,9     |
| 8                     | 25-11-2022 11:09:40    | E190    | D         | 70,4      | 72,0       | 82,7     |
| 8                     | 25-11-2022 11:11:20    | E195    | D         | 70,8      | 72,5       | 82,3     |
| 8                     | 25-11-2022 11:20:58    | E75S    | D         | 70,1      | 71,8       | 82,1     |
| 8                     | 25-11-2022 11:30:27    | E195    | D         | 70,9      | 72,9       | 82,4     |
| 8                     | 25-11-2022 11:38:10    | E195    | D         | 70,5      | 72,3       | 82,2     |
| 8                     | 25-11-2022 11:44:11    | A321    | D         | 68,5      | 70,0       | 81,9     |
| 8                     | 25-11-2022 11:50:19    | GLF5    | D         | 68,9      | 70,1       | 79,3     |
| 8                     | 25-11-2022 11:58:10    | E195    | D         | 70,9      | 73,0       | 82,7     |
| 8                     | 25-11-2022 12:10:25    | E75S    | D         | 73,6      | 77,4       | 87,4     |
| 8                     | 25-11-2022 12:11:59    | B738    | D         | 69,4      | 71,5       | 85,1     |
| 8                     | 25-11-2022 12:26:36    | A321    | D         | 68,0      | 69,1       | 81,9     |
| 8                     | 25-11-2022 12:51:17    | A321    | D         | 69,4      | 70,8       | 83,4     |
| 8                     | 25-11-2022 12:57:39    | E170    | D         | 68,5      | 70,8       | 81,3     |
| 8                     | 25-11-2022 12:59:07    | A321    | D         | 72        | 74,7       | 86,7     |
| 8                     | 25-11-2022 13:03:55    | B738    | D         | 69,7      | 72,2       | 82,3     |
| 8                     | 25-11-2022 13:16:45    | A21N    | D         | 68,8      | 69,9       | 80,2     |
| 8                     | 25-11-2022 13:19:00    | B77W    | D         | 71,4      | 73,7       | 85,4     |
| 8                     | 25-11-2022 13:26:08    | E190    | D         | 71,9      | 74,3       | 85,6     |
| 8                     | 25-11-2022 13:28:05    | GLEX    | D         | 70,1      | 71,9       | 80,9     |
| 8                     | 25-11-2022 13:30:19    | E195    | D         | 69,4      | 71,2       | 81,5     |
| 8                     | 25-11-2022 13:32:27    | E75S    | D         | 73,4      | 75,9       | 85,5     |
| 8                     | 25-11-2022 13:33:57    | E190    | D         | 71,6      | 73,9       | 83,3     |
| 8                     | 25-11-2022 13:35:15    | E75S    | D         | 69,3      | 70,3       | 81,0     |
| 8                     | 25-11-2022 13:37:39    | E190    | D         | 69,5      | 71,2       | 81,3     |
| 8                     | 25-11-2022 13:40:29    | E170    | D         | 67,9      | 69,1       | 79,0     |
| 8                     | 25-11-2022 13:48:11    | A319    | D         | 68        | 69,2       | 82       |
| 8                     | 25-11-2022 13:55:16    | E75S    | D         | 72,5      | 74,8       | 85,1     |
| 8                     | 25-11-2022 14:05:14    | E75S    | D         | 68,0      | 69,4       | 79,8     |
| 8                     | 25-11-2022 14:19:19    | E190    | D         | 74,9      | 78,1       | 87,2     |
| 8                     | 25-11-2022 14:30:24    | B38M    | D         | 68,9      | 70,0       | 82,3     |
| 8                     | 25-11-2022 14:44:33    | A21N    | D         | 70,4      | 73,2       | 83,4     |
| 8                     | 25-11-2022 14:48:27    | P180    | D         | 70,7      | 74,7       | 81,8     |
| 8                     | 25-11-2022 14:50:15    | E190    | D         | 69,5      | 70,8       | 81,2     |
| 8                     | 25-11-2022 15:02:54    | E195    | D         | 69,6      | 71,6       | 83,1     |

| Nr punktu pomiarowego | Data i godz. zdarzenia | Samolot | Operacja* | $L_{Aeq}$ | $L_{Amax}$ | $L_{AE}$ |
|-----------------------|------------------------|---------|-----------|-----------|------------|----------|
|                       |                        |         |           | [dB]      | [dB]       | [dB]     |
| 8                     | 25-11-2022 15:05:09    | E75S    | D         | 70,3      | 71,8       | 82,8     |
| 8                     | 25-11-2022 15:07:42    | E170    | D         | 71,1      | 72,7       | 83,9     |
| 8                     | 25-11-2022 15:34:39    | A319    | D         | 68,0      | 70,0       | 80,8     |
| 8                     | 25-11-2022 15:39:31    | E170    | D         | 70,2      | 72         | 82,5     |
| 8                     | 25-11-2022 15:46:13    | E190    | D         | 74,1      | 77,5       | 86,9     |
| 8                     | 25-11-2022 15:48:13    | E75S    | D         | 75,5      | 78,9       | 88,5     |
| 8                     | 25-11-2022 15:52:11    | B38M    | D         | 69,3      | 70,4       | 80,4     |
| 8                     | 25-11-2022 15:58:48    | E75S    | D         | 71,6      | 73,2       | 83,9     |
| 8                     | 25-11-2022 16:01:21    | E170    | D         | 71,1      | 72,9       | 83,9     |
| 8                     | 25-11-2022 16:03:23    | E75S    | D         | 71,5      | 73,4       | 84,5     |
| 8                     | 25-11-2022 16:09:16    | E195    | D         | 71,1      | 73,3       | 83,4     |
| 8                     | 25-11-2022 16:12:24    | B789    | D         | 73,0      | 76,0       | 86,0     |
| 8                     | 25-11-2022 16:38:27    | E75S    | D         | 69,8      | 70,8       | 82,1     |
| 8                     | 25-11-2022 16:43:45    | E75S    | D         | 73,3      | 75,9       | 85,9     |
| 8                     | 25-11-2022 16:47:19    | E195    | D         | 70,3      | 71,8       | 82,6     |
| 8                     | 25-11-2022 16:48:56    | E195    | D         | 70        | 72,7       | 83       |
| 8                     | 25-11-2022 16:53:41    | E190    | D         | 70,3      | 72         | 83,3     |
| 8                     | 25-11-2022 16:58:37    | E170    | D         | 69,0      | 70,1       | 80,8     |
| 8                     | 25-11-2022 17:05:02    | E75S    | D         | 68,3      | 69,3       | 78,7     |
| 8                     | 25-11-2022 17:06:45    | A319    | D         | 67,4      | 68,1       | 79,5     |
| 8                     | 25-11-2022 17:08:33    | E195    | D         | 69,6      | 71,7       | 81,7     |
| 8                     | 25-11-2022 17:10:11    | E195    | D         | 74,9      | 78,8       | 87,5     |
| 8                     | 25-11-2022 17:12:14    | E195    | D         | 70,5      | 72,1       | 82,8     |
| 8                     | 25-11-2022 17:13:54    | E195    | D         | 69,6      | 71,5       | 81,4     |
| 8                     | 25-11-2022 17:18:26    | E75S    | D         | 70,8      | 72,1       | 83,1     |
| 8                     | 25-11-2022 17:20:24    | E75S    | D         | 71,2      | 73,0       | 83,5     |
| 8                     | 25-11-2022 17:22:49    | E195    | D         | 69,8      | 71,6       | 82,2     |
| 8                     | 25-11-2022 17:29:04    | A21N    | D         | 68,5      | 69,2       | 78,9     |
| 8                     | 25-11-2022 17:36:33    | E190    | D         | 71,4      | 73,5       | 83,4     |
| 8                     | 25-11-2022 17:46:26    | A321    | D         | 68,3      | 69,3       | 81,8     |
| 8                     | 25-11-2022 17:51:08    | A321    | D         | 69,1      | 70,3       | 82,9     |
| 8                     | 25-11-2022 17:56:01    | E190    | D         | 71,7      | 74,6       | 82,8     |
| 8                     | 25-11-2022 17:59:50    | E195    | D         | 69,7      | 70,5       | 79,7     |
| 8                     | 25-11-2022 18:01:17    | E75S    | D         | 68,5      | 69,7       | 80,3     |
| 8                     | 25-11-2022 18:03:04    | E195    | D         | 69,3      | 71,2       | 81,6     |
| 8                     | 25-11-2022 18:05:36    | E75S    | D         | 68,4      | 70,0       | 81,2     |
| 8                     | 25-11-2022 18:09:31    | E190    | D         | 70,3      | 72,7       | 82,6     |
| 8                     | 25-11-2022 18:17:39    | A321    | D         | 68,2      | 69,4       | 82,0     |
| 8                     | 25-11-2022 18:27:01    | A320    | D         | 67,1      | 68,7       | 78,6     |
| 8                     | 25-11-2022 18:28:45    | E170    | D         | 68,8      | 71,5       | 82,2     |
| 8                     | 25-11-2022 18:47:22    | E170    | D         | 70,5      | 72         | 82,6     |
| 8                     | 25-11-2022 18:54:17    | CRJ9    | D         | 67,4      | 67,9       | 78,5     |
| 8                     | 25-11-2022 18:58:26    | A321    | D         | 71,6      | 73,9       | 86,1     |
| 8                     | 25-11-2022 19:09:49    | A319    | D         | 66,4      | 66,9       | 76,4     |
| 8                     | 25-11-2022 19:33:00    | E195    | D         | 68,8      | 70,2       | 82,0     |
| 8                     | 25-11-2022 19:34:33    | E170    | D         | 69,0      | 69,7       | 81,3     |
| 8                     | 25-11-2022 19:41:08    | A332    | D         | 70,6      | 72,1       | 85,7     |
| 8                     | 25-11-2022 19:44:05    | E190    | D         | 71,4      | 74,5       | 82,6     |
| 8                     | 25-11-2022 19:45:31    | E190    | D         | 70,4      | 72,9       | 85,0     |
| 8                     | 25-11-2022 20:03:18    | A319    | D         | 67,1      | 68,5       | 79,4     |
| 8                     | 25-11-2022 20:08:40    | E195    | D         | 68,4      | 70,4       | 79,6     |
| 8                     | 25-11-2022 20:10:12    | E75S    | D         | 74,6      | 77,3       | 86,1     |
| 8                     | 25-11-2022 20:11:46    | E75S    | D         | 68,7      | 70,5       | 81,5     |
| 8                     | 25-11-2022 20:15:02    | E190    | D         | 68,5      | 69,6       | 80,0     |
| 8                     | 25-11-2022 20:24:48    | E170    | D         | 68,3      | 69,5       | 80,8     |
| 8                     | 25-11-2022 20:27:29    | E75S    | D         | 68,6      | 69,8       | 81,2     |
| 8                     | 25-11-2022 20:30:13    | E75S    | D         | 69,1      | 70,5       | 80,6     |

| Nr punktu pomiarowego | Data i godz. zdarzenia | Samolot | Operacja* | $L_{Aeq}$ | $L_{Amax}$ | $L_{AE}$ |
|-----------------------|------------------------|---------|-----------|-----------|------------|----------|
|                       |                        |         |           | [dB]      | [dB]       | [dB]     |
| 8                     | 25-11-2022 20:31:59    | E75S    | D         | 69,0      | 70,2       | 81,3     |
| 8                     | 25-11-2022 20:43:22    | E190    | D         | 67,8      | 69         | 79,5     |
| 8                     | 25-11-2022 20:44:58    | E75S    | D         | 67,9      | 69,1       | 80,4     |
| 8                     | 25-11-2022 20:56:39    | E75S    | D         | 71,0      | 73,2       | 82,5     |
| 8                     | 25-11-2022 20:59:36    | E170    | D         | 70,8      | 73,9       | 82,8     |
| 8                     | 25-11-2022 21:26:26    | B763    | D         | 68,2      | 69,4       | 82,0     |
| 8                     | 25-11-2022 21:51:32    | B738    | D         | 68,8      | 70         | 83,6     |
| 8                     | 26-11-2022 05:59:52    | A21N    | D         | 65,4      | 67,6       | 78,6     |
| 8                     | 26-11-2022 06:02:06    | A321    | D         | 68,4      | 70,0       | 82,6     |
| 8                     | 26-11-2022 06:13:13    | A321    | D         | 68,5      | 70,4       | 82,3     |
| 8                     | 26-11-2022 06:22:35    | A21N    | D         | 69,2      | 70,6       | 79,6     |
| 8                     | 26-11-2022 06:24:59    | A321    | D         | 67,1      | 68,4       | 79,2     |
| 8                     | 26-11-2022 06:27:39    | A321    | D         | 67,8      | 69,2       | 81,6     |
| 8                     | 26-11-2022 06:59:20    | E195    | D         | 68,6      | 70,6       | 82,8     |
| 8                     | 26-11-2022 07:09:34    | B738    | D         | 71,3      | 74,5       | 84,9     |
| 8                     | 26-11-2022 07:12:00    | A21N    | D         | 67,4      | 68,5       | 79,2     |
| 8                     | 26-11-2022 07:14:40    | E75S    | D         | 68,1      | 70,3       | 79,3     |
| 8                     | 26-11-2022 07:16:32    | B738    | D         | 70,2      | 72,8       | 81,4     |
| 8                     | 26-11-2022 07:18:54    | E195    | D         | 72,7      | 75,4       | 84,5     |
| 8                     | 26-11-2022 07:22:52    | E195    | D         | 70,1      | 72,7       | 80,9     |
| 8                     | 26-11-2022 07:29:28    | E190    | D         | 69,5      | 71,2       | 81,3     |
| 8                     | 26-11-2022 07:32:53    | B738    | D         | 71,0      | 73,1       | 82,4     |
| 8                     | 26-11-2022 07:34:53    | A320    | D         | 68,6      | 70,4       | 78,6     |
| 8                     | 26-11-2022 07:36:21    | E170    | D         | 68,3      | 69,1       | 78,3     |
| 8                     | 26-11-2022 07:37:56    | E190    | D         | 70,2      | 72,7       | 81,9     |
| 8                     | 26-11-2022 07:42:39    | E195    | D         | 68,9      | 71,2       | 80       |
| 8                     | 26-11-2022 07:44:58    | E190    | D         | 70,1      | 72,7       | 82,1     |
| 8                     | 26-11-2022 07:46:51    | E170    | D         | 69,6      | 71,9       | 81,9     |
| 8                     | 26-11-2022 07:49:36    | E75S    | D         | 67,4      | 68,5       | 78,6     |
| 8                     | 26-11-2022 07:51:16    | B38M    | D         | 68,2      | 69,0       | 79,4     |
| 8                     | 26-11-2022 07:52:57    | E195    | D         | 70,2      | 72,4       | 81,6     |
| 8                     | 26-11-2022 07:54:43    | E195    | D         | 69,3      | 71,3       | 80,8     |
| 8                     | 26-11-2022 07:59:23    | E195    | D         | 68,0      | 69,4       | 78,8     |
| 8                     | 26-11-2022 08:01:11    | E75S    | D         | 68,1      | 71,3       | 79,2     |
| 8                     | 26-11-2022 08:02:34    | E75S    | D         | 69,6      | 70,3       | 80,8     |
| 8                     | 26-11-2022 08:04:20    | E170    | D         | 68,2      | 70,3       | 79,0     |
| 8                     | 26-11-2022 08:05:37    | B738    | D         | 70,2      | 72,7       | 81,6     |
| 8                     | 26-11-2022 08:09:16    | E190    | D         | 70,4      | 73,5       | 82,2     |
| 8                     | 26-11-2022 08:11:27    | A321    | D         | 68,7      | 69,5       | 78,2     |
| 8                     | 26-11-2022 08:12:37    | E190    | D         | 69,1      | 71,0       | 79,9     |
| 8                     | 26-11-2022 08:59:13    | B738    | D         | 70,6      | 72,9       | 81,7     |
| 8                     | 26-11-2022 09:28:59    | B738    | D         | 68,9      | 70,9       | 80,4     |
| 8                     | 26-11-2022 09:30:48    | E190    | D         | 69,9      | 71,5       | 83,3     |
| 8                     | 26-11-2022 09:32:23    | E170    | D         | 68,4      | 69,4       | 78,4     |
| 8                     | 26-11-2022 09:34:10    | E195    | D         | 69,1      | 71,1       | 79,9     |
| 8                     | 26-11-2022 09:36:37    | A21N    | D         | 68,0      | 69,9       | 78,4     |
| 8                     | 26-11-2022 09:46:41    | B738    | D         | 68,8      | 70,7       | 79,9     |
| 8                     | 26-11-2022 09:55:41    | E75S    | D         | 68,7      | 70,1       | 79,1     |
| 8                     | 26-11-2022 10:02:57    | A319    | D         | 67,7      | 69,3       | 79,1     |
| 8                     | 26-11-2022 10:13:05    | E195    | D         | 67,5      | 68,6       | 79,3     |
| 8                     | 26-11-2022 10:50:52    | E75S    | D         | 72,5      | 74,3       | 83,2     |
| 8                     | 26-11-2022 10:56:40    | E75S    | D         | 72,0      | 74,5       | 83,4     |
| 8                     | 26-11-2022 10:58:00    | E75S    | D         | 67,9      | 69,6       | 78,7     |
| 8                     | 26-11-2022 11:08:12    | E75S    | D         | 68,0      | 69,4       | 78,4     |
| 8                     | 26-11-2022 11:15:10    | E195    | D         | 69,1      | 71,8       | 79,9     |
| 8                     | 26-11-2022 11:43:48    | A320    | D         | 66,7      | 67,6       | 77,9     |
| 8                     | 26-11-2022 12:04:56    | E170    | D         | 71,6      | 73,8       | 83,0     |

| Nr punktu pomiarowego | Data i godz. zdarzenia | Samolot | Operacja* | $L_{Aeq}$ | $L_{Amax}$ | $L_{AE}$ |
|-----------------------|------------------------|---------|-----------|-----------|------------|----------|
|                       |                        |         |           | [dB]      | [dB]       | [dB]     |
| 8                     | 26-11-2022 12:09:18    | P180    | D         | 69,3      | 73,8       | 84,2     |
| 8                     | 26-11-2022 12:46:15    | A21N    | D         | 69,7      | 71,6       | 81,2     |
| 8                     | 26-11-2022 12:47:39    | A321    | D         | 68,2      | 70,0       | 81,5     |
| 8                     | 26-11-2022 13:14:12    | B77W    | D         | 69,4      | 70,9       | 82,6     |
| 8                     | 26-11-2022 13:16:53    | E195    | D         | 70,1      | 72,5       | 80,5     |
| 8                     | 26-11-2022 13:22:00    | B738    | D         | 69,1      | 71,5       | 82,6     |
| 8                     | 26-11-2022 13:26:32    | E190    | D         | 68,8      | 71,3       | 80,3     |
| 8                     | 26-11-2022 13:28:06    | E190    | D         | 70,9      | 73,3       | 83,7     |
| 8                     | 26-11-2022 13:29:19    | E170    | D         | 69,9      | 71,5       | 81,3     |
| 8                     | 26-11-2022 13:41:56    | E75S    | D         | 68,4      | 70,1       | 79,8     |
| 8                     | 26-11-2022 13:43:22    | E170    | D         | 67,6      | 68,4       | 76,7     |
| 8                     | 26-11-2022 13:44:57    | E190    | D         | 68,5      | 70,1       | 78,9     |
| 8                     | 26-11-2022 13:48:51    | E75S    | D         | 67,8      | 68,8       | 78,6     |
| 8                     | 26-11-2022 13:50:49    | B738    | D         | 68,0      | 69,2       | 80,3     |
| 8                     | 26-11-2022 14:28:21    | E190    | D         | 72,9      | 76,6       | 84,7     |
| 8                     | 26-11-2022 14:42:10    | A21N    | D         | 66,9      | 68,1       | 78,1     |
| 8                     | 26-11-2022 14:44:01    | B38M    | D         | 68,8      | 70,8       | 79,2     |
| 8                     | 26-11-2022 14:57:09    | E195    | D         | 69,7      | 71         | 81,2     |
| 8                     | 26-11-2022 15:04:34    | E195    | D         | 70,4      | 72,5       | 81,5     |
| 8                     | 26-11-2022 15:06:09    | E170    | D         | 68,2      | 69,1       | 78,6     |
| 8                     | 26-11-2022 15:08:01    | E195    | D         | 68,9      | 70,2       | 78,9     |
| 8                     | 26-11-2022 15:09:28    | E75S    | D         | 72,0      | 73,9       | 83,5     |
| 8                     | 26-11-2022 15:11:02    | E195    | D         | 68,7      | 71,5       | 80,5     |
| 8                     | 26-11-2022 15:14:31    | E195    | D         | 69,4      | 72,9       | 80,2     |
| 8                     | 26-11-2022 15:16:55    | E75S    | D         | 68,9      | 70,3       | 79,7     |
| 8                     | 26-11-2022 15:24:59    | E195    | D         | 68,1      | 70,1       | 79,3     |
| 8                     | 26-11-2022 15:28:49    | E195    | D         | 68,2      | 69,5       | 80       |
| 8                     | 26-11-2022 15:52:51    | E75S    | D         | 69,9      | 71,7       | 82       |
| 8                     | 26-11-2022 15:54:21    | B38M    | D         | 68,4      | 70,1       | 78,8     |
| 8                     | 26-11-2022 15:58:01    | E195    | D         | 74,3      | 76,9       | 86,0     |
| 8                     | 26-11-2022 16:01:42    | E75S    | D         | 68,2      | 69,7       | 78,6     |
| 8                     | 26-11-2022 16:07:00    | B789    | D         | 70,9      | 73         | 82,4     |
| 8                     | 26-11-2022 16:11:09    | E75S    | D         | 67,8      | 70,9       | 79,3     |
| 8                     | 26-11-2022 16:36:15    | E190    | D         | 70,3      | 72,1       | 81,1     |
| 8                     | 26-11-2022 16:37:30    | E195    | D         | 69,8      | 71,5       | 81,6     |
| 8                     | 26-11-2022 16:40:26    | E190    | D         | 72,7      | 75,8       | 83,5     |
| 8                     | 26-11-2022 16:44:17    | E75S    | D         | 69,0      | 70,9       | 80,4     |
| 8                     | 26-11-2022 16:50:47    | E170    | D         | 66,9      | 68,4       | 78,4     |
| 8                     | 26-11-2022 16:55:40    | E75S    | D         | 69,5      | 71,4       | 81,5     |
| 8                     | 26-11-2022 17:00:47    | E170    | D         | 69,5      | 71,0       | 81,6     |
| 8                     | 26-11-2022 17:02:26    | E75S    | D         | 70,1      | 72,2       | 83,1     |
| 8                     | 26-11-2022 17:04:18    | E190    | D         | 72,5      | 75,5       | 84,3     |
| 8                     | 26-11-2022 17:09:06    | E190    | D         | 71,8      | 73,5       | 83,6     |
| 8                     | 26-11-2022 17:10:39    | E190    | D         | 70,7      | 73,5       | 83,5     |
| 8                     | 26-11-2022 17:13:01    | B738    | D         | 68,2      | 69,4       | 81       |
| 8                     | 26-11-2022 17:15:57    | E190    | D         | 69,5      | 72,2       | 81,3     |
| 8                     | 26-11-2022 17:17:36    | E75S    | D         | 69,2      | 71,1       | 81,2     |
| 8                     | 26-11-2022 17:21:01    | E170    | D         | 68,5      | 69,3       | 79,9     |
| 8                     | 26-11-2022 17:22:51    | E170    | D         | 70,9      | 73,1       | 83,9     |
| 8                     | 26-11-2022 17:24:27    | E75S    | D         | 74,2      | 77,8       | 87,0     |
| 8                     | 26-11-2022 17:39:17    | A321    | D         | 70,1      | 72,2       | 85       |
| 8                     | 26-11-2022 17:43:24    | E190    | D         | 71,9      | 74,6       | 84,2     |
| 8                     | 26-11-2022 18:02:11    | B738    | D         | 71,0      | 73,9       | 84,5     |
| 8                     | 26-11-2022 18:05:46    | A321    | D         | 69,2      | 71,3       | 84,2     |
| 8                     | 26-11-2022 18:38:55    | B738    | D         | 68,3      | 69,4       | 82,6     |
| 8                     | 26-11-2022 19:38:27    | E190    | D         | 72,4      | 74,2       | 85,6     |
| 8                     | 26-11-2022 19:52:13    | A320    | D         | 73,5      | 77,9       | 87,8     |

| Nr punktu pomiarowego | Data i godz. zdarzenia | Samolot | Operacja* | $L_{Aeq}$ | $L_{Amax}$ | $L_{AE}$ |
|-----------------------|------------------------|---------|-----------|-----------|------------|----------|
|                       |                        |         |           | [dB]      | [dB]       | [dB]     |
| 8                     | 26-11-2022 20:04:44    | E75S    | D         | 71,1      | 73,5       | 84,1     |
| 8                     | 26-11-2022 20:06:06    | E195    | D         | 70,4      | 73,1       | 82,9     |
| 8                     | 26-11-2022 20:19:30    | DH8D    | D         | 68,2      | 70,3       | 78,2     |
| 8                     | 26-11-2022 20:22:59    | E75S    | D         | 72,2      | 75,1       | 85,8     |
| 8                     | 26-11-2022 21:03:40    | A21N    | D         | 69,5      | 71,6       | 82,8     |
| 8                     | 26-11-2022 21:10:29    | E170    | D         | 74,2      | 77,6       | 87,7     |
| 8                     | 27-11-2022 06:11:02    | A321    | D         | 69,6      | 71,3       | 83,4     |
| 8                     | 27-11-2022 06:12:33    | B38M    | D         | 67,6      | 69,0       | 78,7     |
| 8                     | 27-11-2022 06:26:30    | A321    | D         | 69,4      | 70,8       | 83,6     |
| 8                     | 27-11-2022 06:29:23    | A21N    | D         | 68,3      | 69,4       | 80,3     |
| 8                     | 27-11-2022 06:36:36    | A321    | D         | 69,6      | 71,1       | 83,6     |
| 8                     | 27-11-2022 06:39:33    | A21N    | D         | 72,1      | 74,2       | 84,4     |
| 8                     | 27-11-2022 06:45:19    | A21N    | D         | 68,8      | 69,5       | 79,6     |
| 8                     | 27-11-2022 06:47:58    | A319    | D         | 68,1      | 69,8       | 81,9     |
| 8                     | 27-11-2022 07:04:20    | A321    | D         | 69,3      | 70,3       | 83,5     |
| 8                     | 27-11-2022 07:06:08    | B38M    | D         | 67,0      | 67,5       | 76,6     |
| 8                     | 27-11-2022 07:12:56    | E75S    | D         | 70,0      | 71,4       | 82,3     |
| 8                     | 27-11-2022 07:28:44    | A320    | D         | 67,2      | 67,8       | 78,7     |
| 8                     | 27-11-2022 07:30:38    | E75S    | D         | 70,9      | 73,9       | 83,0     |
| 8                     | 27-11-2022 07:32:40    | A21N    | D         | 69,2      | 71,4       | 81,6     |
| 8                     | 27-11-2022 07:35:47    | E195    | D         | 69,9      | 72         | 81,7     |
| 8                     | 27-11-2022 07:39:40    | E75S    | D         | 68,1      | 69,1       | 80,6     |
| 8                     | 27-11-2022 07:41:13    | E170    | D         | 69,5      | 70,9       | 81,2     |
| 8                     | 27-11-2022 07:42:45    | E170    | D         | 69,9      | 70,9       | 81,7     |
| 8                     | 27-11-2022 07:44:33    | E75S    | D         | 70,7      | 72,2       | 82,8     |
| 8                     | 27-11-2022 07:46:02    | E75S    | D         | 69,4      | 70,8       | 81,2     |
| 8                     | 27-11-2022 07:49:03    | E75S    | D         | 69,2      | 70,8       | 81,2     |
| 8                     | 27-11-2022 07:51:15    | E170    | D         | 70,7      | 71,9       | 83       |
| 8                     | 27-11-2022 07:53:37    | B38M    | D         | 67,3      | 67,9       | 76,8     |
| 8                     | 27-11-2022 07:54:56    | E195    | D         | 69,4      | 71,5       | 80,5     |
| 8                     | 27-11-2022 08:01:04    | E190    | D         | 68,7      | 70,1       | 80,1     |
| 8                     | 27-11-2022 08:04:46    | E195    | D         | 69,7      | 71,9       | 81,5     |
| 8                     | 27-11-2022 08:07:23    | B738    | D         | 70,5      | 72,7       | 82,3     |
| 8                     | 27-11-2022 08:10:43    | E190    | D         | 73,3      | 75,9       | 85,1     |
| 8                     | 27-11-2022 08:13:55    | E75S    | D         | 74,2      | 76,5       | 85,7     |
| 8                     | 27-11-2022 08:18:07    | E75S    | D         | 69,4      | 70,7       | 81,2     |
| 8                     | 27-11-2022 09:20:10    | B738    | D         | 69,7      | 71,7       | 84,2     |
| 8                     | 27-11-2022 09:33:55    | B738    | D         | 70,4      | 72,3       | 83,2     |
| 8                     | 27-11-2022 10:17:11    | E170    | D         | 71,2      | 72,9       | 83,2     |
| 8                     | 27-11-2022 10:26:10    | B738    | D         | 70,6      | 74,0       | 86,6     |
| 8                     | 27-11-2022 10:34:07    | E75S    | D         | 69,7      | 70,9       | 82,0     |
| 8                     | 27-11-2022 10:36:20    | E190    | D         | 70,0      | 72,3       | 82,0     |
| 8                     | 27-11-2022 10:41:29    | E190    | D         | 73,2      | 75,5       | 85       |
| 8                     | 27-11-2022 10:43:42    | E170    | D         | 70,7      | 72,5       | 83       |
| 8                     | 27-11-2022 10:49:01    | E75S    | D         | 75,1      | 77,5       | 87,4     |
| 8                     | 27-11-2022 10:53:14    | E75S    | D         | 73,5      | 75,5       | 85,2     |
| 8                     | 27-11-2022 10:55:34    | E195    | D         | 72,5      | 75,9       | 83,7     |
| 8                     | 27-11-2022 10:58:22    | B38M    | D         | 69,0      | 71,3       | 81,1     |
| 8                     | 27-11-2022 11:04:15    | E195    | D         | 69,9      | 72,9       | 82,2     |
| 8                     | 27-11-2022 11:05:34    | E195    | D         | 70,9      | 73,5       | 83,0     |
| 8                     | 27-11-2022 11:13:31    | B738    | D         | 70,3      | 72,6       | 82,9     |
| 8                     | 27-11-2022 11:15:57    | A21N    | D         | 70,2      | 72,4       | 81,3     |
| 8                     | 27-11-2022 11:19:58    | CL35    | D         | 68,3      | 70,4       | 81,9     |
| 8                     | 27-11-2022 11:31:52    | E190    | D         | 68,7      | 70,6       | 79,5     |
| 8                     | 27-11-2022 11:45:06    | E195    | D         | 70,4      | 72,3       | 82,7     |
| 8                     | 27-11-2022 12:17:20    | E75S    | D         | 74,7      | 78         | 87,9     |
| 8                     | 27-11-2022 12:20:21    | E75S    | D         | 69,7      | 71,4       | 84,6     |

| Nr punktu pomiarowego | Data i godz. zdarzenia | Samolot | Operacja* | $L_{Aeq}$ | $L_{Amax}$ | $L_{AE}$ |
|-----------------------|------------------------|---------|-----------|-----------|------------|----------|
|                       |                        |         |           | [dB]      | [dB]       | [dB]     |
| 8                     | 27-11-2022 12:43:48    | A321    | D         | 69,6      | 71,8       | 84,8     |
| 8                     | 27-11-2022 12:59:03    | A321    | D         | 73,4      | 76,3       | 88,2     |
| 8                     | 27-11-2022 13:04:02    | A319    | D         | 68,0      | 70,4       | 80,0     |
| 8                     | 27-11-2022 13:07:18    | E190    | D         | 71,7      | 74,6       | 84,7     |
| 8                     | 27-11-2022 13:10:04    | E195    | D         | 70,9      | 72,9       | 82,9     |
| 8                     | 27-11-2022 13:21:44    | E75S    | D         | 72,2      | 74,2       | 84,9     |
| 8                     | 27-11-2022 13:30:18    | E190    | D         | 70,8      | 73,6       | 83,8     |
| 8                     | 27-11-2022 13:33:03    | E190    | D         | 70,7      | 72,8       | 83,3     |
| 8                     | 27-11-2022 13:34:35    | E75S    | D         | 74,3      | 77,7       | 87,7     |
| 8                     | 27-11-2022 13:37:05    | BCS3    | D         | 67,3      | 68,5       | 77,7     |
| 8                     | 27-11-2022 13:46:19    | E75S    | D         | 70,5      | 72,4       | 83,2     |
| 8                     | 27-11-2022 13:53:24    | E75S    | D         | 72,2      | 74,8       | 85,2     |
| 8                     | 27-11-2022 13:55:38    | E75S    | D         | 70,5      | 71,8       | 82,8     |
| 8                     | 27-11-2022 13:59:43    | E170    | D         | 70,0      | 71,1       | 82,5     |
| 8                     | 27-11-2022 14:10:50    | B77W    | D         | 72,9      | 75,6       | 87,7     |
| 8                     | 27-11-2022 14:13:54    | A321    | D         | 73,3      | 76,3       | 88,1     |
| 8                     | 27-11-2022 14:22:15    | E190    | D         | 75,7      | 79,6       | 88,3     |
| 8                     | 27-11-2022 14:27:12    | A319    | D         | 69,1      | 70,4       | 83,4     |
| 8                     | 27-11-2022 14:38:19    | B738    | D         | 68,6      | 69,8       | 83,3     |
| 8                     | 27-11-2022 14:55:08    | A21N    | D         | 70,4      | 72,2       | 82,4     |
| 8                     | 27-11-2022 14:59:25    | E75S    | D         | 69,3      | 70,8       | 80,4     |
| 8                     | 27-11-2022 15:02:16    | A21N    | D         | 68,4      | 69,8       | 79,9     |
| 8                     | 27-11-2022 15:05:04    | E195    | D         | 69,2      | 71,5       | 82,6     |
| 8                     | 27-11-2022 15:06:56    | E195    | D         | 70,3      | 73,0       | 83,1     |
| 8                     | 27-11-2022 15:08:25    | E195    | D         | 74,8      | 79,2       | 87,6     |
| 8                     | 27-11-2022 15:19:42    | E170    | D         | 71,4      | 72,9       | 82,5     |
| 8                     | 27-11-2022 15:28:35    | BCS3    | D         | 67,9      | 70,0       | 77,9     |
| 8                     | 27-11-2022 15:47:16    | A21N    | D         | 69,5      | 71,1       | 81,8     |
| 8                     | 27-11-2022 15:50:33    | E75S    | D         | 73,9      | 76,7       | 86,7     |
| 8                     | 27-11-2022 15:52:16    | E170    | D         | 74,8      | 77,7       | 86,9     |
| 8                     | 27-11-2022 15:53:47    | E75S    | D         | 71,2      | 73,6       | 84,0     |
| 8                     | 27-11-2022 16:02:25    | B789    | D         | 70        | 72,1       | 83,9     |
| 8                     | 27-11-2022 16:05:26    | B38M    | D         | 68,7      | 70,9       | 81       |
| 8                     | 27-11-2022 16:08:07    | E75S    | D         | 70,5      | 72,3       | 84,3     |
| 8                     | 27-11-2022 16:15:12    | E195    | D         | 71,2      | 73,5       | 82,9     |
| 8                     | 27-11-2022 16:23:33    | A321    | D         | 70,3      | 71,3       | 84,6     |
| 8                     | 27-11-2022 16:32:45    | E75S    | D         | 70,7      | 72,4       | 83,2     |
| 8                     | 27-11-2022 16:42:53    | B738    | D         | 72,2      | 74,2       | 85,2     |
| 8                     | 27-11-2022 16:45:52    | E170    | D         | 71,5      | 73,5       | 84       |
| 8                     | 27-11-2022 16:54:29    | E195    | D         | 71,2      | 73,4       | 83,5     |
| 8                     | 27-11-2022 16:55:58    | E75S    | D         | 71,1      | 72,7       | 83,9     |
| 8                     | 27-11-2022 16:59:31    | E195    | D         | 70,6      | 72,9       | 83,2     |
| 8                     | 27-11-2022 17:03:03    | E190    | D         | 74,3      | 77,8       | 86,6     |
| 8                     | 27-11-2022 17:08:52    | E195    | D         | 70,6      | 72,9       | 82,9     |
| 8                     | 27-11-2022 17:12:02    | E195    | D         | 71,0      | 72,8       | 83,6     |
| 8                     | 27-11-2022 17:13:50    | E170    | D         | 70,6      | 71,9       | 82,9     |
| 8                     | 27-11-2022 17:17:21    | E195    | D         | 71,3      | 73,8       | 84,1     |
| 8                     | 27-11-2022 17:19:59    | E190    | D         | 71,8      | 73,8       | 83,9     |
| 8                     | 27-11-2022 17:21:29    | E75S    | D         | 71,3      | 73,1       | 83,8     |
| 8                     | 27-11-2022 17:23:13    | E190    | D         | 74,2      | 77,3       | 86,6     |
| 8                     | 27-11-2022 17:28:22    | E190    | D         | 73,3      | 76,9       | 86,3     |
| 8                     | 27-11-2022 17:34:33    | E195    | D         | 70,7      | 72,5       | 82,7     |
| 8                     | 27-11-2022 17:36:14    | E190    | D         | 70,8      | 72,7       | 83,1     |
| 8                     | 27-11-2022 17:37:50    | B738    | D         | 70,5      | 71,8       | 82,8     |
| 8                     | 27-11-2022 17:39:46    | E75S    | D         | 71,7      | 74,3       | 84,3     |
| 8                     | 27-11-2022 17:42:03    | E190    | D         | 71,6      | 74,1       | 83,3     |
| 8                     | 27-11-2022 17:43:50    | E75S    | D         | 72,2      | 74,1       | 84,7     |

| Nr punktu pomiarowego | Data i godz. zdarzenia | Samolot | Operacja* | $L_{Aeq}$ | $L_{Amax}$ | $L_{AE}$ |
|-----------------------|------------------------|---------|-----------|-----------|------------|----------|
|                       |                        |         |           | [dB]      | [dB]       | [dB]     |
| 8                     | 27-11-2022 17:47:34    | B738    | D         | 70,8      | 72,8       | 83,6     |
| 8                     | 27-11-2022 17:55:46    | B738    | D         | 73,3      | 75,8       | 86,3     |
| 8                     | 27-11-2022 18:01:01    | A321    | D         | 70,2      | 72,0       | 83,8     |
| 8                     | 27-11-2022 18:06:23    | E170    | D         | 70,8      | 73,2       | 84,4     |
| 8                     | 27-11-2022 18:12:39    | A321    | D         | 70,6      | 72,8       | 85,4     |
| 8                     | 27-11-2022 18:14:40    | A320    | D         | 68,5      | 70,5       | 81,7     |
| 8                     | 27-11-2022 18:22:33    | A320    | D         | 68,6      | 69,7       | 83,2     |
| 8                     | 27-11-2022 18:32:30    | A321    | D         | 70,5      | 72,0       | 85,2     |
| 8                     | 27-11-2022 18:34:05    | E75S    | D         | 70,5      | 72,9       | 83,3     |
| 8                     | 27-11-2022 18:56:28    | CRJ9    | D         | 66,5      | 67,4       | 79,7     |
| 8                     | 27-11-2022 19:04:53    | CRJ9    | D         | 69,6      | 71,9       | 83,0     |
| 8                     | 27-11-2022 19:07:30    | A321    | D         | 70,7      | 72,1       | 85,5     |
| 8                     | 27-11-2022 19:36:11    | E195    | D         | 69,5      | 70,9       | 83,4     |
| 8                     | 27-11-2022 19:39:02    | E190    | D         | 71,8      | 75,2       | 84,1     |
| 8                     | 27-11-2022 19:41:00    | E75S    | D         | 71,0      | 73,4       | 84,0     |
| 8                     | 27-11-2022 19:44:30    | A20N    | D         | 68,8      | 71,5       | 81,9     |
| 8                     | 27-11-2022 20:05:28    | E195    | D         | 71,3      | 74         | 83,8     |
| 8                     | 27-11-2022 20:06:57    | E170    | D         | 70,5      | 71,9       | 84,0     |
| 8                     | 27-11-2022 20:08:24    | E190    | D         | 72        | 75         | 86       |
| 8                     | 27-11-2022 20:12:11    | E75S    | D         | 74        | 77         | 87,3     |
| 8                     | 27-11-2022 20:35:15    | E195    | D         | 70,6      | 73,3       | 83,8     |
| 8                     | 27-11-2022 20:37:53    | E195    | D         | 70,6      | 72,9       | 84,6     |
| 8                     | 27-11-2022 20:39:44    | E170    | D         | 70,8      | 72,5       | 83,4     |
| 8                     | 27-11-2022 20:41:46    | A320    | D         | 68,0      | 69,1       | 80,8     |
| 8                     | 27-11-2022 20:44:01    | E190    | D         | 74,6      | 78,1       | 87,1     |
| 8                     | 27-11-2022 20:45:59    | E170    | D         | 69,9      | 72         | 83,2     |
| 8                     | 27-11-2022 20:47:40    | B38M    | D         | 68,7      | 70         | 81,3     |
| 8                     | 27-11-2022 20:49:58    | E75S    | D         | 69,9      | 71,5       | 82,9     |
| 8                     | 27-11-2022 20:52:56    | E170    | D         | 70,5      | 72,6       | 83,9     |
| 8                     | 27-11-2022 20:55:00    | E195    | D         | 70,7      | 73,6       | 84,0     |
| 8                     | 27-11-2022 20:57:09    | B38M    | D         | 69,9      | 71,4       | 81,4     |
| 8                     | 27-11-2022 21:03:23    | E75S    | D         | 71,1      | 72,7       | 83,8     |
| 8                     | 27-11-2022 21:09:38    | E75S    | D         | 72,1      | 74,1       | 84,9     |
| 8                     | 27-11-2022 21:17:45    | A21N    | D         | 70,9      | 73,8       | 84,5     |
| 8                     | 28-11-2022 06:10:09    | E170    | A         | 71,0      | 73,0       | 81,8     |
| 8                     | 28-11-2022 06:13:10    | B38M    | A         | 72,2      | 75,1       | 83,7     |
| 8                     | 28-11-2022 06:17:30    | E195    | A         | 72,5      | 75,7       | 85,1     |
| 8                     | 28-11-2022 06:19:16    | E75S    | A         | 72,0      | 75,3       | 83,5     |
| 8                     | 28-11-2022 06:21:21    | E75S    | A         | 72,5      | 74,9       | 82,9     |
| 8                     | 28-11-2022 06:23:20    | E195    | A         | 72,1      | 74,8       | 84,1     |
| 8                     | 28-11-2022 06:30:36    | E190    | A         | 71,5      | 74,0       | 83,0     |
| 8                     | 28-11-2022 06:32:14    | B38M    | A         | 71,5      | 74,5       | 83,6     |
| 8                     | 28-11-2022 06:34:19    | E75S    | A         | 72        | 74,8       | 82,8     |
| 8                     | 28-11-2022 06:36:16    | E195    | A         | 71,6      | 75,7       | 83,7     |
| 8                     | 28-11-2022 06:39:16    | E190    | A         | 71,6      | 74,2       | 83,6     |
| 8                     | 28-11-2022 06:46:02    | E75S    | A         | 72,3      | 75,5       | 83,5     |
| 8                     | 28-11-2022 06:47:52    | E75S    | A         | 72,1      | 75,0       | 83,6     |
| 8                     | 28-11-2022 07:50:03    | B38M    | A         | 71,7      | 74,8       | 83,7     |
| 8                     | 28-11-2022 07:56:03    | C295    | A         | 71,0      | 72,3       | 80,0     |
| 8                     | 28-11-2022 08:00:18    | E170    | A         | 69,9      | 72,7       | 81,6     |
| 8                     | 28-11-2022 08:07:49    | E75S    | A         | 70,5      | 73,7       | 82,3     |
| 8                     | 28-11-2022 08:10:29    | B738    | A         | 73,7      | 77,4       | 86,0     |
| 8                     | 28-11-2022 08:23:49    | E195    | A         | 71        | 74         | 83,6     |
| 8                     | 28-11-2022 08:27:07    | A320    | A         | 70,7      | 73,5       | 82,7     |
| 8                     | 28-11-2022 08:31:21    | A321    | A         | 72,7      | 76,1       | 83,8     |
| 8                     | 28-11-2022 08:33:37    | E190    | A         | 72,0      | 74,9       | 83,8     |
| 8                     | 28-11-2022 08:35:43    | E170    | A         | 71,7      | 74,3       | 82,9     |

| Nr punktu pomiarowego | Data i godz. zdarzenia | Samolot | Operacja* | $L_{Aeq}$ | $L_{Amax}$ | $L_{AE}$ |
|-----------------------|------------------------|---------|-----------|-----------|------------|----------|
|                       |                        |         |           | [dB]      | [dB]       | [dB]     |
| 8                     | 28-11-2022 08:46:29    | E290    | A         | 69,7      | 71,3       | 79,7     |
| 8                     | 28-11-2022 08:48:30    | E170    | A         | 70,5      | 73,9       | 83,3     |
| 8                     | 28-11-2022 08:52:10    | E75S    | A         | 72        | 75         | 84       |
| 8                     | 28-11-2022 09:01:33    | E195    | A         | 72,7      | 75,7       | 84,7     |
| 8                     | 28-11-2022 09:13:45    | E195    | A         | 71,6      | 74,5       | 83,9     |
| 8                     | 28-11-2022 09:20:04    | CRJ9    | A         | 70,5      | 73,0       | 82,2     |
| 8                     | 28-11-2022 09:21:46    | E75S    | A         | 71,1      | 73,8       | 82,3     |
| 8                     | 28-11-2022 09:23:50    | DH8D    | A         | 70,6      | 72,9       | 81       |
| 8                     | 28-11-2022 09:25:52    | E190    | A         | 73,8      | 76,4       | 84,9     |
| 8                     | 28-11-2022 09:28:46    | E195    | A         | 72,2      | 76,3       | 85,2     |
| 8                     | 28-11-2022 09:30:37    | E195    | A         | 72,2      | 74,7       | 83,9     |
| 8                     | 28-11-2022 09:32:38    | E190    | A         | 72,7      | 75,9       | 84,7     |
| 8                     | 28-11-2022 09:34:33    | E195    | A         | 72,0      | 75,4       | 84,3     |
| 8                     | 28-11-2022 09:36:40    | E75S    | A         | 71,8      | 74,2       | 82,9     |
| 8                     | 28-11-2022 09:38:55    | DH8D    | A         | 70,1      | 72,1       | 79,6     |
| 8                     | 28-11-2022 09:43:05    | A21N    | A         | 70,6      | 73,0       | 81,4     |
| 8                     | 28-11-2022 09:45:25    | B38M    | A         | 72,4      | 75,3       | 84,2     |
| 8                     | 28-11-2022 10:23:07    | B788    | A         | 72,0      | 75,3       | 84,5     |
| 8                     | 28-11-2022 10:41:55    | E75S    | A         | 70,9      | 73,3       | 82,3     |
| 8                     | 28-11-2022 10:49:26    | E75S    | A         | 72,3      | 76,6       | 83,1     |
| 8                     | 28-11-2022 10:59:57    | B77W    | A         | 75,2      | 79,6       | 89       |
| 8                     | 28-11-2022 11:02:47    | E170    | A         | 71,2      | 74,8       | 83,0     |
| 8                     | 28-11-2022 11:12:16    | B738    | A         | 73,5      | 76,6       | 85,5     |
| 8                     | 28-11-2022 11:14:53    | E190    | A         | 71,5      | 74,4       | 83,3     |
| 8                     | 28-11-2022 11:18:27    | A21N    | A         | 69,9      | 72,4       | 80,7     |
| 8                     | 28-11-2022 11:24:19    | A321    | A         | 71,3      | 74,0       | 82,0     |
| 8                     | 28-11-2022 11:31:07    | E190    | A         | 71,3      | 73,9       | 83,4     |
| 8                     | 28-11-2022 11:37:15    | AN12    | A         | 77,9      | 83         | 91,2     |
| 8                     | 28-11-2022 11:42:42    | A321    | A         | 70,2      | 72,8       | 81,3     |
| 8                     | 28-11-2022 11:45:29    | A321    | A         | 71,3      | 74,8       | 82,5     |
| 8                     | 28-11-2022 11:47:20    | B789    | A         | 72,9      | 75,6       | 85,5     |
| 8                     | 28-11-2022 11:49:41    | E195    | A         | 72,9      | 76,0       | 83,7     |
| 8                     | 28-11-2022 11:58:57    | E75S    | A         | 70,6      | 73,7       | 82,4     |
| 8                     | 28-11-2022 12:03:01    | BCS3    | A         | 70,2      | 73,0       | 81,7     |
| 8                     | 28-11-2022 12:05:05    | B788    | A         | 70,9      | 74,0       | 84,2     |
| 8                     | 28-11-2022 12:07:40    | E190    | A         | 72,1      | 74,1       | 83,2     |
| 8                     | 28-11-2022 12:09:47    | E190    | A         | 72,1      | 75,2       | 84,4     |
| 8                     | 28-11-2022 12:12:02    | E190    | A         | 72,5      | 75,2       | 84       |
| 8                     | 28-11-2022 12:14:02    | A321    | A         | 70,8      | 72,8       | 81,2     |
| 8                     | 28-11-2022 12:15:54    | E195    | A         | 72,1      | 74,7       | 83,5     |
| 8                     | 28-11-2022 12:17:54    | E75S    | A         | 71,4      | 74,0       | 82,6     |
| 8                     | 28-11-2022 12:19:58    | E170    | A         | 71,5      | 73,8       | 82,3     |
| 8                     | 28-11-2022 12:21:33    | B738    | A         | 71,8      | 75,2       | 84,4     |
| 8                     | 28-11-2022 12:23:34    | B789    | A         | 71,4      | 74,3       | 84,1     |
| 8                     | 28-11-2022 12:26:09    | E190    | A         | 71,2      | 74,3       | 83,3     |
| 8                     | 28-11-2022 12:28:35    | DH8D    | A         | 71,0      | 72,5       | 81,5     |
| 8                     | 28-11-2022 12:30:24    | E195    | A         | 71,5      | 75,2       | 84,0     |
| 8                     | 28-11-2022 12:32:34    | E75S    | A         | 72,4      | 75,6       | 83,9     |
| 8                     | 28-11-2022 12:35:46    | E195    | A         | 71,5      | 75,7       | 84,5     |
| 8                     | 28-11-2022 12:38:03    | E170    | A         | 72,2      | 75,5       | 83,9     |
| 8                     | 28-11-2022 12:40:07    | E195    | A         | 72,1      | 75,4       | 84,4     |
| 8                     | 28-11-2022 12:42:19    | E195    | A         | 71,6      | 74,9       | 83,6     |
| 8                     | 28-11-2022 12:45:18    | E75S    | A         | 73,4      | 75,7       | 84,2     |
| 8                     | 28-11-2022 12:47:57    | B788    | A         | 71,5      | 73,8       | 84,1     |
| 8                     | 28-11-2022 12:50:23    | E195    | A         | 71,4      | 74,8       | 83,4     |
| 8                     | 28-11-2022 12:55:42    | E195    | A         | 71,2      | 74,5       | 84,0     |
| 8                     | 28-11-2022 12:57:49    | A319    | A         | 71,3      | 73,6       | 81,7     |

| Nr punktu pomiarowego | Data i godz. zdarzenia | Samolot | Operacja* | $L_{Aeq}$ | $L_{Amax}$ | $L_{AE}$ |
|-----------------------|------------------------|---------|-----------|-----------|------------|----------|
|                       |                        |         |           | [dB]      | [dB]       | [dB]     |
| 8                     | 28-11-2022 13:00:20    | E170    | A         | 70,9      | 73,4       | 82,0     |
| 8                     | 28-11-2022 13:03:06    | B788    | A         | 71,4      | 75,2       | 83,9     |
| 8                     | 28-11-2022 13:23:23    | E75S    | A         | 71,2      | 74,3       | 82,3     |
| 8                     | 28-11-2022 13:29:05    | A21N    | A         | 70,8      | 73         | 81,6     |
| 8                     | 28-11-2022 13:32:01    | B38M    | A         | 71,4      | 75,7       | 83,7     |
| 8                     | 28-11-2022 13:46:50    | BCS3    | A         | 69,7      | 71,7       | 80,5     |
| 8                     | 28-11-2022 13:51:30    | E75S    | A         | 71,8      | 73,8       | 83,2     |
| 8                     | 28-11-2022 13:53:20    | E170    | A         | 70,9      | 73         | 82       |
| 8                     | 28-11-2022 14:02:56    | E195    | A         | 74,1      | 77,6       | 86,4     |
| 8                     | 28-11-2022 14:07:08    | E195    | A         | 71,4      | 74,9       | 84,6     |
| 8                     | 28-11-2022 14:25:31    | A321    | A         | 71,5      | 75,6       | 84,7     |
| 8                     | 28-11-2022 14:28:42    | B38M    | A         | 72,1      | 75,1       | 83,6     |
| 8                     | 28-11-2022 14:40:32    | E75S    | A         | 71,2      | 73,2       | 82,7     |
| 8                     | 28-11-2022 14:44:26    | E190    | A         | 72,5      | 75,1       | 84,3     |
| 8                     | 28-11-2022 14:54:50    | E75S    | A         | 71,4      | 73,6       | 82,8     |
| 8                     | 28-11-2022 15:00:38    | A21N    | A         | 70,7      | 73,9       | 82,7     |
| 8                     | 28-11-2022 15:11:23    | B789    | A         | 72,3      | 74,7       | 85,5     |
| 8                     | 28-11-2022 15:13:51    | B738    | A         | 72,9      | 76,9       | 86,1     |
| 8                     | 28-11-2022 15:20:28    | E75S    | A         | 71,2      | 74,4       | 83,5     |
| 8                     | 28-11-2022 15:23:33    | E190    | A         | 72,2      | 74,9       | 84,8     |
| 8                     | 28-11-2022 15:27:06    | B738    | A         | 73,6      | 77,9       | 85,6     |
| 8                     | 28-11-2022 15:29:49    | E195    | A         | 80,1      | 87,9       | 94,1     |
| 8                     | 28-11-2022 15:32:58    | A320    | A         | 72,3      | 75,8       | 84,6     |
| 8                     | 28-11-2022 15:35:18    | E75S    | A         | 72,0      | 74,6       | 83,7     |
| 8                     | 28-11-2022 15:37:48    | E195    | A         | 71,8      | 74,6       | 83,6     |
| 8                     | 28-11-2022 15:40:12    | E75S    | A         | 72,0      | 74,6       | 83,4     |
| 8                     | 28-11-2022 15:43:16    | E190    | A         | 71,7      | 75,3       | 83,5     |
| 8                     | 28-11-2022 15:45:23    | E190    | A         | 70,9      | 74,2       | 84,4     |
| 8                     | 28-11-2022 15:48:50    | E170    | A         | 72,2      | 75,7       | 84,2     |
| 8                     | 28-11-2022 15:51:37    | DH8D    | A         | 69,7      | 71,3       | 79,7     |
| 8                     | 28-11-2022 15:53:37    | E75S    | A         | 71        | 74,8       | 84,6     |
| 8                     | 28-11-2022 15:55:51    | E190    | A         | 71,3      | 74,1       | 84,1     |
| 8                     | 28-11-2022 15:58:14    | B38M    | A         | 71,8      | 75,4       | 84,1     |
| 8                     | 28-11-2022 16:02:38    | A332    | A         | 73,3      | 78,8       | 87,9     |
| 8                     | 28-11-2022 16:05:52    | E170    | A         | 71,0      | 73,9       | 82,8     |
| 8                     | 28-11-2022 16:10:53    | A321    | A         | 70,5      | 74,2       | 82,8     |
| 8                     | 28-11-2022 16:16:50    | A321    | A         | 72,5      | 76,5       | 85,2     |
| 8                     | 28-11-2022 16:20:28    | CRJ9    | A         | 69,7      | 73,1       | 81,8     |
| 8                     | 28-11-2022 16:47:42    | A321    | A         | 71,5      | 73,7       | 82,3     |
| 8                     | 28-11-2022 17:02:43    | A321    | A         | 71,3      | 75,5       | 84,3     |
| 8                     | 28-11-2022 17:27:31    | B738    | A         | 73,3      | 77,4       | 85,6     |
| 8                     | 28-11-2022 17:45:28    | E195    | A         | 71,9      | 74,4       | 83,3     |
| 8                     | 28-11-2022 17:58:02    | E75S    | A         | 72,0      | 74,8       | 82,8     |
| 8                     | 28-11-2022 18:02:32    | E170    | A         | 70,0      | 73,4       | 83,0     |
| 8                     | 28-11-2022 18:05:07    | E75S    | A         | 71,5      | 74,5       | 83,8     |
| 8                     | 28-11-2022 18:13:00    | E75S    | A         | 70,7      | 74,8       | 83,7     |
| 8                     | 28-11-2022 18:15:56    | PC12    | A         | 70,2      | 74,3       | 82,8     |
| 8                     | 28-11-2022 18:20:30    | CRJ9    | A         | 70,1      | 72,5       | 82,4     |
| 8                     | 28-11-2022 18:26:46    | E190    | A         | 70,4      | 75,5       | 85,3     |
| 8                     | 28-11-2022 18:31:53    | E170    | A         | 71,4      | 75,1       | 83,9     |
| 8                     | 28-11-2022 18:37:44    | E190    | A         | 71,0      | 75,1       | 84,2     |
| 8                     | 28-11-2022 18:40:07    | E195    | A         | 72,0      | 75,3       | 84,8     |
| 8                     | 28-11-2022 18:42:59    | E190    | A         | 71,4      | 75,3       | 84,2     |
| 8                     | 28-11-2022 18:50:21    | B738    | A         | 72        | 75         | 84,5     |
| 8                     | 28-11-2022 18:52:09    | E170    | A         | 69,4      | 74,4       | 83,2     |
| 8                     | 28-11-2022 18:54:12    | E190    | A         | 71,4      | 74,9       | 84,2     |
| 8                     | 28-11-2022 18:56:09    | E195    | A         | 71,5      | 76,3       | 85,3     |

| Nr punktu pomiarowego | Data i godz. zdarzenia | Samolot | Operacja* | $L_{Aeq}$ | $L_{Amax}$ | $L_{AE}$ |
|-----------------------|------------------------|---------|-----------|-----------|------------|----------|
|                       |                        |         |           | [dB]      | [dB]       | [dB]     |
| 8                     | 28-11-2022 18:58:02    | E75S    | A         | 70,4      | 75,1       | 83,8     |
| 8                     | 28-11-2022 19:02:02    | B38M    | A         | 70,9      | 75,8       | 84,7     |
| 8                     | 28-11-2022 19:04:22    | E195    | A         | 72,5      | 77,0       | 85,5     |
| 8                     | 28-11-2022 19:09:48    | E195    | A         | 73,7      | 77,0       | 85,7     |
| 8                     | 28-11-2022 19:12:27    | E195    | A         | 72,5      | 76,1       | 84,8     |
| 8                     | 28-11-2022 19:15:41    | E75S    | A         | 71,5      | 75,6       | 84,5     |
| 8                     | 28-11-2022 19:23:59    | A20N    | A         | 70,7      | 73,9       | 83,2     |
| 8                     | 28-11-2022 19:38:49    | B788    | A         | 71,8      | 75,3       | 85,2     |
| 8                     | 28-11-2022 19:44:20    | E195    | A         | 72,3      | 76         | 84,9     |
| 8                     | 28-11-2022 20:03:10    | B38M    | A         | 70,6      | 76,0       | 85,8     |
| 8                     | 28-11-2022 20:06:55    | DH8D    | A         | 69,3      | 71,9       | 80,8     |
| 8                     | 28-11-2022 20:30:59    | B38M    | A         | 73,0      | 77,3       | 86,2     |
| 8                     | 28-11-2022 20:43:41    | E75S    | A         | 69,0      | 72,0       | 82,2     |
| 8                     | 28-11-2022 20:48:15    | E75S    | A         | 70,2      | 73,4       | 82,5     |
| 8                     | 28-11-2022 20:50:10    | E170    | A         | 70,9      | 73,7       | 83,7     |
| 8                     | 28-11-2022 20:52:47    | E75S    | A         | 70,9      | 75,1       | 82,7     |
| 8                     | 28-11-2022 20:55:00    | B738    | A         | 74,3      | 78,4       | 87,5     |
| 8                     | 28-11-2022 20:58:03    | B350    | A         | 67,8      | 69,1       | 76,8     |
| 8                     | 28-11-2022 21:00:41    | E190    | A         | 71,9      | 75,5       | 84,4     |
| 8                     | 28-11-2022 21:02:42    | DH8D    | A         | 70,0      | 72,8       | 80,4     |
| 8                     | 28-11-2022 21:05:04    | E75S    | A         | 69,9      | 73,7       | 83,7     |
| 8                     | 28-11-2022 21:14:10    | E190    | A         | 71,2      | 74,9       | 84,4     |
| 8                     | 28-11-2022 21:17:24    | E170    | A         | 70,5      | 74,5       | 82,6     |
| 8                     | 28-11-2022 21:22:13    | E195    | A         | 72,1      | 76,6       | 85,1     |
| 8                     | 28-11-2022 21:24:13    | E75S    | A         | 70,9      | 74,5       | 82       |
| 8                     | 28-11-2022 21:26:22    | E195    | A         | 71,4      | 75,7       | 85       |
| 8                     | 28-11-2022 21:30:05    | E195    | A         | 71,4      | 75,7       | 84,4     |
| 8                     | 28-11-2022 21:32:21    | B738    | A         | 72,2      | 76,5       | 85,4     |
| 8                     | 28-11-2022 21:34:15    | E195    | A         | 70,8      | 75,8       | 85,2     |
| 8                     | 28-11-2022 21:36:51    | E75S    | A         | 71,5      | 74,7       | 82,9     |
| 8                     | 28-11-2022 21:41:37    | B38M    | A         | 71,3      | 76,6       | 84,3     |
| 8                     | 28-11-2022 21:52:38    | B38M    | A         | 70,3      | 74,0       | 83,3     |
| 8                     | 28-11-2022 21:55:22    | A320    | A         | 71,7      | 77,0       | 85,7     |
| 8                     | 28-11-2022 21:57:17    | E170    | A         | 70,4      | 75,5       | 83,0     |
| 8                     | 28-11-2022 21:59:09    | E195    | A         | 73,7      | 78,6       | 86,0     |
| 8                     | 29-11-2022 06:03:12    | E75S    | A         | 71,4      | 74,7       | 83,2     |
| 8                     | 29-11-2022 06:08:19    | E170    | A         | 72,1      | 75,9       | 83,2     |
| 8                     | 29-11-2022 06:10:36    | DH8D    | A         | 69,1      | 70,2       | 78,7     |
| 8                     | 29-11-2022 06:12:29    | E195    | A         | 72,3      | 75,8       | 84,6     |
| 8                     | 29-11-2022 06:17:11    | E190    | A         | 72,4      | 75,7       | 84,8     |
| 8                     | 29-11-2022 06:19:35    | E75S    | A         | 73,5      | 77,8       | 86,8     |
| 8                     | 29-11-2022 06:23:27    | E170    | A         | 71,9      | 75         | 83,4     |
| 8                     | 29-11-2022 06:27:54    | E195    | A         | 72,1      | 75,6       | 84,4     |
| 8                     | 29-11-2022 06:34:11    | E190    | A         | 72,8      | 76,9       | 85,8     |
| 8                     | 29-11-2022 06:39:59    | B738    | A         | 72,6      | 76,7       | 85,6     |
| 8                     | 29-11-2022 06:42:00    | B738    | A         | 73,7      | 78,1       | 86,9     |
| 8                     | 29-11-2022 07:21:55    | B38M    | A         | 71,4      | 75,7       | 84,0     |
| 8                     | 29-11-2022 08:10:27    | E190    | A         | 70,9      | 73,2       | 83,2     |
| 8                     | 29-11-2022 08:12:25    | E170    | A         | 71,3      | 73,4       | 82,1     |
| 8                     | 29-11-2022 08:14:34    | B38M    | A         | 72,1      | 74,9       | 84,4     |
| 8                     | 29-11-2022 08:30:20    | E190    | A         | 71,5      | 74,1       | 83,8     |
| 8                     | 29-11-2022 08:32:36    | E195    | A         | 73,5      | 75,9       | 85,8     |
| 8                     | 29-11-2022 08:35:33    | E290    | A         | 70,0      | 71,9       | 80,0     |
| 8                     | 29-11-2022 08:44:12    | E75S    | A         | 72,1      | 76,3       | 84,4     |
| 8                     | 29-11-2022 08:47:29    | C56X    | A         | 69,3      | 70,5       | 78,4     |
| 8                     | 29-11-2022 08:52:01    | E190    | A         | 71,2      | 73,3       | 83,8     |
| 8                     | 29-11-2022 08:56:12    | E170    | A         | 70,1      | 73,1       | 82,1     |

| Nr punktu pomiarowego | Data i godz. zdarzenia | Samolot | Operacja* | $L_{Aeq}$ | $L_{Amax}$ | $L_{AE}$ |
|-----------------------|------------------------|---------|-----------|-----------|------------|----------|
|                       |                        |         |           | [dB]      | [dB]       | [dB]     |
| 8                     | 29-11-2022 09:04:08    | E190    | A         | 71,7      | 76,2       | 84,5     |
| 8                     | 29-11-2022 09:06:12    | CRJ9    | A         | 69,3      | 71,3       | 80,1     |
| 8                     | 29-11-2022 09:11:41    | E75S    | A         | 70,7      | 73,3       | 83,5     |
| 8                     | 29-11-2022 09:13:13    | E195    | A         | 72,4      | 76,9       | 86,2     |
| 8                     | 29-11-2022 09:15:31    | CRJ9    | A         | 70,7      | 73         | 81,9     |
| 8                     | 29-11-2022 09:17:49    | DH8D    | A         | 70,7      | 72,4       | 79,7     |
| 8                     | 29-11-2022 09:21:31    | E195    | A         | 72,1      | 76,6       | 85,1     |
| 8                     | 29-11-2022 09:26:43    | E195    | A         | 74,1      | 77,4       | 86,4     |
| 8                     | 29-11-2022 09:28:40    | DH8D    | A         | 70,5      | 72,1       | 80       |
| 8                     | 29-11-2022 09:36:14    | E75S    | A         | 72,9      | 76,3       | 84,0     |
| 8                     | 29-11-2022 09:38:11    | E75S    | A         | 70,3      | 73,2       | 81,7     |
| 8                     | 29-11-2022 09:40:10    | E75S    | A         | 71,5      | 74,9       | 82,7     |
| 8                     | 29-11-2022 09:54:17    | B789    | A         | 71,2      | 74,2       | 84,4     |
| 8                     | 29-11-2022 09:58:45    | A21N    | A         | 70,8      | 72,4       | 81,6     |
| 8                     | 29-11-2022 10:31:40    | E195    | A         | 72,3      | 75,9       | 85,1     |
| 8                     | 29-11-2022 10:41:56    | B788    | A         | 71,7      | 75,5       | 85,5     |
| 8                     | 29-11-2022 10:46:11    | E195    | A         | 71,1      | 73,9       | 83,7     |
| 8                     | 29-11-2022 10:48:20    | E75S    | A         | 71,0      | 73,5       | 82,5     |
| 8                     | 29-11-2022 11:12:03    | B77W    | A         | 73,8      | 78,4       | 88,4     |
| 8                     | 29-11-2022 11:15:12    | E170    | A         | 71,8      | 74,3       | 82,5     |
| 8                     | 29-11-2022 11:22:02    | B789    | A         | 71,9      | 75,4       | 84,7     |
| 8                     | 29-11-2022 11:29:42    | E75S    | A         | 69,8      | 72,3       | 81,6     |
| 8                     | 29-11-2022 11:38:46    | E190    | A         | 71,7      | 74,8       | 84,7     |
| 8                     | 29-11-2022 11:43:56    | B789    | A         | 73,1      | 77,3       | 86,1     |
| 8                     | 29-11-2022 11:46:46    | A321    | A         | 71,2      | 74,7       | 83,9     |
| 8                     | 29-11-2022 11:48:35    | A21N    | A         | 71,1      | 73,9       | 81,9     |
| 8                     | 29-11-2022 11:56:27    | E75S    | A         | 70,7      | 73,6       | 82,7     |
| 8                     | 29-11-2022 11:59:17    | A21N    | A         | 69,7      | 72,3       | 81,2     |
| 8                     | 29-11-2022 12:01:07    | E195    | A         | 72,5      | 76,4       | 84,5     |
| 8                     | 29-11-2022 12:04:21    | E195    | A         | 72,2      | 76,2       | 84,2     |
| 8                     | 29-11-2022 12:07:16    | E190    | A         | 72,2      | 74,9       | 84,0     |
| 8                     | 29-11-2022 12:09:38    | BCS3    | A         | 70,7      | 73,3       | 82,8     |
| 8                     | 29-11-2022 12:11:30    | E170    | A         | 71,1      | 72,8       | 81,9     |
| 8                     | 29-11-2022 12:12:52    | E195    | A         | 71,9      | 75,6       | 84,7     |
| 8                     | 29-11-2022 12:14:49    | E75S    | A         | 71,2      | 73,1       | 82,4     |
| 8                     | 29-11-2022 12:16:27    | B789    | A         | 71,9      | 74,5       | 84,4     |
| 8                     | 29-11-2022 12:18:33    | E190    | A         | 71,2      | 74,4       | 84       |
| 8                     | 29-11-2022 12:20:33    | A21N    | A         | 71,0      | 74,1       | 83,1     |
| 8                     | 29-11-2022 12:22:07    | E195    | A         | 71,8      | 75,2       | 84,4     |
| 8                     | 29-11-2022 12:23:53    | E170    | A         | 70,6      | 73,7       | 82,9     |
| 8                     | 29-11-2022 12:26:09    | C560    | A         | 70,3      | 72,3       | 80,7     |
| 8                     | 29-11-2022 12:28:09    | E170    | A         | 71,1      | 73,1       | 82,6     |
| 8                     | 29-11-2022 12:30:42    | E195    | A         | 71,4      | 75,2       | 85,0     |
| 8                     | 29-11-2022 12:32:26    | E195    | A         | 72,6      | 75,2       | 84,4     |
| 8                     | 29-11-2022 12:34:24    | B788    | A         | 71,1      | 74,9       | 85,1     |
| 8                     | 29-11-2022 12:38:15    | DH8D    | A         | 69,6      | 72,5       | 81,1     |
| 8                     | 29-11-2022 12:53:15    | E170    | A         | 70,9      | 73,9       | 82,9     |
| 8                     | 29-11-2022 12:55:20    | E75S    | A         | 70,5      | 73,2       | 82,8     |
| 8                     | 29-11-2022 12:57:11    | E75S    | A         | 71,7      | 74,2       | 83,1     |
| 8                     | 29-11-2022 12:59:15    | A319    | A         | 71,6      | 76,0       | 84,7     |
| 8                     | 29-11-2022 13:01:28    | B789    | A         | 71,5      | 75,8       | 85,5     |
| 8                     | 29-11-2022 13:03:52    | B789    | A         | 71,8      | 75,1       | 84,9     |
| 8                     | 29-11-2022 13:06:17    | B738    | A         | 73,1      | 77,1       | 85,7     |
| 8                     | 29-11-2022 13:08:24    | DH8D    | A         | 69,7      | 71,6       | 80,8     |
| 8                     | 29-11-2022 13:28:00    | A21N    | A         | 70,0      | 71,1       | 79,5     |
| 8                     | 29-11-2022 13:32:17    | P180    | A         | 75,7      | 82,0       | 92,1     |
| 8                     | 29-11-2022 13:42:50    | E190    | A         | 71,2      | 74         | 83       |

| Nr punktu pomiarowego | Data i godz. zdarzenia | Samolot | Operacja* | $L_{Aeq}$ | $L_{Amax}$ | $L_{AE}$ |
|-----------------------|------------------------|---------|-----------|-----------|------------|----------|
|                       |                        |         |           | [dB]      | [dB]       | [dB]     |
| 8                     | 29-11-2022 13:50:49    | BCS3    | A         | 69,7      | 71,9       | 80,5     |
| 8                     | 29-11-2022 13:52:50    | E75S    | A         | 71,5      | 73,7       | 83,0     |
| 8                     | 29-11-2022 13:55:17    | E190    | A         | 72,0      | 75,1       | 83,8     |
| 8                     | 29-11-2022 13:58:18    | E195    | A         | 71,5      | 75,6       | 84,8     |
| 8                     | 29-11-2022 14:00:53    | E195    | A         | 71,5      | 75,7       | 84,7     |
| 8                     | 29-11-2022 14:04:44    | A320    | A         | 72,1      | 76,0       | 85,1     |
| 8                     | 29-11-2022 14:15:37    | E75S    | A         | 72,0      | 75,2       | 83,1     |
| 8                     | 29-11-2022 14:17:45    | B38M    | A         | 72,4      | 76,3       | 84,7     |
| 8                     | 29-11-2022 14:20:19    | A320    | A         | 70,8      | 73,6       | 82,2     |
| 8                     | 29-11-2022 14:23:17    | E75S    | A         | 72,4      | 75,6       | 84,2     |
| 8                     | 29-11-2022 14:36:32    | B38M    | A         | 72,0      | 75,7       | 84,1     |
| 8                     | 29-11-2022 14:38:44    | E75S    | A         | 71,7      | 75         | 83,2     |
| 8                     | 29-11-2022 14:40:49    | C295    | A         | 70,4      | 72,5       | 79,4     |
| 8                     | 29-11-2022 15:08:57    | E190    | A         | 72,1      | 74,8       | 83,9     |
| 8                     | 29-11-2022 15:13:26    | E195    | A         | 71,5      | 74,4       | 83,6     |
| 8                     | 29-11-2022 15:21:10    | C295    | A         | 71        | 72,6       | 80,6     |
| 8                     | 29-11-2022 15:23:27    | E195    | A         | 73,3      | 77,4       | 85,6     |
| 8                     | 29-11-2022 15:26:03    | E170    | A         | 70,9      | 73,6       | 82,7     |
| 8                     | 29-11-2022 15:28:24    | E190    | A         | 72,1      | 75,2       | 84,6     |
| 8                     | 29-11-2022 15:30:17    | E190    | A         | 73,1      | 77,1       | 85,1     |
| 8                     | 29-11-2022 15:32:18    | E195    | A         | 71,4      | 75         | 84,9     |
| 8                     | 29-11-2022 15:34:24    | A321    | A         | 70,0      | 72,6       | 81,4     |
| 8                     | 29-11-2022 15:36:19    | E195    | A         | 72,4      | 76,4       | 85,2     |
| 8                     | 29-11-2022 15:38:18    | E195    | A         | 72,6      | 75,9       | 84,9     |
| 8                     | 29-11-2022 15:40:39    | E75S    | A         | 70,8      | 73,7       | 82,8     |
| 8                     | 29-11-2022 15:43:17    | E170    | A         | 69,9      | 72,3       | 81,1     |
| 8                     | 29-11-2022 15:46:48    | DH8D    | A         | 70,2      | 72,4       | 79,8     |
| 8                     | 29-11-2022 15:48:58    | B738    | A         | 73,5      | 76,9       | 85,8     |
| 8                     | 29-11-2022 15:57:47    | A319    | A         | 71,3      | 73,7       | 82,5     |
| 8                     | 29-11-2022 16:02:57    | AN26    | A         | 74,1      | 79,4       | 87,3     |
| 8                     | 29-11-2022 16:17:17    | E75L    | A         | 71,6      | 75,0       | 83,7     |
| 8                     | 29-11-2022 16:19:43    | A321    | A         | 71,2      | 73,5       | 81,6     |
| 8                     | 29-11-2022 16:21:16    | A320    | A         | 72,5      | 76,7       | 86       |
| 8                     | 29-11-2022 16:36:22    | A320    | A         | 70,1      | 73,7       | 82,7     |
| 8                     | 29-11-2022 16:55:15    | A321    | A         | 70,4      | 74,6       | 82,5     |
| 8                     | 29-11-2022 17:08:54    | A21N    | A         | 71,0      | 73,5       | 81,4     |
| 8                     | 29-11-2022 17:10:30    | P180    | A         | 75,1      | 80,9       | 91,7     |
| 8                     | 29-11-2022 17:14:55    | E190    | A         | 72,1      | 75,6       | 83,9     |
| 8                     | 29-11-2022 17:24:05    | B788    | A         | 71,8      | 74,9       | 84,6     |
| 8                     | 29-11-2022 17:38:36    | E195    | A         | 73,0      | 76,7       | 85,8     |
| 8                     | 29-11-2022 17:46:26    | A321    | A         | 71,5      | 75,4       | 84,1     |
| 8                     | 29-11-2022 17:53:47    | E75S    | A         | 71,1      | 73,7       | 81,9     |
| 8                     | 29-11-2022 18:14:53    | E170    | A         | 69,9      | 72,7       | 81,6     |
| 8                     | 29-11-2022 18:17:55    | B789    | A         | 71,5      | 74,9       | 85,5     |
| 8                     | 29-11-2022 18:20:34    | E190    | A         | 72,1      | 75,4       | 84,4     |
| 8                     | 29-11-2022 18:23:51    | E75S    | A         | 68,9      | 72,7       | 82,7     |
| 8                     | 29-11-2022 18:25:46    | A21N    | A         | 69,4      | 73,6       | 83,0     |
| 8                     | 29-11-2022 18:28:21    | E195    | A         | 72,8      | 76,5       | 85,3     |
| 8                     | 29-11-2022 18:31:39    | E75S    | A         | 70,4      | 73,2       | 82,7     |
| 8                     | 29-11-2022 18:41:36    | A320    | A         | 70,5      | 74,6       | 83,6     |
| 8                     | 29-11-2022 18:43:17    | B38M    | A         | 71,5      | 74,4       | 83,5     |
| 8                     | 29-11-2022 18:44:59    | E195    | A         | 72,8      | 77,3       | 85,8     |
| 8                     | 29-11-2022 18:46:48    | E170    | A         | 70,4      | 73,5       | 83,0     |
| 8                     | 29-11-2022 18:48:47    | E190    | A         | 70,7      | 75,7       | 84,7     |
| 8                     | 29-11-2022 18:50:39    | DH8D    | A         | 68,9      | 70,9       | 80,0     |
| 8                     | 29-11-2022 18:52:18    | E190    | A         | 71,8      | 76,4       | 85,1     |
| 8                     | 29-11-2022 18:54:10    | B38M    | A         | 71,4      | 75,4       | 84,2     |

| Nr punktu pomiarowego | Data i godz. zdarzenia | Samolot | Operacja* | $L_{Aeq}$ | $L_{Amax}$ | $L_{AE}$ |
|-----------------------|------------------------|---------|-----------|-----------|------------|----------|
|                       |                        |         |           | [dB]      | [dB]       | [dB]     |
| 8                     | 29-11-2022 18:56:00    | E195    | A         | 73,1      | 76,5       | 85,7     |
| 8                     | 29-11-2022 18:57:45    | CRJ9    | A         | 69,5      | 72,2       | 82,5     |
| 8                     | 29-11-2022 18:59:23    | E75S    | A         | 71,9      | 75,9       | 83,7     |
| 8                     | 29-11-2022 19:01:51    | DH8D    | A         | 69,7      | 72,0       | 80,1     |
| 8                     | 29-11-2022 19:03:44    | E75S    | A         | 71,9      | 75,8       | 84,2     |
| 8                     | 29-11-2022 19:06:02    | E195    | A         | 71,5      | 75,9       | 85,4     |
| 8                     | 29-11-2022 19:07:50    | E190    | A         | 71,8      | 75,6       | 84,8     |
| 8                     | 29-11-2022 19:09:33    | E170    | A         | 70,8      | 73,8       | 83,3     |
| 8                     | 29-11-2022 19:11:37    | E195    | A         | 72,8      | 77,1       | 85,9     |
| 8                     | 29-11-2022 19:17:13    | E75S    | A         | 71,4      | 74,6       | 83,5     |
| 8                     | 29-11-2022 19:31:20    | B738    | A         | 73,4      | 77,7       | 86,6     |
| 8                     | 29-11-2022 19:46:31    | SF34    | A         | 70,6      | 74,3       | 81,0     |
| 8                     | 29-11-2022 20:13:28    | B38M    | A         | 70,7      | 74,2       | 83,7     |
| 8                     | 29-11-2022 20:46:16    | E170    | A         | 71,0      | 74,7       | 84,2     |
| 8                     | 29-11-2022 20:48:20    | E170    | A         | 71,0      | 74,5       | 83,3     |
| 8                     | 29-11-2022 20:55:07    | E75S    | A         | 70,3      | 74,1       | 82,6     |
| 8                     | 29-11-2022 20:57:27    | E195    | A         | 72,3      | 76,3       | 84,6     |
| 8                     | 29-11-2022 20:59:53    | E195    | A         | 71,8      | 75,3       | 84,6     |
| 8                     | 29-11-2022 21:03:27    | B738    | A         | 71,9      | 75,4       | 84,2     |
| 8                     | 29-11-2022 21:19:28    | B738    | A         | 72,6      | 77,8       | 86,4     |
| 8                     | 29-11-2022 21:22:03    | E195    | A         | 71,2      | 74,2       | 83,5     |
| 8                     | 29-11-2022 21:25:27    | A320    | A         | 70,6      | 73,2       | 81,8     |
| 8                     | 29-11-2022 21:27:32    | DH8D    | A         | 69,6      | 71,1       | 79,1     |
| 8                     | 29-11-2022 21:29:37    | E75S    | A         | 71,3      | 74,3       | 82,7     |
| 8                     | 29-11-2022 21:31:19    | E190    | A         | 71,7      | 74,9       | 84,3     |
| 8                     | 29-11-2022 21:33:31    | E195    | A         | 71,4      | 74,5       | 83,4     |
| 8                     | 29-11-2022 21:35:22    | B38M    | A         | 71,0      | 74,2       | 83,0     |
| 8                     | 29-11-2022 21:37:41    | E190    | A         | 71,8      | 75,0       | 84,6     |
| 8                     | 29-11-2022 21:39:21    | E195    | A         | 71,4      | 74,7       | 83,9     |
| 8                     | 29-11-2022 21:41:06    | B38M    | A         | 70,3      | 74,7       | 83,9     |
| 8                     | 29-11-2022 21:45:22    | B738    | A         | 72,6      | 76,7       | 84,9     |
| 8                     | 29-11-2022 21:50:20    | E75S    | A         | 71,4      | 74,8       | 83,5     |
| 8                     | 29-11-2022 21:52:41    | E75S    | A         | 70,6      | 73,6       | 82,1     |
| 8                     | 29-11-2022 21:58:40    | DH8D    | A         | 69,4      | 71,1       | 79,0     |
| 8                     | 30-11-2022 06:02:32    | E195    | A         | 72,2      | 75,2       | 83,6     |
| 8                     | 30-11-2022 06:10:47    | E195    | A         | 72,7      | 75,9       | 84,5     |
| 8                     | 30-11-2022 06:19:57    | E75S    | A         | 70,7      | 72,9       | 81,8     |
| 8                     | 30-11-2022 06:21:46    | E170    | A         | 72,1      | 75,2       | 83,5     |
| 8                     | 30-11-2022 06:23:23    | B763    | A         | 73,6      | 77,7       | 87,4     |
| 8                     | 30-11-2022 06:25:42    | B738    | A         | 72,7      | 75,2       | 84,5     |
| 8                     | 30-11-2022 06:28:04    | E195    | A         | 72,1      | 75,7       | 84,2     |
| 8                     | 30-11-2022 06:30:01    | E195    | A         | 73,7      | 78,0       | 85,7     |
| 8                     | 30-11-2022 06:32:55    | E190    | A         | 72,1      | 74,2       | 83,9     |
| 8                     | 30-11-2022 06:35:04    | E75S    | A         | 70,1      | 72,5       | 82,4     |
| 8                     | 30-11-2022 07:39:28    | B738    | A         | 74,1      | 77,9       | 86,2     |
| 8                     | 30-11-2022 08:00:41    | B38M    | A         | 72,4      | 76,0       | 84,2     |
| 8                     | 30-11-2022 08:02:51    | E75S    | A         | 71,5      | 73,9       | 82,7     |
| 8                     | 30-11-2022 08:22:12    | E170    | A         | 70,2      | 73,3       | 82,0     |
| 8                     | 30-11-2022 08:23:58    | E190    | A         | 71,6      | 74,1       | 83,6     |
| 8                     | 30-11-2022 08:25:50    | E195    | A         | 73,8      | 77,6       | 85,8     |
| 8                     | 30-11-2022 08:35:43    | B38M    | A         | 72,5      | 75,4       | 83,6     |
| 8                     | 30-11-2022 08:38:34    | E75S    | A         | 70,6      | 73,0       | 81,8     |
| 8                     | 30-11-2022 08:42:25    | A21N    | A         | 71,2      | 73,7       | 83,0     |
| 8                     | 30-11-2022 08:45:12    | E75S    | A         | 71,2      | 75,0       | 83,5     |
| 8                     | 30-11-2022 08:47:49    | E75S    | A         | 70,4      | 73,2       | 81,6     |
| 8                     | 30-11-2022 08:49:54    | E190    | A         | 73,1      | 75,8       | 85,1     |
| 8                     | 30-11-2022 09:12:01    | CRJ9    | A         | 70,5      | 73,3       | 82,3     |

| Nr punktu pomiarowego | Data i godz. zdarzenia | Samolot | Operacja* | $L_{Aeq}$ | $L_{Amax}$ | $L_{AE}$ |
|-----------------------|------------------------|---------|-----------|-----------|------------|----------|
|                       |                        |         |           | [dB]      | [dB]       | [dB]     |
| 8                     | 30-11-2022 09:15:32    | E75S    | A         | 70,7      | 72,5       | 82,1     |
| 8                     | 30-11-2022 09:17:34    | E195    | A         | 73,2      | 78,3       | 86,6     |
| 8                     | 30-11-2022 09:19:18    | E170    | A         | 71,9      | 75,1       | 82,7     |
| 8                     | 30-11-2022 09:23:17    | E190    | A         | 72,3      | 76,0       | 84,9     |
| 8                     | 30-11-2022 09:25:01    | E75S    | A         | 72,3      | 75,1       | 83,4     |
| 8                     | 30-11-2022 09:26:47    | E190    | A         | 71,9      | 74,5       | 83,6     |
| 8                     | 30-11-2022 09:29:55    | E190    | A         | 73,0      | 77,4       | 85,8     |
| 8                     | 30-11-2022 09:35:57    | DH8D    | A         | 69,9      | 71,2       | 78,9     |
| 8                     | 30-11-2022 10:04:02    | E75S    | A         | 71,9      | 74,6       | 83,1     |
| 8                     | 30-11-2022 10:15:33    | A320    | A         | 71,0      | 74,4       | 83,6     |
| 8                     | 30-11-2022 10:29:12    | B738    | A         | 71,6      | 74,7       | 84,0     |
| 8                     | 30-11-2022 10:32:21    | B788    | A         | 72,0      | 76,4       | 85,2     |
| 8                     | 30-11-2022 10:35:03    | H25B    | A         | 70,7      | 72,0       | 80,3     |
| 8                     | 30-11-2022 10:40:57    | E190    | A         | 72,5      | 75,7       | 84,8     |
| 8                     | 30-11-2022 10:43:07    | E170    | A         | 72,7      | 76,8       | 84,4     |
| 8                     | 30-11-2022 10:47:34    | B77W    | A         | 74,6      | 79,6       | 88,8     |
| 8                     | 30-11-2022 10:55:17    | A21N    | A         | 70,9      | 73,7       | 82,7     |
| 8                     | 30-11-2022 11:09:25    | E170    | A         | 72,0      | 74,8       | 83,5     |
| 8                     | 30-11-2022 11:24:28    | B789    | A         | 73,1      | 76,9       | 85,8     |
| 8                     | 30-11-2022 11:27:44    | A321    | A         | 71,0      | 74,0       | 83,0     |
| 8                     | 30-11-2022 11:35:41    | A319    | A         | 70,9      | 73,9       | 82,4     |
| 8                     | 30-11-2022 11:37:45    | E75S    | A         | 71,2      | 73,9       | 82,7     |
| 8                     | 30-11-2022 11:54:15    | E75S    | A         | 73,0      | 76,9       | 85,5     |
| 8                     | 30-11-2022 11:58:39    | E195    | A         | 72,5      | 77,1       | 85,5     |
| 8                     | 30-11-2022 12:01:02    | BCS3    | A         | 70,6      | 72,3       | 80,6     |
| 8                     | 30-11-2022 12:05:10    | A321    | A         | 71,4      | 74,1       | 82,2     |
| 8                     | 30-11-2022 12:07:58    | B789    | A         | 72,4      | 74,7       | 85,0     |
| 8                     | 30-11-2022 12:10:33    | E190    | A         | 72,3      | 75,5       | 83,8     |
| 8                     | 30-11-2022 12:15:46    | B738    | A         | 72,3      | 76,1       | 84,9     |
| 8                     | 30-11-2022 12:18:07    | E195    | A         | 72,4      | 75,7       | 84,5     |
| 8                     | 30-11-2022 12:20:25    | B788    | A         | 70,5      | 73,9       | 84,4     |
| 8                     | 30-11-2022 12:22:58    | DH8D    | A         | 69,5      | 71,6       | 79,1     |
| 8                     | 30-11-2022 12:24:36    | DH8D    | A         | 69,4      | 71,0       | 79,9     |
| 8                     | 30-11-2022 12:26:34    | E170    | A         | 71,6      | 74,1       | 83,4     |
| 8                     | 30-11-2022 12:28:32    | E195    | A         | 72,3      | 76,3       | 84,6     |
| 8                     | 30-11-2022 12:31:04    | E190    | A         | 72,2      | 74,4       | 83,7     |
| 8                     | 30-11-2022 12:33:22    | E75S    | A         | 71,5      | 75,1       | 83,0     |
| 8                     | 30-11-2022 12:36:37    | E75S    | A         | 71,4      | 73,7       | 81,8     |
| 8                     | 30-11-2022 12:44:05    | DH8D    | A         | 70,7      | 73,0       | 80,2     |
| 8                     | 30-11-2022 12:46:25    | E195    | A         | 72,7      | 76,9       | 85,2     |
| 8                     | 30-11-2022 12:48:27    | E195    | A         | 72,1      | 75,7       | 84,9     |
| 8                     | 30-11-2022 12:50:36    | E75S    | A         | 71,0      | 73,7       | 82,7     |
| 8                     | 30-11-2022 12:52:39    | E195    | A         | 71,4      | 75,8       | 84,8     |
| 8                     | 30-11-2022 12:54:41    | B789    | A         | 72,0      | 75,0       | 84,5     |
| 8                     | 30-11-2022 12:58:21    | A319    | A         | 72,4      | 75,6       | 84,4     |
| 8                     | 30-11-2022 13:01:12    | E75S    | A         | 71,5      | 76,2       | 83,8     |
| 8                     | 30-11-2022 13:17:55    | CN35    | A         | 75,0      | 81,1       | 87,6     |
| 8                     | 30-11-2022 13:20:14    | E75S    | A         | 71,3      | 74,8       | 83,6     |
| 8                     | 30-11-2022 13:29:57    | B789    | A         | 71,8      | 75,2       | 85,0     |
| 8                     | 30-11-2022 13:32:17    | E195    | A         | 72,6      | 76,0       | 85,2     |
| 8                     | 30-11-2022 13:36:10    | B788    | A         | 70,9      | 74,5       | 83,9     |
| 8                     | 30-11-2022 13:39:44    | A21N    | A         | 71,2      | 74,4       | 82,7     |
| 8                     | 30-11-2022 13:44:43    | E190    | A         | 71,7      | 74,2       | 84,0     |
| 8                     | 30-11-2022 13:49:17    | E75S    | A         | 70,2      | 73,3       | 83,2     |
| 8                     | 30-11-2022 13:53:35    | E170    | A         | 70,3      | 72,4       | 81,4     |
| 8                     | 30-11-2022 13:57:28    | E190    | A         | 72,1      | 76,5       | 84,9     |
| 8                     | 30-11-2022 14:01:45    | E195    | A         | 72,0      | 75,4       | 84,6     |

| Nr punktu pomiarowego | Data i godz. zdarzenia | Samolot | Operacja* | $L_{Aeq}$ | $L_{Amax}$ | $L_{AE}$ |
|-----------------------|------------------------|---------|-----------|-----------|------------|----------|
|                       |                        |         |           | [dB]      | [dB]       | [dB]     |
| 8                     | 30-11-2022 14:05:06    | B38M    | A         | 71,0      | 75,5       | 84,4     |
| 8                     | 30-11-2022 14:29:05    | E170    | A         | 71,7      | 74,5       | 82,9     |
| 8                     | 30-11-2022 14:38:53    | A321    | A         | 71,5      | 74,5       | 83,0     |
| 8                     | 30-11-2022 14:54:08    | C295    | A         | 71,1      | 73,3       | 81,1     |
| 8                     | 30-11-2022 15:04:00    | E170    | A         | 71,0      | 72,9       | 82,5     |
| 8                     | 30-11-2022 15:15:09    | DH8D    | A         | 69,1      | 70,6       | 79,9     |
| 8                     | 30-11-2022 15:18:17    | B738    | A         | 73,6      | 77,3       | 85,7     |
| 8                     | 30-11-2022 15:19:51    | E190    | A         | 71,8      | 76,8       | 85,2     |
| 8                     | 30-11-2022 15:21:28    | DH8D    | A         | 70,4      | 72,9       | 81,5     |
| 8                     | 30-11-2022 15:23:23    | E75S    | A         | 70,8      | 73,7       | 82,9     |
| 8                     | 30-11-2022 15:25:11    | B38M    | A         | 72,2      | 74,9       | 83,7     |
| 8                     | 30-11-2022 15:27:21    | E190    | A         | 71,5      | 74,4       | 84,3     |
| 8                     | 30-11-2022 15:33:23    | E170    | A         | 71,8      | 75,2       | 83,2     |
| 8                     | 30-11-2022 15:36:23    | E190    | A         | 71,2      | 73,4       | 82,0     |
| 8                     | 30-11-2022 15:38:22    | E75S    | A         | 72,1      | 75,2       | 83,5     |
| 8                     | 30-11-2022 15:40:24    | E195    | A         | 72,2      | 75,0       | 84,2     |
| 8                     | 30-11-2022 15:42:16    | E195    | A         | 72,1      | 76,3       | 85,1     |
| 8                     | 30-11-2022 15:43:59    | E195    | A         | 73,2      | 76,6       | 84,9     |
| 8                     | 30-11-2022 15:53:27    | E195    | A         | 73,1      | 75,6       | 84,8     |
| 8                     | 30-11-2022 15:55:06    | E75S    | A         | 71,4      | 74,6       | 83,2     |
| 8                     | 30-11-2022 15:58:12    | E190    | A         | 70,1      | 73,4       | 82,4     |
| 8                     | 30-11-2022 16:00:42    | E195    | A         | 72,3      | 76,0       | 85,1     |
| 8                     | 30-11-2022 16:06:24    | A21N    | A         | 71,7      | 75,1       | 84,3     |
| 8                     | 30-11-2022 16:33:30    | A321    | A         | 74,4      | 79,2       | 88,1     |
| 8                     | 30-11-2022 16:35:51    | A319    | A         | 71,6      | 73,5       | 82,4     |
| 8                     | 30-11-2022 16:55:35    | A21N    | A         | 72,0      | 75,6       | 84,5     |
| 8                     | 30-11-2022 17:04:33    | A321    | A         | 71,0      | 73,5       | 82,5     |
| 8                     | 30-11-2022 17:19:35    | E190    | A         | 72,4      | 75,8       | 85       |
| 8                     | 30-11-2022 17:34:29    | B738    | A         | 71,3      | 74,8       | 84,5     |
| 8                     | 30-11-2022 17:36:26    | E75S    | A         | 72,3      | 74,7       | 83,4     |
| 8                     | 30-11-2022 17:46:47    | E170    | A         | 70,2      | 73,8       | 82,7     |
| 8                     | 30-11-2022 17:53:14    | A321    | A         | 72        | 74,9       | 83,4     |
| 8                     | 30-11-2022 17:55:40    | E190    | A         | 72,7      | 75,8       | 85       |
| 8                     | 30-11-2022 18:05:28    | CRJ9    | A         | 70,1      | 72,8       | 82,6     |
| 8                     | 30-11-2022 18:07:31    | CRJ9    | A         | 69,4      | 73,1       | 82,8     |
| 8                     | 30-11-2022 18:28:42    | A320    | A         | 73,1      | 77,4       | 86,5     |
| 8                     | 30-11-2022 18:32:23    | E195    | A         | 71,5      | 77,2       | 85,1     |
| 8                     | 30-11-2022 18:34:30    | E190    | A         | 71,3      | 74,0       | 83,9     |
| 8                     | 30-11-2022 18:36:28    | E75S    | A         | 71,5      | 74,6       | 83,6     |
| 8                     | 30-11-2022 18:38:18    | E75S    | A         | 70,6      | 74,7       | 83,9     |
| 8                     | 30-11-2022 18:42:23    | E170    | A         | 71,1      | 74,6       | 82,9     |
| 8                     | 30-11-2022 18:46:38    | B738    | A         | 73,1      | 77,1       | 86,4     |
| 8                     | 30-11-2022 18:50:34    | E190    | A         | 72,2      | 76         | 84,7     |
| 8                     | 30-11-2022 18:52:43    | DH8D    | A         | 70,4      | 73,4       | 81,9     |
| 8                     | 30-11-2022 18:55:55    | A21N    | A         | 70,1      | 72,6       | 82,1     |
| 8                     | 30-11-2022 18:57:56    | E195    | A         | 72,4      | 76,8       | 85,6     |
| 8                     | 30-11-2022 19:00:54    | E195    | A         | 70,6      | 74,8       | 84,6     |
| 8                     | 30-11-2022 19:04:58    | E295    | A         | 70        | 72,4       | 80,8     |
| 8                     | 30-11-2022 19:06:49    | E195    | A         | 72,5      | 77,1       | 86,3     |
| 8                     | 30-11-2022 19:09:19    | E75S    | A         | 81,5      | 88,4       | 95,8     |
| 8                     | 30-11-2022 19:13:35    | E75S    | A         | 71,5      | 74,8       | 83,5     |
| 8                     | 30-11-2022 19:16:23    | E190    | A         | 72,7      | 75,7       | 85,3     |
| 8                     | 30-11-2022 19:21:55    | SF34    | A         | 71,0      | 73,4       | 82,4     |
| 8                     | 30-11-2022 19:42:24    | B738    | A         | 72        | 76,6       | 85,7     |
| 8                     | 30-11-2022 19:47:09    | DH8D    | A         | 69,3      | 71,9       | 80,5     |
| 8                     | 30-11-2022 19:49:35    | B38M    | A         | 71,5      | 75,2       | 84,7     |
| 8                     | 30-11-2022 20:05:55    | E170    | A         | 71,7      | 74,0       | 83,2     |

| Nr punktu pomiarowego | Data i godz. zdarzenia | Samolot | Operacja* | $L_{Aeq}$ | $L_{Amax}$ | $L_{AE}$ |
|-----------------------|------------------------|---------|-----------|-----------|------------|----------|
|                       |                        |         |           | [dB]      | [dB]       | [dB]     |
| 8                     | 30-11-2022 20:10:43    | B38M    | A         | 71,7      | 76,6       | 85,2     |
| 8                     | 30-11-2022 20:41:32    | E170    | A         | 70,4      | 73,6       | 82,2     |
| 8                     | 30-11-2022 20:46:11    | E75S    | A         | 71,2      | 74,9       | 83,8     |
| 8                     | 30-11-2022 20:47:57    | E170    | A         | 72,0      | 74,3       | 82,8     |
| 8                     | 30-11-2022 20:53:31    | E195    | A         | 72,9      | 76,4       | 85,2     |
| 8                     | 30-11-2022 21:02:15    | E195    | A         | 72,4      | 75,4       | 84,5     |
| 8                     | 30-11-2022 21:16:37    | E75S    | A         | 70,7      | 74,8       | 83,7     |
| 8                     | 30-11-2022 21:18:25    | E195    | A         | 72,2      | 75,3       | 84,5     |
| 8                     | 30-11-2022 21:24:09    | E190    | A         | 71,6      | 75,3       | 84,3     |
| 8                     | 30-11-2022 21:33:22    | B738    | A         | 72,6      | 76,7       | 85,4     |
| 8                     | 30-11-2022 21:35:04    | E195    | A         | 70,7      | 74         | 83,8     |
| 8                     | 30-11-2022 21:37:22    | A320    | A         | 70        | 72,6       | 81,2     |
| 8                     | 30-11-2022 21:39:49    | E195    | A         | 72,4      | 76,8       | 84,9     |
| 8                     | 30-11-2022 21:42:05    | DH8D    | A         | 69,6      | 72,0       | 80,0     |
| 8                     | 30-11-2022 21:43:47    | E75S    | A         | 70,9      | 73,8       | 83,2     |
| 8                     | 30-11-2022 21:46:05    | E190    | A         | 70,5      | 75,9       | 84,5     |
| 8                     | 30-11-2022 21:47:48    | E195    | A         | 72,1      | 75,7       | 84,9     |
| 8                     | 30-11-2022 21:49:59    | E75S    | A         | 71,6      | 75,1       | 83,3     |
| 8                     | 30-11-2022 21:51:43    | B38M    | A         | 71,1      | 75,6       | 83,5     |
| 8                     | 30-11-2022 21:53:57    | E195    | A         | 71,3      | 74,7       | 84,3     |
| 8                     | 30-11-2022 21:55:52    | E75S    | A         | 69,7      | 73,4       | 81,7     |
| 8                     | 30-11-2022 21:57:53    | E195    | A         | 69,9      | 74         | 83,5     |

**Zestawienie zdarzeń akustycznych spowodowanych przelotami statków powietrznych w porze nocy ( przedział czasu pomiędzy godz. 22.00 – 06.00 )**

| Nr punktu pomiarowego | Data i godz. zdarzenia | Samolot | Operacja* | $L_{Aeq}$ | $L_{Amax}$ | $L_{AE}$ |
|-----------------------|------------------------|---------|-----------|-----------|------------|----------|
|                       |                        |         |           | [dB]      | [dB]       | [dB]     |
| 8                     | 01-11-2022 22:03:21    | B38M    | D         | 64,7      | 66,6       | 75,8     |
| 8                     | 01-11-2022 22:49:50    | E195    | D         | 65,3      | 68,4       | 79,3     |
| 8                     | 01-11-2022 22:53:27    | E190    | D         | 66,6      | 69,6       | 80,2     |
| 8                     | 01-11-2022 22:56:54    | E190    | D         | 66,0      | 68,6       | 79,8     |
| 8                     | 01-11-2022 23:05:58    | E195    | D         | 69,7      | 73,0       | 83,3     |
| 8                     | 01-11-2022 23:08:58    | E195    | D         | 69,6      | 72,9       | 83,2     |
| 8                     | 01-11-2022 23:11:58    | E190    | D         | 66,4      | 69,8       | 78,2     |
| 8                     | 01-11-2022 23:13:36    | E190    | D         | 65,4      | 68,5       | 78,8     |
| 8                     | 01-11-2022 23:15:11    | E75S    | D         | 67,6      | 70,5       | 81,6     |
| 8                     | 01-11-2022 23:16:48    | B738    | D         | 65,2      | 68,9       | 79,5     |
| 8                     | 01-11-2022 23:27:04    | B38M    | D         | 62,9      | 64,1       | 71,9     |
| 8                     | 01-11-2022 23:52:24    | B738    | D         | 66,7      | 69,5       | 80,5     |
| 8                     | 02-11-2022 22:05:02    | A306    | D         | 72,1      | 76,0       | 89,4     |
| 8                     | 02-11-2022 22:09:48    | B38M    | D         | 66,4      | 69,0       | 81,5     |
| 8                     | 02-11-2022 22:16:14    | B738    | D         | 69,4      | 72,7       | 85,5     |
| 8                     | 02-11-2022 22:55:24    | E75S    | D         | 67,0      | 69,1       | 83,2     |
| 8                     | 02-11-2022 22:57:33    | E75S    | D         | 67,0      | 69,3       | 82,8     |
| 8                     | 02-11-2022 23:00:00    | E195    | D         | 71,7      | 75,7       | 87,4     |
| 8                     | 02-11-2022 23:03:40    | E195    | D         | 67,2      | 69,9       | 83,4     |
| 8                     | 02-11-2022 23:05:46    | E195    | D         | 68,1      | 70,9       | 83,5     |
| 8                     | 02-11-2022 23:07:20    | E190    | D         | 68,9      | 72,6       | 84,6     |
| 8                     | 02-11-2022 23:17:50    | B735    | D         | 68,7      | 71,3       | 85,2     |
| 8                     | 02-11-2022 23:20:51    | B738    | D         | 67,8      | 71,0       | 84,3     |
| 8                     | 02-11-2022 23:47:20    | E75S    | D         | 66,6      | 70,5       | 82,8     |
| 8                     | 03-11-2022 05:48:24    | B38M    | D         | 66,2      | 68,3       | 80,7     |
| 8                     | 03-11-2022 22:00:58    | E75S    | A         | 69,2      | 74,5       | 83,3     |
| 8                     | 03-11-2022 22:03:58    | B738    | A         | 71,5      | 75,9       | 85,8     |

| Nr punktu pomiarowego | Data i godz. zdarzenia | Samolot | Operacja* | $L_{Aeq}$ | $L_{Amax}$ | $L_{AE}$ |
|-----------------------|------------------------|---------|-----------|-----------|------------|----------|
|                       |                        |         |           | [dB]      | [dB]       | [dB]     |
| 8                     | 03-11-2022 22:06:36    | E75S    | A         | 69,5      | 73,6       | 83,5     |
| 8                     | 03-11-2022 22:08:28    | E170    | A         | 68,6      | 73,8       | 83,1     |
| 8                     | 03-11-2022 22:23:08    | A319    | A         | 70,1      | 75,8       | 85,2     |
| 8                     | 03-11-2022 22:25:14    | E195    | A         | 70,4      | 75,4       | 85,6     |
| 8                     | 03-11-2022 22:43:45    | A321    | A         | 70,0      | 75,3       | 84,9     |
| 8                     | 03-11-2022 22:48:08    | A21N    | A         | 69,7      | 74,5       | 84,4     |
| 8                     | 03-11-2022 22:57:45    | A321    | A         | 70,6      | 75,5       | 84,5     |
| 8                     | 03-11-2022 23:01:14    | B738    | A         | 73,5      | 79,9       | 89,1     |
| 8                     | 03-11-2022 23:04:18    | B737    | A         | 70,2      | 75,0       | 84,4     |
| 8                     | 03-11-2022 23:11:29    | A21N    | A         | 68,8      | 74,5       | 84,0     |
| 8                     | 03-11-2022 23:13:02    | A21N    | A         | 69,6      | 76,8       | 85,2     |
| 8                     | 03-11-2022 23:18:18    | A321    | A         | 70,4      | 76,5       | 84,7     |
| 8                     | 04-11-2022 05:42:40    | B763    | A         | 72,3      | 76,8       | 87,2     |
| 8                     | 04-11-2022 05:48:40    | B788    | A         | 70,1      | 74,9       | 85,6     |
| 8                     | 04-11-2022 22:02:18    | DH8D    | A         | 67,2      | 70,7       | 80,2     |
| 8                     | 04-11-2022 22:04:57    | E75S    | A         | 68,9      | 74,4       | 83,7     |
| 8                     | 04-11-2022 22:08:25    | DH8D    | A         | 65,7      | 70,2       | 80,5     |
| 8                     | 04-11-2022 22:10:35    | B38M    | A         | 68,0      | 72,9       | 82,8     |
| 8                     | 04-11-2022 22:12:42    | E195    | A         | 72,0      | 77,8       | 86,6     |
| 8                     | 04-11-2022 22:15:01    | E195    | A         | 71,6      | 76,6       | 85,4     |
| 8                     | 04-11-2022 22:20:58    | A320    | A         | 69,6      | 75,1       | 84,6     |
| 8                     | 04-11-2022 22:23:10    | A319    | A         | 69,4      | 75,0       | 85,1     |
| 8                     | 04-11-2022 22:31:22    | A320    | A         | 70,8      | 76,6       | 85,6     |
| 8                     | 04-11-2022 22:34:03    | B38M    | A         | 69,0      | 73,6       | 82,8     |
| 8                     | 04-11-2022 22:41:22    | A21N    | A         | 68,1      | 72,3       | 81,9     |
| 8                     | 04-11-2022 22:46:19    | A21N    | A         | 69,7      | 73,1       | 82,7     |
| 8                     | 04-11-2022 22:50:37    | A21N    | A         | 70,4      | 75,6       | 85,3     |
| 8                     | 04-11-2022 22:52:56    | E195    | A         | 70,3      | 75,1       | 84,3     |
| 8                     | 04-11-2022 22:56:51    | A321    | A         | 70,5      | 75,4       | 84,0     |
| 8                     | 04-11-2022 23:05:00    | A321    | A         | 70,0      | 76,2       | 84,1     |
| 8                     | 04-11-2022 23:08:24    | B737    | A         | 70,3      | 75,1       | 84,5     |
| 8                     | 04-11-2022 23:11:36    | A21N    | A         | 68,7      | 74,2       | 83,0     |
| 8                     | 04-11-2022 23:13:43    | A321    | A         | 69,0      | 74,7       | 84,1     |
| 8                     | 05-11-2022 01:28:37    | A21N    | A         | 69,2      | 73,2       | 83,2     |
| 8                     | 05-11-2022 05:28:56    | B38M    | A         | 70,2      | 75,0       | 84,3     |
| 8                     | 05-11-2022 05:51:18    | B738    | A         | 71,9      | 76,9       | 86,1     |
| 8                     | 05-11-2022 22:14:23    | B738    | D         | 70,4      | 74,7       | 86,0     |
| 8                     | 05-11-2022 22:16:33    | B38M    | D         | 69,3      | 73,4       | 82,6     |
| 8                     | 05-11-2022 22:53:09    | E195    | D         | 72,7      | 77,2       | 88,3     |
| 8                     | 05-11-2022 22:57:41    | E75S    | D         | 67,7      | 71,8       | 83,6     |
| 8                     | 05-11-2022 23:00:46    | E190    | D         | 67,6      | 71,2       | 83,3     |
| 8                     | 05-11-2022 23:03:26    | E75S    | D         | 68,5      | 72,4       | 84,3     |
| 8                     | 05-11-2022 23:24:58    | B38M    | D         | 67,8      | 71,0       | 82,1     |
| 8                     | 06-11-2022 05:54:35    | A321    | D         | 67,4      | 69,7       | 82,3     |
| 8                     | 06-11-2022 22:01:18    | B38M    | A         | 70,1      | 75,3       | 84,4     |
| 8                     | 06-11-2022 22:03:44    | DH8D    | A         | 66,5      | 70,2       | 80,3     |
| 8                     | 06-11-2022 22:16:44    | E75S    | A         | 69,3      | 74,8       | 84,2     |
| 8                     | 06-11-2022 22:18:48    | E195    | A         | 70,4      | 75,1       | 84,8     |
| 8                     | 06-11-2022 22:20:44    | A320    | A         | 70,4      | 75,0       | 84,6     |
| 8                     | 06-11-2022 22:22:56    | A21N    | A         | 69,2      | 74,1       | 83,6     |
| 8                     | 06-11-2022 22:24:58    | A319    | A         | 68,8      | 73,2       | 82,4     |
| 8                     | 06-11-2022 22:27:13    | E195    | A         | 70,0      | 74,3       | 84,4     |
| 8                     | 06-11-2022 22:29:29    | A321    | A         | 69,7      | 75,2       | 84,1     |
| 8                     | 06-11-2022 22:32:02    | B38M    | A         | 69,1      | 73,5       | 82,8     |
| 8                     | 06-11-2022 22:40:33    | CRJ2    | A         | 67,4      | 71,4       | 80,8     |
| 8                     | 06-11-2022 23:02:46    | A321    | A         | 69,6      | 74,6       | 83,9     |
| 8                     | 06-11-2022 23:04:40    | A21N    | A         | 69,9      | 74,4       | 83,9     |

| Nr punktu pomiarowego | Data i godz. zdarzenia | Samolot | Operacja* | $L_{Aeq}$ | $L_{Amax}$ | $L_{AE}$ |
|-----------------------|------------------------|---------|-----------|-----------|------------|----------|
|                       |                        |         |           | [dB]      | [dB]       | [dB]     |
| 8                     | 06-11-2022 23:07:20    | B737    | A         | 69,6      | 75,3       | 83,9     |
| 8                     | 06-11-2022 23:35:51    | A321    | A         | 69,0      | 74,0       | 82,8     |
| 8                     | 07-11-2022 00:29:22    | A21N    | A         | 69,8      | 74,7       | 84,1     |
| 8                     | 07-11-2022 05:10:38    | A306    | A         | 71,4      | 76,5       | 85,6     |
| 8                     | 07-11-2022 05:17:33    | B752    | A         | 68,3      | 72,7       | 82,6     |
| 8                     | 07-11-2022 05:35:09    | B789    | A         | 68,8      | 74,6       | 84,4     |
| 8                     | 07-11-2022 05:56:00    | A21N    | A         | 68,8      | 73,3       | 82,4     |
| 8                     | 07-11-2022 22:42:28    | E75S    | D         | 66,7      | 68,6       | 82,4     |
| 8                     | 07-11-2022 22:46:22    | B738    | D         | 69,2      | 73,2       | 85,3     |
| 8                     | 07-11-2022 22:59:46    | E75S    | D         | 68,3      | 71,9       | 83,8     |
| 8                     | 07-11-2022 23:07:38    | E195    | D         | 71,0      | 75,3       | 87,2     |
| 8                     | 07-11-2022 23:11:47    | DH8D    | D         | 63,8      | 65,5       | 74,9     |
| 8                     | 07-11-2022 23:15:11    | E75S    | D         | 66,6      | 68,7       | 80,9     |
| 8                     | 07-11-2022 23:29:11    | DH8D    | D         | 66,5      | 69,4       | 77,7     |
| 8                     | 07-11-2022 23:52:54    | E170    | D         | 66,7      | 70,6       | 83,2     |
| 8                     | 08-11-2022 00:03:38    | E195    | D         | 71,3      | 75,5       | 87,2     |
| 8                     | 08-11-2022 05:55:15    | B38M    | D         | 67,8      | 70,4       | 81,8     |
| 8                     | 08-11-2022 22:00:53    | DH8D    | A         | 67,1      | 70,1       | 79,2     |
| 8                     | 08-11-2022 22:02:42    | DH8D    | A         | 66,7      | 70,0       | 79,5     |
| 8                     | 08-11-2022 22:08:17    | E190    | A         | 69,3      | 73,9       | 82,9     |
| 8                     | 08-11-2022 22:10:35    | E195    | A         | 70,6      | 74,7       | 83,8     |
| 8                     | 08-11-2022 22:13:09    | E190    | A         | 69,2      | 73,7       | 83,3     |
| 8                     | 08-11-2022 22:15:33    | A21N    | A         | 68,7      | 73,0       | 82,1     |
| 8                     | 08-11-2022 22:17:38    | A319    | A         | 68,6      | 72,4       | 81,6     |
| 8                     | 08-11-2022 22:25:42    | E195    | A         | 70,5      | 74,5       | 83,7     |
| 8                     | 08-11-2022 22:29:22    | A321    | A         | 69,2      | 73,8       | 82,5     |
| 8                     | 08-11-2022 22:34:51    | A321    | A         | 68,5      | 73,0       | 81,8     |
| 8                     | 08-11-2022 22:45:35    | A321    | A         | 69,1      | 73,9       | 82,4     |
| 8                     | 08-11-2022 22:58:00    | B737    | A         | 69,6      | 74,3       | 83,0     |
| 8                     | 08-11-2022 23:13:45    | A21N    | A         | 69,9      | 74,9       | 83,4     |
| 8                     | 09-11-2022 02:24:35    | LJ75    | A         | 66,4      | 70,2       | 78,2     |
| 8                     | 09-11-2022 05:27:34    | A306    | A         | 71,7      | 77,8       | 86,9     |
| 8                     | 09-11-2022 05:46:25    | B763    | A         | 69,8      | 76,2       | 86,0     |
| 8                     | 09-11-2022 22:00:10    | E195    | A         | 69,4      | 74,5       | 83,2     |
| 8                     | 09-11-2022 22:01:55    | B738    | A         | 69,3      | 73,9       | 83,5     |
| 8                     | 09-11-2022 22:04:12    | A21N    | A         | 68,4      | 72,5       | 81,0     |
| 8                     | 09-11-2022 22:09:49    | E195    | A         | 70,0      | 74,8       | 83,5     |
| 8                     | 09-11-2022 22:13:18    | A320    | A         | 69,2      | 75,3       | 84,1     |
| 8                     | 09-11-2022 22:21:31    | E195    | A         | 70,0      | 74,6       | 83,8     |
| 8                     | 09-11-2022 22:23:15    | E195    | A         | 70,1      | 74,2       | 83,3     |
| 8                     | 09-11-2022 22:36:36    | A319    | A         | 69,4      | 73,9       | 83,2     |
| 8                     | 09-11-2022 22:45:26    | A21N    | A         | 68,5      | 72,6       | 81,1     |
| 8                     | 09-11-2022 22:48:31    | A21N    | A         | 68,7      | 74,0       | 82,9     |
| 8                     | 09-11-2022 22:58:39    | B38M    | A         | 69,5      | 73,3       | 82,3     |
| 8                     | 09-11-2022 23:02:35    | B737    | A         | 70,2      | 74,7       | 83,4     |
| 8                     | 09-11-2022 23:05:58    | A321    | A         | 69,5      | 74,0       | 82,5     |
| 8                     | 09-11-2022 23:15:11    | B738    | A         | 69,8      | 74,2       | 83,0     |
| 8                     | 09-11-2022 23:19:24    | A321    | A         | 68,8      | 73,8       | 82,5     |
| 8                     | 10-11-2022 22:01:17    | B38M    | D         | 66,8      | 69,0       | 81,9     |
| 8                     | 10-11-2022 22:07:20    | A306    | D         | 72,1      | 76,4       | 89,3     |
| 8                     | 10-11-2022 22:27:22    | B789    | D         | 69,1      | 72,2       | 83,9     |
| 8                     | 10-11-2022 22:40:45    | B38M    | D         | 67,2      | 69,9       | 81,4     |
| 8                     | 10-11-2022 22:48:24    | DH8D    | D         | 63,5      | 65,2       | 75,5     |
| 8                     | 10-11-2022 23:02:18    | E195    | D         | 68,9      | 74,1       | 85,4     |
| 8                     | 10-11-2022 23:03:42    | E190    | D         | 69,0      | 72,3       | 84,8     |
| 8                     | 10-11-2022 23:06:17    | E195    | D         | 71,8      | 75,9       | 87,6     |
| 8                     | 10-11-2022 23:07:37    | E190    | D         | 66,9      | 70,3       | 83,5     |

| Nr punktu pomiarowego | Data i godz. zdarzenia | Samolot | Operacja* | $L_{Aeq}$ | $L_{Amax}$ | $L_{AE}$ |
|-----------------------|------------------------|---------|-----------|-----------|------------|----------|
|                       |                        |         |           | [dB]      | [dB]       | [dB]     |
| 8                     | 10-11-2022 23:09:06    | E195    | D         | 70,1      | 73,3       | 86,0     |
| 8                     | 10-11-2022 23:13:06    | E75S    | D         | 70,7      | 74,3       | 86,8     |
| 8                     | 10-11-2022 23:15:54    | E195    | D         | 67,1      | 69,8       | 83,4     |
| 8                     | 10-11-2022 23:23:23    | B38M    | D         | 70,3      | 74,1       | 86,2     |
| 8                     | 10-11-2022 23:25:07    | DH8D    | D         | 66,4      | 69,0       | 79,0     |
| 8                     | 10-11-2022 23:27:22    | B738    | D         | 69,9      | 73,8       | 86,2     |
| 8                     | 10-11-2022 23:29:17    | E75S    | D         | 66,9      | 70,3       | 83,5     |
| 8                     | 11-11-2022 05:56:14    | A321    | D         | 68,9      | 72,3       | 85,6     |
| 8                     | 11-11-2022 22:00:22    | B38M    | D         | 67,1      | 69,2       | 81,6     |
| 8                     | 11-11-2022 22:08:11    | B738    | D         | 68,0      | 70,5       | 82,3     |
| 8                     | 11-11-2022 22:53:36    | E75S    | D         | 65,9      | 69,2       | 80,9     |
| 8                     | 11-11-2022 22:55:15    | E195    | D         | 72,7      | 78,1       | 87,5     |
| 8                     | 11-11-2022 22:56:41    | E75S    | D         | 64,4      | 66,6       | 78,3     |
| 8                     | 11-11-2022 22:58:21    | E75S    | D         | 64,0      | 65,9       | 77,9     |
| 8                     | 11-11-2022 23:01:27    | E190    | D         | 66,3      | 69,6       | 80,5     |
| 8                     | 11-11-2022 23:03:25    | E190    | D         | 68,3      | 71,0       | 81,5     |
| 8                     | 11-11-2022 23:04:58    | E195    | D         | 67,8      | 71,2       | 81,2     |
| 8                     | 11-11-2022 23:18:23    | B738    | D         | 68,3      | 72,4       | 83,8     |
| 8                     | 11-11-2022 23:27:31    | E195    | D         | 67,0      | 71,2       | 81,5     |
| 8                     | 11-11-2022 23:29:15    | B738    | D         | 69,3      | 72,7       | 84,5     |
| 8                     | 11-11-2022 23:35:04    | B738    | D         | 70,7      | 74,7       | 86,0     |
| 8                     | 12-11-2022 05:54:30    | A321    | D         | 68,2      | 71,4       | 83,9     |
| 8                     | 12-11-2022 05:59:02    | A21N    | D         | 65,1      | 68,0       | 79,4     |
| 8                     | 12-11-2022 22:13:20    | B738    | D         | 69,4      | 72,4       | 84,4     |
| 8                     | 12-11-2022 22:44:53    | B38M    | D         | 69,3      | 71,7       | 82,7     |
| 8                     | 12-11-2022 22:51:49    | E190    | D         | 71,2      | 75,1       | 85,0     |
| 8                     | 12-11-2022 23:00:21    | E190    | D         | 69,7      | 73,2       | 84,0     |
| 8                     | 12-11-2022 23:06:41    | E75S    | D         | 69,5      | 73,1       | 84,4     |
| 8                     | 12-11-2022 23:11:13    | DH8D    | D         | 66,5      | 69,4       | 77,9     |
| 8                     | 12-11-2022 23:21:08    | B38M    | D         | 66,9      | 68,8       | 80,1     |
| 8                     | 13-11-2022 22:01:41    | E195    | A         | 70,7      | 75,2       | 84,5     |
| 8                     | 13-11-2022 22:04:28    | E75S    | A         | 70,2      | 75,1       | 83,8     |
| 8                     | 13-11-2022 22:06:29    | E75S    | A         | 70,0      | 74,6       | 83,7     |
| 8                     | 13-11-2022 22:11:01    | A21N    | A         | 68,7      | 73,5       | 82,6     |
| 8                     | 13-11-2022 22:16:23    | E195    | A         | 70,9      | 75,3       | 84,9     |
| 8                     | 13-11-2022 22:18:49    | C25A    | A         | 64,6      | 66,4       | 76,4     |
| 8                     | 13-11-2022 22:21:43    | A21N    | A         | 69,2      | 73,4       | 82,7     |
| 8                     | 13-11-2022 22:25:21    | A320    | A         | 70,9      | 76,4       | 85,7     |
| 8                     | 13-11-2022 22:28:16    | A21N    | A         | 69,8      | 75,6       | 84,3     |
| 8                     | 13-11-2022 22:31:23    | B38M    | A         | 71,1      | 75,7       | 84,5     |
| 8                     | 13-11-2022 22:42:25    | A320    | A         | 71,1      | 76,0       | 85,4     |
| 8                     | 13-11-2022 22:46:53    | A21N    | A         | 68,9      | 73,9       | 83,3     |
| 8                     | 13-11-2022 22:55:43    | A321    | A         | 70,1      | 75,2       | 84,1     |
| 8                     | 13-11-2022 22:59:52    | A321    | A         | 69,5      | 75,1       | 83,9     |
| 8                     | 13-11-2022 23:04:31    | A319    | A         | 70,8      | 75,3       | 84,6     |
| 8                     | 13-11-2022 23:07:23    | A321    | A         | 69,3      | 74,1       | 83,3     |
| 8                     | 13-11-2022 23:10:20    | E195    | A         | 71,7      | 75,4       | 84,5     |
| 8                     | 13-11-2022 23:15:22    | B737    | A         | 71,3      | 75,9       | 84,9     |
| 8                     | 14-11-2022 02:19:27    | E195    | A         | 70,2      | 74,6       | 84,2     |
| 8                     | 14-11-2022 05:49:14    | B752    | A         | 71,7      | 76,3       | 87,5     |
| 8                     | 14-11-2022 05:52:09    | B788    | A         | 70,6      | 76,2       | 85,9     |
| 8                     | 14-11-2022 05:56:10    | A21N    | A         | 69,1      | 74,2       | 83,6     |
| 8                     | 14-11-2022 22:00:55    | E195    | A         | 69,4      | 74,0       | 83,1     |
| 8                     | 14-11-2022 22:02:50    | E75S    | A         | 68,3      | 73,5       | 82,9     |
| 8                     | 14-11-2022 22:04:43    | E75S    | A         | 70,0      | 74,5       | 83,0     |
| 8                     | 14-11-2022 22:09:47    | DH8D    | A         | 67,1      | 70,6       | 79,9     |
| 8                     | 14-11-2022 22:13:01    | B38M    | A         | 70,2      | 74,6       | 84,3     |

| Nr punktu pomiarowego | Data i godz. zdarzenia | Samolot | Operacja* | $L_{Aeq}$ | $L_{Amax}$ | $L_{AE}$ |
|-----------------------|------------------------|---------|-----------|-----------|------------|----------|
|                       |                        |         |           | [dB]      | [dB]       | [dB]     |
| 8                     | 14-11-2022 22:28:26    | E195    | A         | 70,5      | 76,7       | 84,7     |
| 8                     | 14-11-2022 22:34:20    | A321    | A         | 70,4      | 74,9       | 83,6     |
| 8                     | 14-11-2022 22:36:50    | A321    | A         | 72,0      | 77,5       | 85,6     |
| 8                     | 14-11-2022 22:38:25    | A319    | A         | 70,3      | 73,9       | 83,1     |
| 8                     | 14-11-2022 22:40:00    | B738    | A         | 72,2      | 76,7       | 86,0     |
| 8                     | 14-11-2022 22:42:03    | A321    | A         | 68,7      | 73,7       | 81,5     |
| 8                     | 14-11-2022 22:43:46    | A21N    | A         | 70,4      | 75,1       | 84,2     |
| 8                     | 14-11-2022 22:45:37    | A321    | A         | 69,1      | 73,6       | 82,7     |
| 8                     | 14-11-2022 22:50:07    | A21N    | A         | 69,1      | 74,5       | 83,7     |
| 8                     | 14-11-2022 22:55:07    | B38M    | A         | 70,3      | 74,6       | 83,7     |
| 8                     | 14-11-2022 22:57:01    | A21N    | A         | 70,2      | 76,0       | 84,5     |
| 8                     | 14-11-2022 23:00:09    | B38M    | A         | 69,9      | 74,4       | 83,4     |
| 8                     | 14-11-2022 23:11:28    | E295    | A         | 68,0      | 71,5       | 81,0     |
| 8                     | 14-11-2022 23:22:45    | A21N    | A         | 70,0      | 74,8       | 83,8     |
| 8                     | 14-11-2022 23:29:28    | B38M    | A         | 70,6      | 75,9       | 84,6     |
| 8                     | 14-11-2022 23:38:34    | A321    | A         | 68,3      | 72,8       | 81,6     |
| 8                     | 14-11-2022 23:48:14    | A21N    | A         | 69,1      | 73,2       | 82,5     |
| 8                     | 15-11-2022 05:36:55    | A306    | A         | 71,0      | 76,6       | 85,6     |
| 8                     | 15-11-2022 22:10:08    | A306    | D         | 70,4      | 74,3       | 84,1     |
| 8                     | 15-11-2022 23:00:50    | E195    | D         | 72,4      | 78,6       | 87,1     |
| 8                     | 15-11-2022 23:03:04    | E75S    | D         | 67,5      | 73,2       | 81,3     |
| 8                     | 15-11-2022 23:07:42    | E75S    | D         | 71,5      | 76,6       | 86,2     |
| 8                     | 15-11-2022 23:09:35    | E190    | D         | 69,2      | 72,4       | 82,0     |
| 8                     | 15-11-2022 23:21:40    | E190    | D         | 66,6      | 69,8       | 81,0     |
| 8                     | 15-11-2022 23:23:14    | E190    | D         | 69,8      | 73,6       | 82,8     |
| 8                     | 15-11-2022 23:25:00    | E75S    | D         | 68,7      | 73,6       | 81,0     |
| 8                     | 15-11-2022 23:30:02    | B38M    | D         | 67,3      | 69,6       | 79,4     |
| 8                     | 15-11-2022 23:33:47    | B38M    | D         | 65,4      | 68,6       | 78,9     |
| 8                     | 15-11-2022 23:35:47    | E75S    | D         | 71,8      | 76,3       | 87,0     |
| 8                     | 15-11-2022 23:42:43    | B738    | D         | 71,9      | 76,2       | 85,4     |
| 8                     | 15-11-2022 23:46:15    | B738    | D         | 67,8      | 72,5       | 83,7     |
| 8                     | 16-11-2022 22:02:29    | E190    | A         | 69,9      | 76,4       | 84,9     |
| 8                     | 16-11-2022 22:08:11    | C295    | A         | 68,1      | 73,5       | 81,7     |
| 8                     | 16-11-2022 22:12:30    | E75S    | A         | 68,4      | 73,6       | 83,1     |
| 8                     | 16-11-2022 22:14:26    | A321    | A         | 70,5      | 74,8       | 83,9     |
| 8                     | 16-11-2022 22:16:32    | B738    | A         | 72,0      | 77,4       | 86,0     |
| 8                     | 16-11-2022 22:20:12    | E170    | A         | 69,3      | 74,1       | 84,2     |
| 8                     | 16-11-2022 22:28:03    | A319    | A         | 69,6      | 75,0       | 84,3     |
| 8                     | 16-11-2022 22:32:38    | E195    | A         | 72,1      | 77,8       | 86,1     |
| 8                     | 16-11-2022 22:47:29    | A21N    | A         | 68,5      | 73,1       | 83,0     |
| 8                     | 16-11-2022 22:51:24    | A21N    | A         | 69,0      | 72,9       | 82,4     |
| 8                     | 16-11-2022 22:59:19    | B38M    | A         | 69,9      | 76,5       | 84,6     |
| 8                     | 16-11-2022 23:02:10    | A321    | A         | 70,0      | 75,2       | 83,2     |
| 8                     | 16-11-2022 23:10:07    | A321    | A         | 70,7      | 74,5       | 84,1     |
| 8                     | 16-11-2022 23:13:04    | E295    | A         | 69,7      | 74,7       | 82,4     |
| 8                     | 16-11-2022 23:22:35    | E195    | A         | 69,9      | 74,5       | 84,5     |
| 8                     | 17-11-2022 05:19:14    | B788    | A         | 69,3      | 74,5       | 84,9     |
| 8                     | 17-11-2022 05:44:50    | B763    | A         | 72,2      | 77,4       | 87,0     |
| 8                     | 17-11-2022 22:03:38    | E75S    | A         | 68,2      | 72,0       | 80,8     |
| 8                     | 17-11-2022 22:05:34    | DH8D    | A         | 66,4      | 69,3       | 78,5     |
| 8                     | 17-11-2022 22:08:08    | B738    | A         | 71,0      | 75,2       | 84,2     |
| 8                     | 17-11-2022 22:16:31    | A21N    | A         | 67,4      | 72,1       | 81,4     |
| 8                     | 17-11-2022 22:25:56    | E75S    | A         | 68,0      | 71,6       | 80,8     |
| 8                     | 17-11-2022 22:29:35    | B38M    | A         | 69,9      | 74,2       | 82,7     |
| 8                     | 17-11-2022 22:32:57    | A319    | A         | 70,4      | 75,1       | 84,2     |
| 8                     | 17-11-2022 22:39:37    | E195    | A         | 70,1      | 74,2       | 83,3     |
| 8                     | 17-11-2022 22:44:09    | B350    | D         | 65,6      | 68,5       | 77,1     |

| Nr punktu pomiarowego | Data i godz. zdarzenia | Samolot | Operacja* | $L_{Aeq}$ | $L_{Amax}$ | $L_{AE}$ |
|-----------------------|------------------------|---------|-----------|-----------|------------|----------|
|                       |                        |         |           | [dB]      | [dB]       | [dB]     |
| 8                     | 17-11-2022 22:47:41    | A21N    | A         | 68,9      | 73,1       | 81,7     |
| 8                     | 17-11-2022 23:00:09    | A321    | A         | 69,3      | 73,8       | 82,1     |
| 8                     | 17-11-2022 23:02:48    | A321    | A         | 68,4      | 73,3       | 81,8     |
| 8                     | 17-11-2022 23:19:39    | E295    | A         | 68,2      | 72,3       | 81,2     |
| 8                     | 17-11-2022 23:23:45    | A21N    | A         | 68,3      | 72,2       | 80,8     |
| 8                     | 17-11-2022 23:27:58    | B350    | D         | 65,8      | 67,9       | 75,4     |
| 8                     | 17-11-2022 23:34:41    | A321    | A         | 68,5      | 73,5       | 82,6     |
| 8                     | 17-11-2022 23:37:17    | B350    | D         | 65,9      | 69,0       | 77,4     |
| 8                     | 17-11-2022 23:54:20    | B350    | D         | 66,1      | 69,1       | 77,8     |
| 8                     | 18-11-2022 00:01:03    | B350    | A         | 65,4      | 68,6       | 76,9     |
| 8                     | 18-11-2022 00:07:52    | B350    | A         | 64,9      | 67,0       | 74,4     |
| 8                     | 18-11-2022 00:14:22    | B350    | A         | 69,3      | 72,1       | 81,3     |
| 8                     | 18-11-2022 00:26:27    | B350    | A         | 69,9      | 72,7       | 81,9     |
| 8                     | 18-11-2022 00:39:01    | B350    | A         | 68,7      | 71,8       | 80,5     |
| 8                     | 18-11-2022 00:50:30    | B350    | A         | 66,4      | 68,4       | 77,1     |
| 8                     | 18-11-2022 05:42:50    | A306    | A         | 72,9      | 78,2       | 87,2     |
| 8                     | 18-11-2022 05:51:13    | B763    | A         | 71,6      | 77,3       | 87,2     |
| 8                     | 18-11-2022 22:01:44    | E195    | A         | 70,7      | 74,7       | 84,1     |
| 8                     | 18-11-2022 22:04:09    | E195    | A         | 69,1      | 74,0       | 83,7     |
| 8                     | 18-11-2022 22:06:59    | E170    | A         | 67,9      | 72,5       | 80,7     |
| 8                     | 18-11-2022 22:14:38    | A320    | A         | 68,8      | 73,3       | 81,8     |
| 8                     | 18-11-2022 22:23:26    | E170    | A         | 68,4      | 72,6       | 81,8     |
| 8                     | 18-11-2022 22:27:37    | A21N    | A         | 68,6      | 73,0       | 81,9     |
| 8                     | 18-11-2022 22:32:41    | A21N    | A         | 68,8      | 73,5       | 81,9     |
| 8                     | 18-11-2022 22:34:44    | E195    | A         | 70,7      | 76,7       | 84,3     |
| 8                     | 18-11-2022 22:36:57    | A21N    | A         | 67,7      | 72,7       | 82,3     |
| 8                     | 18-11-2022 22:39:44    | A321    | A         | 68,7      | 73,1       | 82,1     |
| 8                     | 18-11-2022 22:42:07    | A319    | A         | 68,6      | 73,2       | 82,4     |
| 8                     | 18-11-2022 22:46:50    | E75S    | A         | 68,5      | 72,5       | 81,7     |
| 8                     | 18-11-2022 22:51:33    | A321    | A         | 69,2      | 74,0       | 83,2     |
| 8                     | 18-11-2022 23:00:20    | A21N    | A         | 68,9      | 74,0       | 82,8     |
| 8                     | 18-11-2022 23:03:23    | E195    | A         | 70,0      | 75,2       | 84,2     |
| 8                     | 18-11-2022 23:10:28    | A21N    | A         | 69,3      | 74,4       | 82,7     |
| 8                     | 18-11-2022 23:12:37    | A321    | A         | 68,6      | 74,0       | 82,6     |
| 8                     | 18-11-2022 23:16:55    | E295    | A         | 67,1      | 71,1       | 80,5     |
| 8                     | 18-11-2022 23:25:27    | A321    | A         | 68,6      | 73,5       | 82,2     |
| 8                     | 19-11-2022 00:39:33    | E190    | A         | 70,8      | 75,2       | 83,6     |
| 8                     | 19-11-2022 05:52:12    | A21N    | D         | 67,3      | 70,2       | 80,7     |
| 8                     | 19-11-2022 22:11:22    | A319    | A         | 70,0      | 74,0       | 83,0     |
| 8                     | 19-11-2022 22:15:46    | A321    | A         | 68,6      | 72,2       | 80,9     |
| 8                     | 19-11-2022 22:28:02    | A20N    | A         | 67,7      | 72,4       | 82,0     |
| 8                     | 19-11-2022 22:35:25    | A21N    | A         | 67,8      | 71,8       | 81,2     |
| 8                     | 19-11-2022 22:40:59    | A321    | A         | 68,0      | 72,8       | 81,3     |
| 8                     | 19-11-2022 22:45:51    | A321    | A         | 67,8      | 73,1       | 81,8     |
| 8                     | 19-11-2022 22:54:10    | B738    | A         | 69,8      | 77,9       | 85,0     |
| 8                     | 19-11-2022 23:09:20    | A21N    | A         | 67,9      | 72,9       | 81,7     |
| 8                     | 19-11-2022 23:14:13    | B38M    | A         | 69,3      | 74,6       | 83,4     |
| 8                     | 19-11-2022 23:16:33    | E295    | A         | 72,2      | 80,3       | 85,0     |
| 8                     | 19-11-2022 23:22:20    | B38M    | A         | 68,4      | 72,1       | 81,6     |
| 8                     | 20-11-2022 05:02:11    | B788    | A         | 69,8      | 73,9       | 83,4     |
| 8                     | 20-11-2022 22:06:00    | E195    | A         | 70,1      | 75,3       | 83,9     |
| 8                     | 20-11-2022 22:08:59    | E190    | A         | 68,8      | 74,0       | 82,9     |
| 8                     | 20-11-2022 22:10:50    | E190    | A         | 69,1      | 74,1       | 83,5     |
| 8                     | 20-11-2022 22:12:52    | A21N    | A         | 69,6      | 73,6       | 82,4     |
| 8                     | 20-11-2022 22:19:56    | A21N    | A         | 68,2      | 72,9       | 81,5     |
| 8                     | 20-11-2022 22:21:47    | E195    | A         | 70,6      | 74,7       | 83,4     |
| 8                     | 20-11-2022 22:24:01    | A21N    | A         | 67,8      | 72,9       | 81,1     |

| Nr punktu pomiarowego | Data i godz. zdarzenia | Samolot | Operacja* | L <sub>Aeq</sub> | L <sub>Max</sub> | L <sub>AE</sub> |
|-----------------------|------------------------|---------|-----------|------------------|------------------|-----------------|
|                       |                        |         |           | [dB]             | [dB]             | [dB]            |
| 8                     | 20-11-2022 22:28:21    | A319    | A         | 69,4             | 72,9             | 81,7            |
| 8                     | 20-11-2022 22:30:37    | A321    | A         | 68,6             | 72,8             | 81,6            |
| 8                     | 20-11-2022 22:46:09    | A321    | A         | 69,4             | 73,8             | 82,1            |
| 8                     | 20-11-2022 22:56:47    | A21N    | A         | 68,4             | 72,2             | 81,0            |
| 8                     | 20-11-2022 23:11:48    | E295    | A         | 72,4             | 80,8             | 85,4            |
| 8                     | 20-11-2022 23:18:59    | A321    | A         | 69,2             | 73,4             | 82,2            |
| 8                     | 20-11-2022 23:31:11    | B738    | A         | 69,1             | 73,3             | 82,5            |
| 8                     | 21-11-2022 05:15:11    | GLF5    | A         | 65,0             | 67,1             | 75,8            |
| 8                     | 21-11-2022 05:19:39    | B752    | A         | 69,7             | 73,9             | 83,7            |
| 8                     | 21-11-2022 05:47:40    | B789    | A         | 69,7             | 74,1             | 83,8            |
| 8                     | 21-11-2022 22:05:19    | B738    | A         | 70,8             | 76,7             | 85,4            |
| 8                     | 21-11-2022 22:14:19    | A320    | A         | 69,8             | 74,9             | 84,4            |
| 8                     | 21-11-2022 22:22:30    | E75S    | A         | 68,3             | 73,1             | 81,3            |
| 8                     | 21-11-2022 22:25:31    | A319    | A         | 67,7             | 73,3             | 82,6            |
| 8                     | 21-11-2022 22:27:29    | E550    | A         | 65,2             | 67,8             | 77,2            |
| 8                     | 21-11-2022 22:29:16    | E195    | A         | 69,2             | 74,9             | 83,7            |
| 8                     | 21-11-2022 22:31:54    | B38M    | A         | 69,7             | 74,5             | 83,3            |
| 8                     | 21-11-2022 22:33:46    | A321    | A         | 68,7             | 74,4             | 82,2            |
| 8                     | 21-11-2022 22:47:20    | C130    | A         | 73,8             | 80,7             | 88,7            |
| 8                     | 21-11-2022 22:55:11    | B38M    | A         | 69,8             | 74,5             | 83,4            |
| 8                     | 21-11-2022 23:02:47    | A321    | A         | 69,1             | 73,9             | 82,5            |
| 8                     | 21-11-2022 23:07:07    | E295    | A         | 68,1             | 72,5             | 81,1            |
| 8                     | 21-11-2022 23:11:30    | A321    | A         | 68,9             | 73,4             | 82,1            |
| 8                     | 21-11-2022 23:49:23    | A321    | A         | 67,6             | 72,9             | 82,2            |
| 8                     | 22-11-2022 00:22:22    | A21N    | A         | 66,7             | 72,0             | 81,0            |
| 8                     | 22-11-2022 00:35:33    | A21N    | A         | 68,7             | 73,1             | 81,9            |
| 8                     | 22-11-2022 00:50:44    | A21N    | A         | 67,8             | 72,3             | 81,8            |
| 8                     | 22-11-2022 01:02:57    | A21N    | A         | 68,3             | 72,8             | 81,3            |
| 8                     | 22-11-2022 05:45:02    | B788    | A         | 69,5             | 74,9             | 84,1            |
| 8                     | 22-11-2022 05:59:22    | A306    | A         | 72,0             | 76,6             | 86,1            |
| 8                     | 22-11-2022 22:00:17    | E75S    | A         | 67,7             | 72,7             | 81,7            |
| 8                     | 22-11-2022 22:02:22    | DH8D    | A         | 79,2             | 88,2             | 95,6            |
| 8                     | 22-11-2022 22:20:36    | E195    | A         | 69,9             | 74,0             | 83,1            |
| 8                     | 22-11-2022 22:22:43    | A321    | A         | 68,6             | 73,4             | 81,8            |
| 8                     | 22-11-2022 22:25:52    | A319    | A         | 70,2             | 74,4             | 84,0            |
| 8                     | 22-11-2022 22:36:18    | A20N    | A         | 67,5             | 71,8             | 80,9            |
| 8                     | 22-11-2022 22:38:16    | A321    | A         | 69,0             | 73,5             | 82,2            |
| 8                     | 22-11-2022 22:40:08    | A21N    | A         | 70,8             | 75,7             | 83,8            |
| 8                     | 22-11-2022 22:42:47    | A320    | A         | 70,6             | 75,9             | 84,6            |
| 8                     | 22-11-2022 22:57:38    | A21N    | A         | 67,8             | 72,5             | 82,6            |
| 8                     | 22-11-2022 23:14:27    | E295    | A         | 68,2             | 72,2             | 81,4            |
| 8                     | 22-11-2022 23:25:07    | A21N    | A         | 69,2             | 73,7             | 82,6            |
| 8                     | 23-11-2022 00:25:50    | B38M    | P         | 69,3             | 74,7             | 83,6            |
| 8                     | 23-11-2022 05:50:05    | B763    | A         | 73,3             | 77,7             | 86,9            |
| 8                     | 23-11-2022 05:54:36    | A21N    | A         | 67,2             | 71,9             | 80,0            |
| 8                     | 23-11-2022 22:05:43    | A21N    | A         | 70,1             | 75,4             | 82,4            |
| 8                     | 23-11-2022 22:13:23    | E170    | A         | 67,5             | 70,5             | 80,2            |
| 8                     | 23-11-2022 22:18:26    | A320    | A         | 70,5             | 75,4             | 84,0            |
| 8                     | 23-11-2022 22:20:49    | A20N    | A         | 68,1             | 72,7             | 81,7            |
| 8                     | 23-11-2022 22:29:43    | A319    | A         | 67,6             | 71,2             | 80,6            |
| 8                     | 23-11-2022 22:31:27    | E195    | A         | 70,1             | 74,0             | 83,4            |
| 8                     | 23-11-2022 22:33:48    | A319    | A         | 69,8             | 74,1             | 83,3            |
| 8                     | 23-11-2022 22:36:01    | E190    | A         | 69,5             | 73,4             | 83,0            |
| 8                     | 23-11-2022 22:51:20    | A321    | A         | 68,6             | 72,4             | 81,4            |
| 8                     | 23-11-2022 22:54:26    | A21N    | A         | 68,1             | 72,3             | 81,1            |
| 8                     | 23-11-2022 22:57:18    | A21N    | A         | 68,6             | 73,3             | 81,9            |
| 8                     | 23-11-2022 23:12:57    | A321    | A         | 69,0             | 73,2             | 82,0            |

| Nr punktu pomiarowego | Data i godz. zdarzenia | Samolot | Operacja* | $L_{Aeq}$ | $L_{Amax}$ | $L_{AE}$ |
|-----------------------|------------------------|---------|-----------|-----------|------------|----------|
|                       |                        |         |           | [dB]      | [dB]       | [dB]     |
| 8                     | 23-11-2022 23:21:37    | E295    | A         | 68,0      | 71,4       | 80,8     |
| 8                     | 23-11-2022 23:31:03    | B738    | A         | 70,9      | 76,2       | 84,7     |
| 8                     | 24-11-2022 05:44:49    | B788    | A         | 70,1      | 74,3       | 84,5     |
| 8                     | 24-11-2022 05:57:52    | A306    | A         | 73,3      | 79,1       | 88,7     |
| 8                     | 24-11-2022 22:01:05    | B38M    | A         | 69,9      | 74,3       | 83,0     |
| 8                     | 24-11-2022 22:03:26    | E75S    | A         | 66,8      | 69,7       | 80,8     |
| 8                     | 24-11-2022 22:07:02    | E75S    | A         | 67,2      | 70,3       | 80,0     |
| 8                     | 24-11-2022 22:14:53    | B38M    | A         | 69,0      | 72,6       | 81,3     |
| 8                     | 24-11-2022 22:16:31    | B738    | A         | 70,6      | 75,1       | 83,4     |
| 8                     | 24-11-2022 22:18:29    | E170    | A         | 69,1      | 73,1       | 81,1     |
| 8                     | 24-11-2022 22:20:31    | A21N    | A         | 67,7      | 70,6       | 78,8     |
| 8                     | 24-11-2022 23:00:19    | E195    | D         | 70,8      | 74,3       | 84,8     |
| 8                     | 24-11-2022 23:01:57    | E190    | D         | 67,1      | 70,1       | 80,5     |
| 8                     | 24-11-2022 23:03:49    | E195    | D         | 65,9      | 68,1       | 79,5     |
| 8                     | 24-11-2022 23:07:18    | E170    | D         | 69,1      | 72,6       | 83,8     |
| 8                     | 24-11-2022 23:09:08    | E75S    | D         | 65,5      | 67,5       | 79,3     |
| 8                     | 24-11-2022 23:13:05    | E195    | D         | 64,9      | 67,1       | 78,3     |
| 8                     | 24-11-2022 23:25:05    | E170    | D         | 64,1      | 66,3       | 78,6     |
| 8                     | 24-11-2022 23:32:40    | B738    | D         | 66,3      | 68,2       | 79,8     |
| 8                     | 24-11-2022 23:34:39    | E75S    | D         | 68,8      | 71,6       | 82,4     |
| 8                     | 24-11-2022 23:45:01    | E75S    | D         | 67,9      | 70,9       | 82,0     |
| 8                     | 24-11-2022 23:50:56    | B38M    | D         | 63,8      | 65,2       | 75,6     |
| 8                     | 25-11-2022 22:07:47    | A306    | D         | 72,2      | 76,6       | 88,1     |
| 8                     | 25-11-2022 22:10:29    | B738    | D         | 69,2      | 72,1       | 84,5     |
| 8                     | 25-11-2022 22:13:17    | B38M    | D         | 67,3      | 69,8       | 80,7     |
| 8                     | 25-11-2022 22:58:10    | E190    | D         | 67,5      | 70,8       | 82,4     |
| 8                     | 25-11-2022 23:00:51    | E195    | D         | 71,2      | 74,8       | 85,5     |
| 8                     | 25-11-2022 23:09:41    | E75S    | D         | 68,1      | 70,4       | 81,7     |
| 8                     | 25-11-2022 23:11:27    | E190    | D         | 71,2      | 74,6       | 85,7     |
| 8                     | 25-11-2022 23:14:11    | E195    | D         | 68,6      | 71,5       | 81,4     |
| 8                     | 25-11-2022 23:17:58    | E75S    | D         | 65,8      | 68,2       | 82,0     |
| 8                     | 25-11-2022 23:24:47    | E190    | D         | 68,3      | 70,9       | 82,6     |
| 8                     | 25-11-2022 23:26:17    | B38M    | D         | 65,9      | 67,9       | 79,3     |
| 8                     | 25-11-2022 23:28:28    | E195    | D         | 71,0      | 74,3       | 85,2     |
| 8                     | 25-11-2022 23:30:13    | E170    | D         | 66,3      | 68,7       | 81,8     |
| 8                     | 25-11-2022 23:49:18    | B738    | D         | 68,1      | 71,3       | 84,3     |
| 8                     | 25-11-2022 23:51:24    | B38M    | D         | 63,8      | 65,6       | 78,0     |
| 8                     | 26-11-2022 22:02:46    | B38M    | D         | 66,5      | 68,7       | 80,4     |
| 8                     | 26-11-2022 22:08:07    | B38M    | D         | 67,0      | 69,8       | 81,3     |
| 8                     | 26-11-2022 22:59:23    | E190    | D         | 68,3      | 71,2       | 83,1     |
| 8                     | 26-11-2022 23:03:01    | E195    | D         | 72,5      | 76,8       | 87,6     |
| 8                     | 26-11-2022 23:05:05    | E75S    | D         | 69,5      | 74,3       | 85,7     |
| 8                     | 26-11-2022 23:17:29    | E75S    | D         | 69,1      | 73,7       | 85,3     |
| 8                     | 27-11-2022 22:01:55    | B38M    | D         | 67,7      | 70,5       | 82,7     |
| 8                     | 27-11-2022 22:29:11    | B38M    | D         | 67,9      | 70,2       | 82,1     |
| 8                     | 27-11-2022 22:45:25    | AT72    | D         | 63,0      | 64,2       | 74,8     |
| 8                     | 27-11-2022 22:47:48    | E195    | D         | 70,0      | 73,3       | 84,8     |
| 8                     | 27-11-2022 23:02:39    | E75S    | D         | 69,1      | 72,1       | 85,1     |
| 8                     | 27-11-2022 23:04:52    | E195    | D         | 73,0      | 77,4       | 88,2     |
| 8                     | 27-11-2022 23:07:03    | E75S    | D         | 73,2      | 77,8       | 87,2     |
| 8                     | 27-11-2022 23:08:49    | E190    | D         | 69,3      | 71,9       | 84,1     |
| 8                     | 27-11-2022 23:13:01    | E195    | D         | 68,0      | 72,2       | 84,6     |
| 8                     | 27-11-2022 23:18:46    | E75S    | D         | 68,5      | 71,6       | 84,8     |
| 8                     | 27-11-2022 23:20:17    | E75S    | D         | 72,3      | 76,8       | 87,9     |
| 8                     | 27-11-2022 23:21:59    | B738    | D         | 70,3      | 73,8       | 86,0     |
| 8                     | 27-11-2022 23:24:14    | E170    | D         | 67,5      | 69,6       | 82,7     |
| 8                     | 27-11-2022 23:26:39    | E190    | D         | 70,9      | 75,0       | 84,9     |

| Nr punktu pomiarowego | Data i godz. zdarzenia | Samolot | Operacja* | $L_{Aeq}$ | $L_{Amax}$ | $L_{AE}$ |
|-----------------------|------------------------|---------|-----------|-----------|------------|----------|
|                       |                        |         |           | [dB]      | [dB]       | [dB]     |
| 8                     | 27-11-2022 23:29:14    | E75S    | D         | 70,8      | 75,0       | 87,0     |
| 8                     | 27-11-2022 23:42:33    | B38M    | D         | 69,1      | 71,2       | 83,3     |
| 8                     | 28-11-2022 05:59:35    | A21N    | A         | 67,6      | 73,7       | 83,5     |
| 8                     | 28-11-2022 22:12:10    | E195    | A         | 72,4      | 77,7       | 86,0     |
| 8                     | 28-11-2022 22:24:29    | A21N    | A         | 70,6      | 75,7       | 84,9     |
| 8                     | 28-11-2022 22:27:24    | A321    | A         | 69,8      | 73,7       | 83,2     |
| 8                     | 28-11-2022 22:29:19    | B38M    | A         | 69,9      | 75,3       | 84,4     |
| 8                     | 28-11-2022 22:31:18    | E75S    | A         | 68,6      | 73,5       | 82,9     |
| 8                     | 28-11-2022 22:33:43    | A321    | A         | 68,5      | 73,6       | 82,9     |
| 8                     | 28-11-2022 22:35:53    | A20N    | A         | 69,0      | 73,8       | 82,6     |
| 8                     | 28-11-2022 22:37:46    | A321    | A         | 67,6      | 73,2       | 82,4     |
| 8                     | 28-11-2022 22:40:08    | A21N    | A         | 69,3      | 73,7       | 83,5     |
| 8                     | 28-11-2022 22:47:22    | A21N    | A         | 68,9      | 73,8       | 82,9     |
| 8                     | 28-11-2022 22:56:13    | A21N    | A         | 68,1      | 73,5       | 83,3     |
| 8                     | 28-11-2022 22:59:27    | E195    | A         | 69,2      | 74,1       | 84,1     |
| 8                     | 28-11-2022 23:03:10    | B38M    | A         | 70,5      | 75,3       | 85,2     |
| 8                     | 28-11-2022 23:13:39    | E295    | A         | 68,2      | 73,1       | 82,3     |
| 8                     | 28-11-2022 23:17:49    | A321    | A         | 69,5      | 75,1       | 83,8     |
| 8                     | 28-11-2022 23:19:50    | A319    | A         | 70,3      | 74,9       | 84,8     |
| 8                     | 28-11-2022 23:24:23    | A321    | A         | 68,7      | 74,6       | 83,1     |
| 8                     | 29-11-2022 05:37:40    | B788    | A         | 71,3      | 75,9       | 86,0     |
| 8                     | 29-11-2022 05:40:21    | A306    | A         | 72,9      | 78,1       | 88,6     |
| 8                     | 29-11-2022 05:43:05    | B38M    | A         | 70,3      | 75,9       | 85,5     |
| 8                     | 29-11-2022 05:53:51    | B763    | A         | 72,6      | 77,9       | 88,2     |
| 8                     | 29-11-2022 22:04:06    | E75S    | A         | 68,8      | 73,2       | 82,4     |
| 8                     | 29-11-2022 22:14:50    | A21N    | A         | 68,8      | 72,9       | 82,0     |
| 8                     | 29-11-2022 22:25:31    | E195    | A         | 70,0      | 74,6       | 84,4     |
| 8                     | 29-11-2022 22:31:46    | E190    | A         | 69,3      | 73,9       | 83,6     |
| 8                     | 29-11-2022 22:35:51    | A321    | A         | 68,0      | 73,7       | 82,3     |
| 8                     | 29-11-2022 22:37:19    | A21N    | A         | 67,6      | 73,4       | 82,3     |
| 8                     | 29-11-2022 22:52:21    | A321    | A         | 69,2      | 74,0       | 83,0     |
| 8                     | 29-11-2022 22:55:15    | A320    | A         | 71,8      | 76,2       | 85,2     |
| 8                     | 29-11-2022 22:57:36    | E195    | A         | 72,1      | 77,4       | 85,7     |
| 8                     | 29-11-2022 23:05:05    | A320    | A         | 70,7      | 76,4       | 85,4     |
| 8                     | 29-11-2022 23:07:05    | A319    | A         | 70,1      | 75,1       | 84,6     |
| 8                     | 29-11-2022 23:09:31    | A21N    | A         | 69,7      | 74,6       | 84,0     |
| 8                     | 29-11-2022 23:17:06    | E295    | A         | 68,2      | 72,7       | 82,4     |
| 8                     | 30-11-2022 05:35:27    | A306    | A         | 72,7      | 78,8       | 88,2     |
| 8                     | 30-11-2022 05:47:33    | A21N    | A         | 69,2      | 74,2       | 83,4     |
| 8                     | 30-11-2022 21:59:53    | B738    | A         | 73,8      | 78,5       | 86,4     |
| 8                     | 30-11-2022 22:02:10    | A320    | A         | 70,9      | 75,6       | 84,7     |
| 8                     | 30-11-2022 22:07:08    | A21N    | A         | 68,5      | 72,8       | 82,2     |
| 8                     | 30-11-2022 22:10:22    | E75S    | A         | 70,3      | 73,9       | 83,3     |
| 8                     | 30-11-2022 22:32:52    | E195    | A         | 70,1      | 74,9       | 85,0     |
| 8                     | 30-11-2022 22:35:58    | A320    | A         | 70,9      | 76,3       | 85,6     |
| 8                     | 30-11-2022 22:38:51    | A319    | A         | 69,5      | 74,0       | 83,3     |
| 8                     | 30-11-2022 22:49:49    | A321    | A         | 69,4      | 74,2       | 82,9     |
| 8                     | 30-11-2022 22:52:09    | A321    | A         | 68,9      | 74,2       | 82,5     |
| 8                     | 30-11-2022 22:58:04    | A21N    | A         | 68,2      | 72,0       | 81,6     |
| 8                     | 30-11-2022 23:10:11    | A21N    | A         | 70,1      | 74,9       | 83,8     |
| 8                     | 30-11-2022 23:16:19    | E190    | A         | 70,4      | 74,9       | 85,0     |
| 8                     | 01-12-2022 00:15:45    | B38M    | A         | 69,5      | 74,2       | 83,4     |
| 8                     | 01-12-2022 05:10:09    | B789    | A         | 69,8      | 74,6       | 85,0     |
| 8                     | 01-12-2022 05:36:35    | B763    | A         | 71,4      | 77,2       | 86,9     |

## LEGENDA

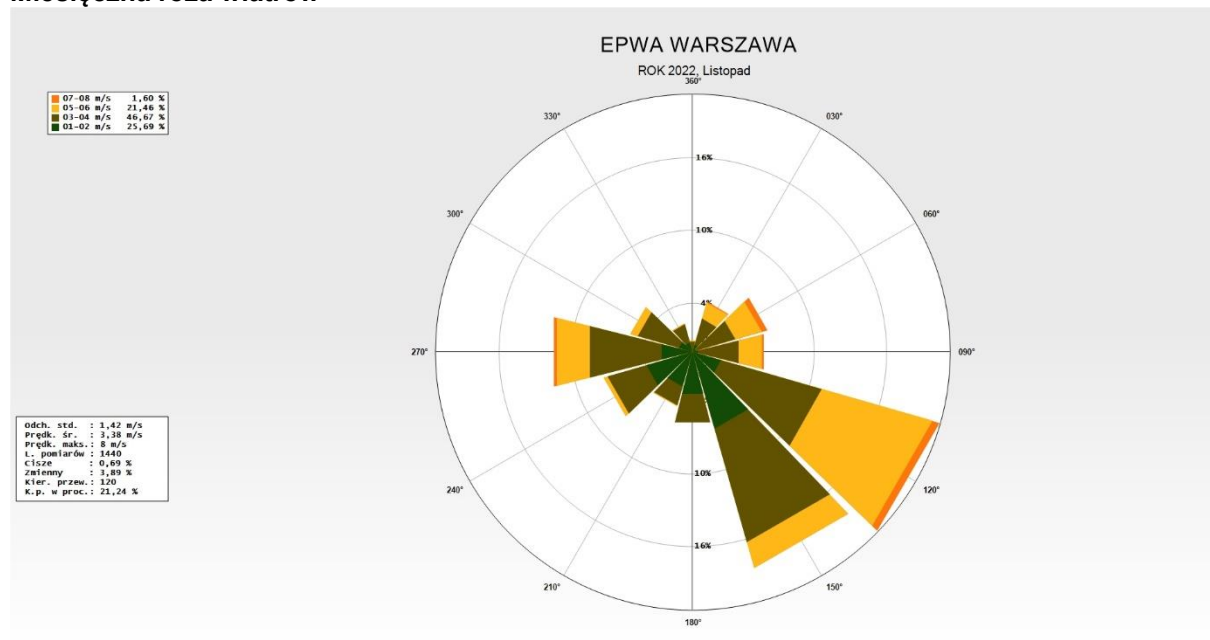
- Samolot – typ statku powietrznego
- Operacja: A – lądowanie, D – start, P - przelot
- $L_{Aeq}$  – równoważny poziom dźwięku dla zdarzenia akustycznego
- $L_{Amax}$  – maksymalny poziom dźwięku dla zdarzenia akustycznego
- $L_{AE}$  – ekspozycyjny poziom dźwięku dla zdarzenia akustycznego
- Kolorem niebieskim oznaczono zdarzenia akustyczne, które miały miejsce w czasie gdy nie były spełnione warunki meteorologiczne<sup>1</sup>, a także wystąpiły zakłócenia od innych źródeł hałasu.

## WARUNKI METEOROLOGICZNE DLA LOTNISKA:

Ustalone na wysokości: 106,51 m n.p.m

| Wielkości ustalane            | Wartości maksymalne | Wartości minimalne | Wartości średnie miesięczne |
|-------------------------------|---------------------|--------------------|-----------------------------|
|                               | w danym miesiącu    | w danym miesiącu   |                             |
| Temperatura [°C]              | 15,5                | -7,7               | 4,2                         |
| Wilgotność względna [%]       | 100                 | 57                 | 88                          |
| Ciśnienie atmosferyczne [hPa] | 1019,9              | 992,6              | 1005,4                      |

## Miesięczna róża wiatrów



<sup>1</sup> Warunki meteorologiczne określone w punkcie D "Referencyjnej metodyki wykonywania ciągłych pomiarów poziomów hałasu wprowadzanego do środowiska przez starty, lądowania i przeloty statków powietrznych w związku z eksploatacją lotnisk oraz kryteria lokalizacji punktów pomiarowych" (Załącznik nr 1 do rozporządzenia Ministra Środowiska z dnia 16 czerwca 2011 r. w sprawie wymagań w zakresie prowadzenia pomiarów poziomów substancji lub energii w środowisku przez zarządzającego drogą, linią kolejową, linią tramwajową, lotniskiem lub portem).